

FIG. 1

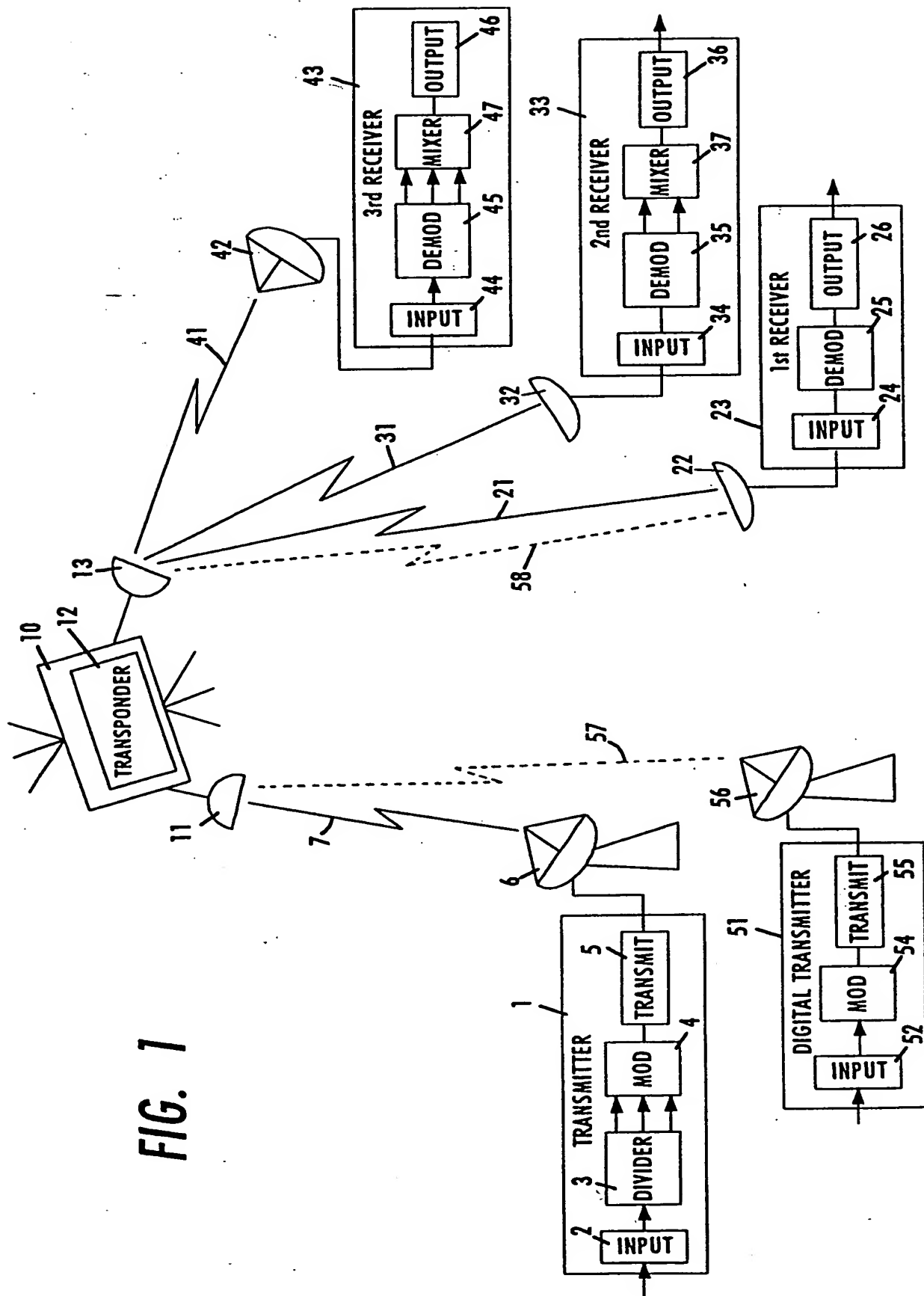
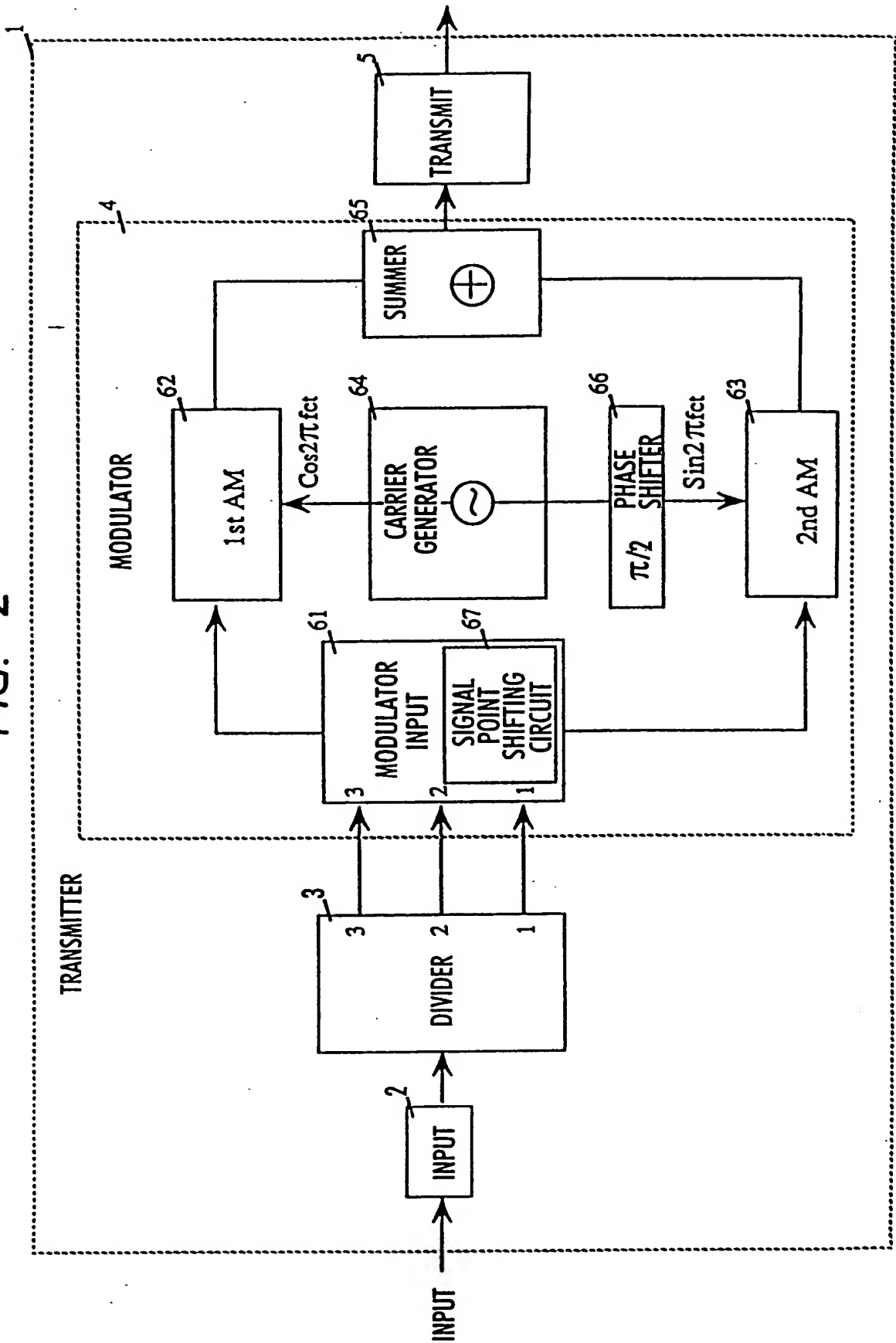
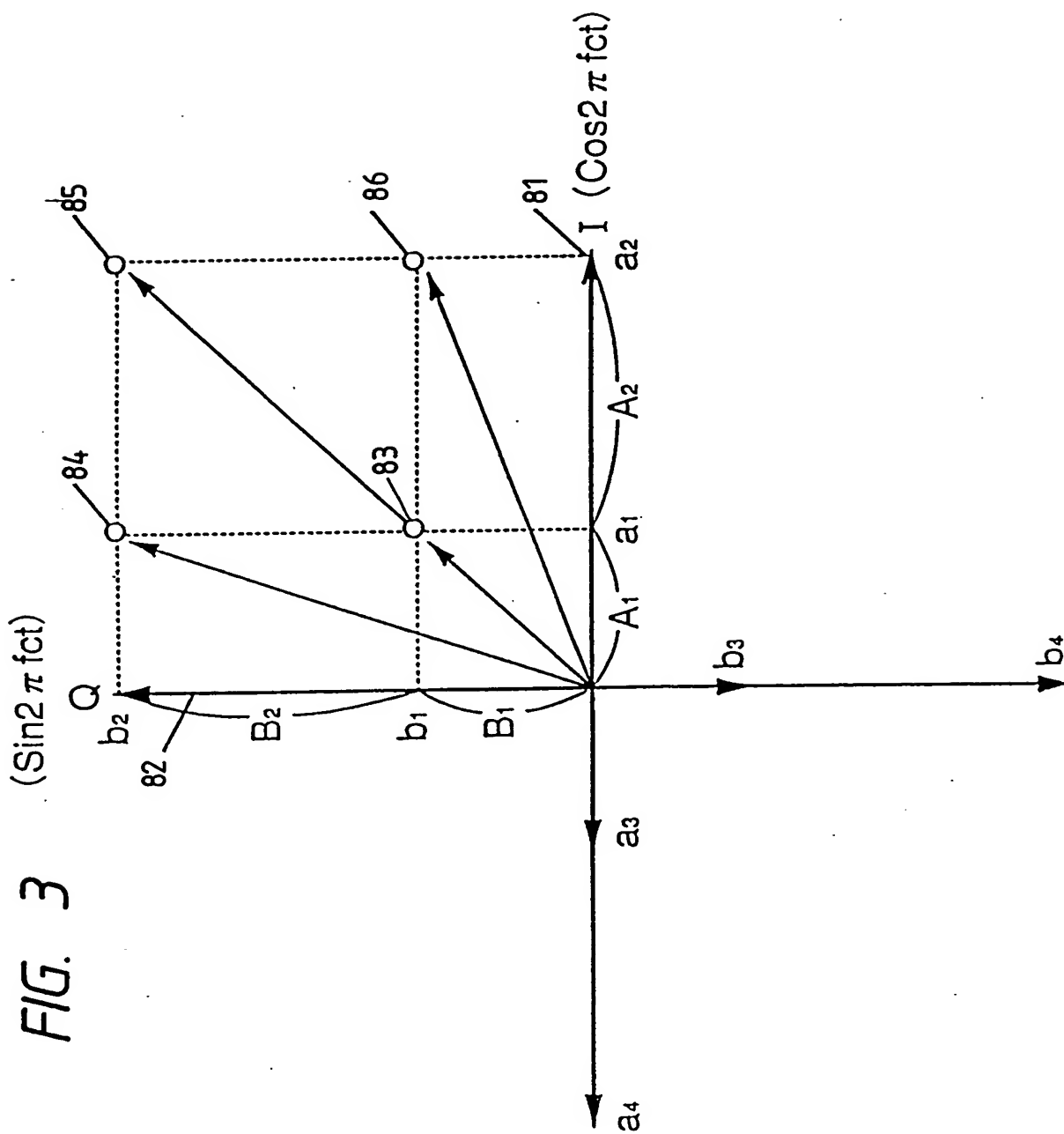


FIG. 2





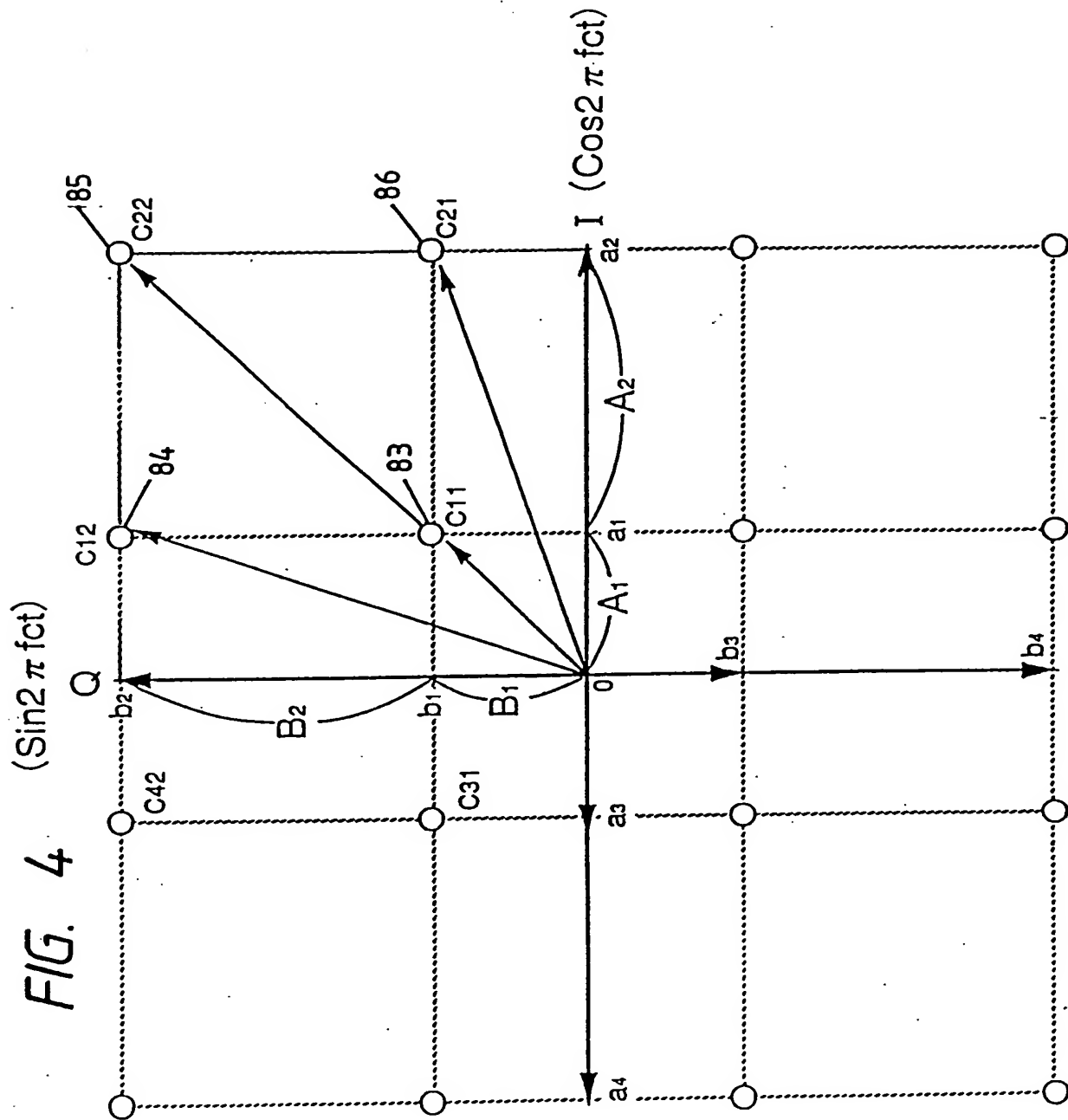


FIG. 5 ( $\sin 2\pi \text{ fct}$ )

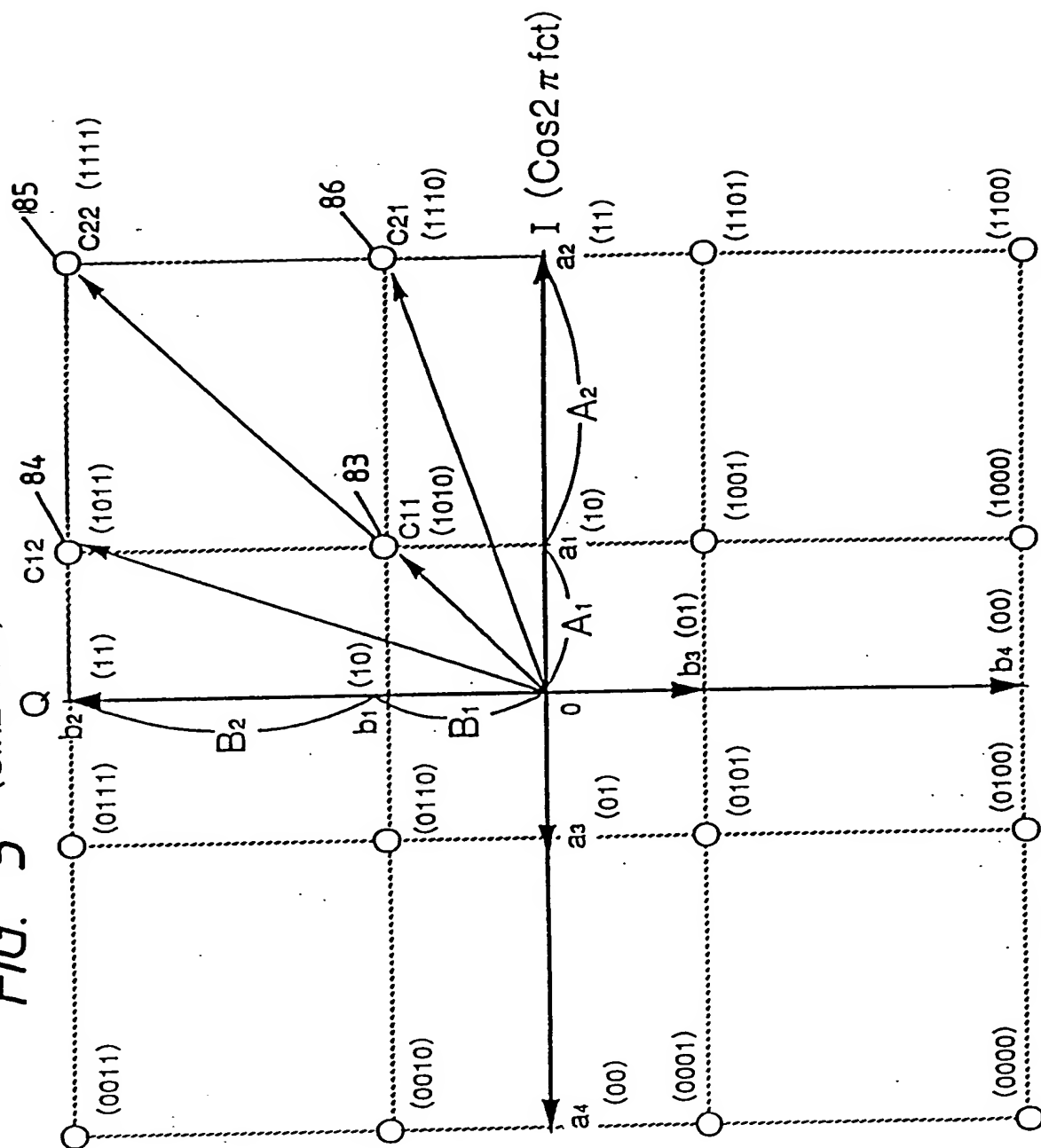


FIG. 6

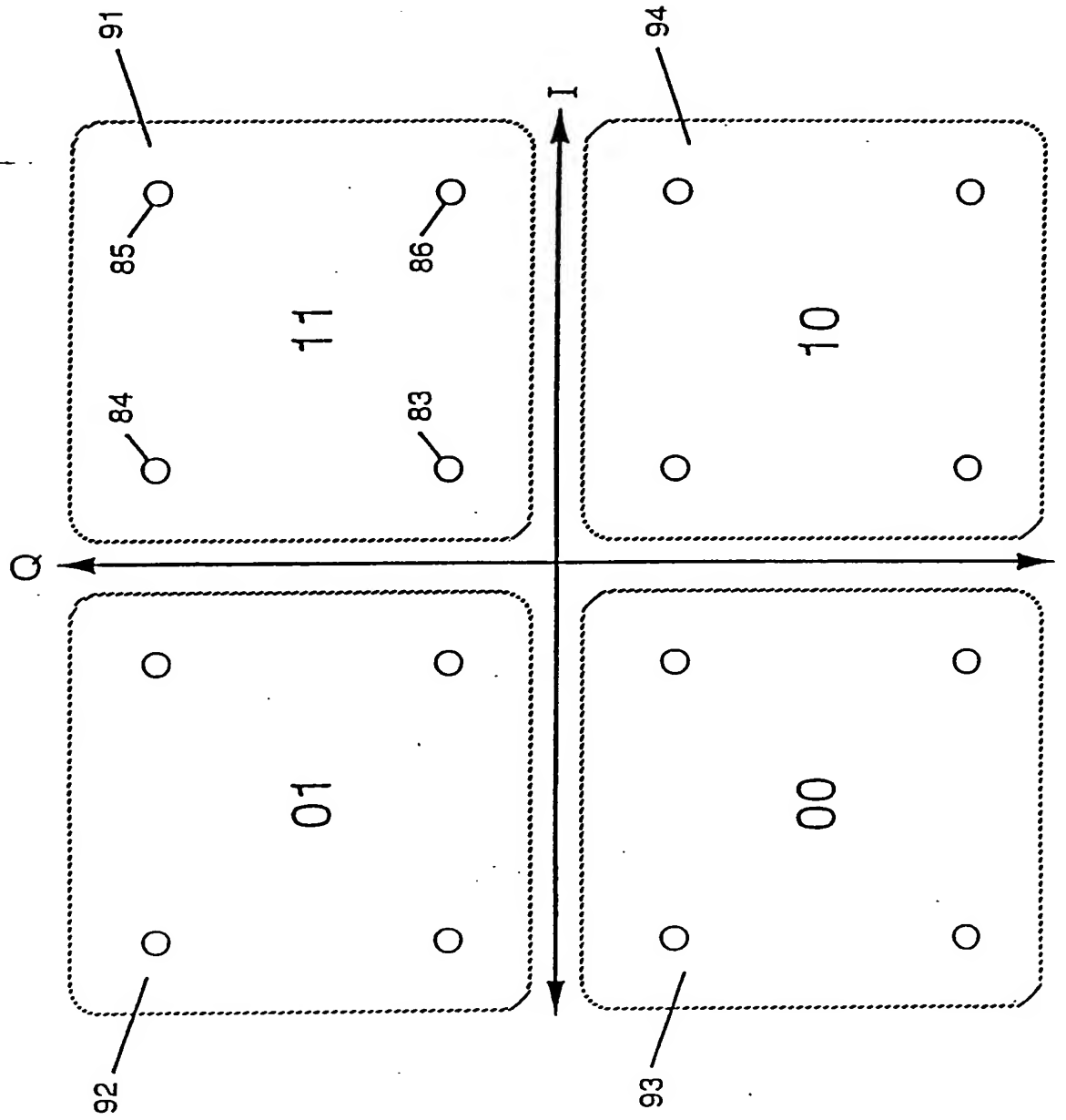


FIG. 7

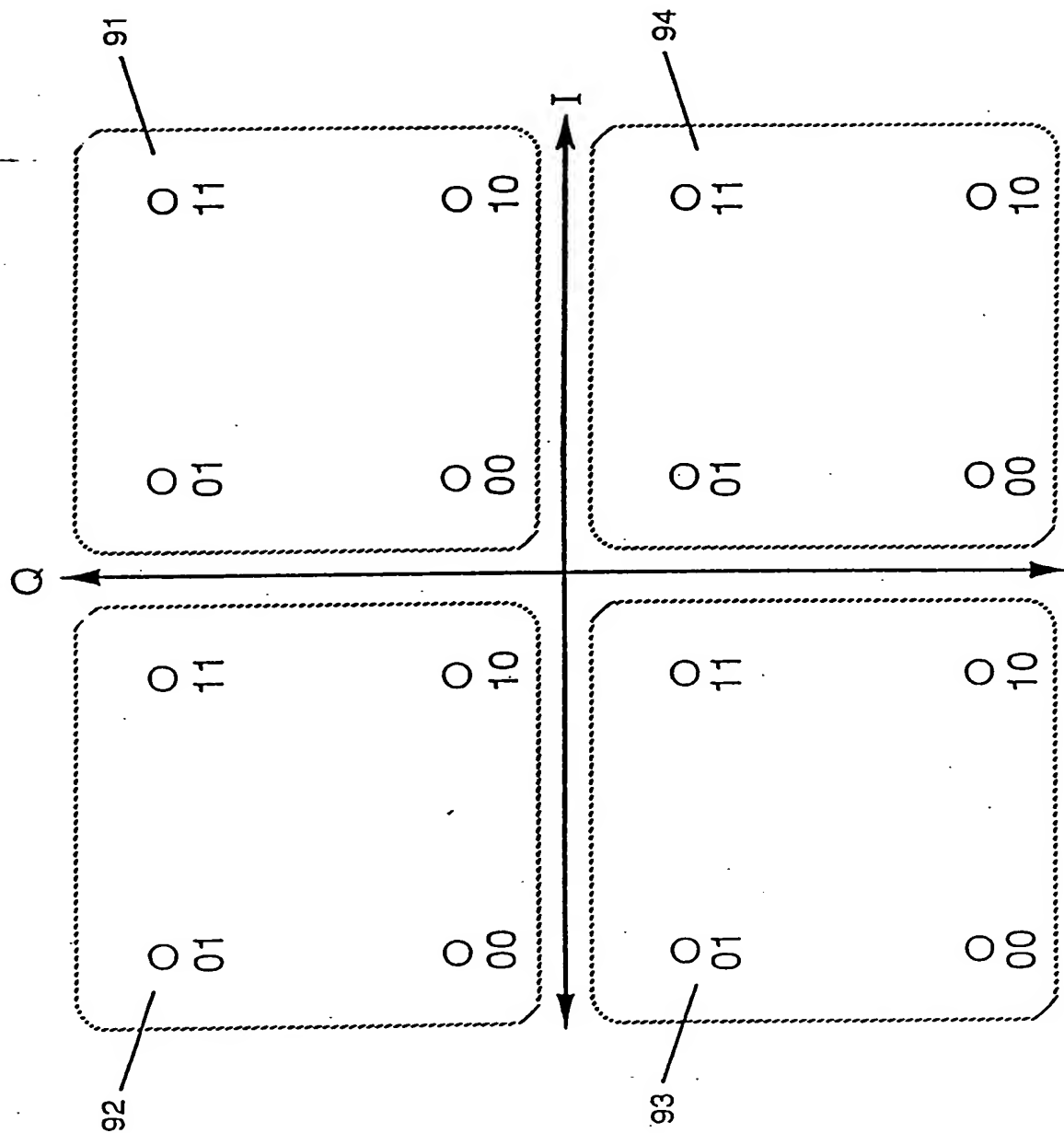


FIG. 8

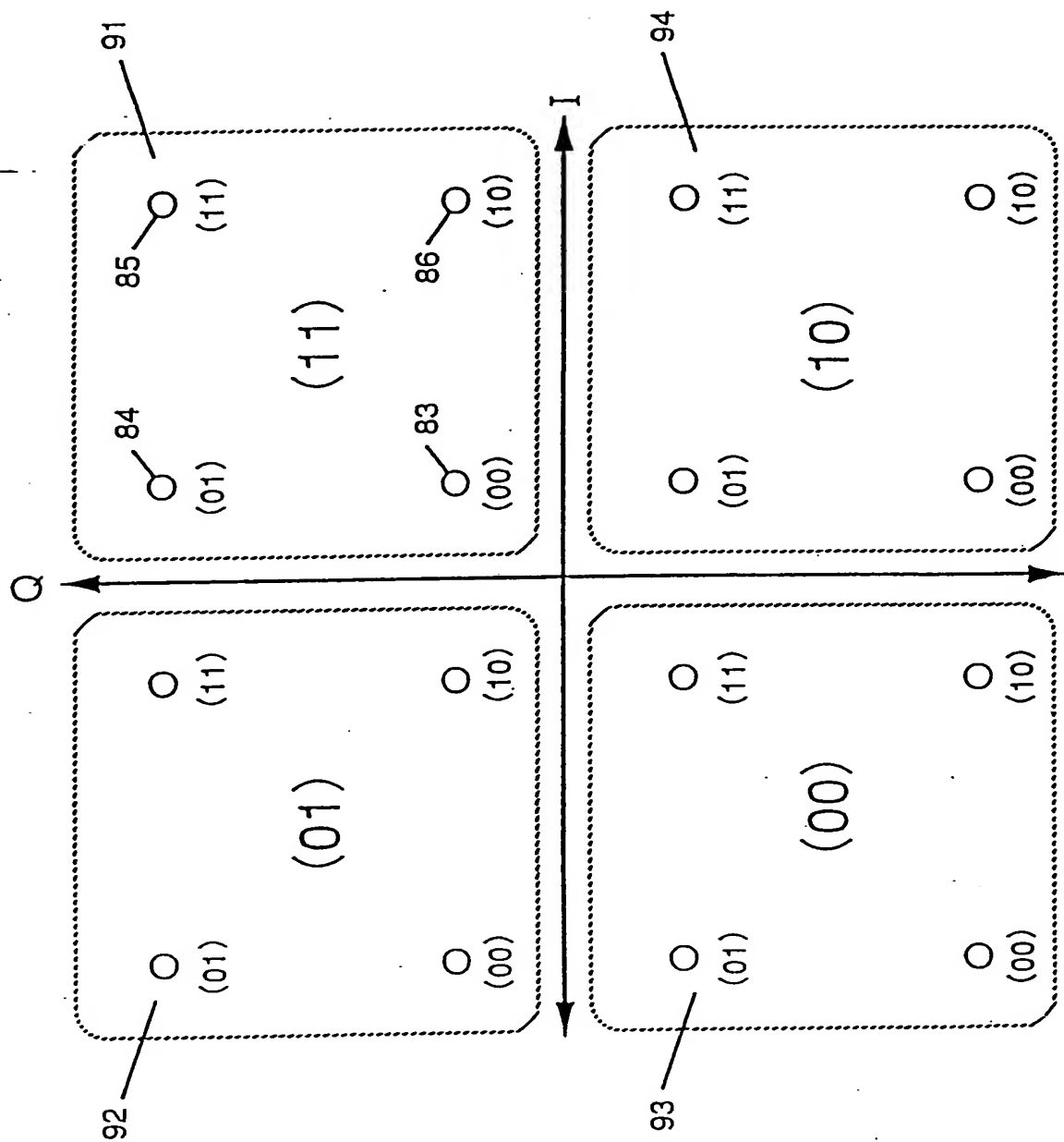




FIG. 9

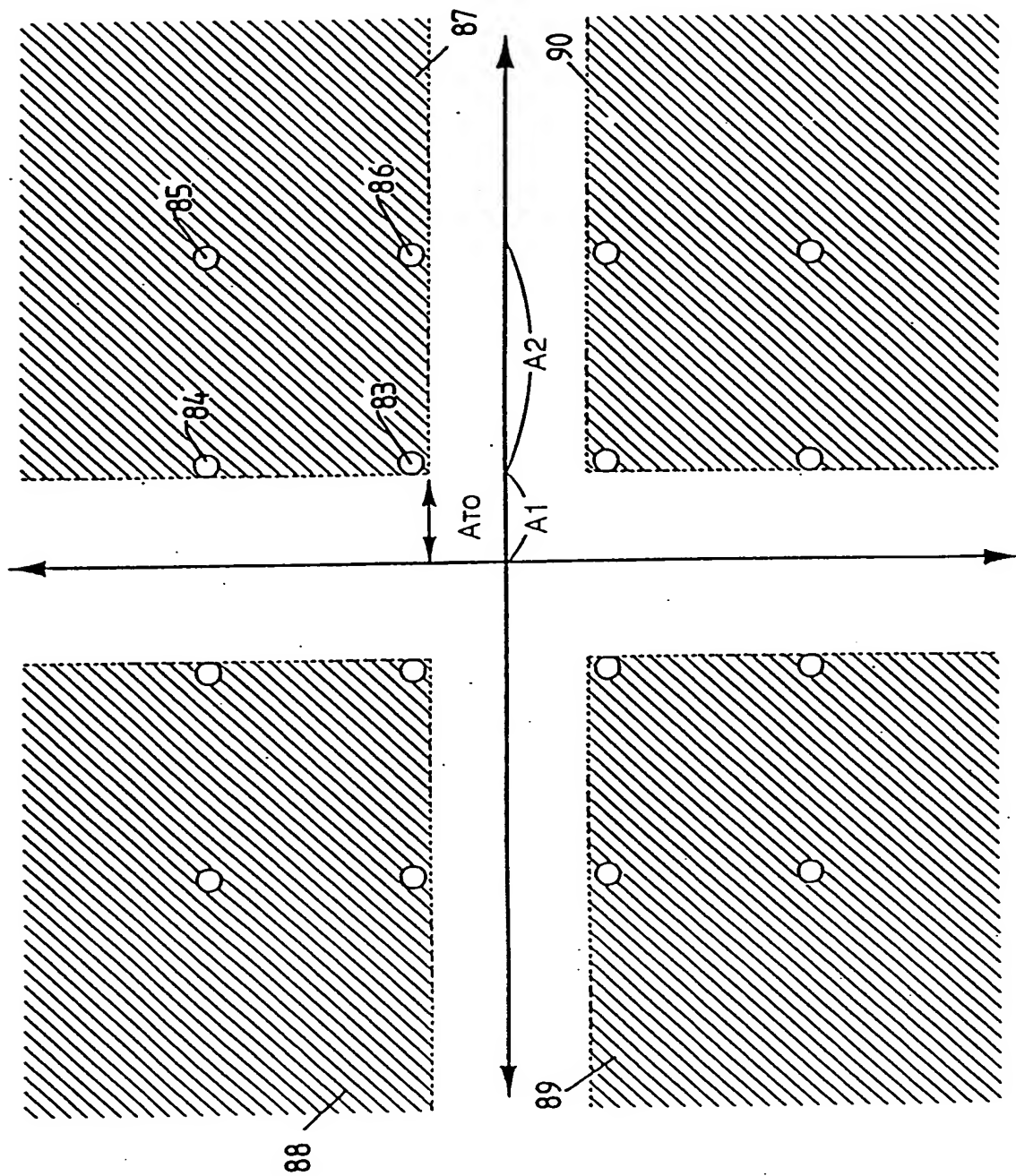


FIG. 10

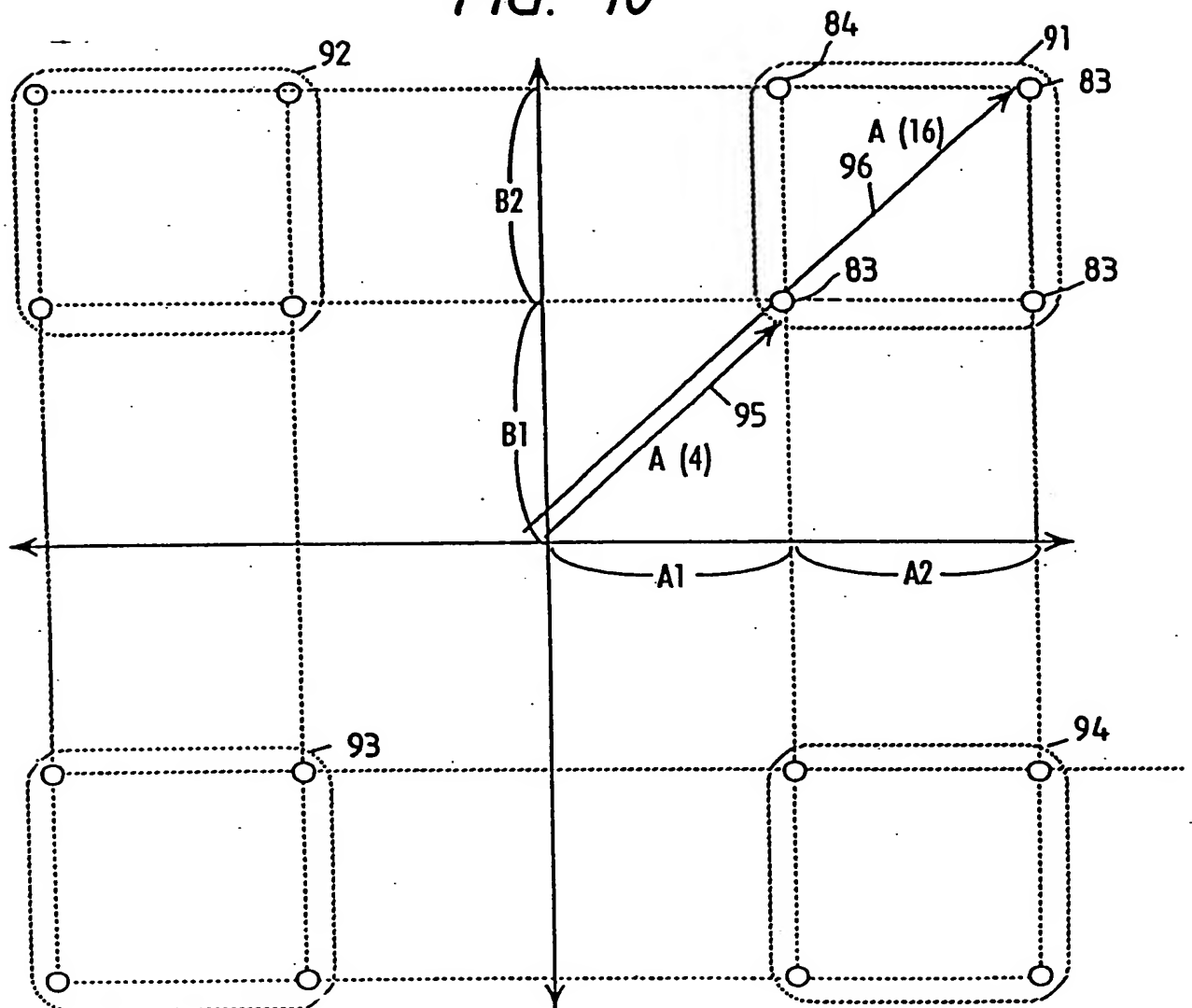


FIG. 11

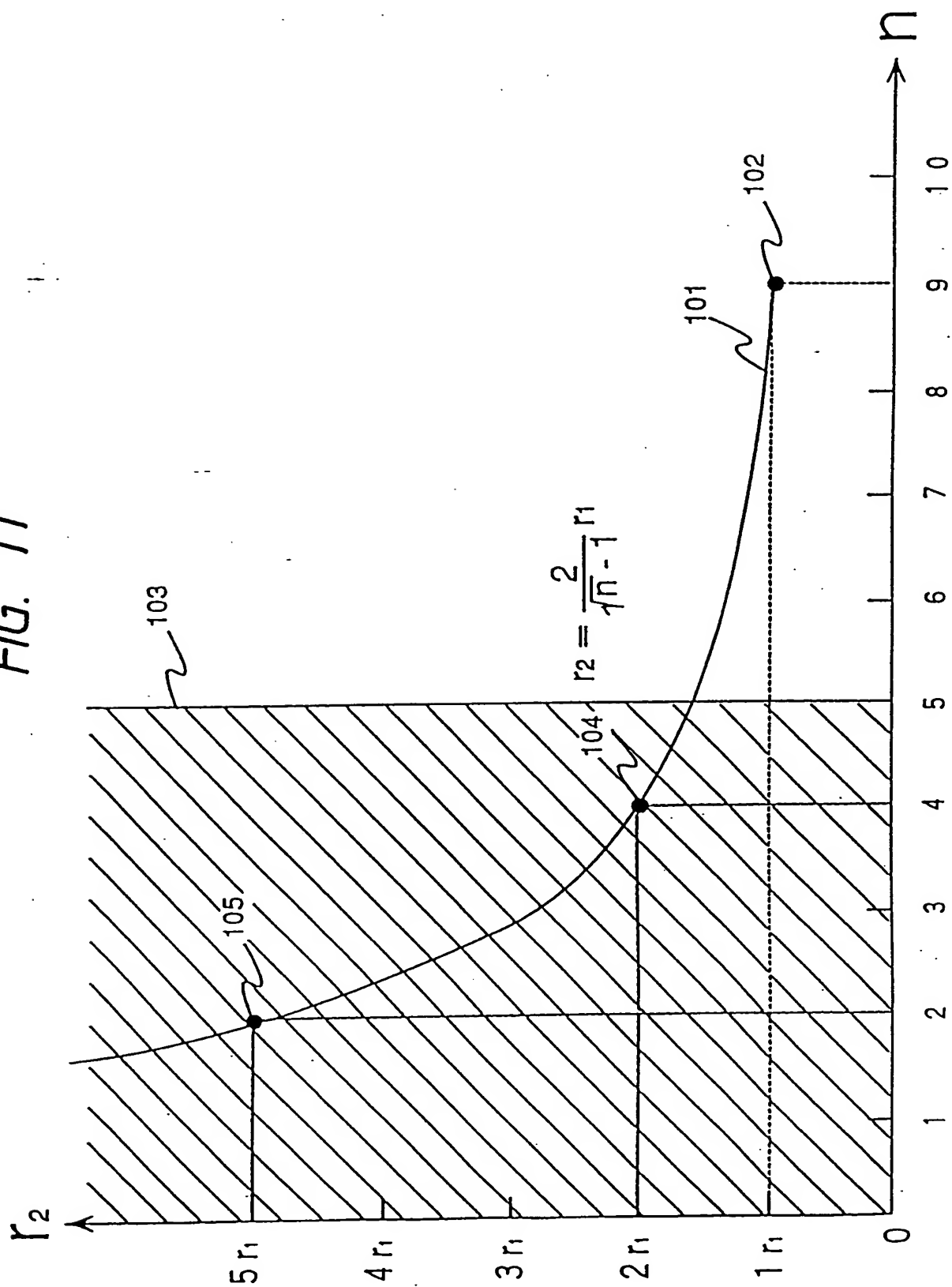


FIG. 12

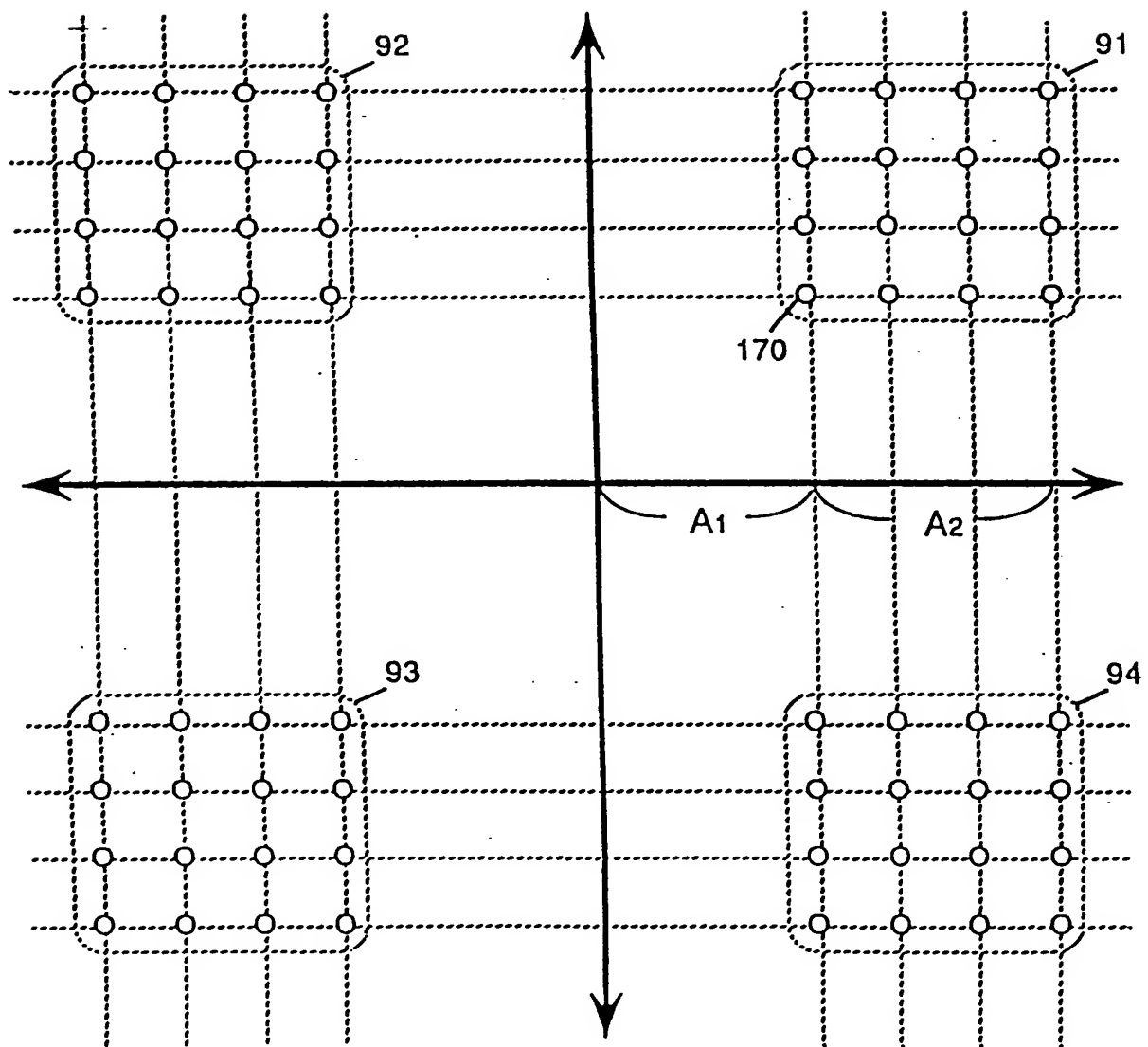


FIG. 13

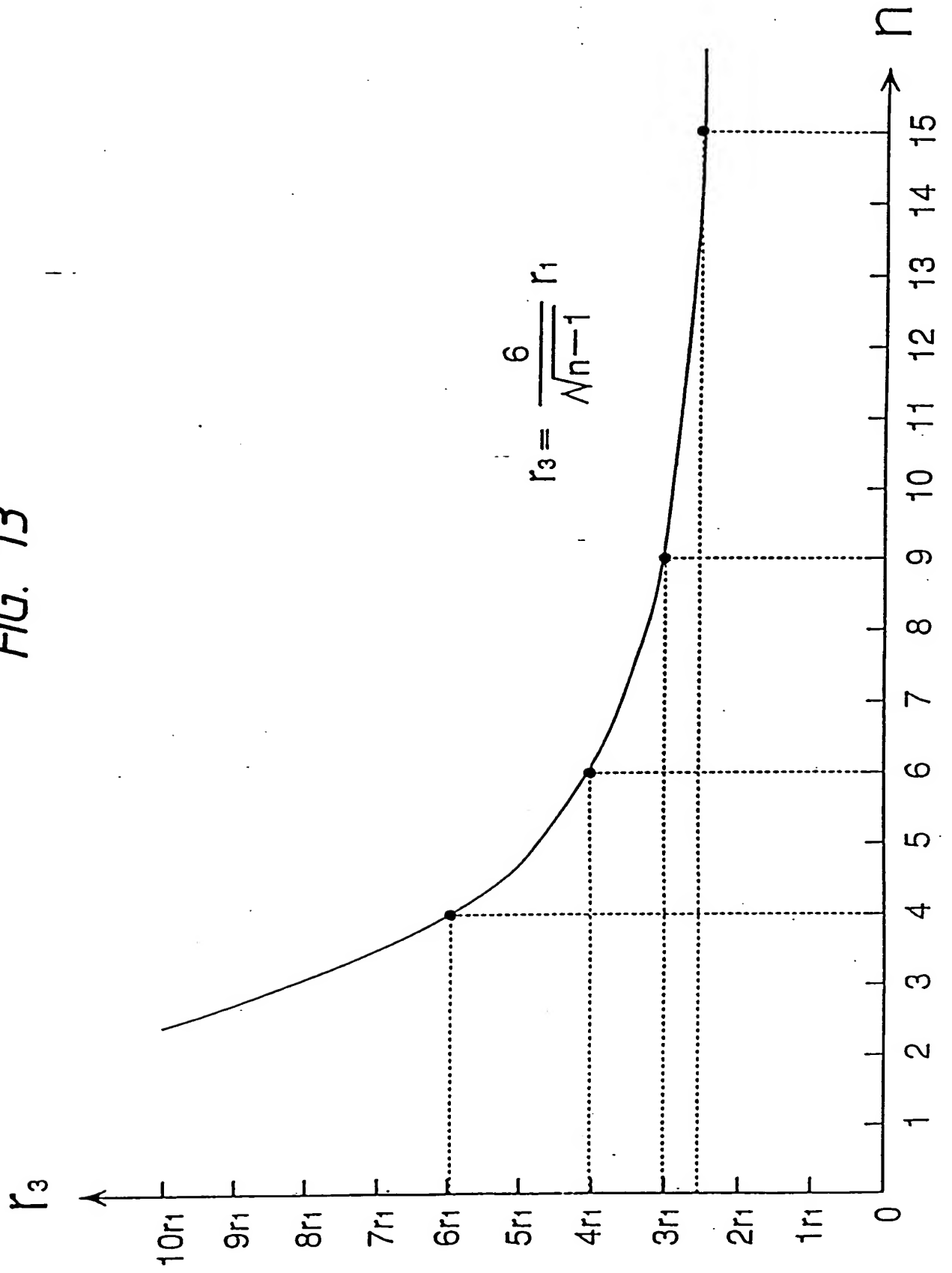


FIG. 14

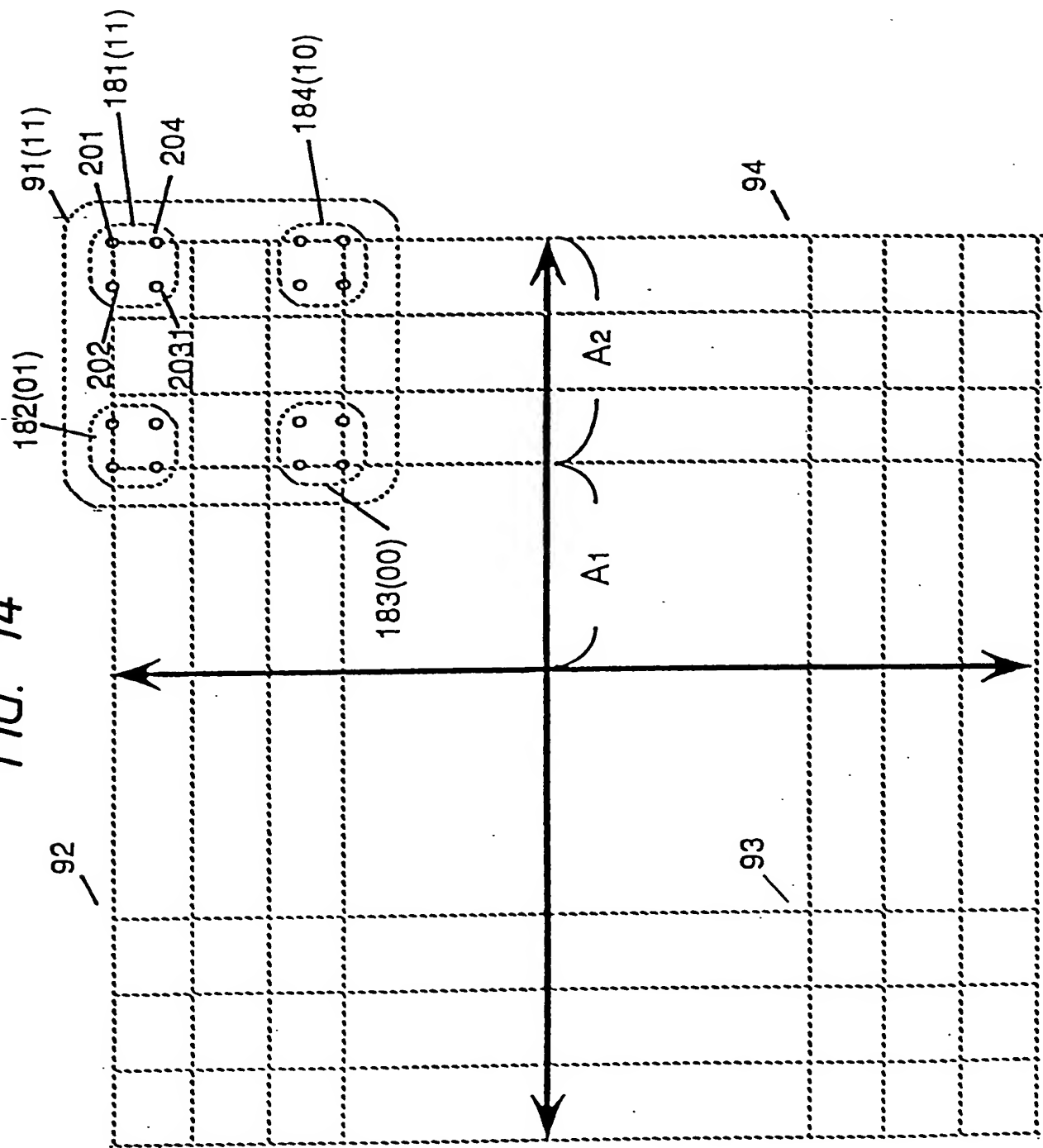


FIG. 15

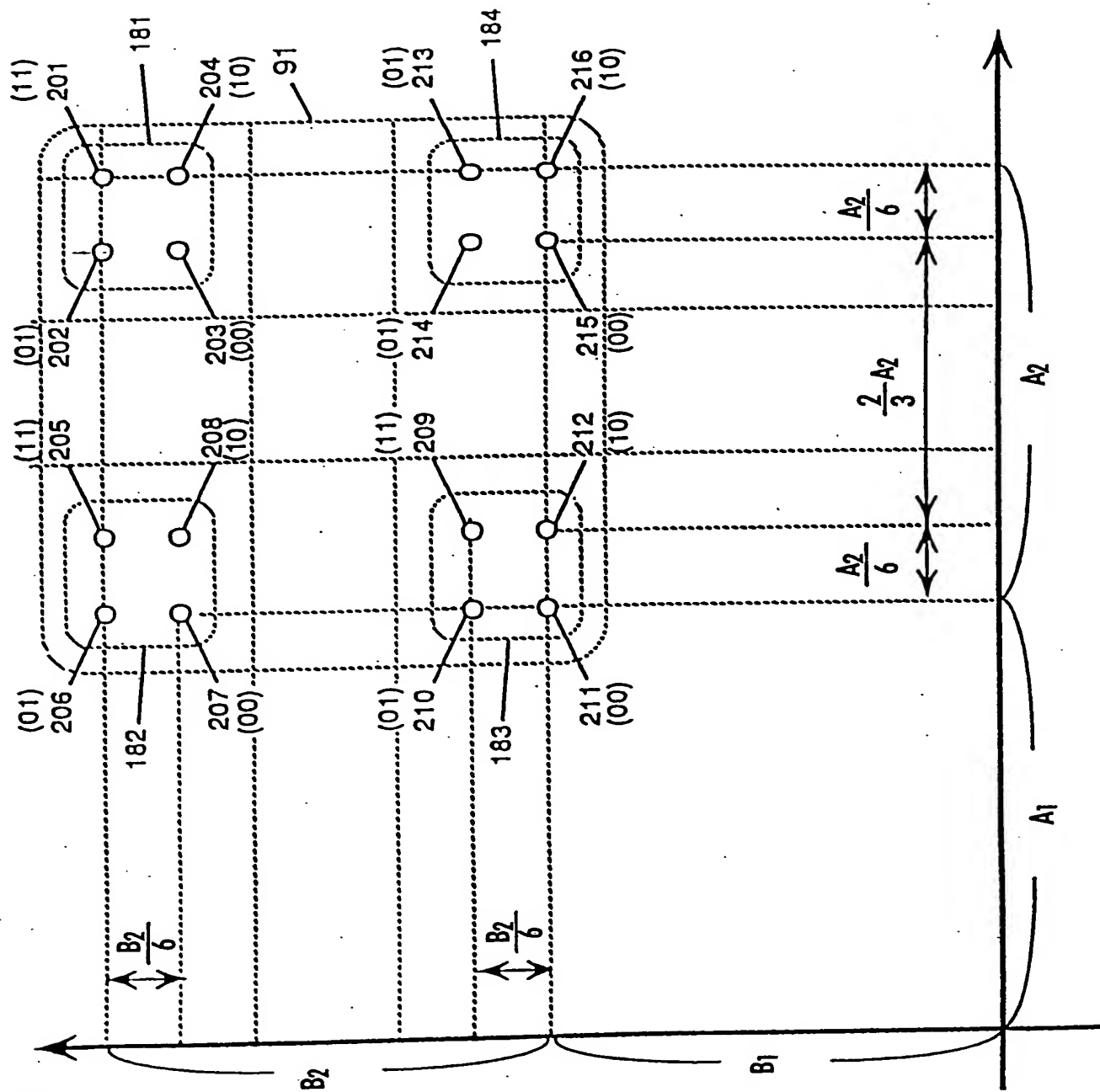


FIG. 16

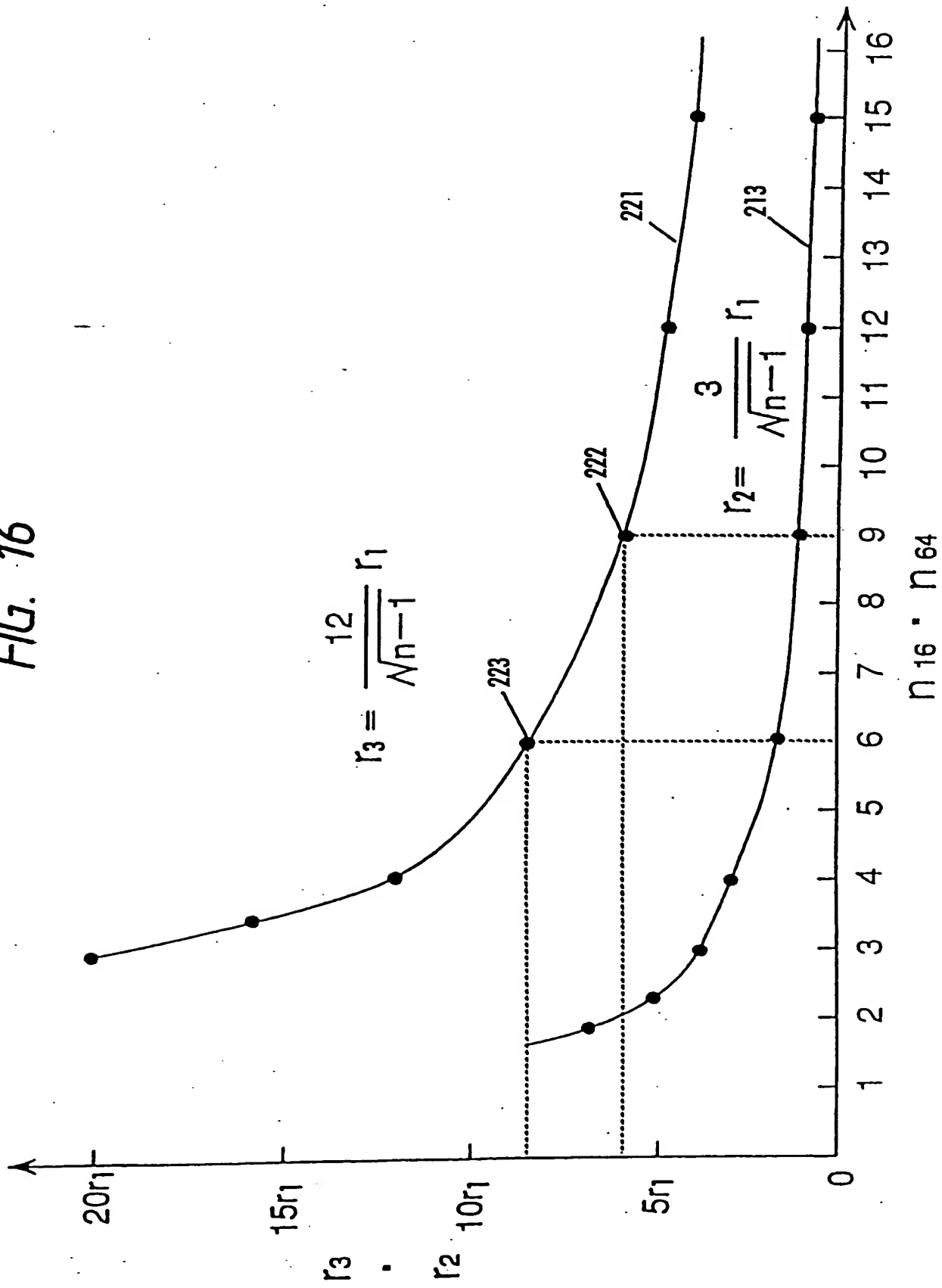




FIG. 17

DIGITAL TRANSMITTER

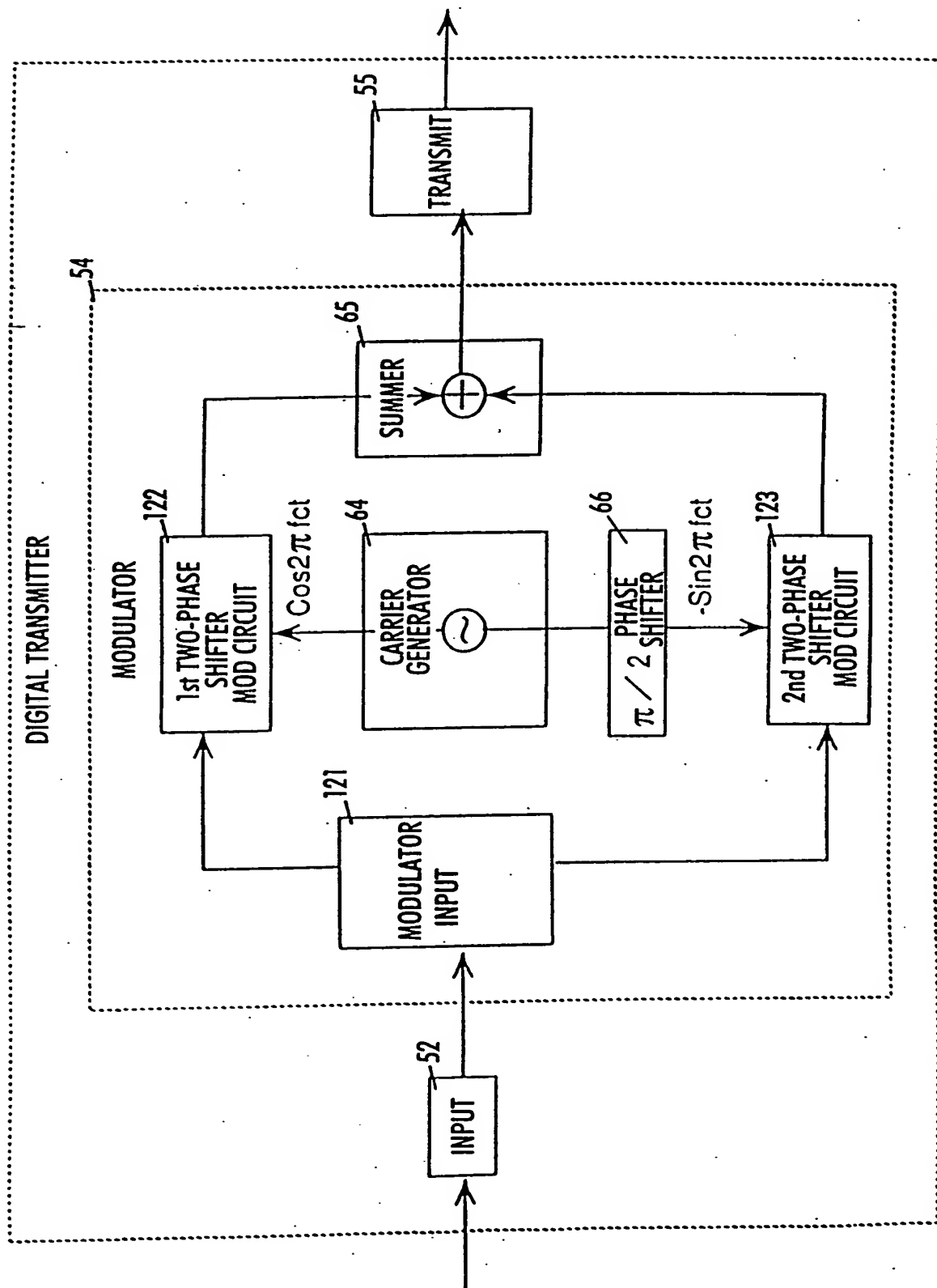


FIG. 18

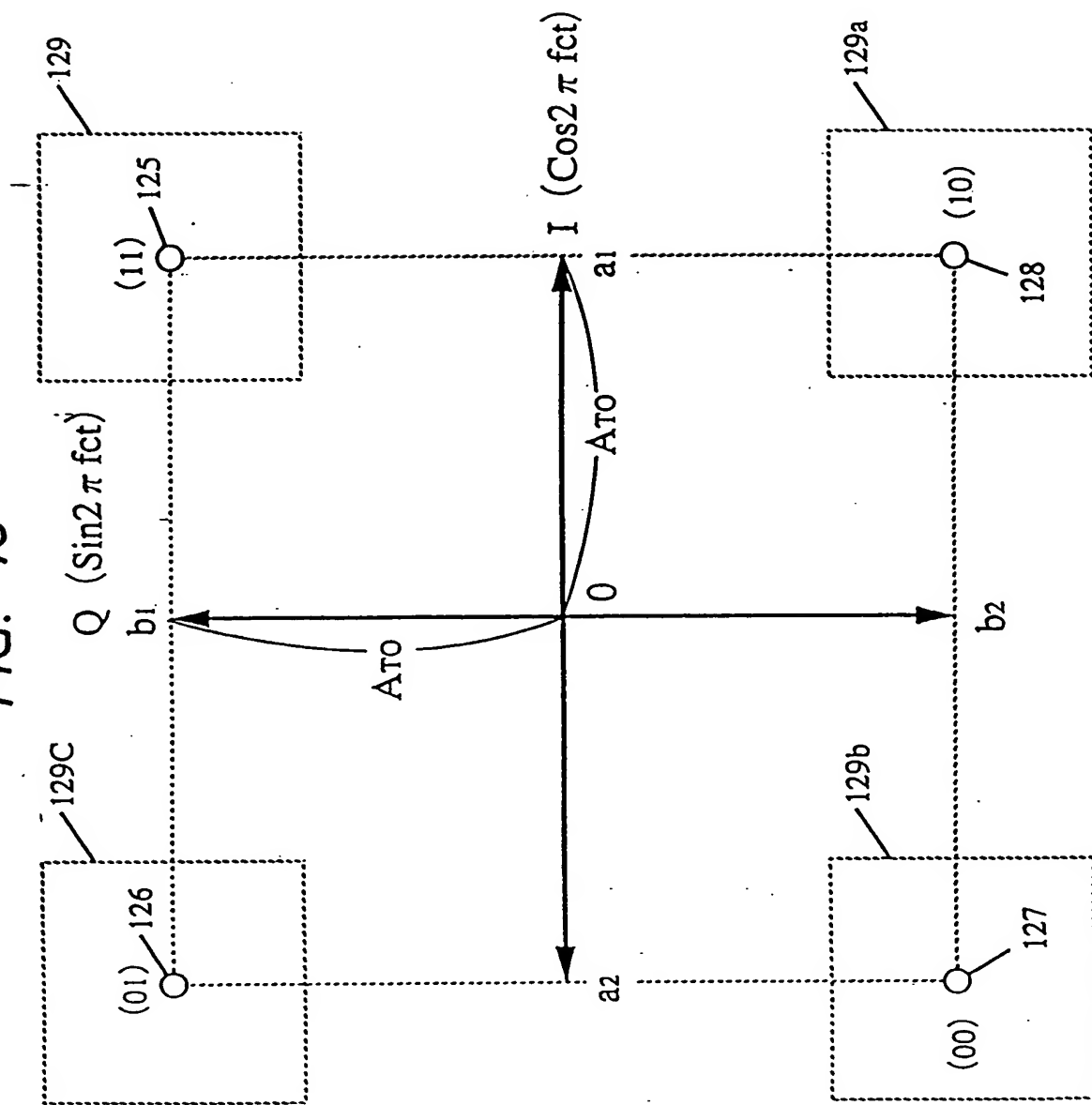


FIG. 19

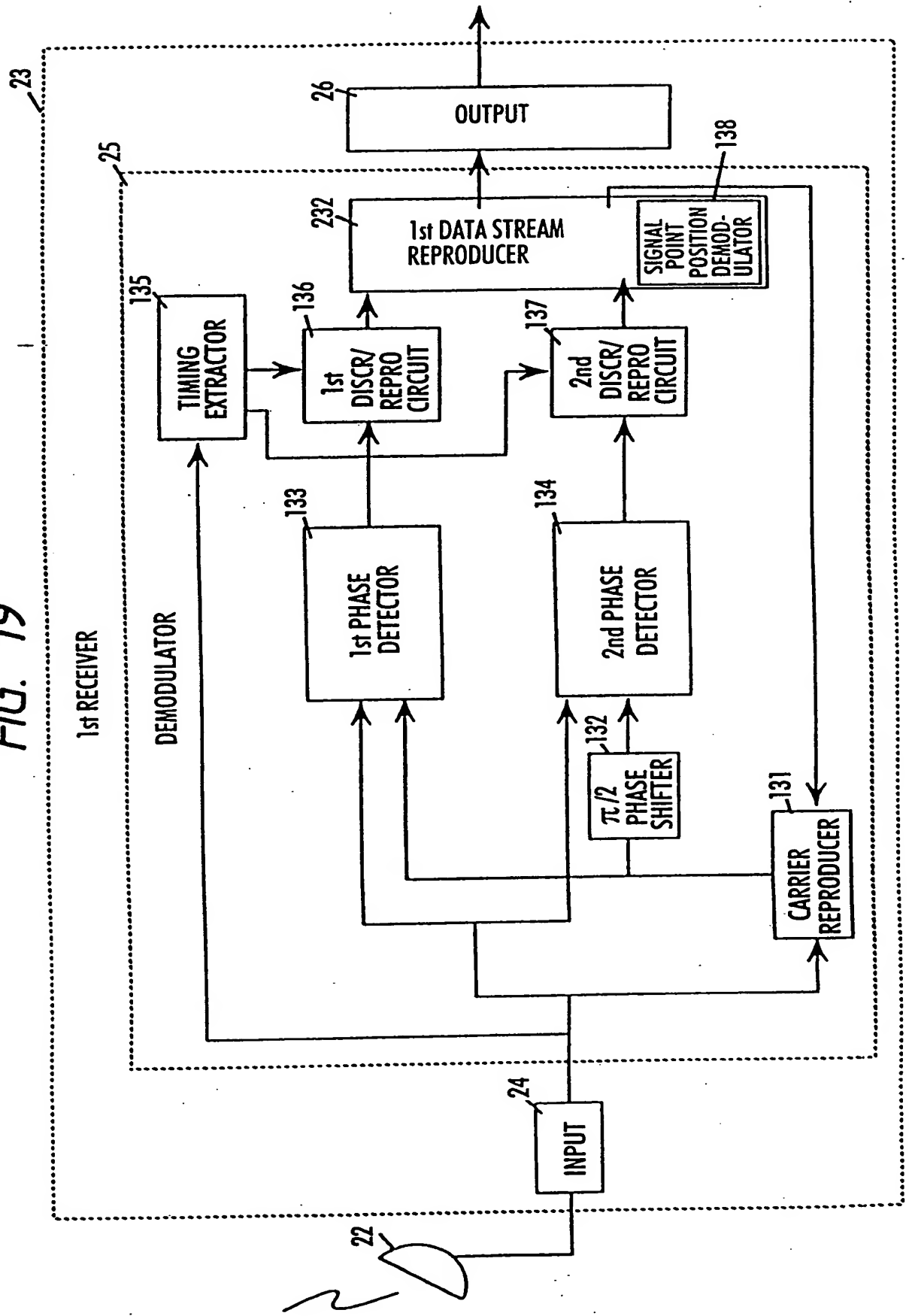


FIG. 20

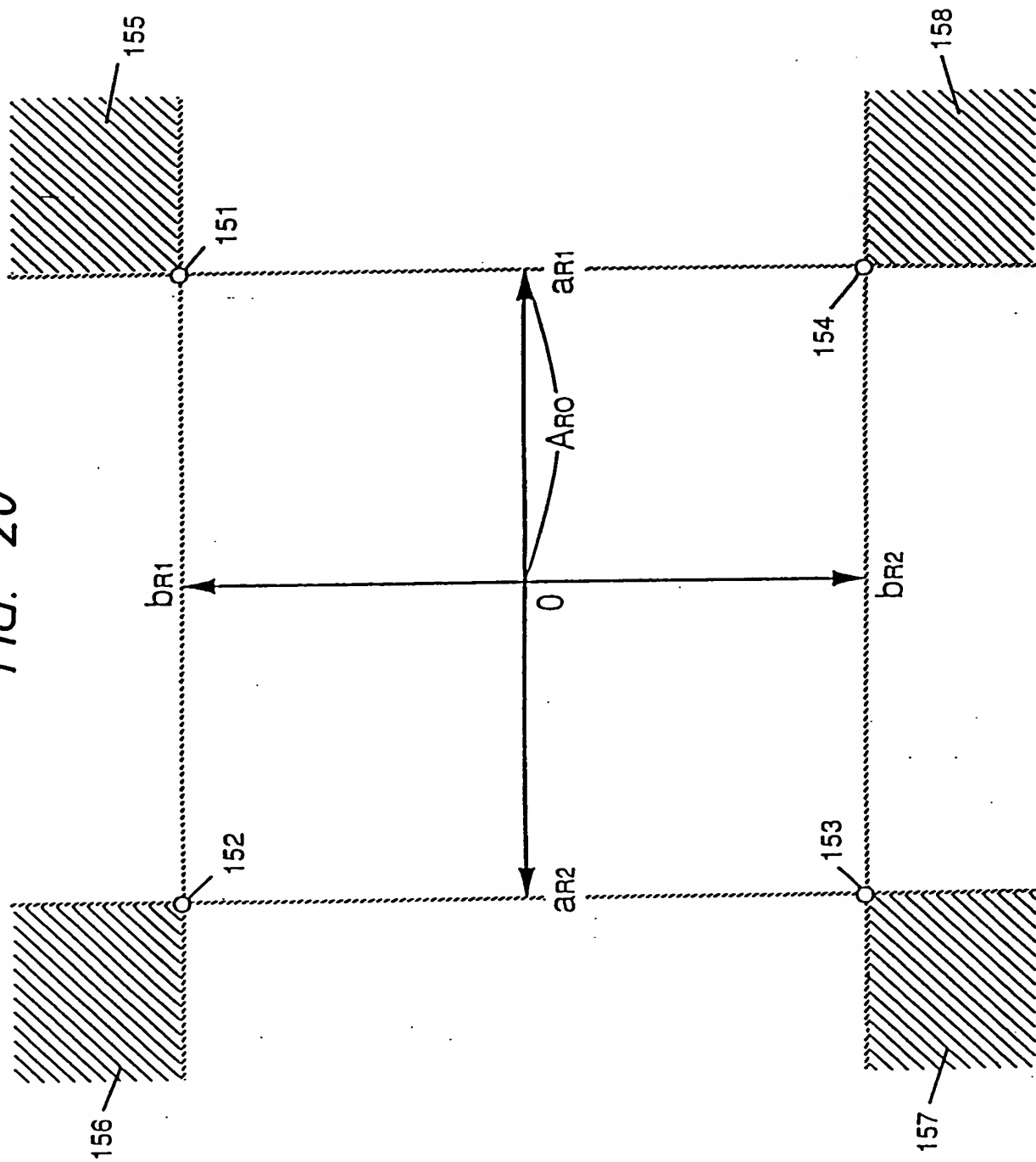


FIG. 21

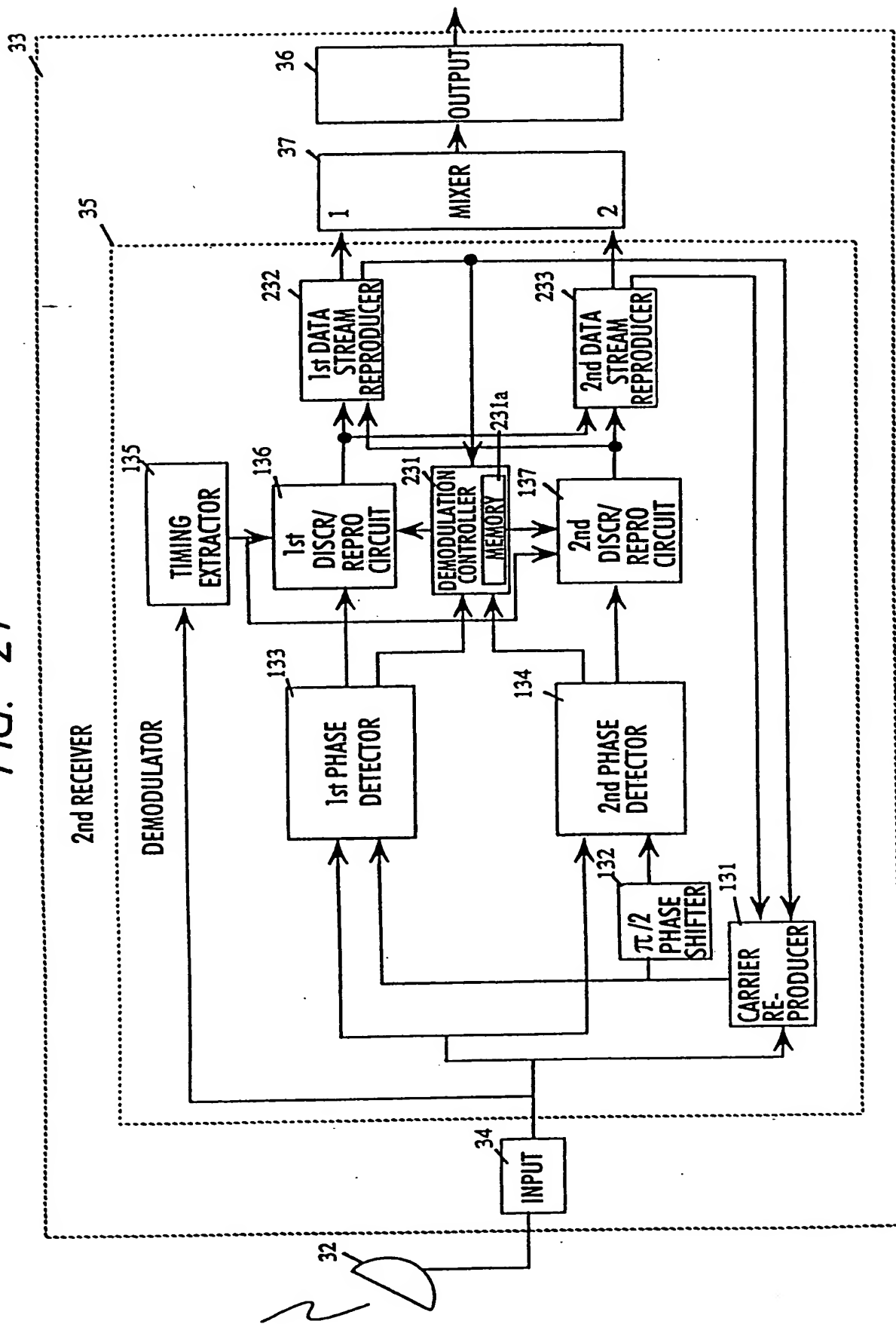


FIG. 22

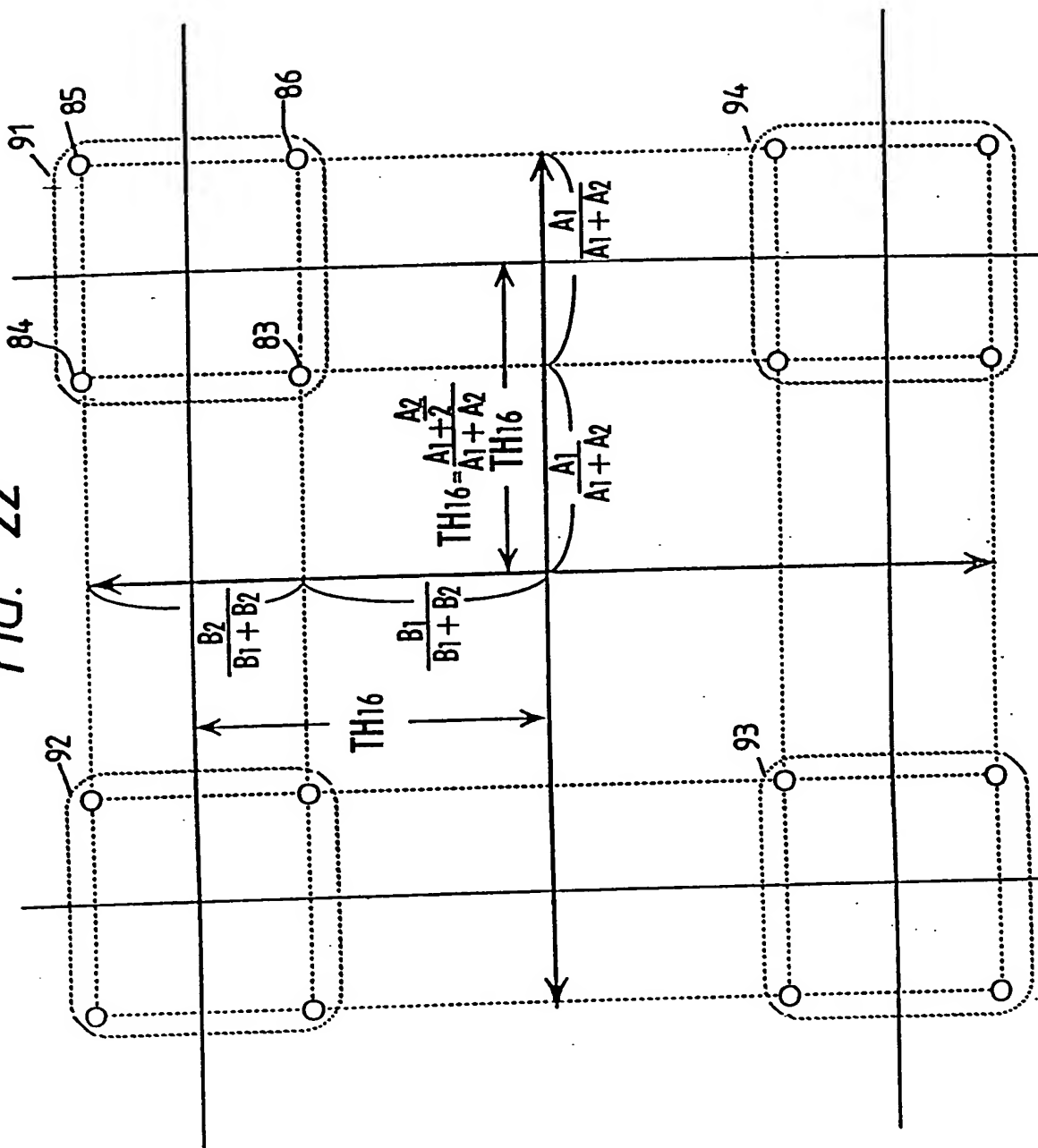
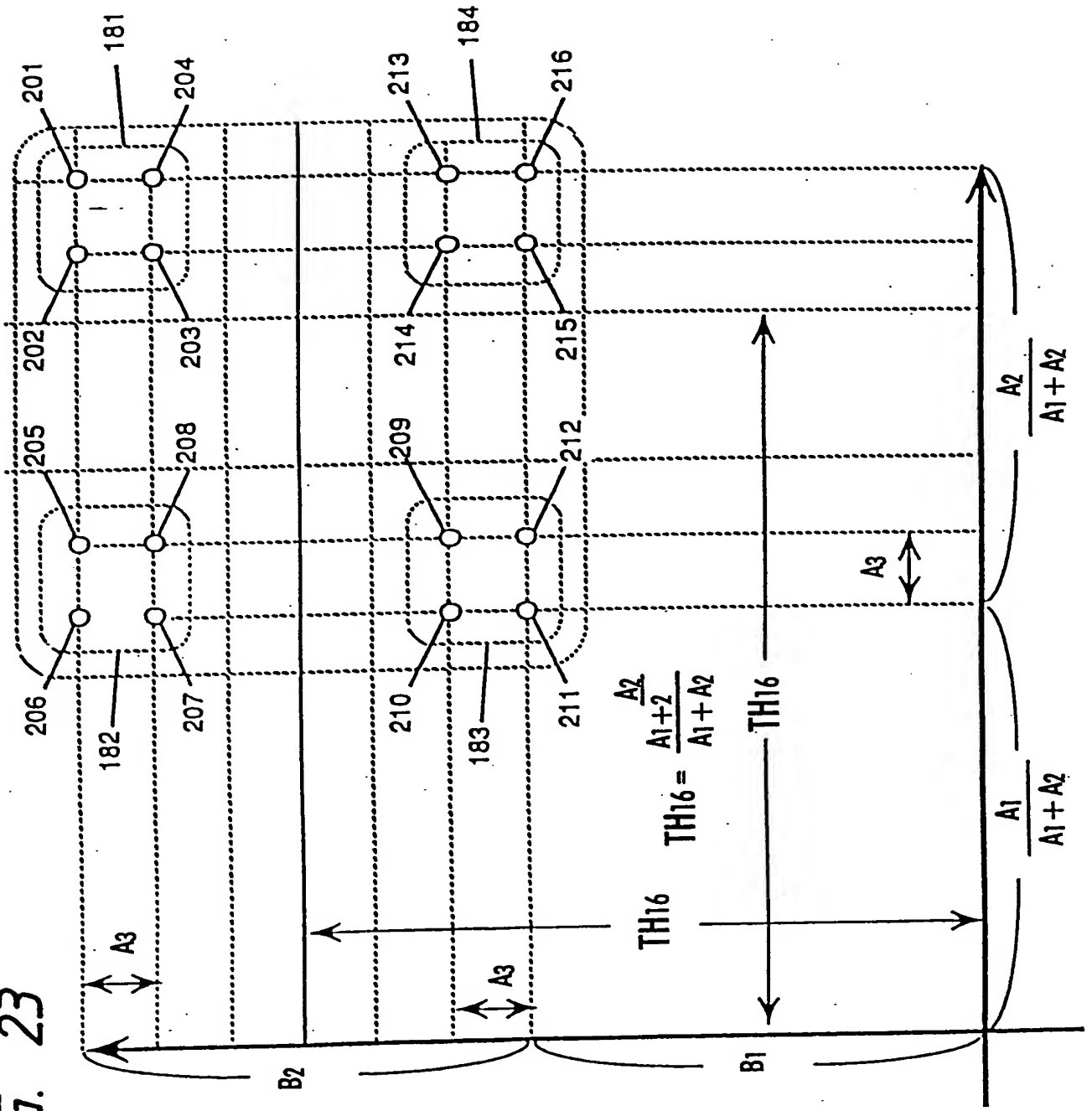
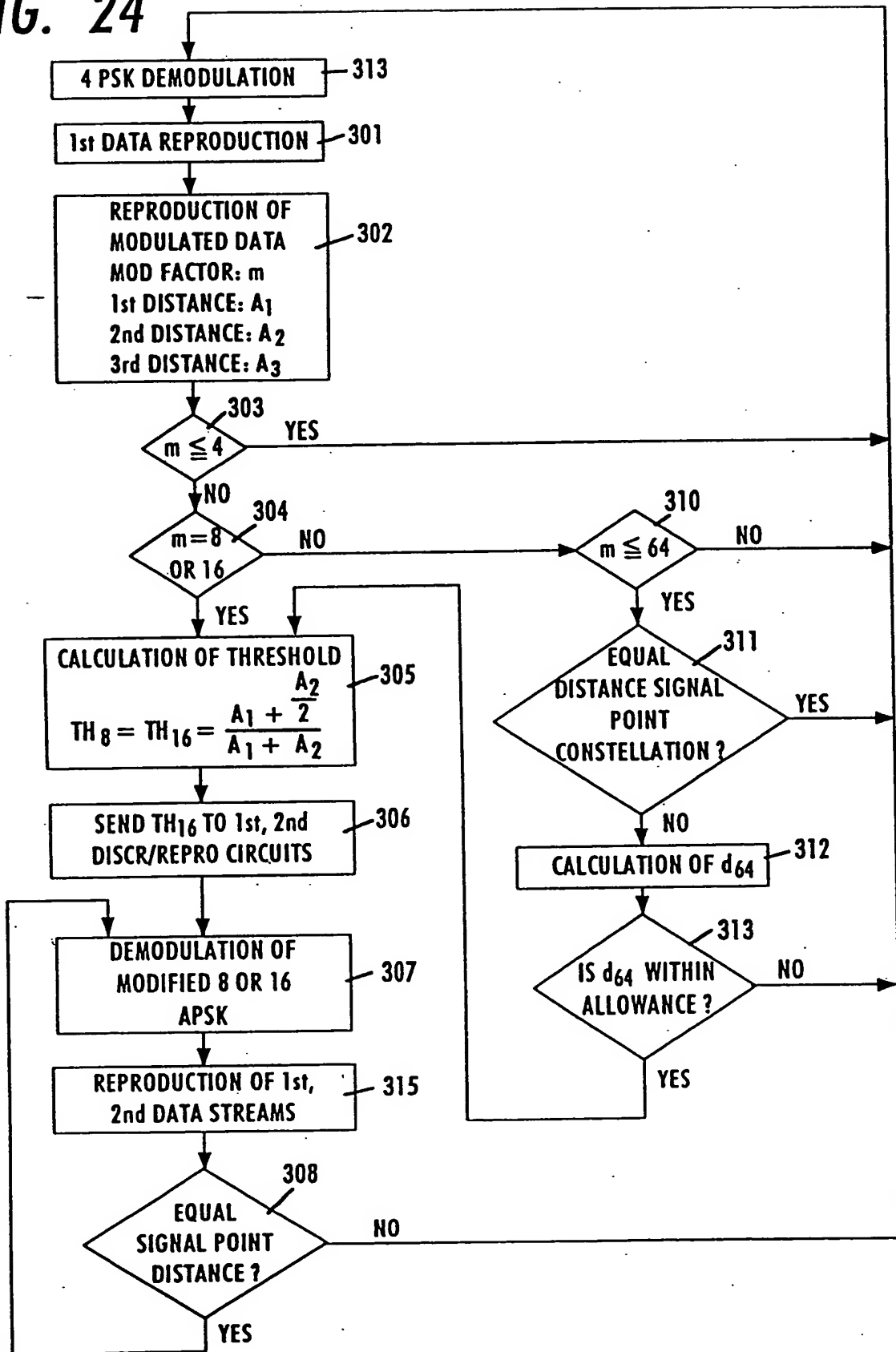


FIG. 23

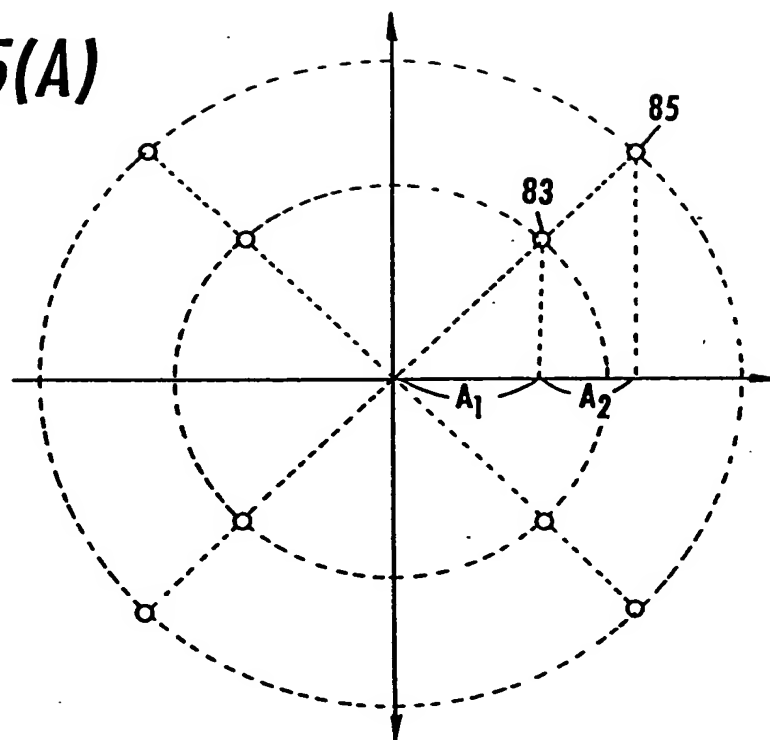


**FIG. 24**





**FIG. 25(A)**



**FIG. 25(B)**

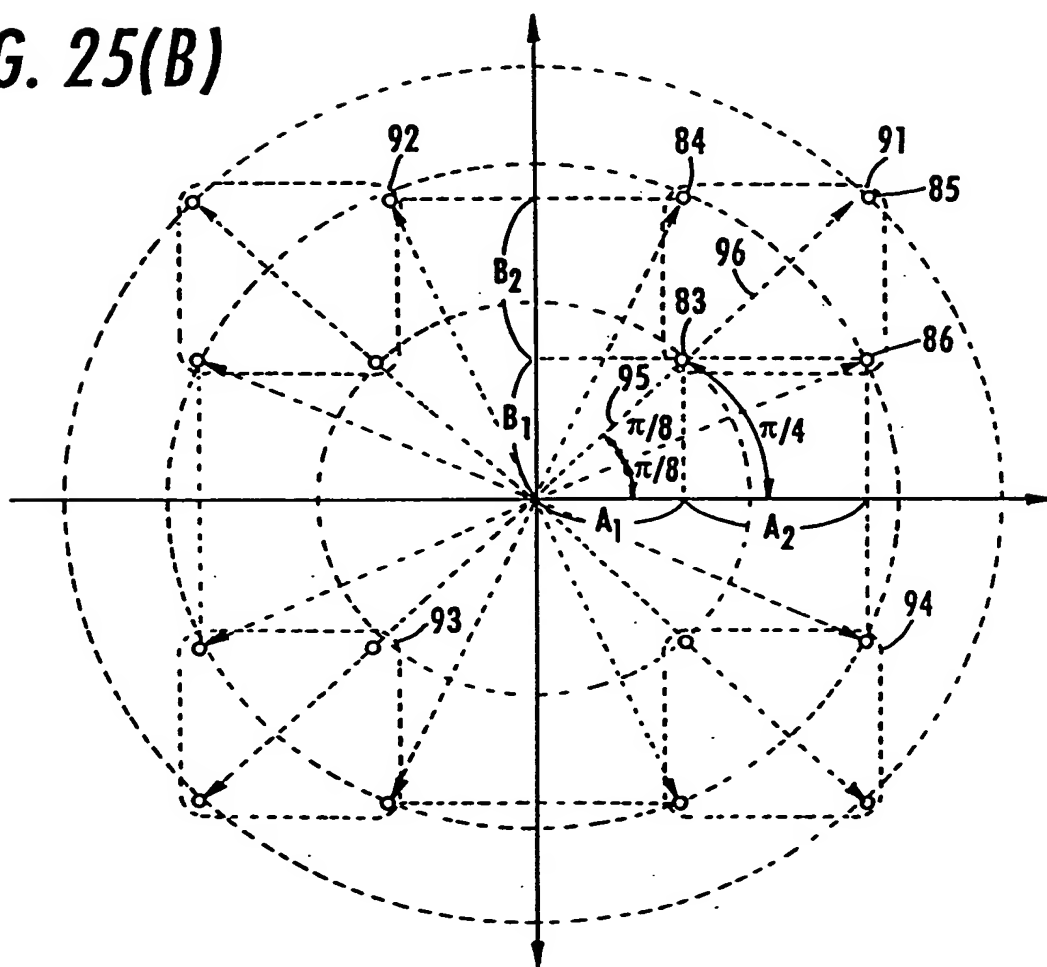


FIG. 26

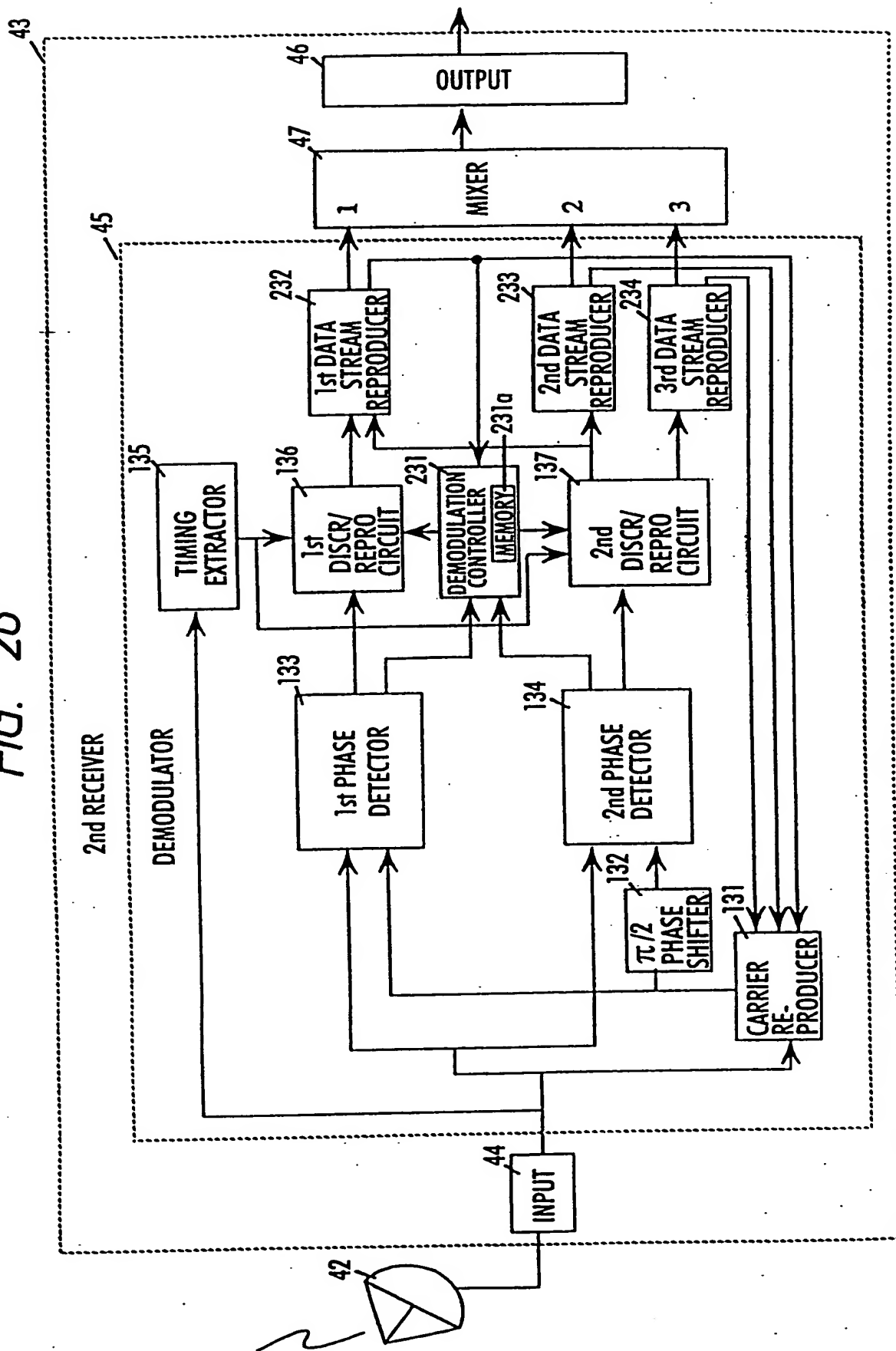
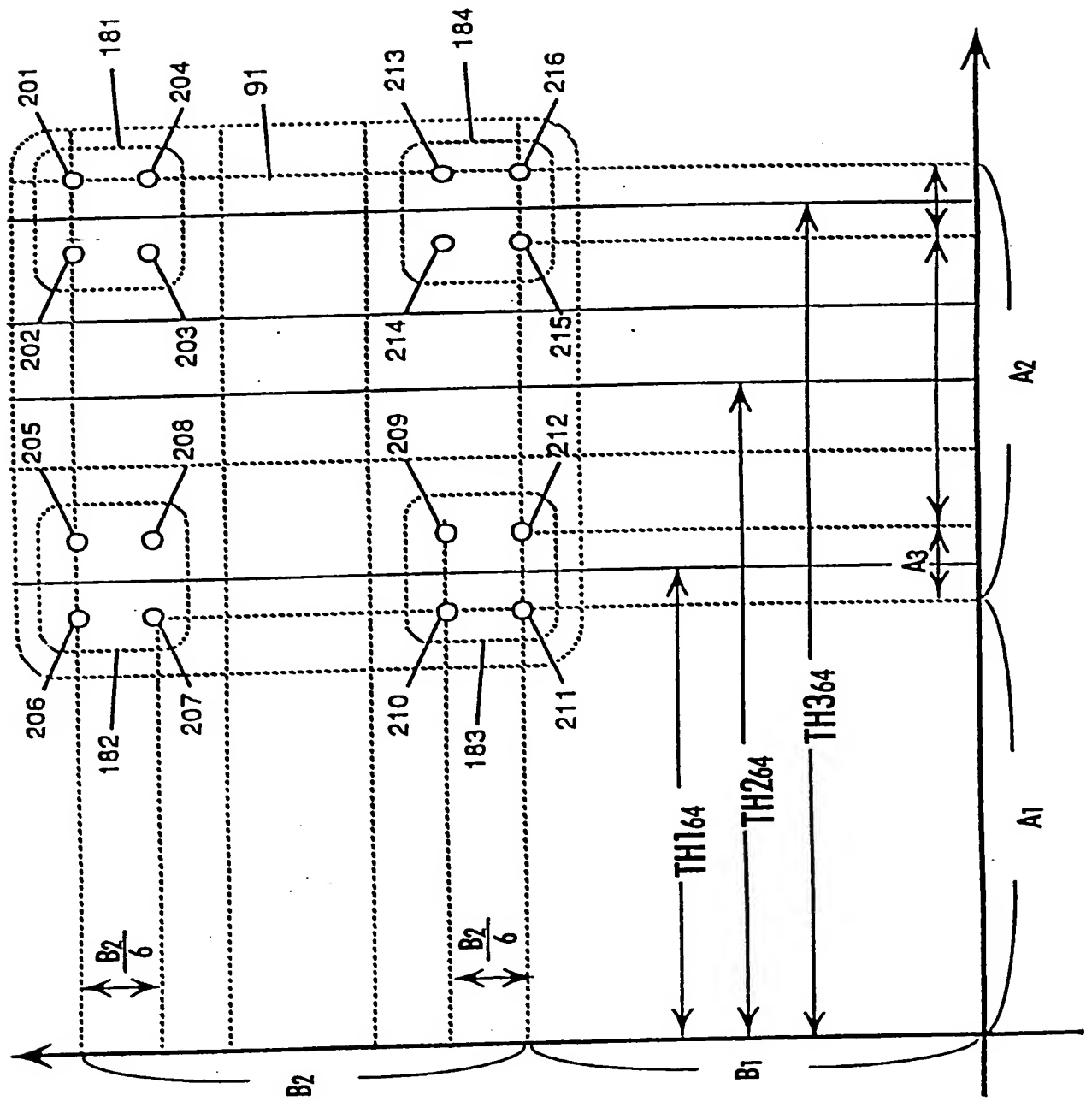


FIG. 27



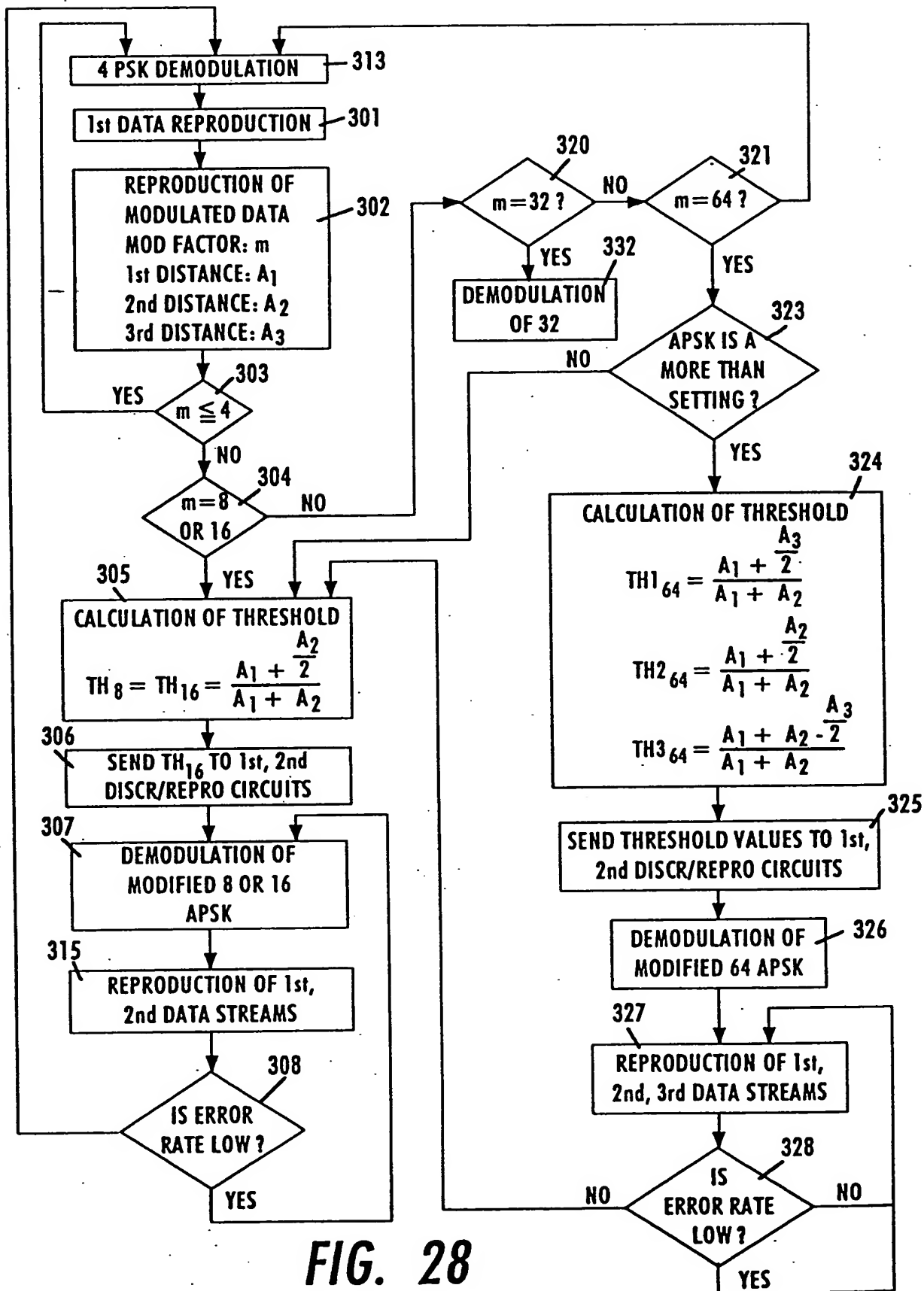


FIG. 29

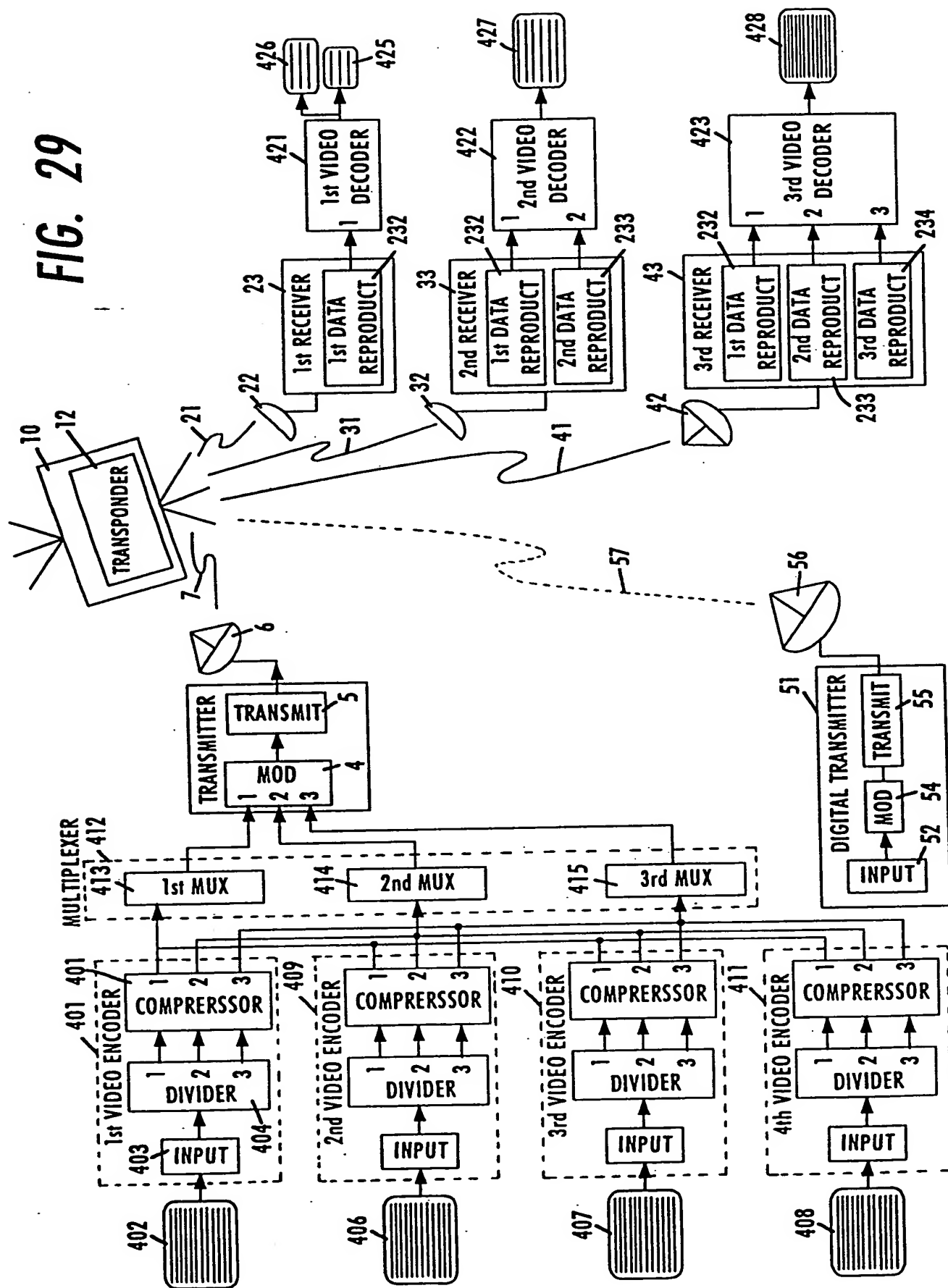


FIG. 30

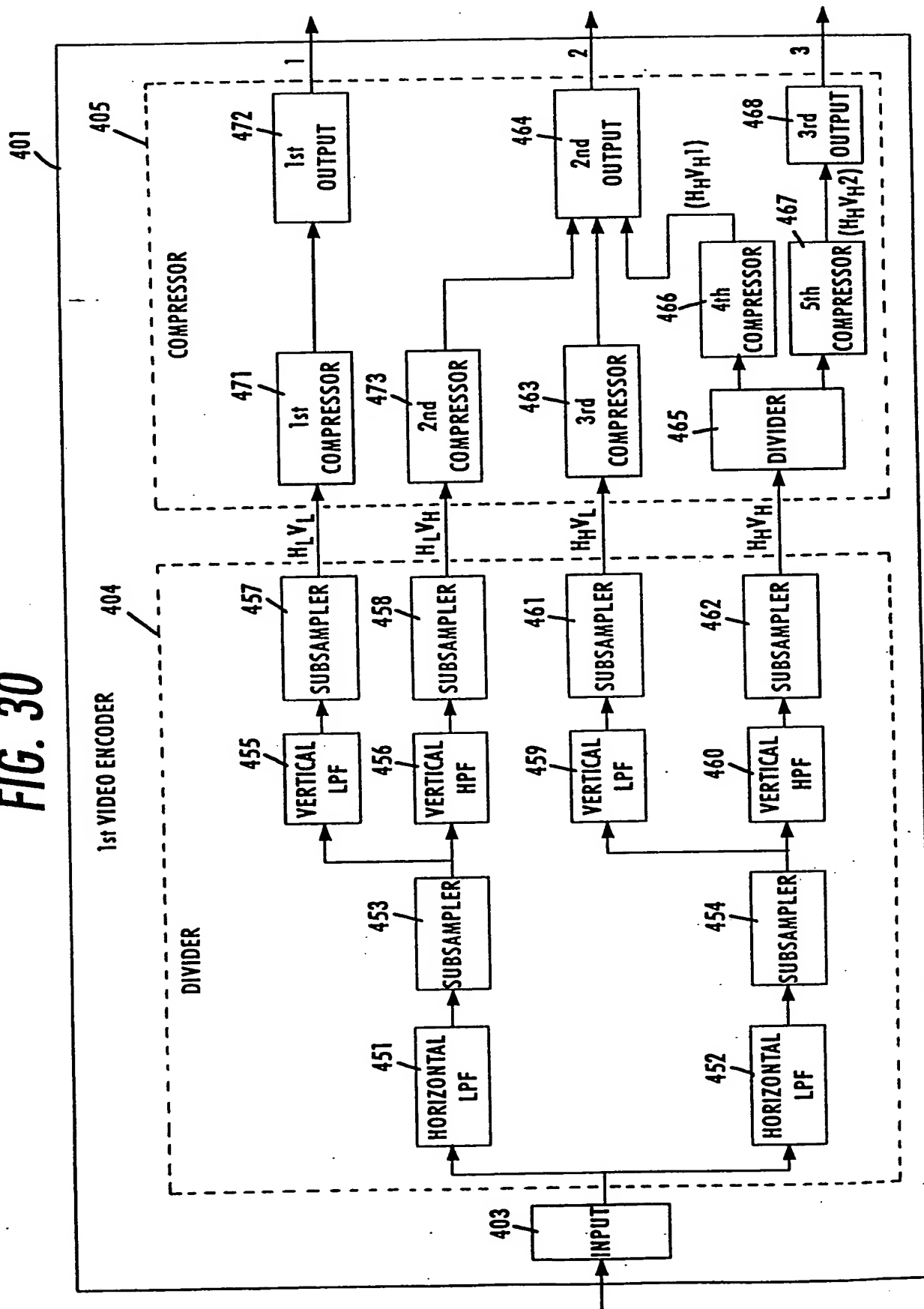
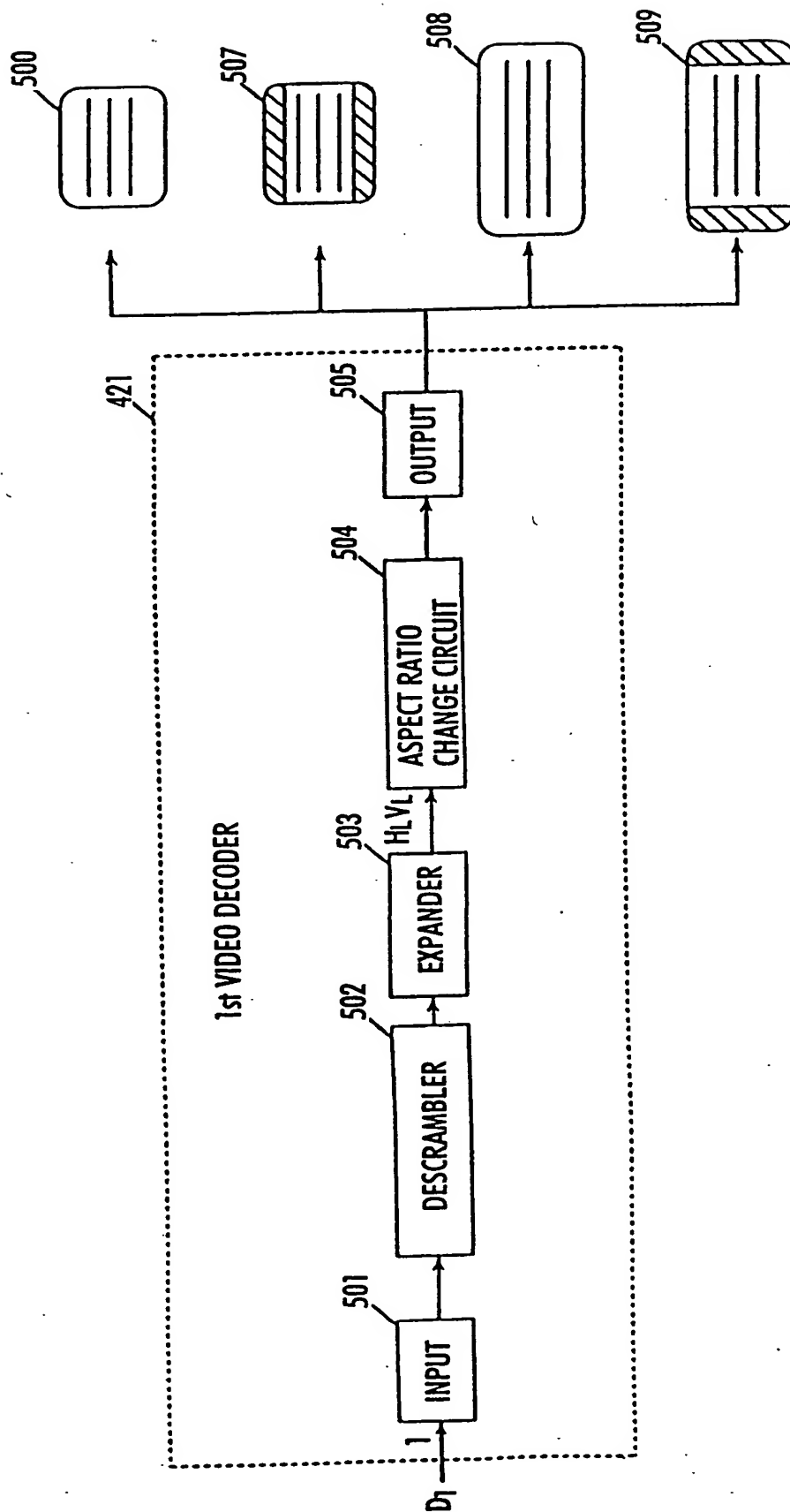


FIG. 31



**FIG. 32**

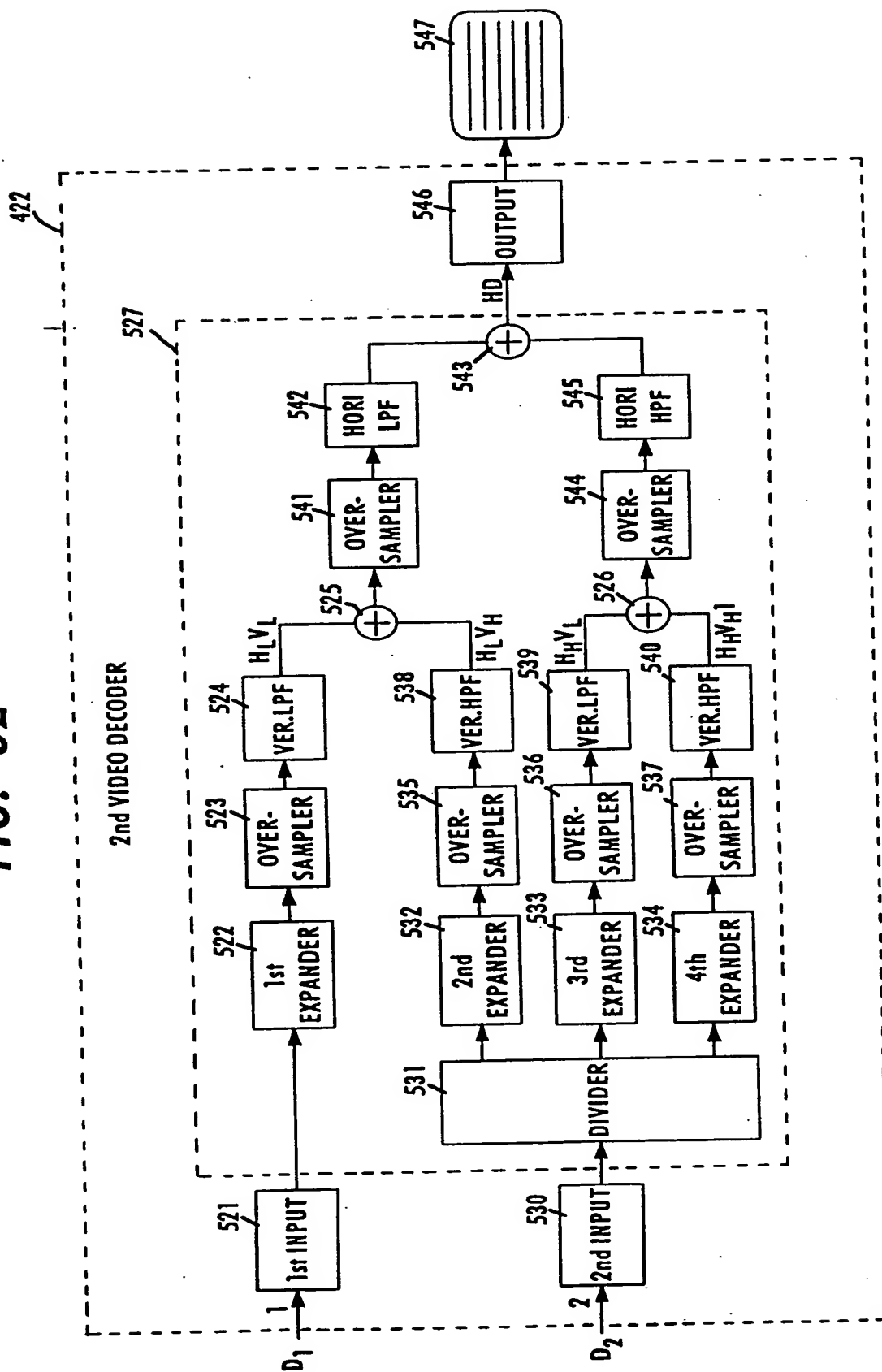




FIG. 33

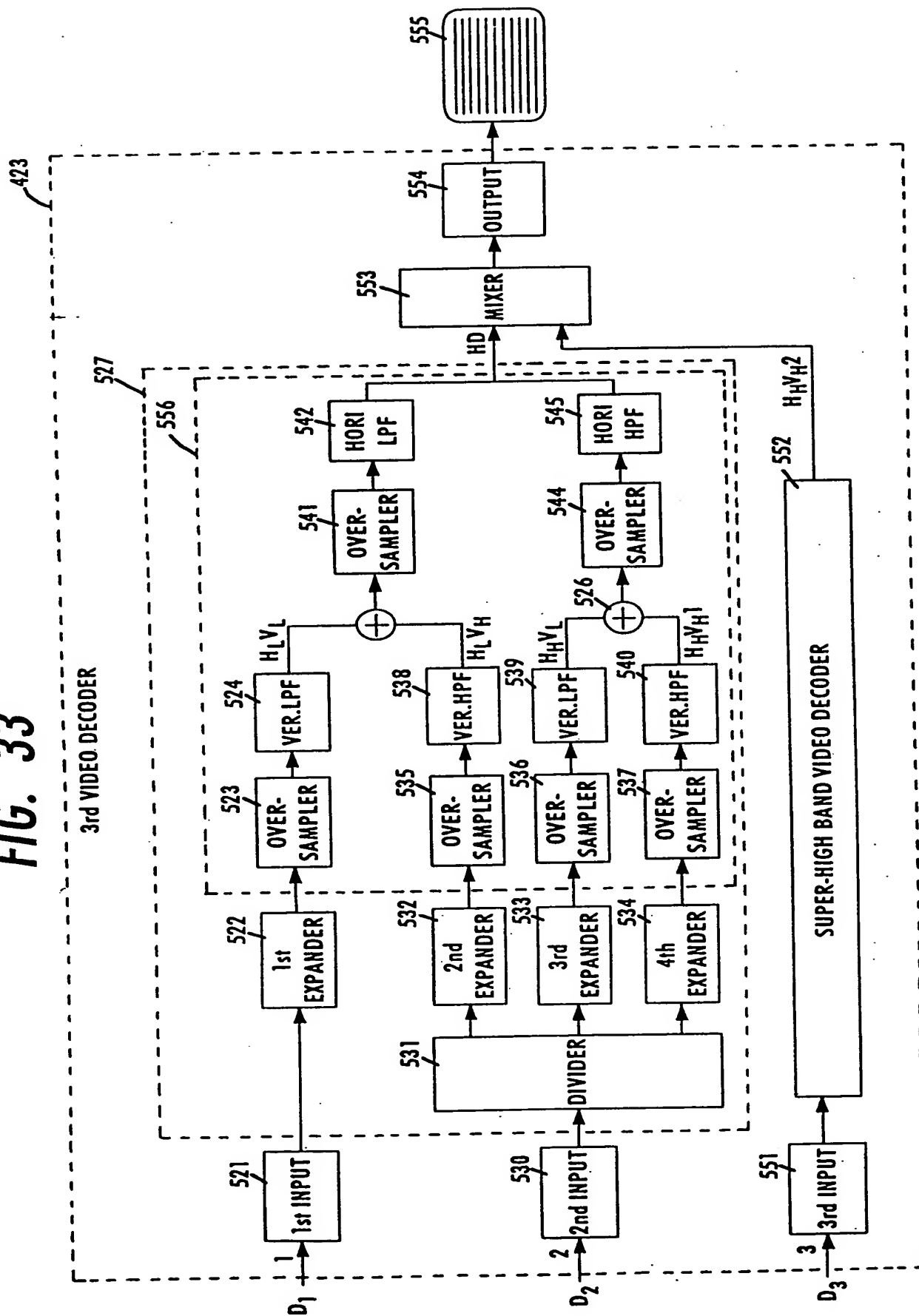


FIG. 34

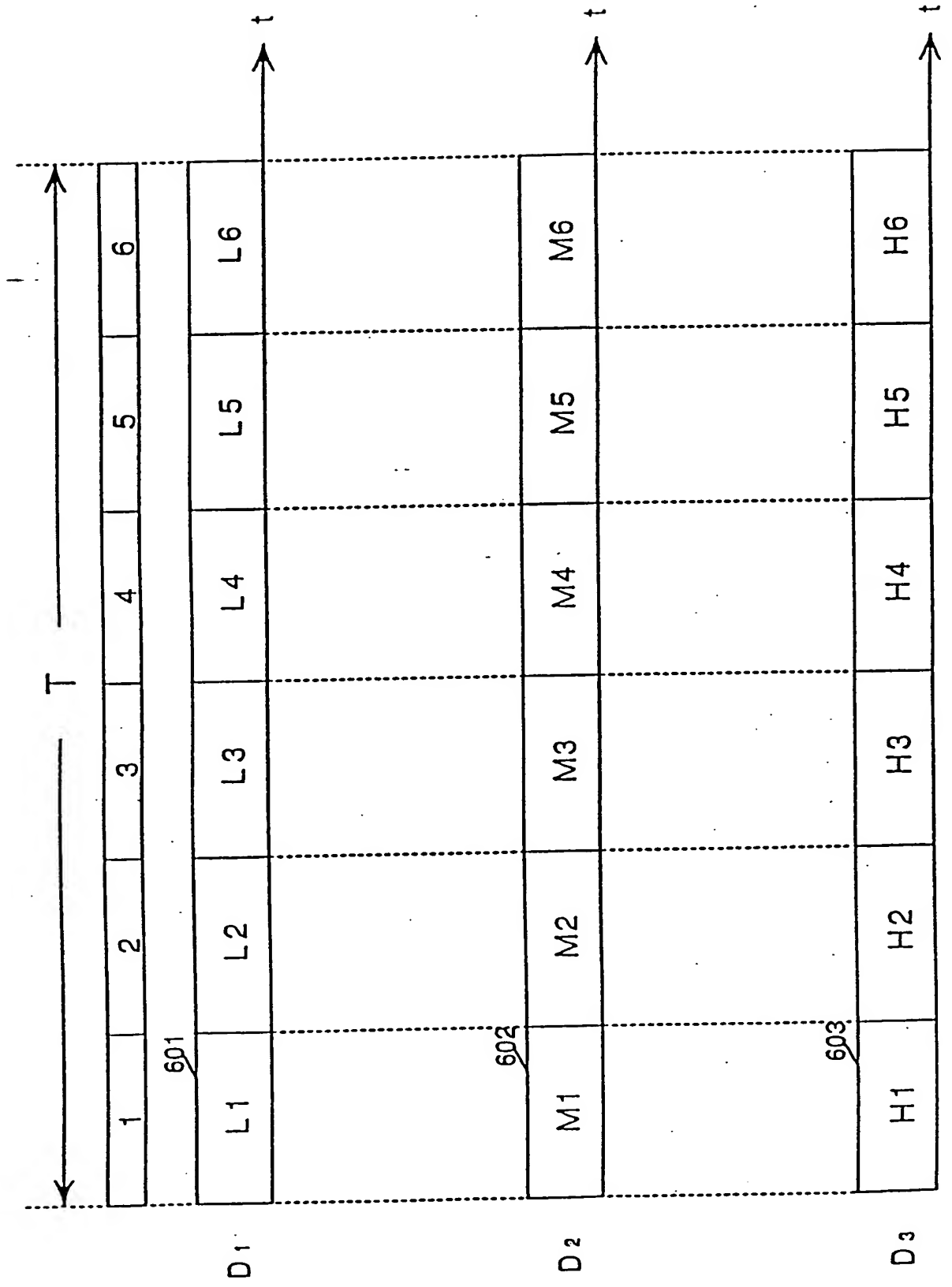


FIG. 35

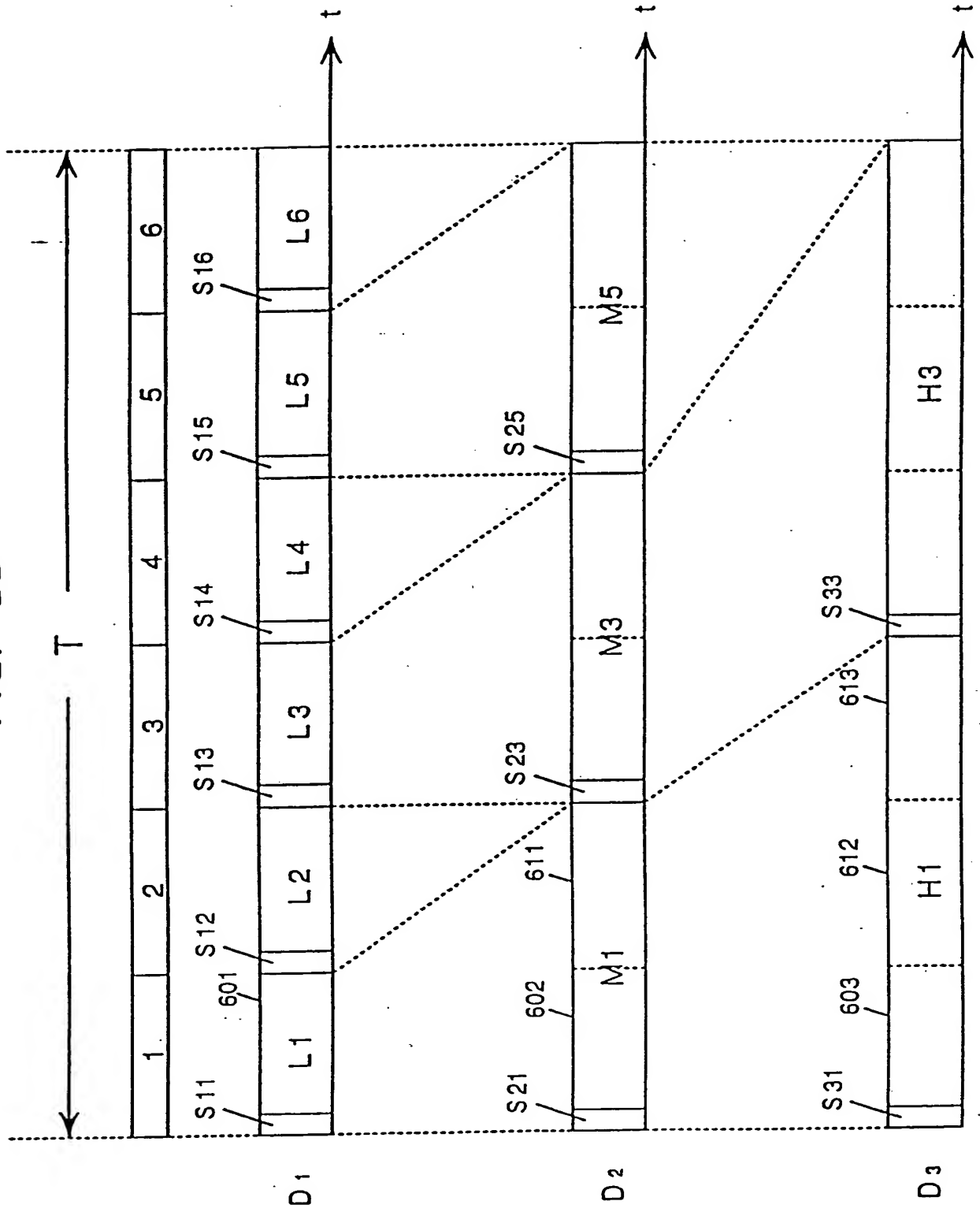


FIG. 36

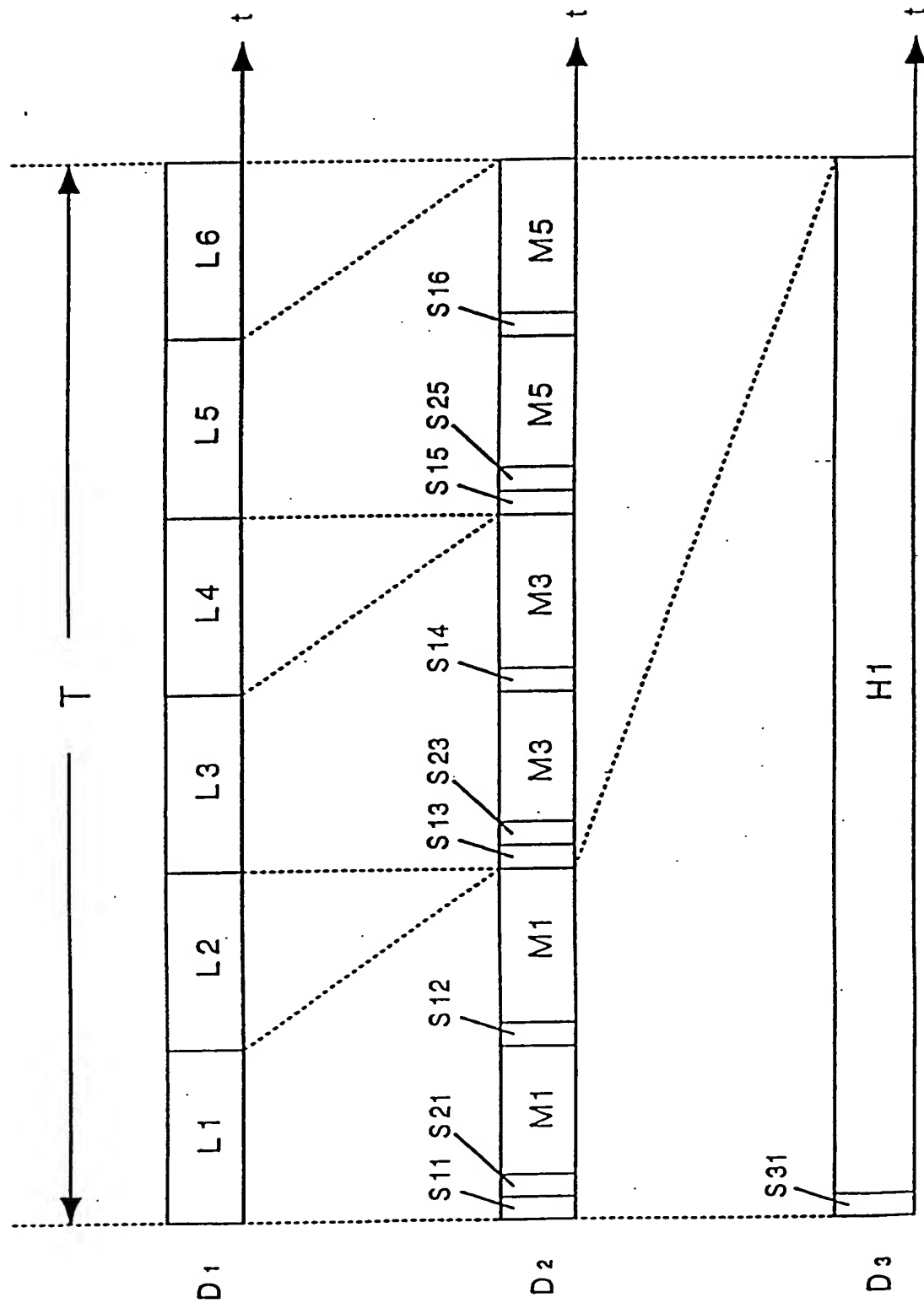


FIG. 37

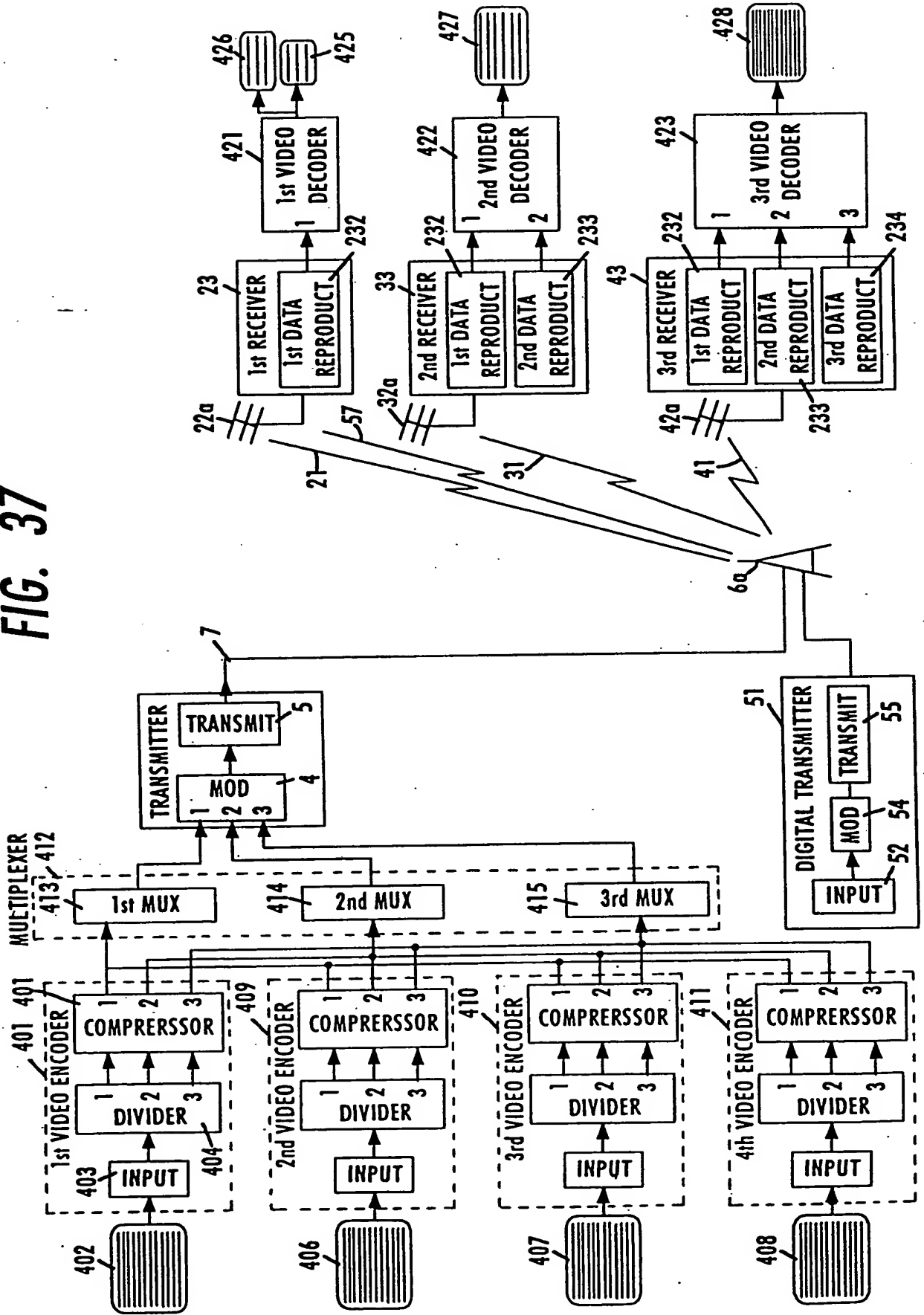
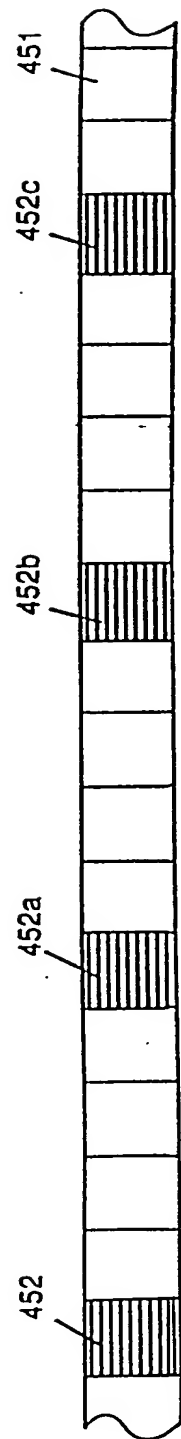
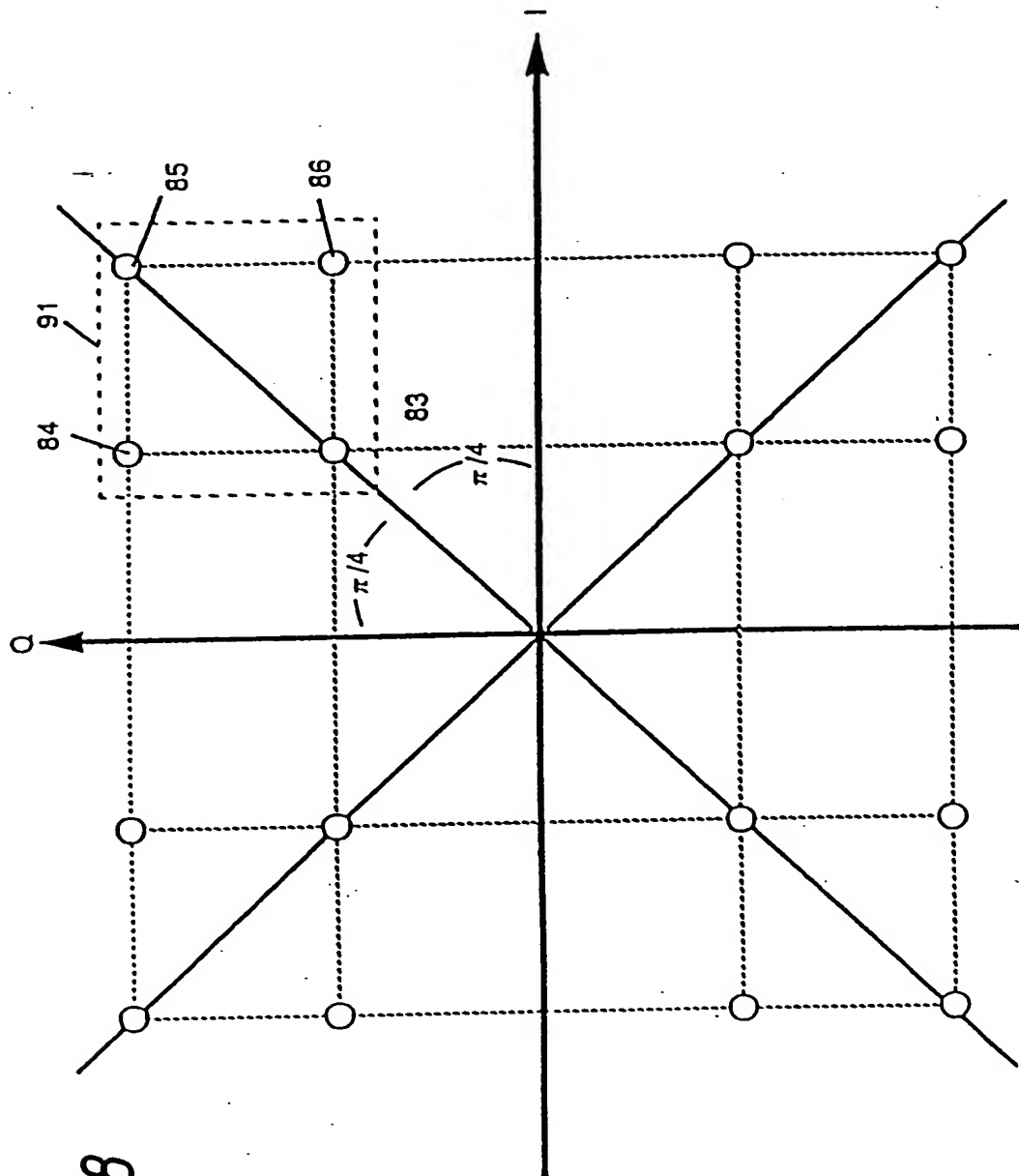
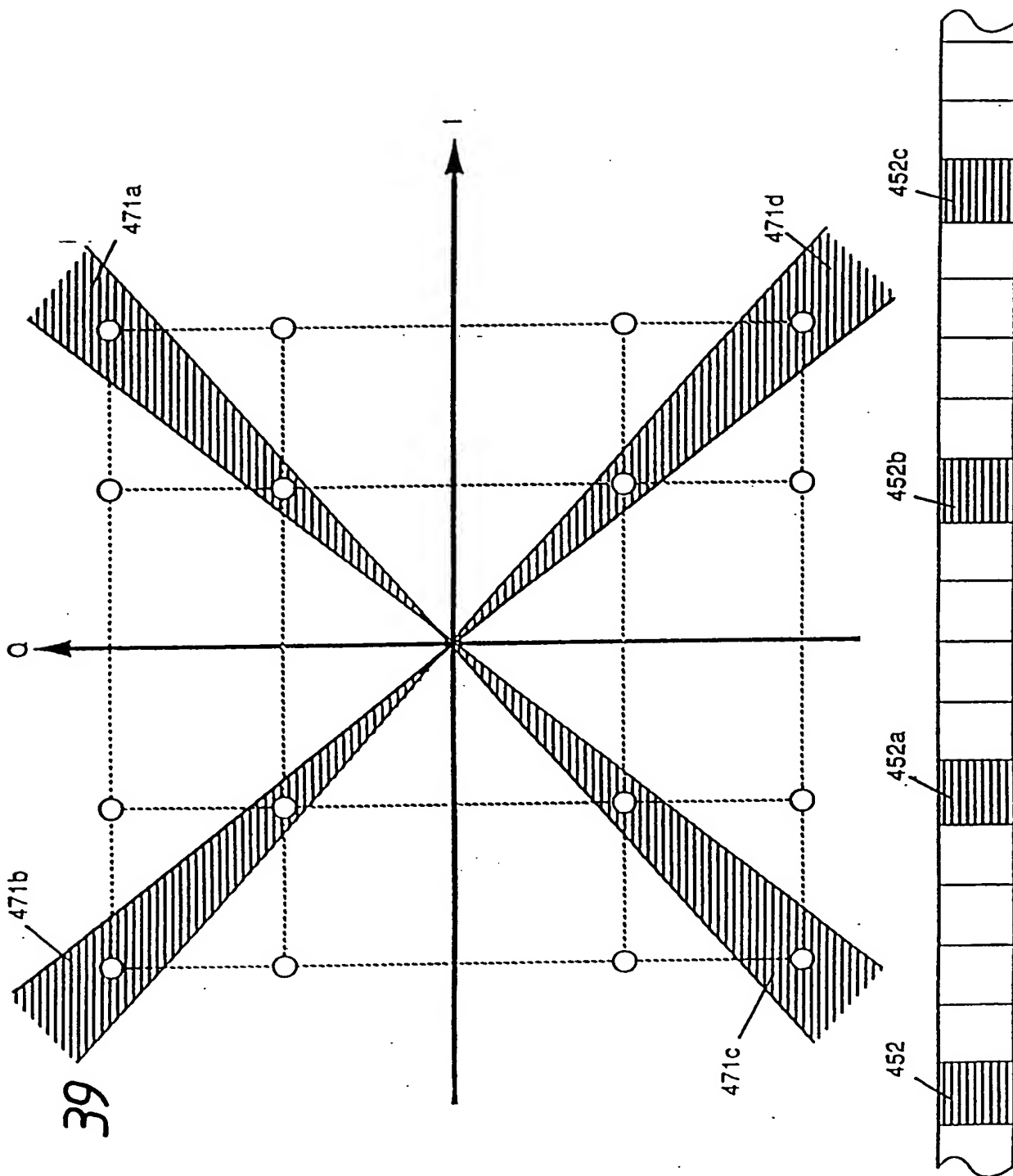
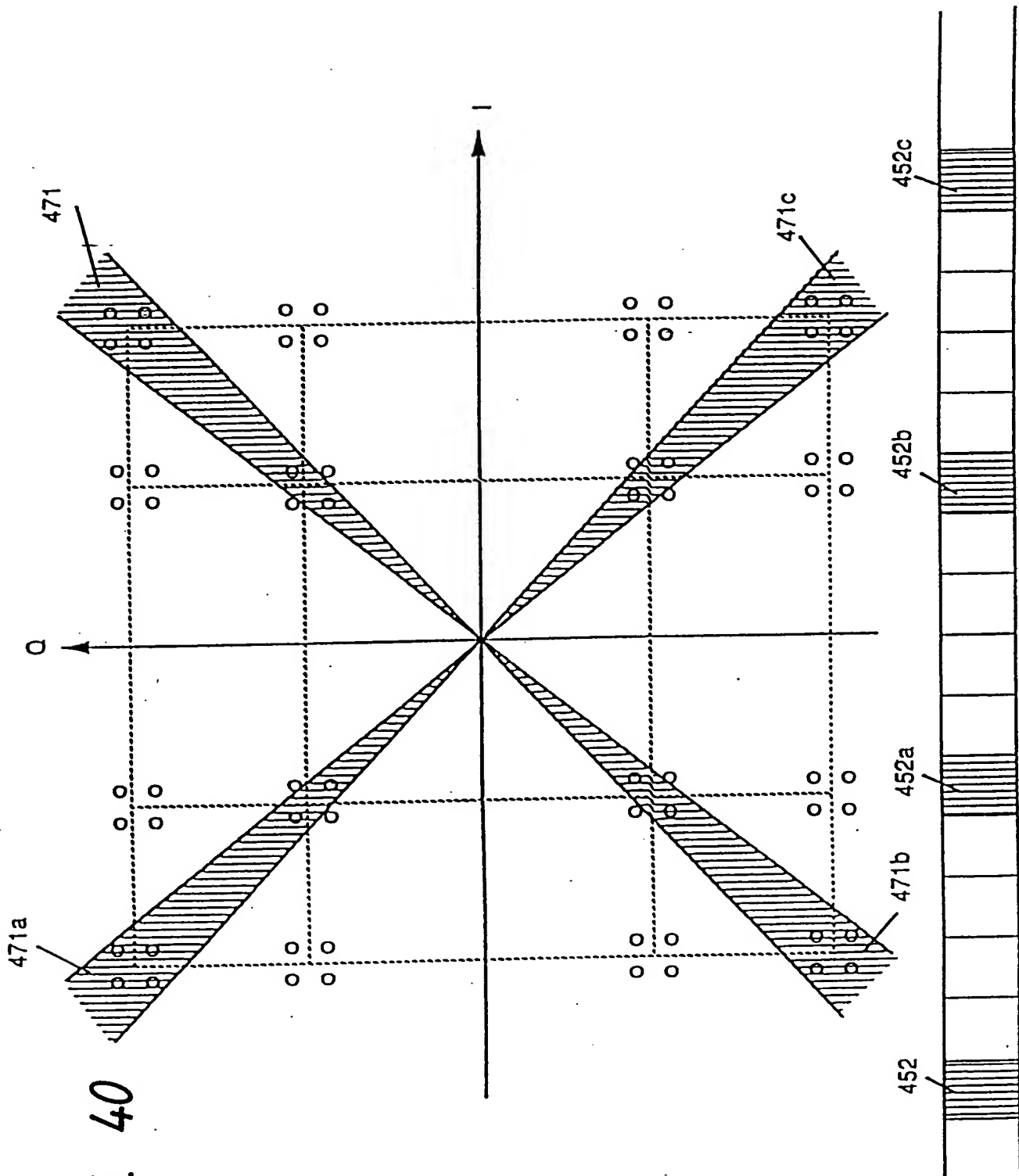


FIG. 38











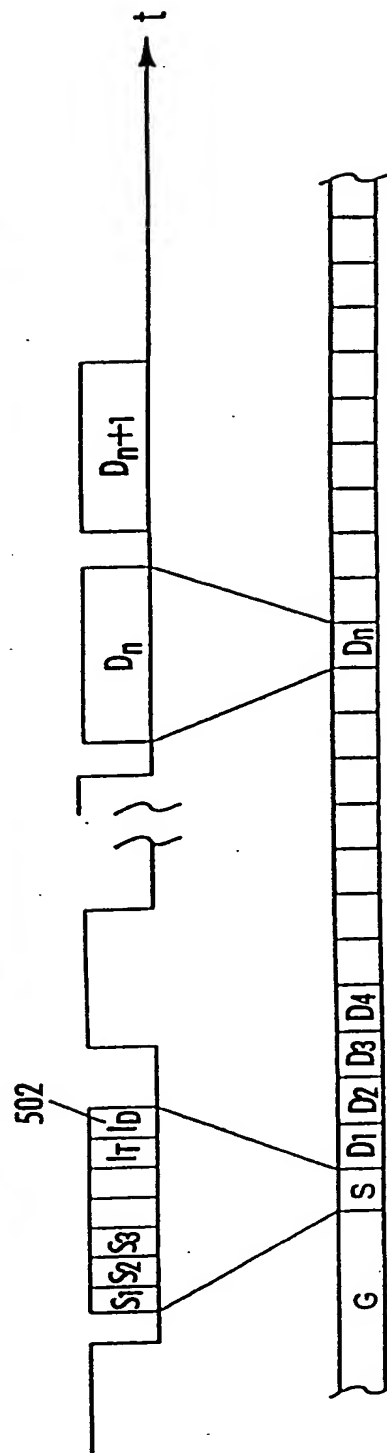


FIG. 43

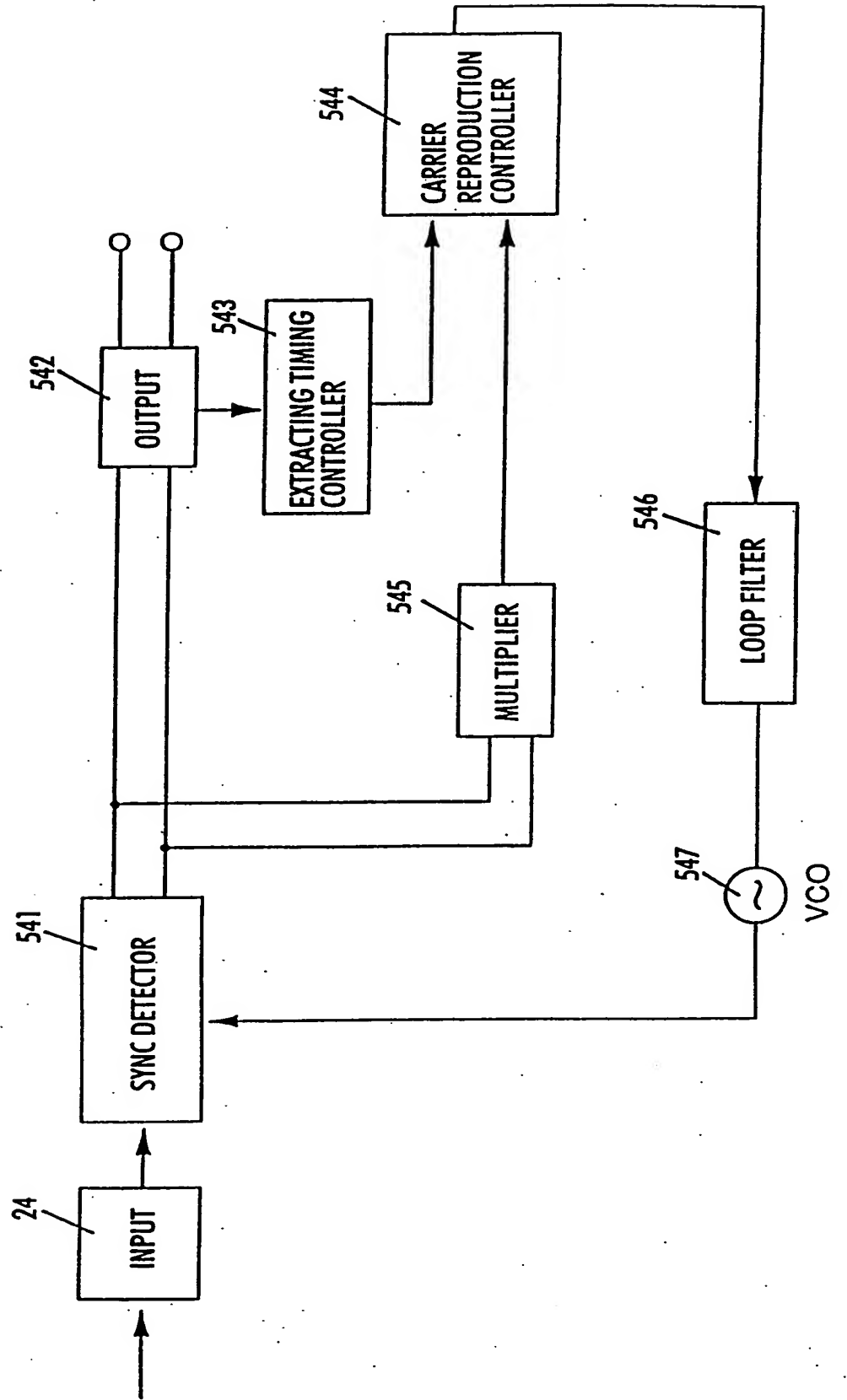


FIG. 44

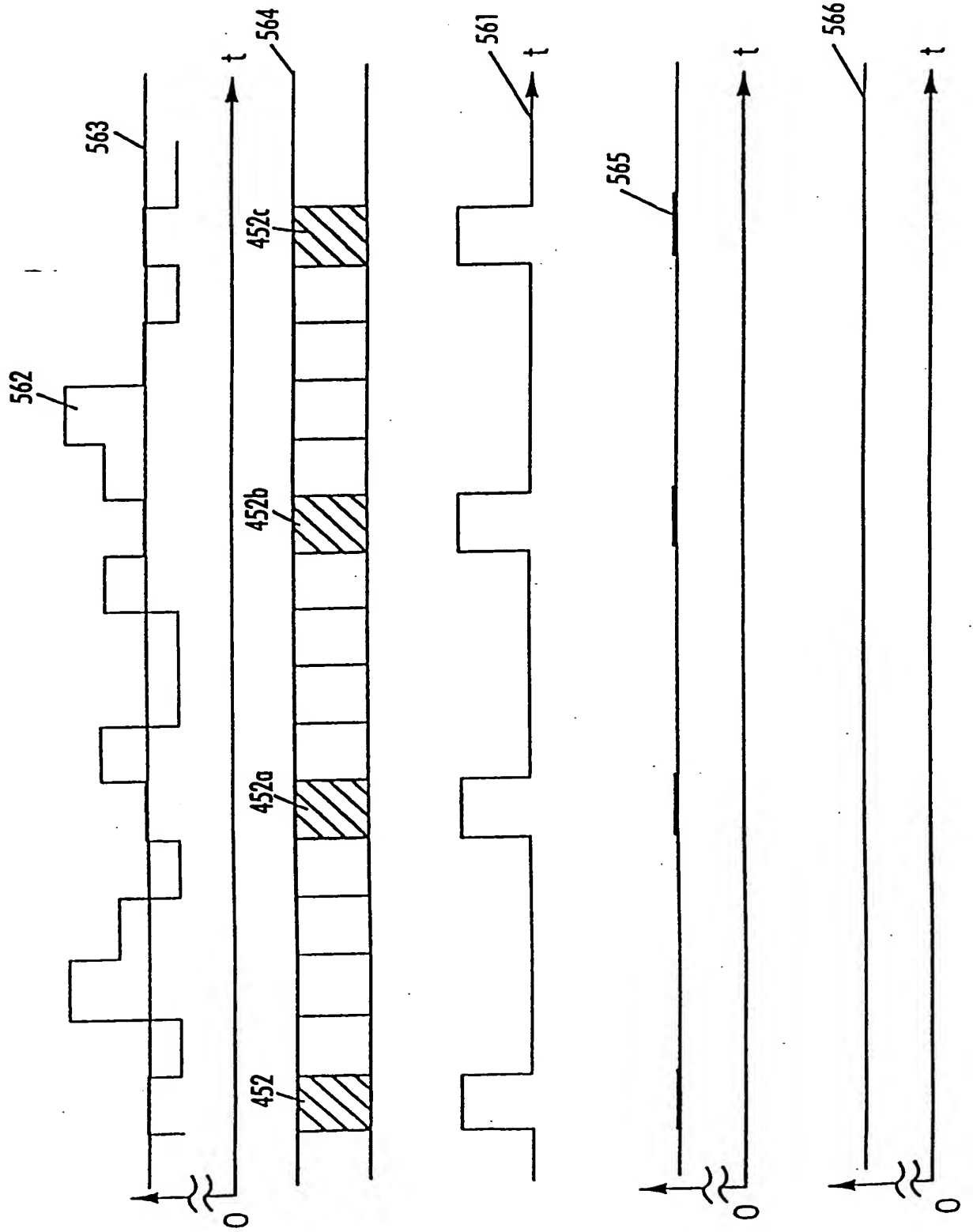


FIG. 45

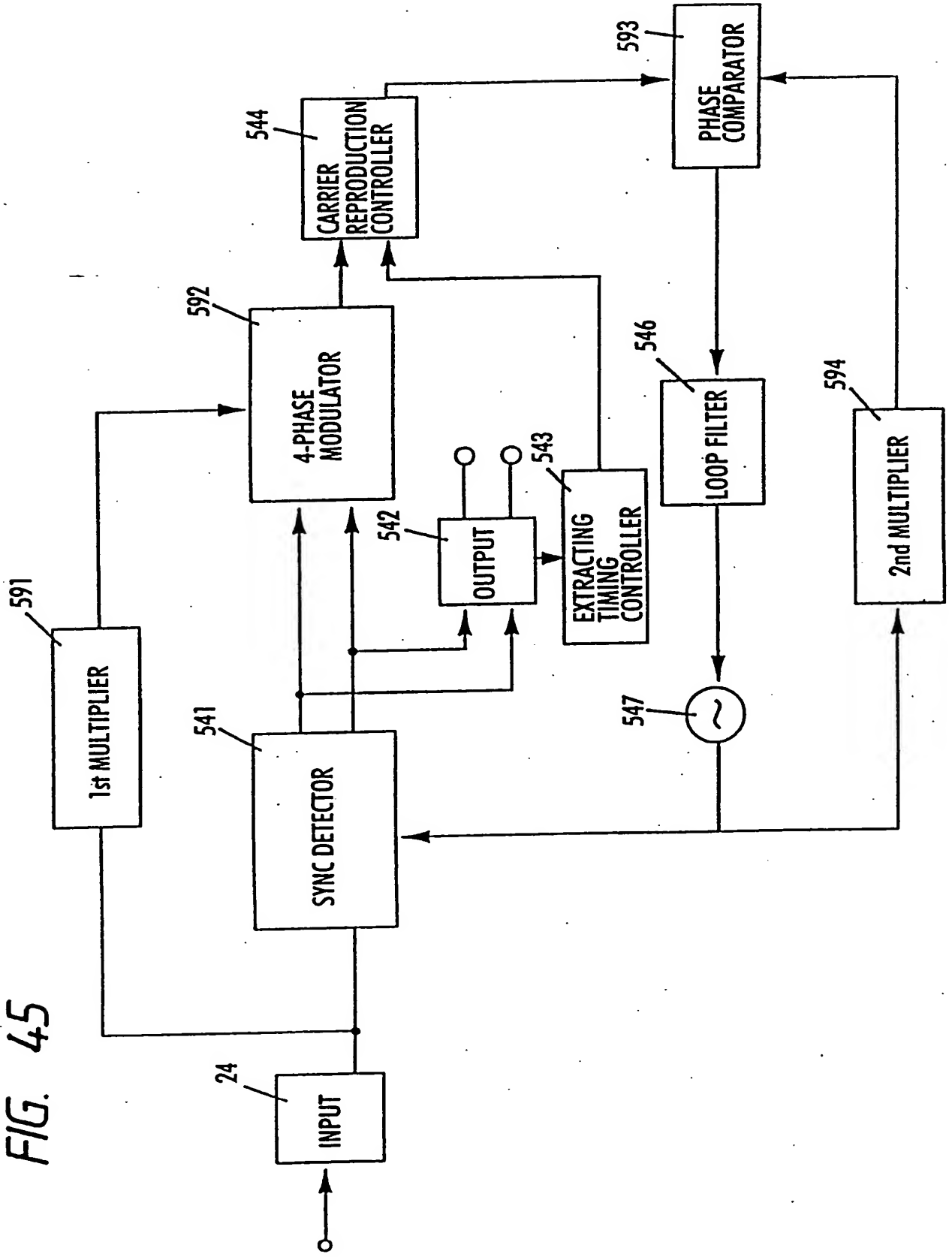


FIG. 46

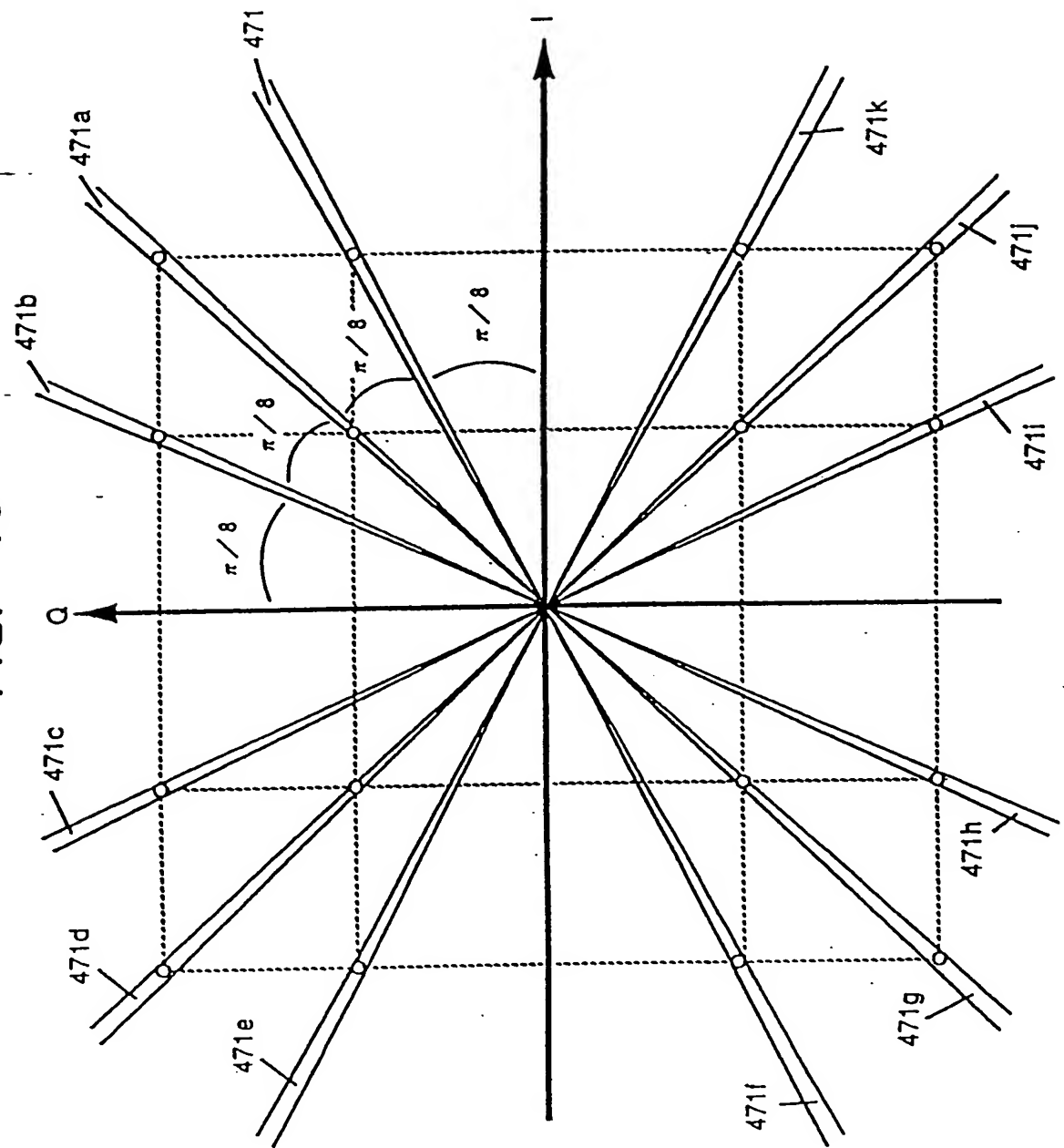


FIG. 47

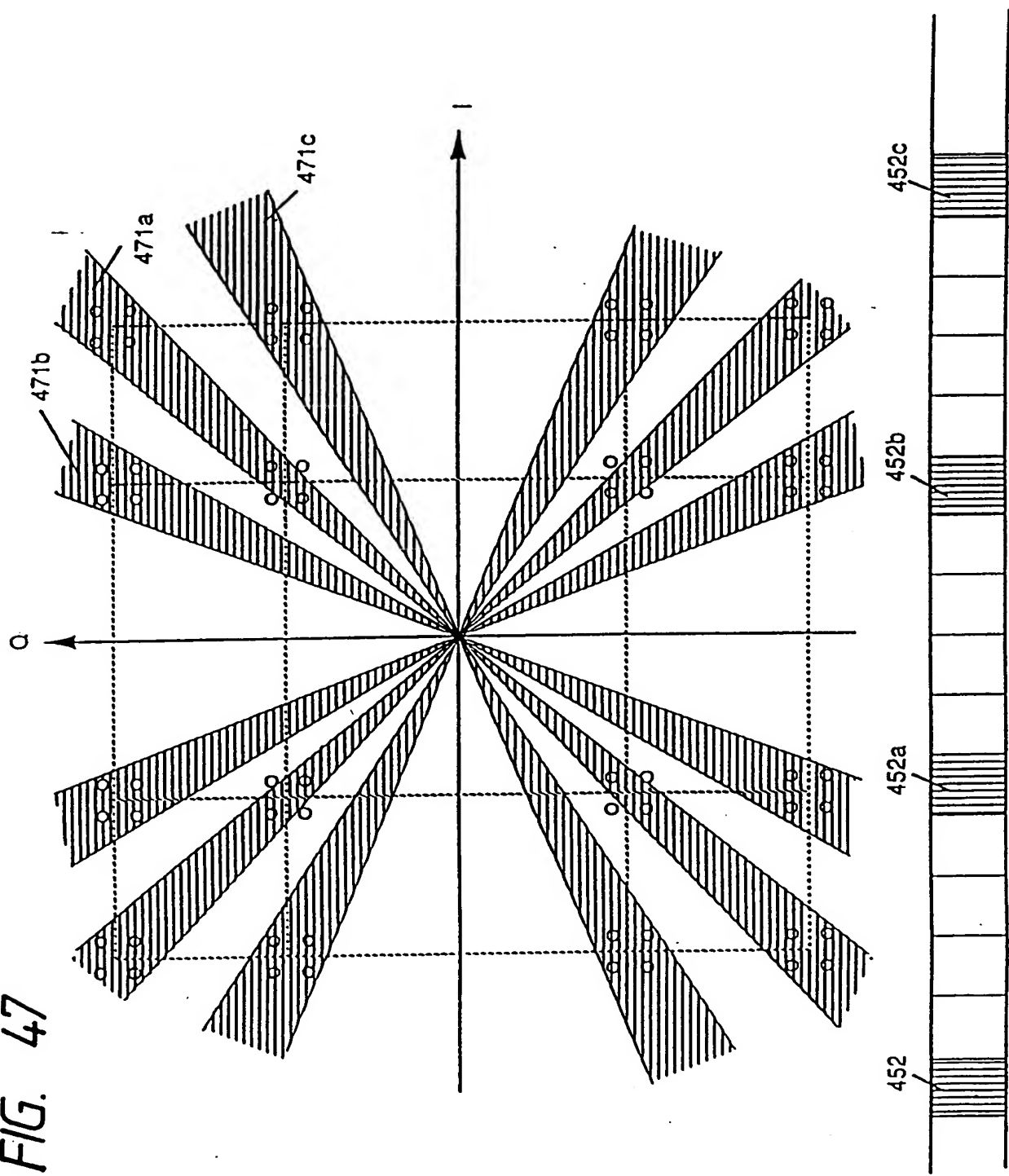


FIG. 48

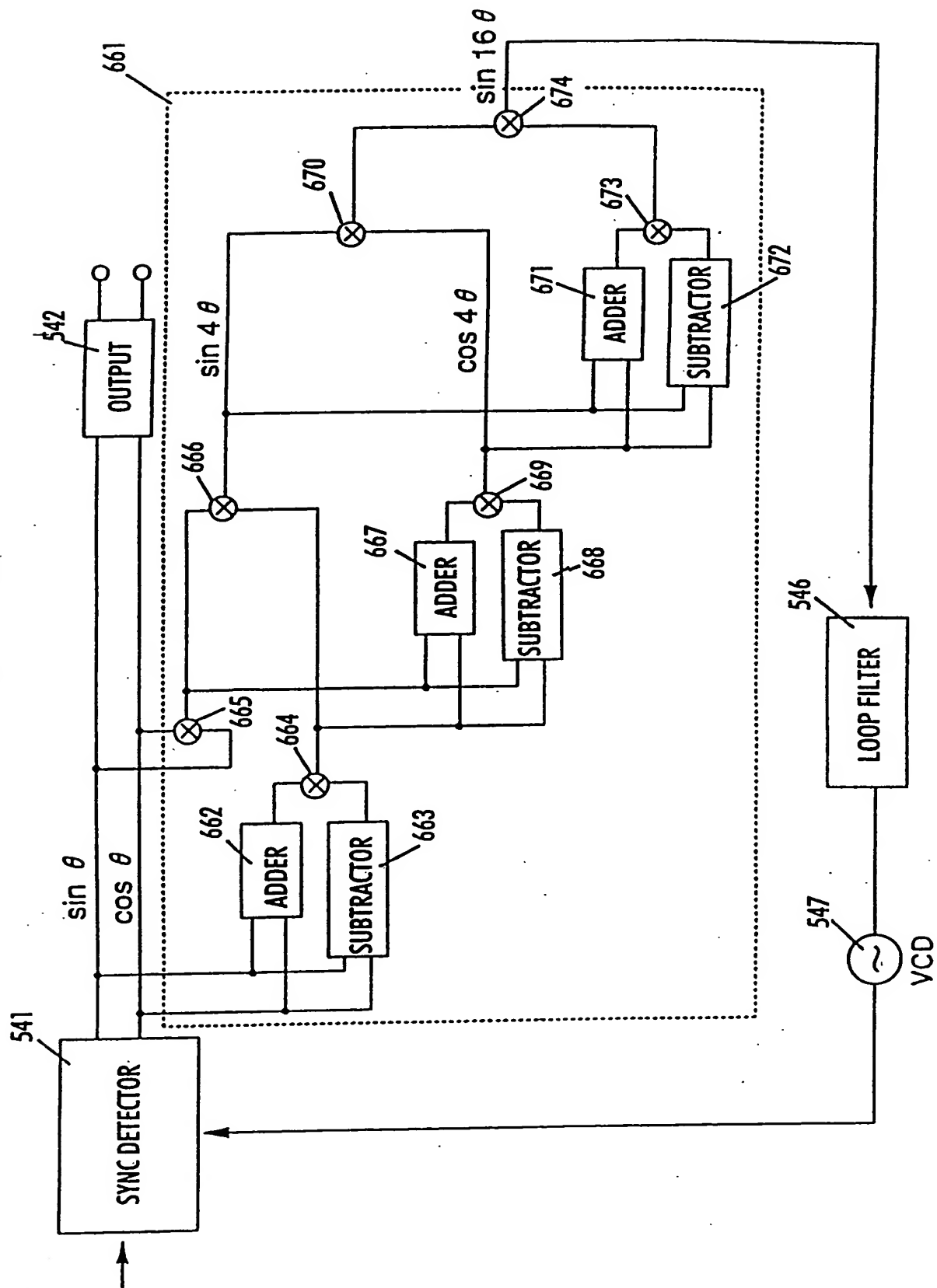




FIG. 49

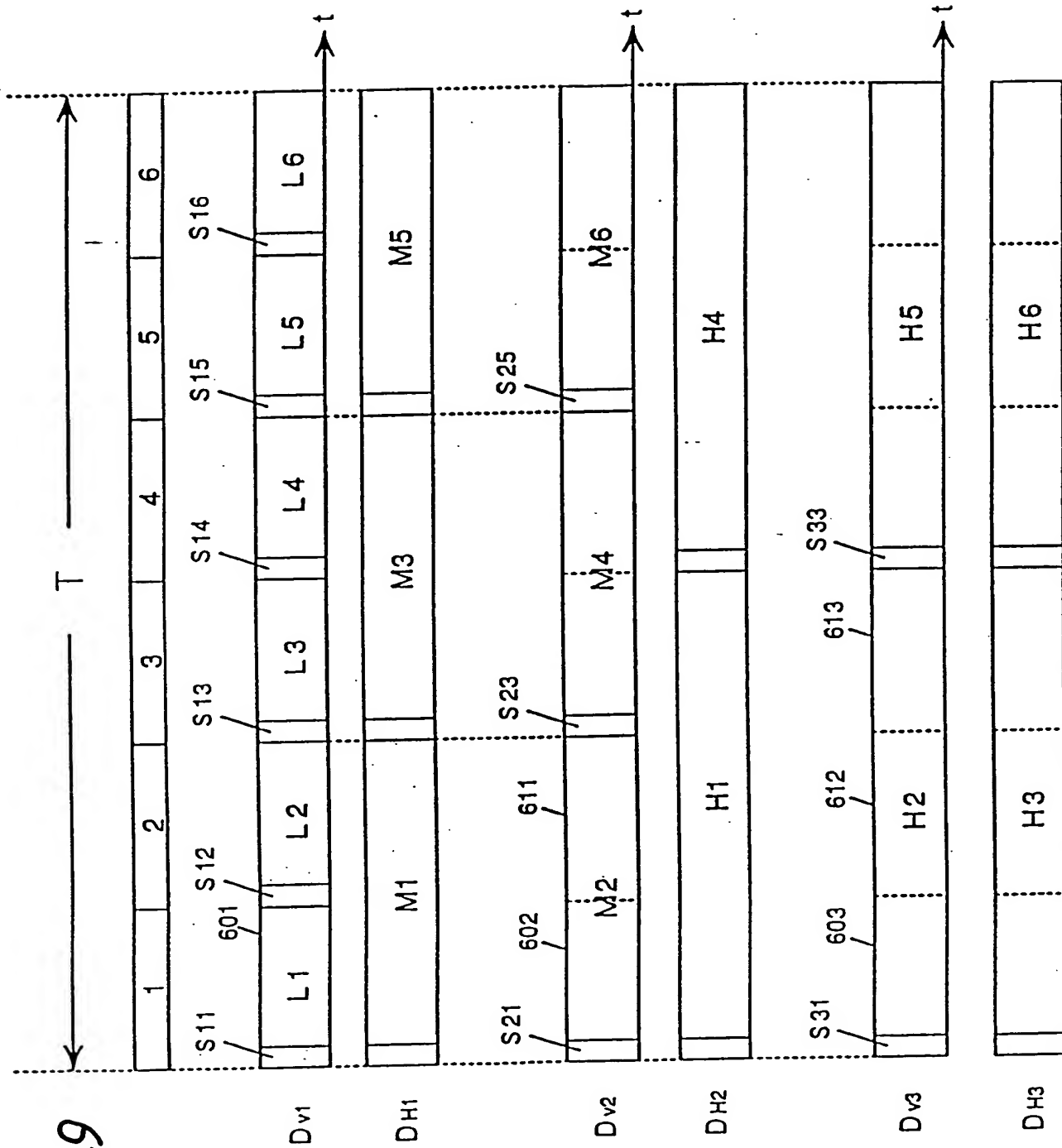


FIG. 50

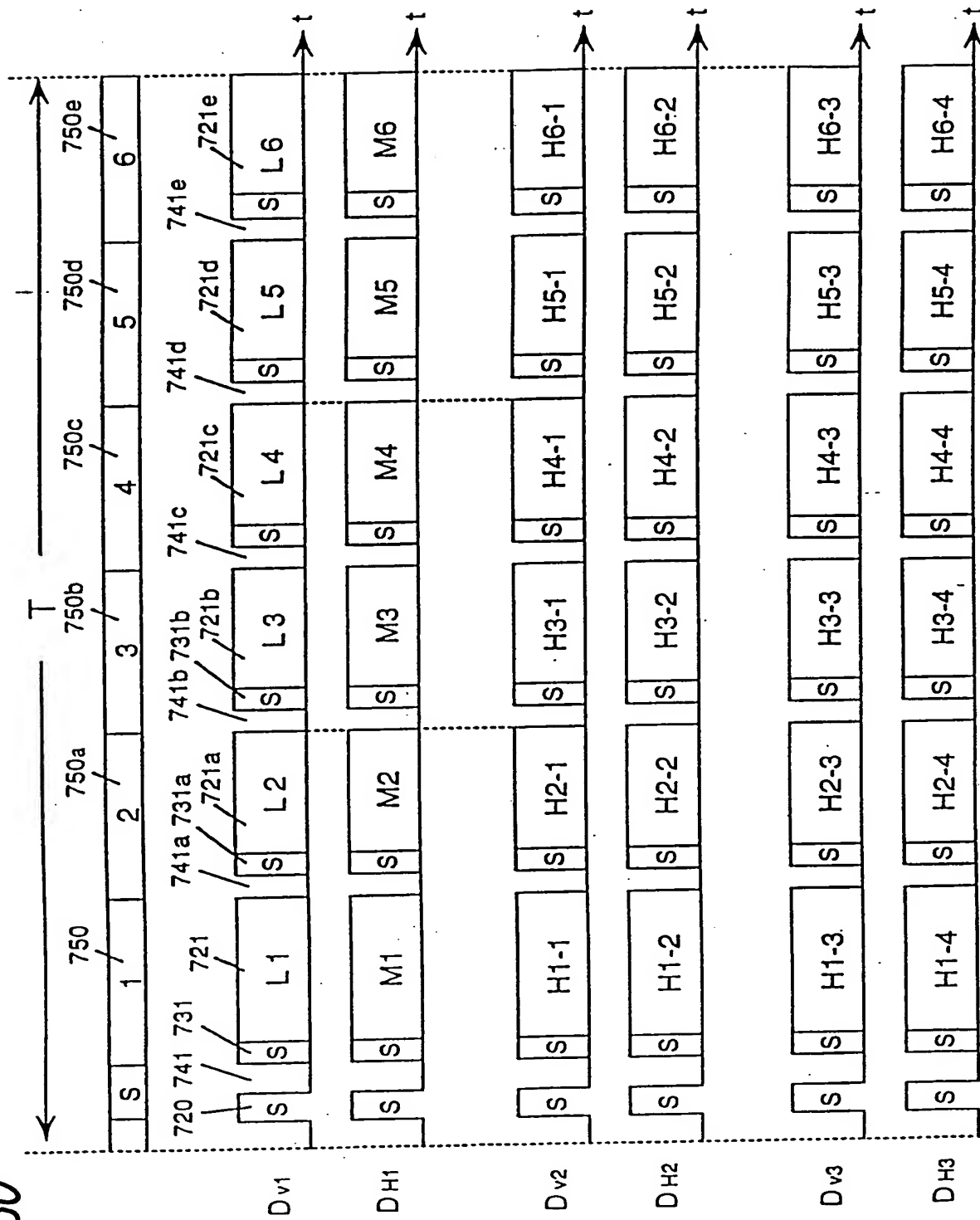


FIG. 51

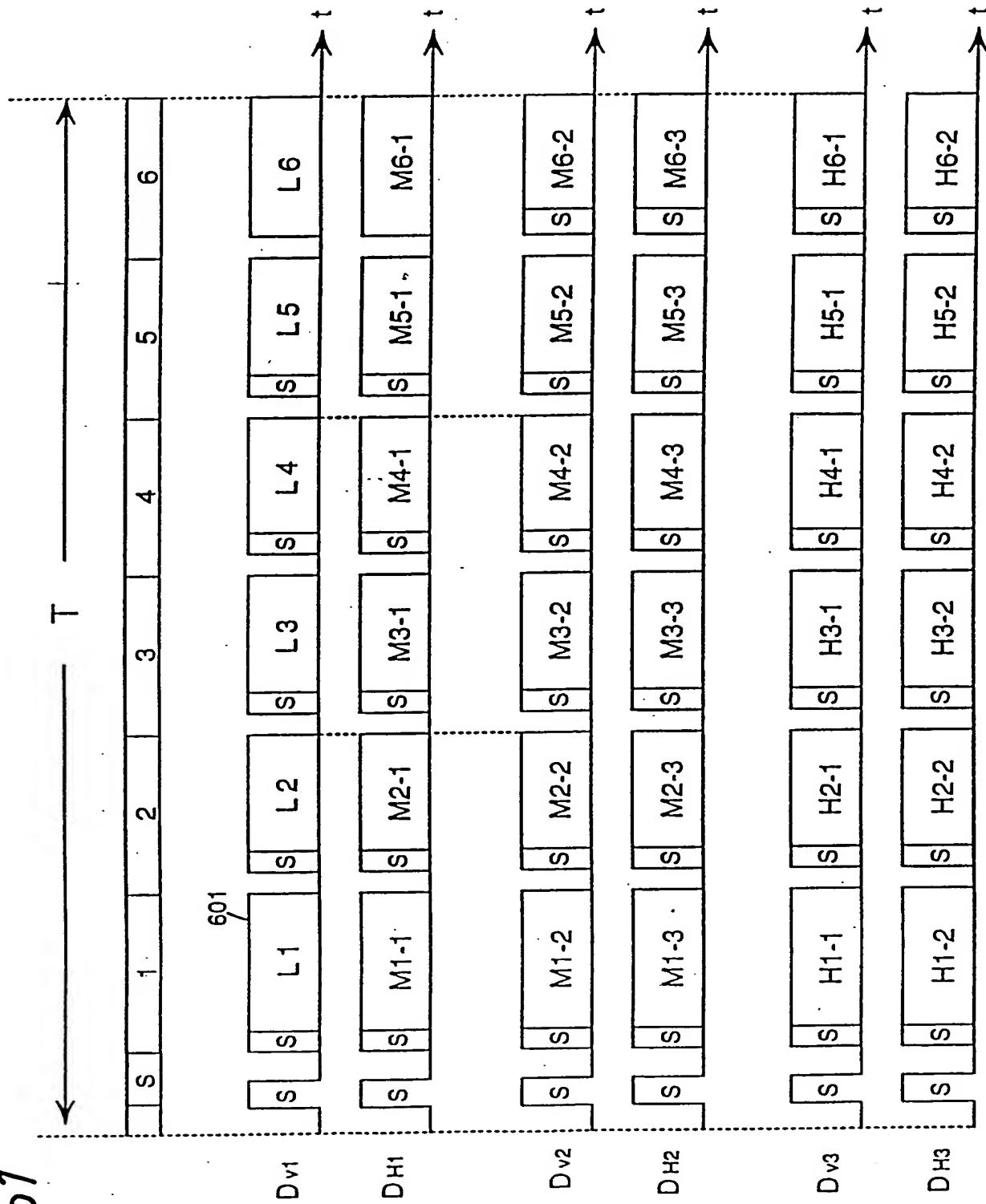


FIG. 52

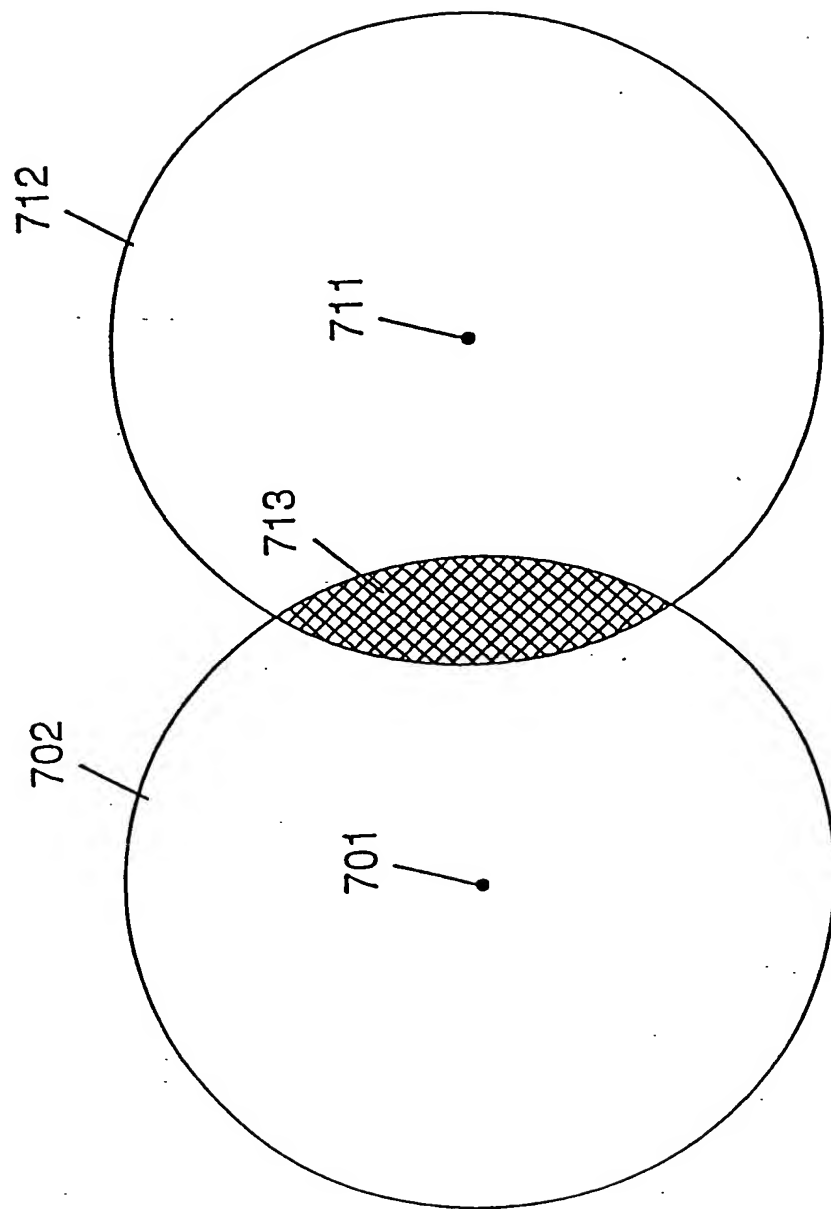


FIG. 53

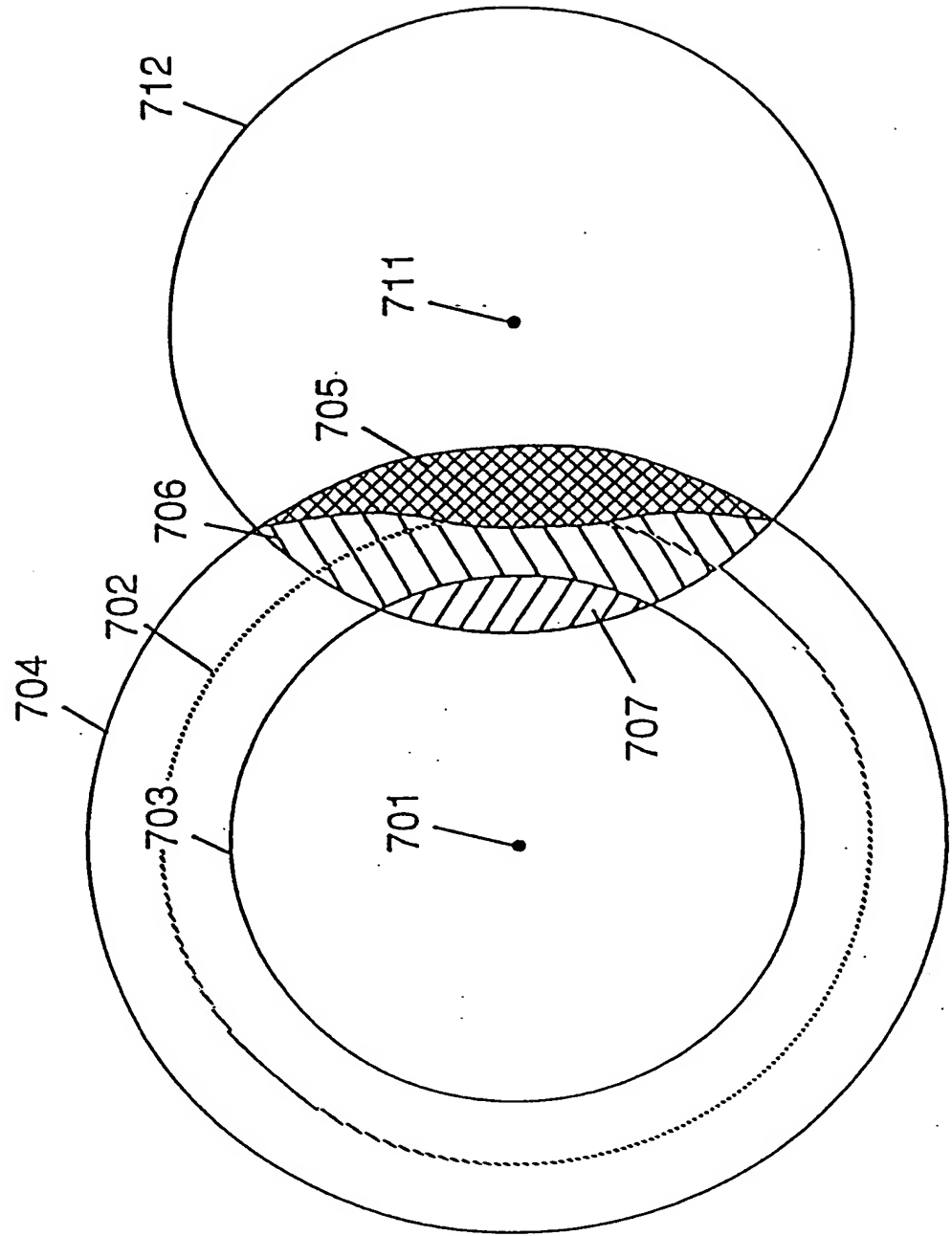


FIG. 54

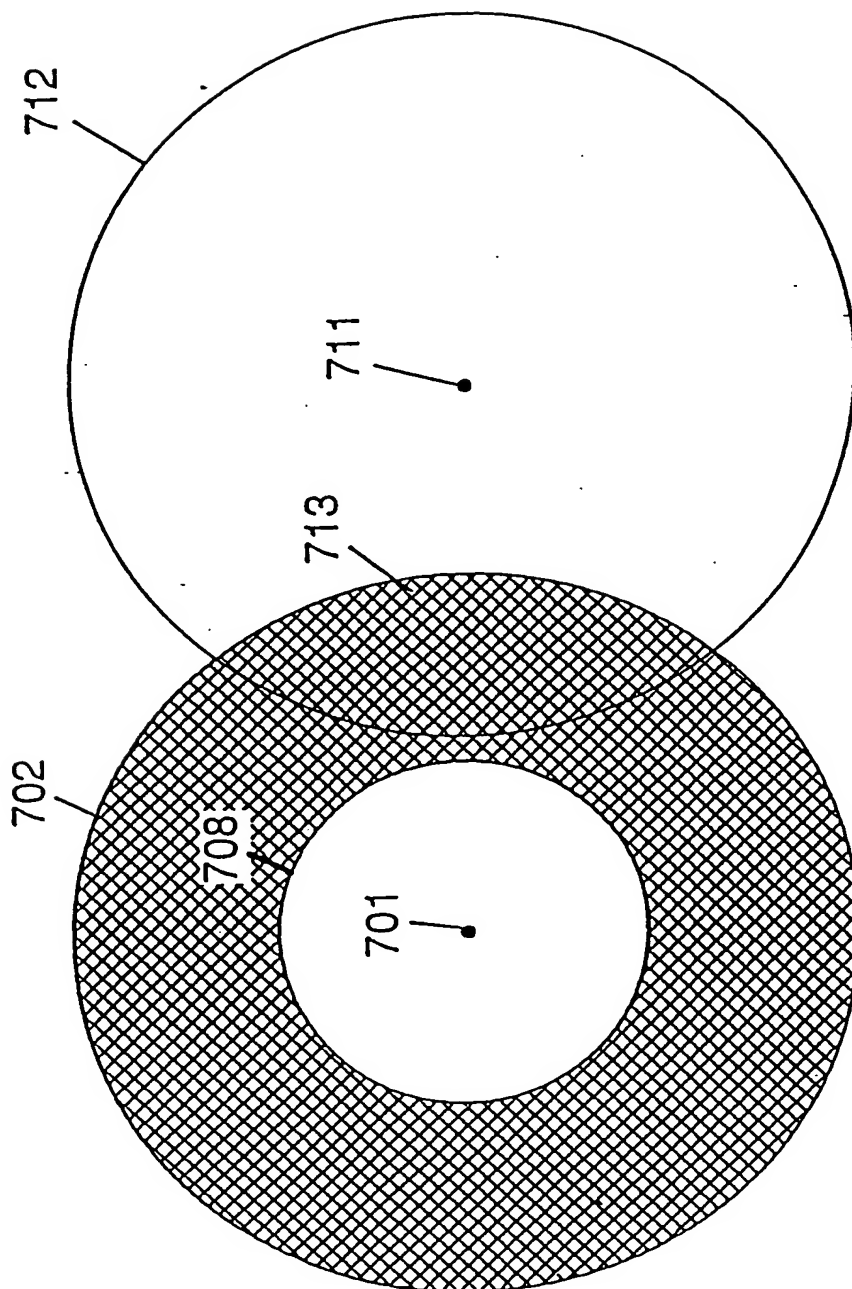


FIG. 55

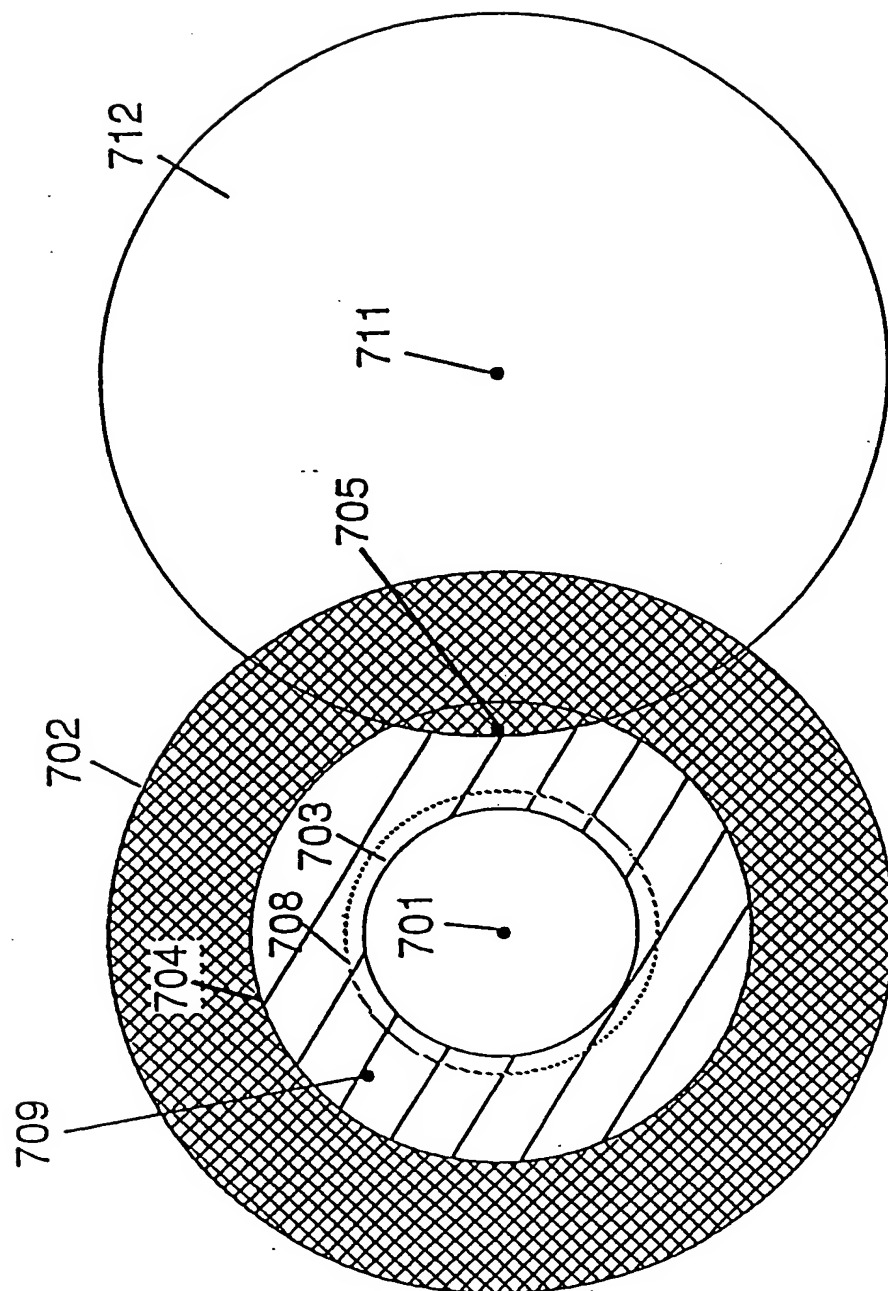


FIG. 56

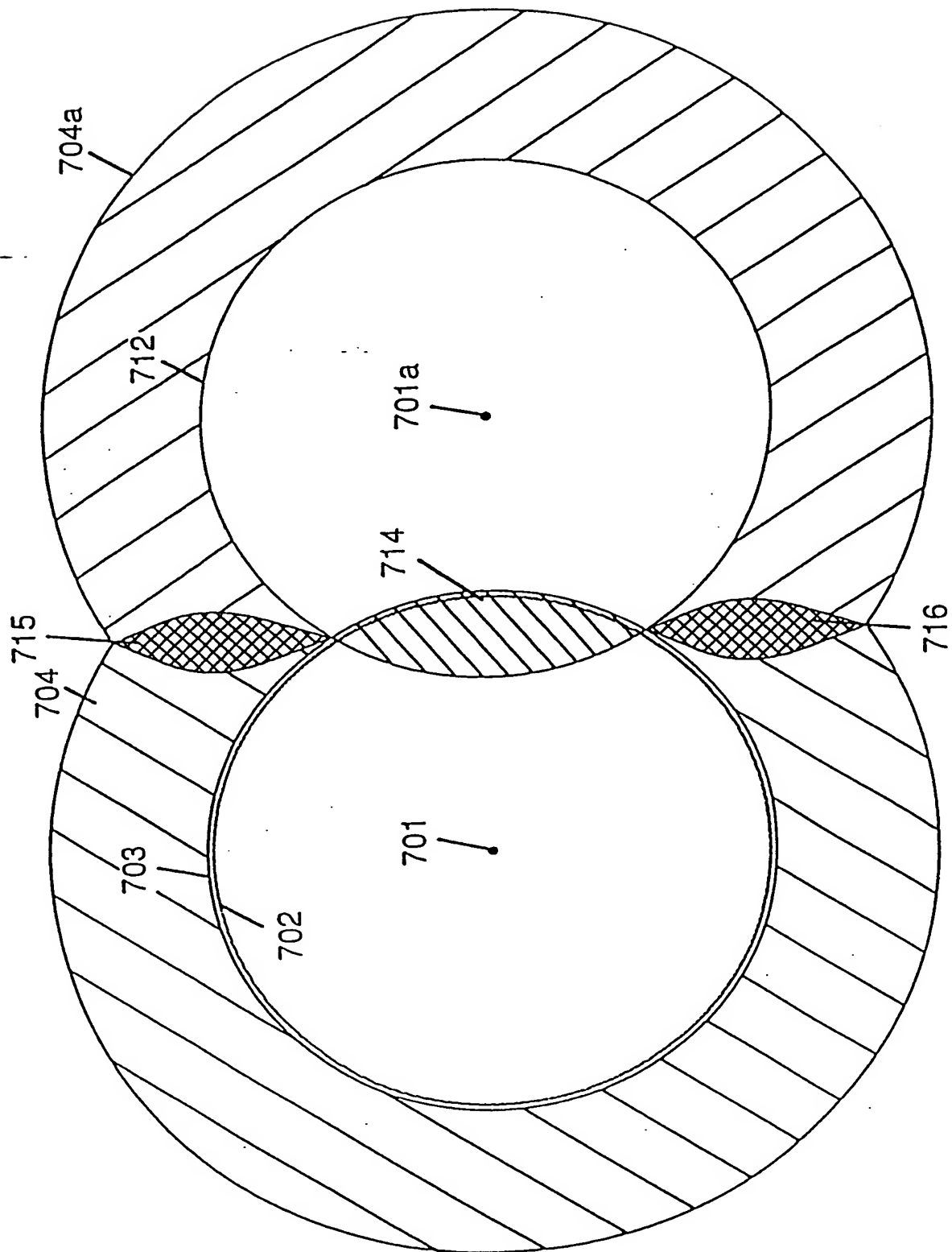




FIG. 57

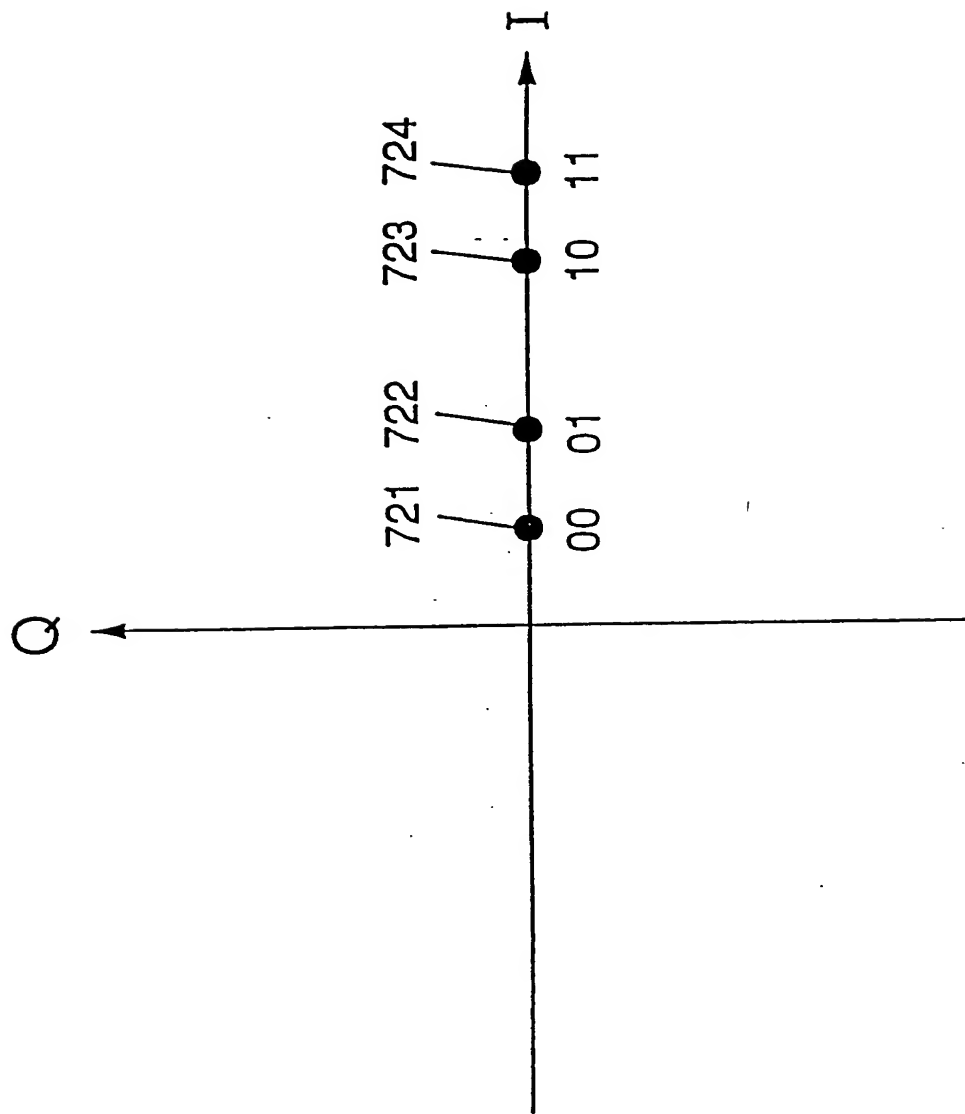


FIG. 58

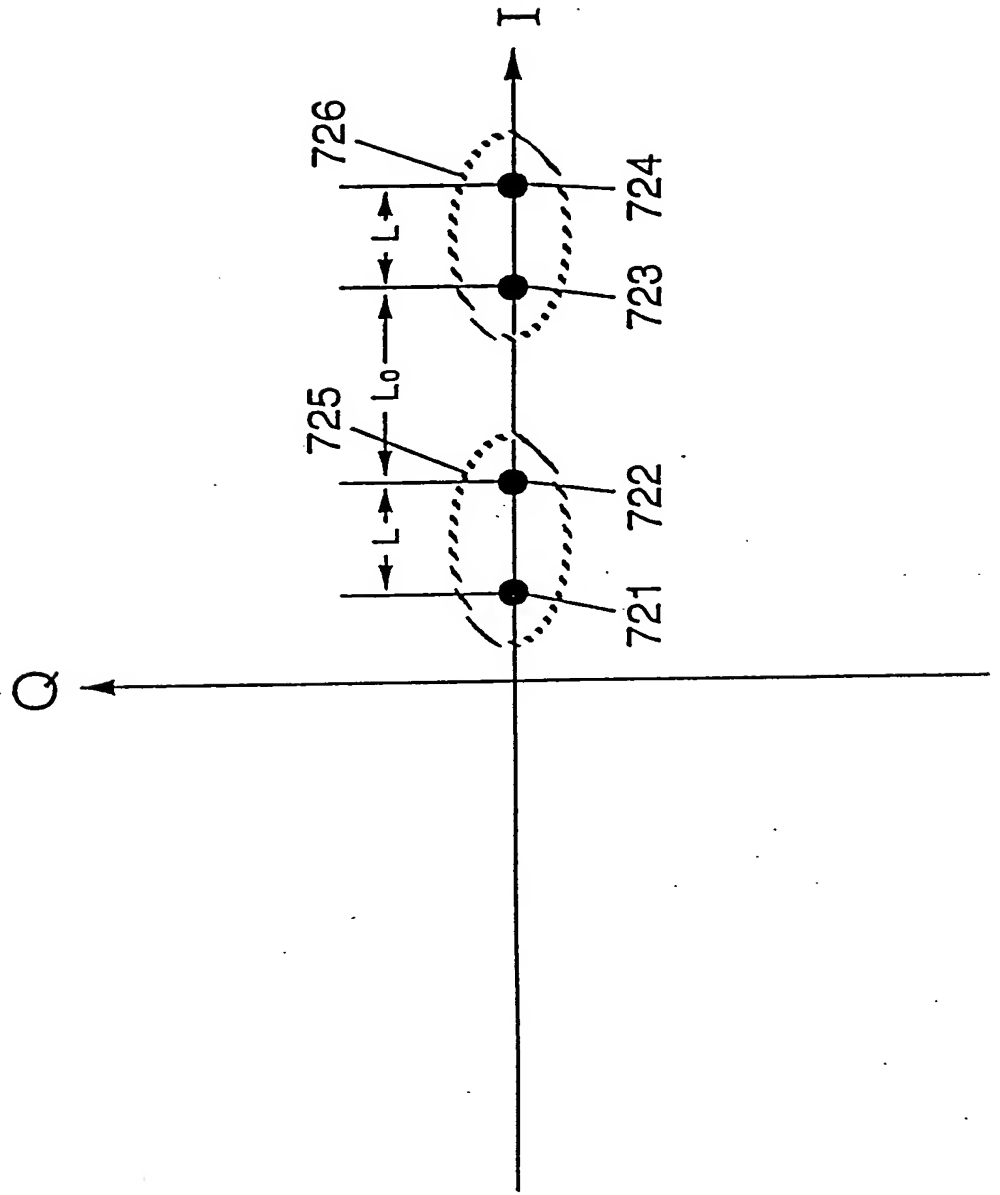


FIG. 59(a)

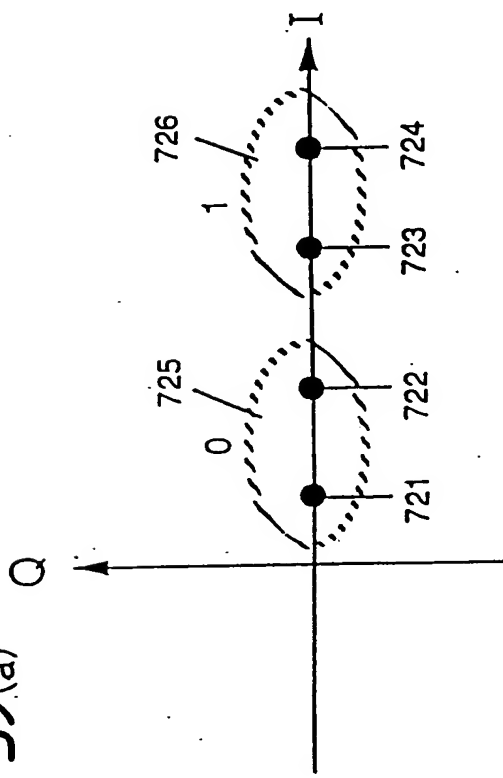


FIG. 59(c)

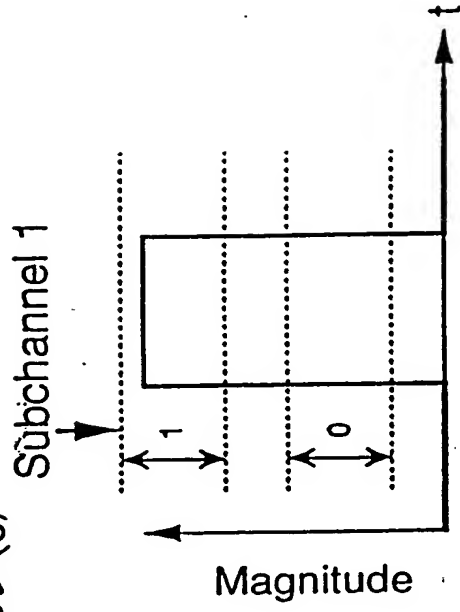


FIG. 59(b)

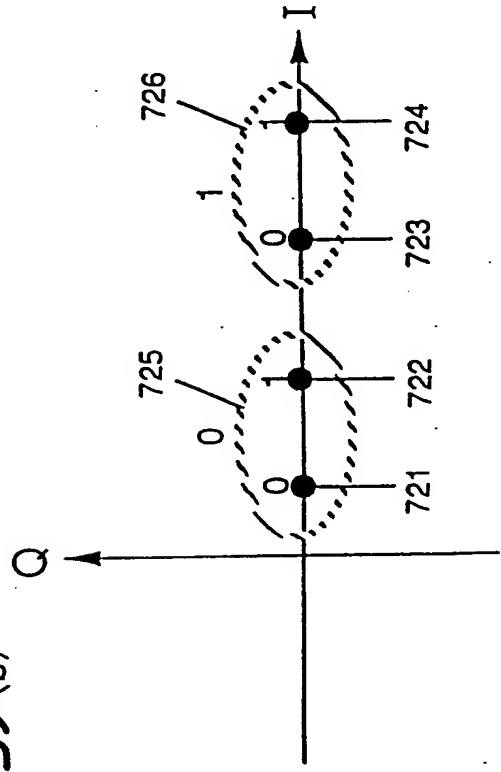


FIG. 59(d)

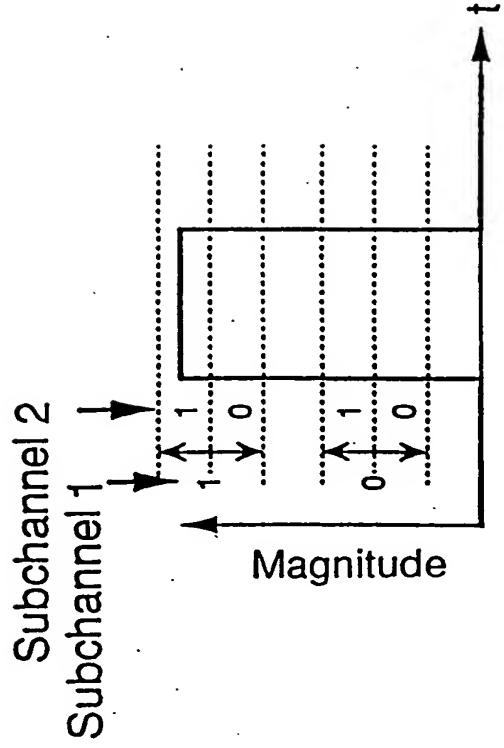


FIG. 60

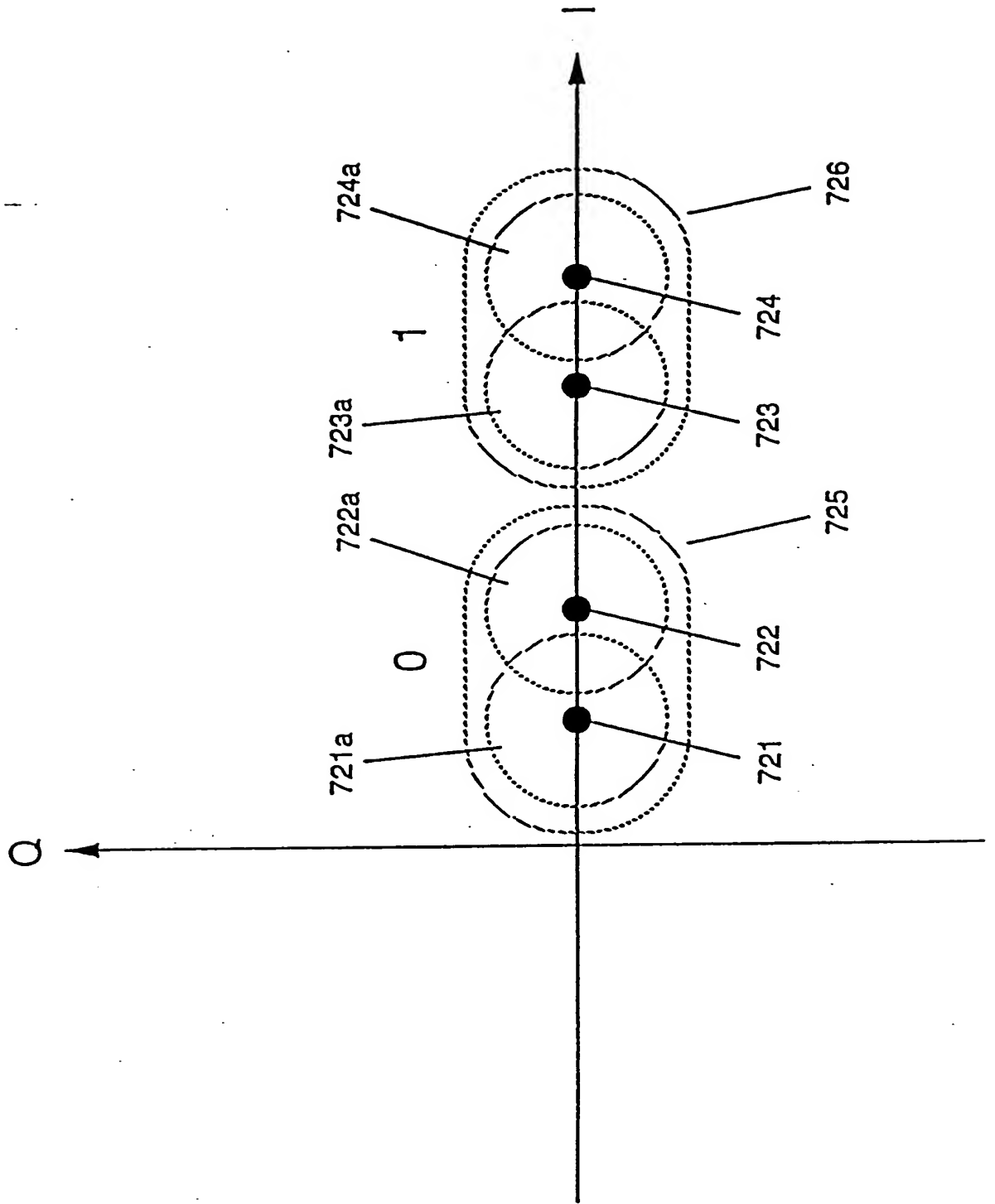


FIG. 61

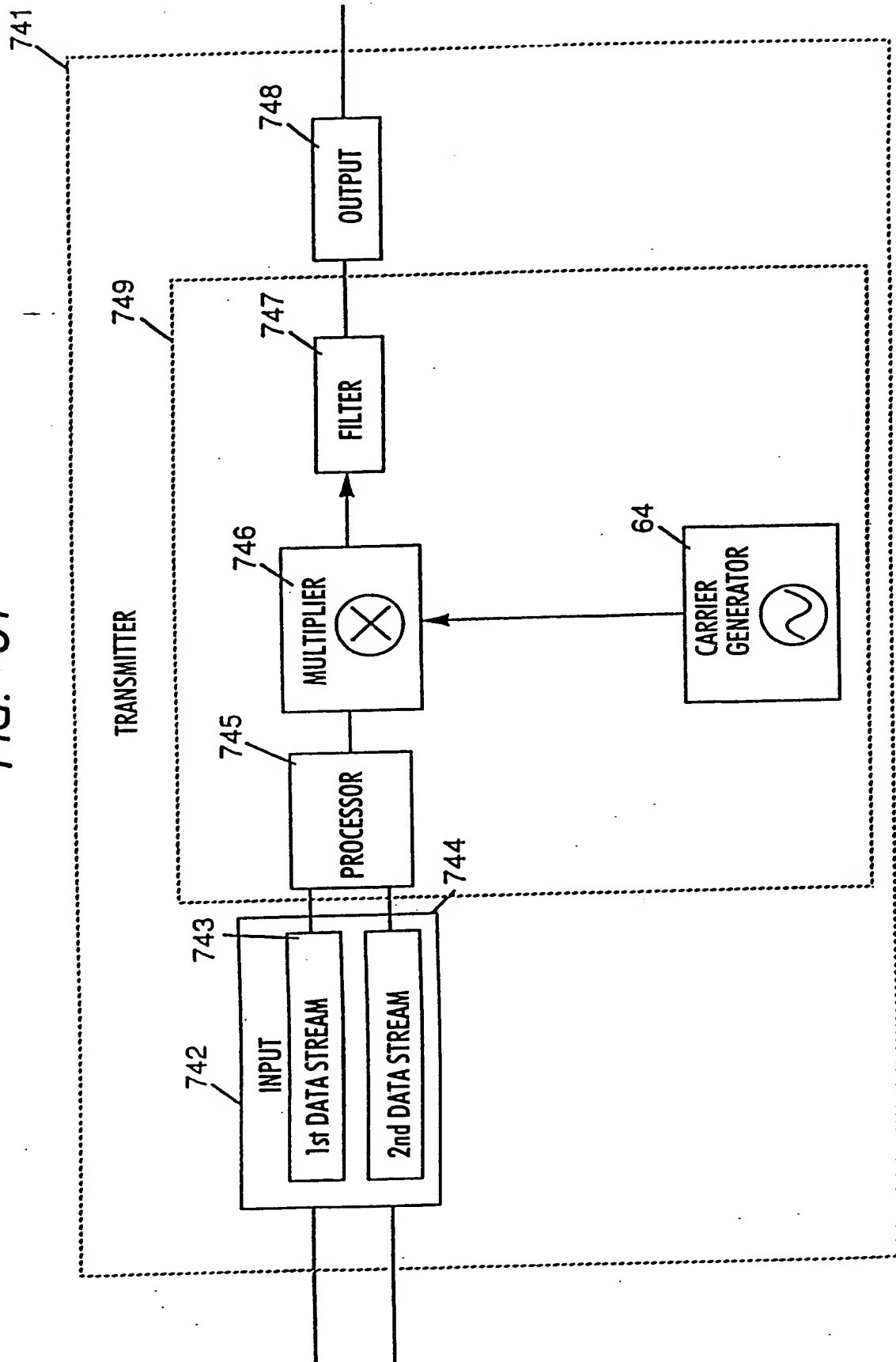


FIG. 62(a)

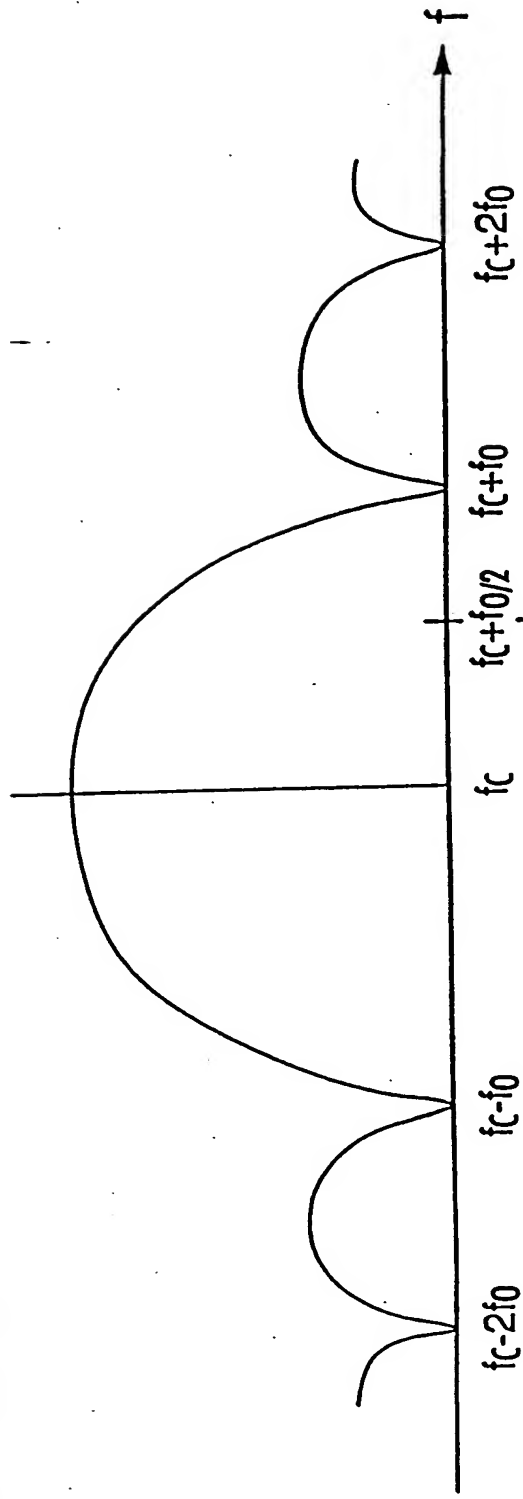


FIG. 62(b)

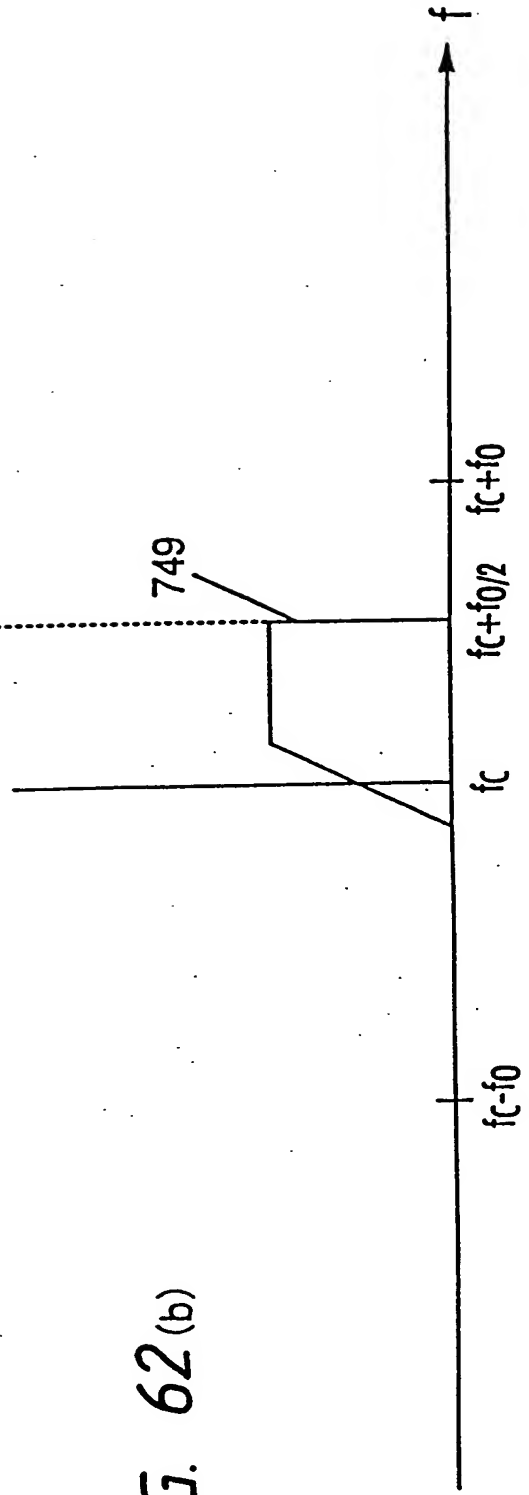


FIG. 63

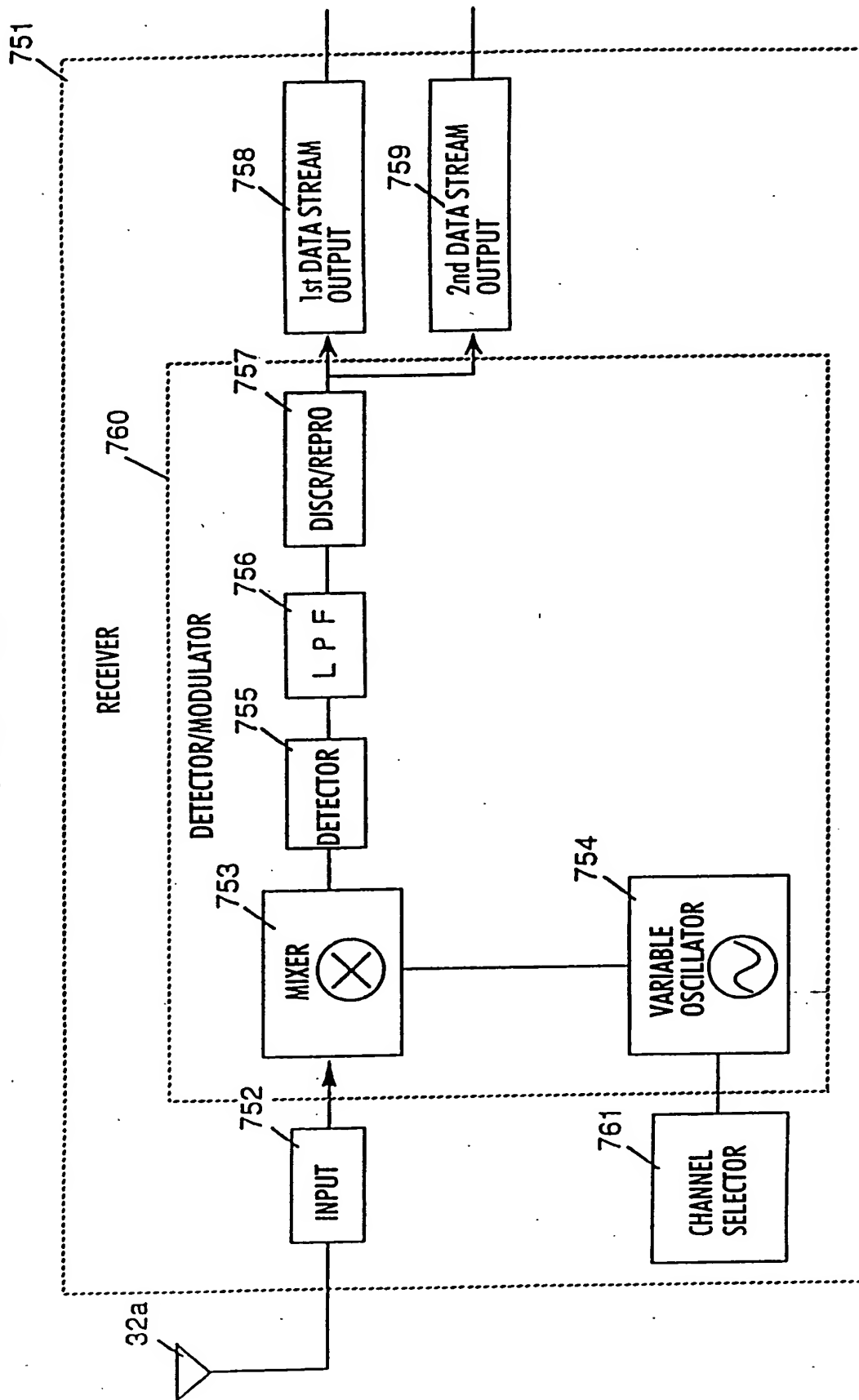


FIG. 64

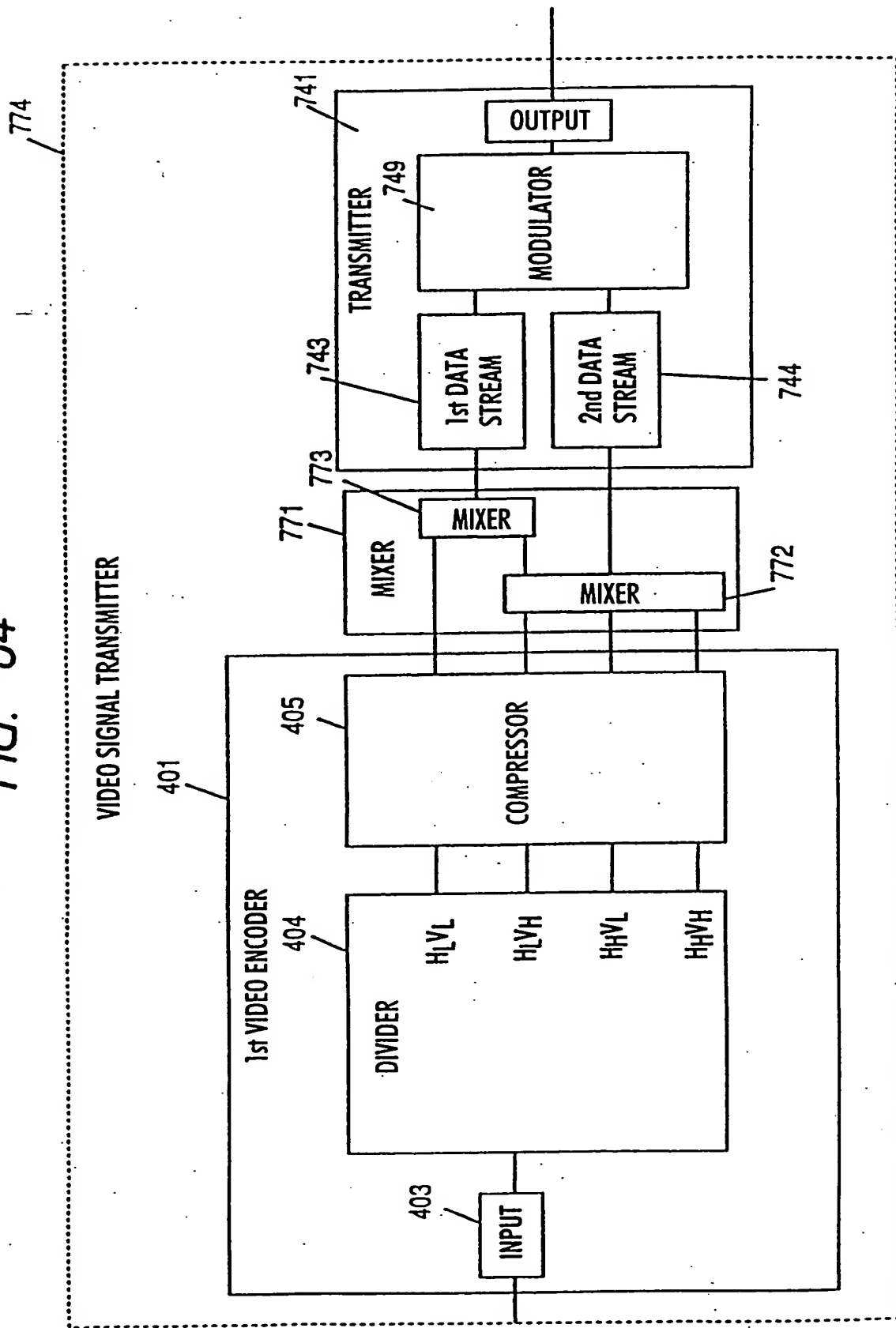




FIG. 65

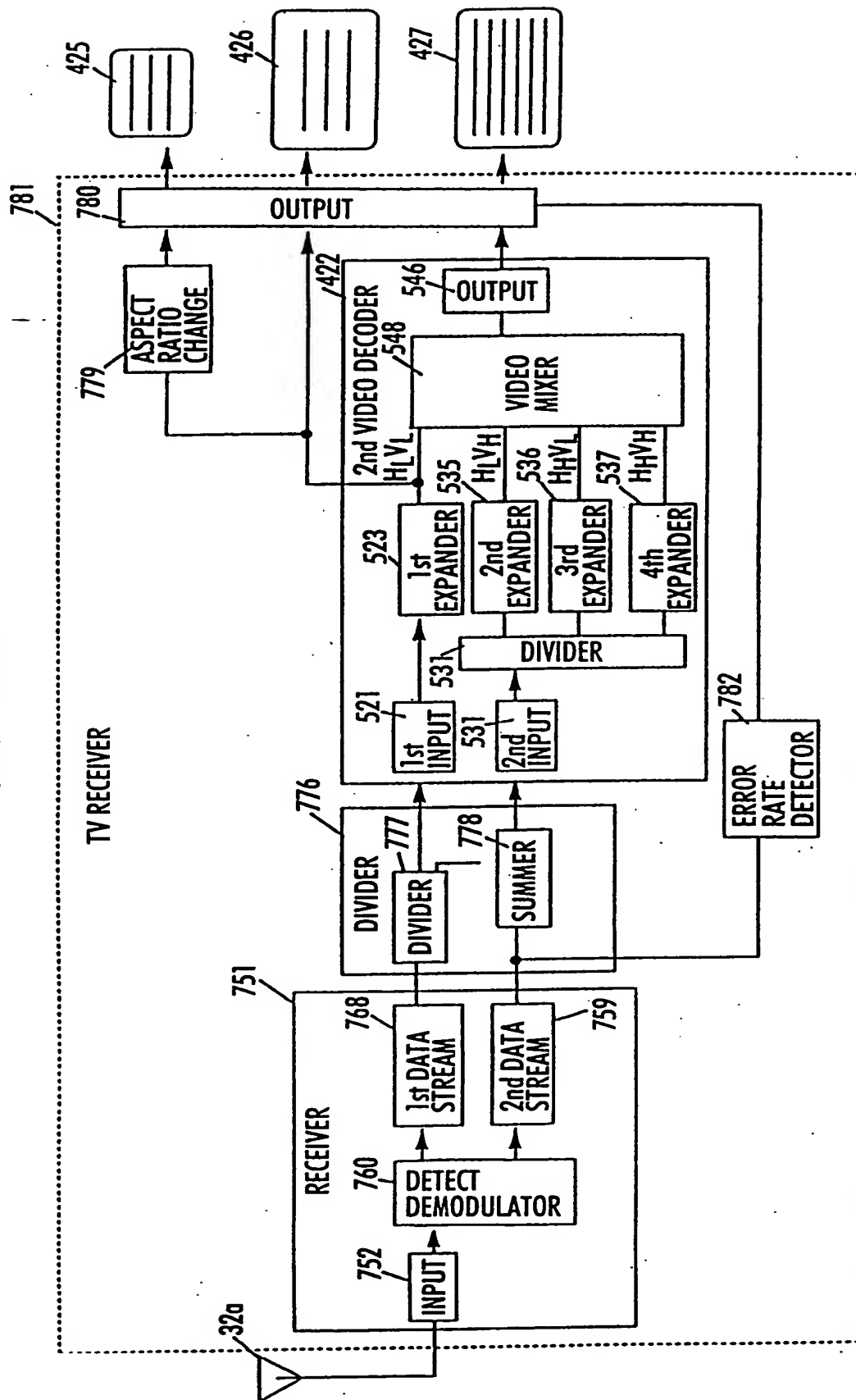


FIG. 66

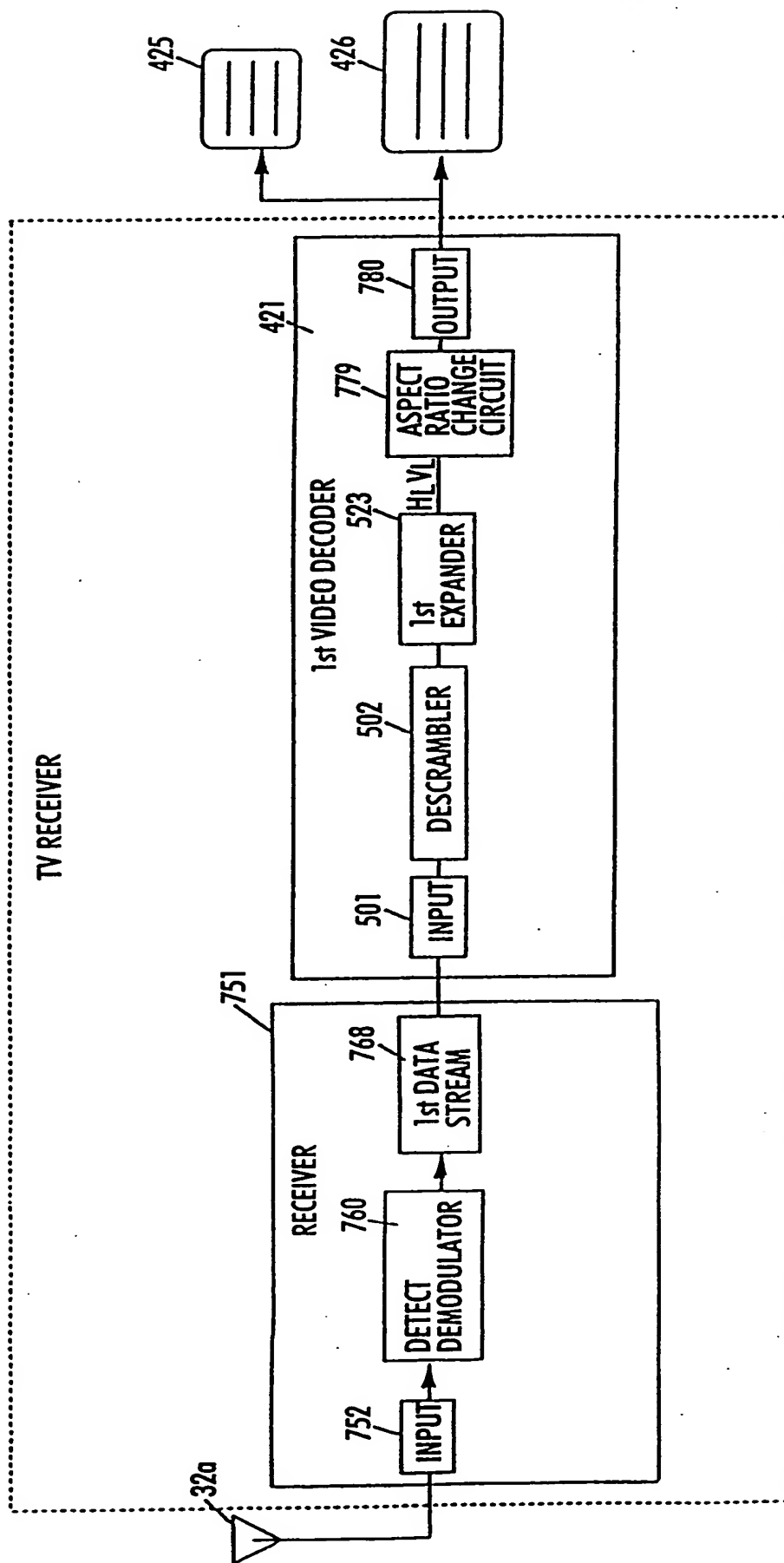


FIG. 67

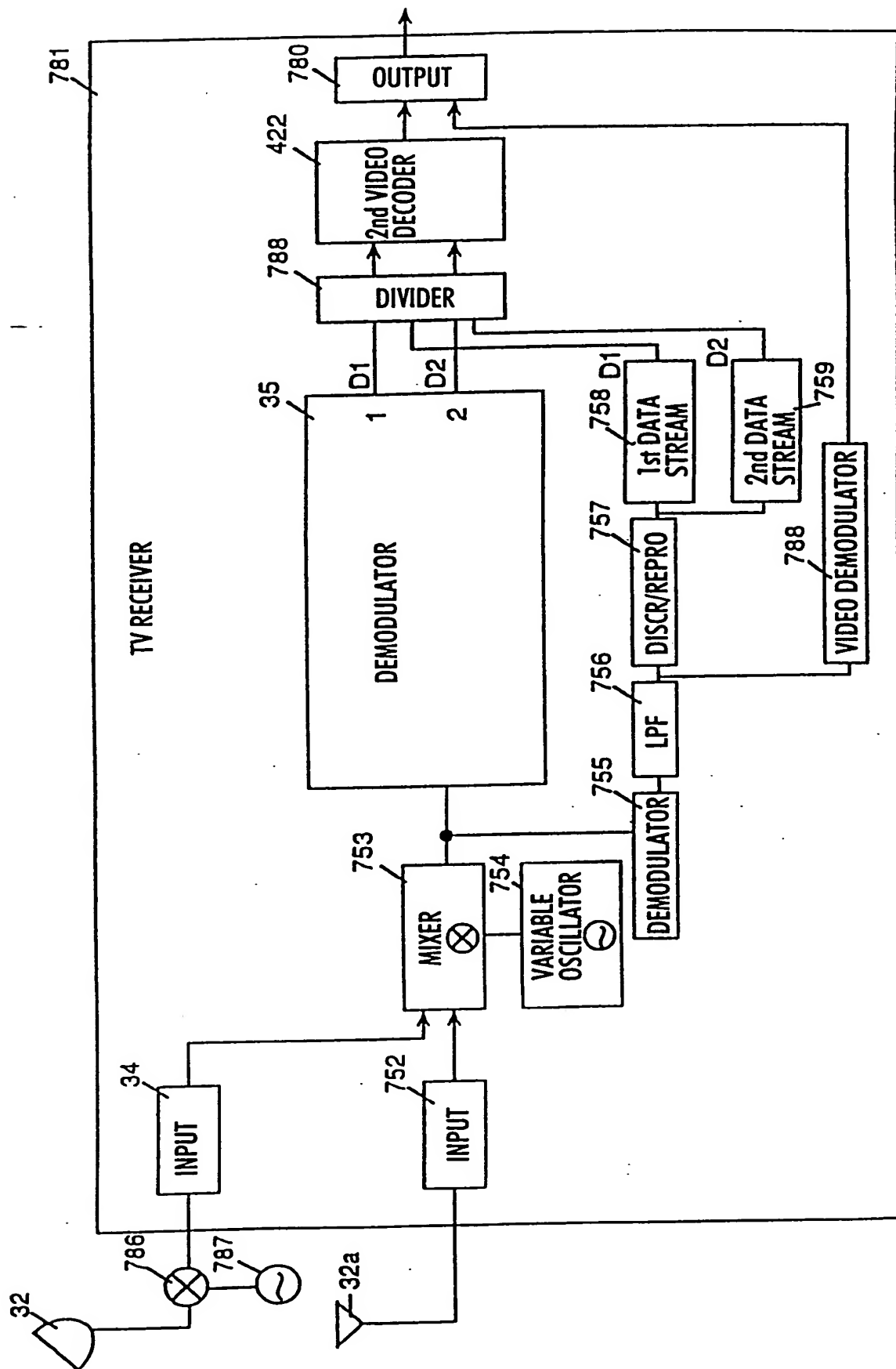


FIG. 68

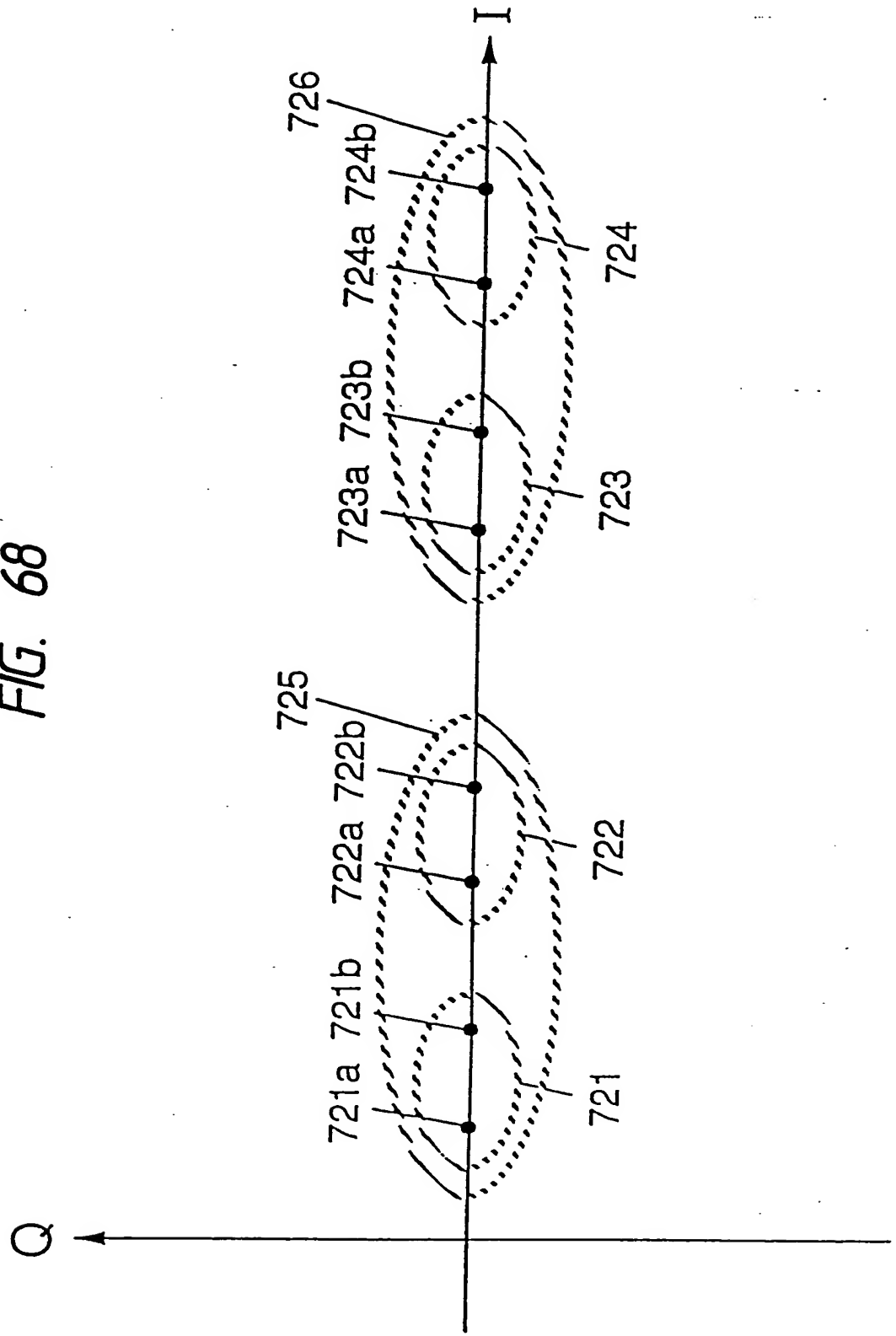


FIG. 69

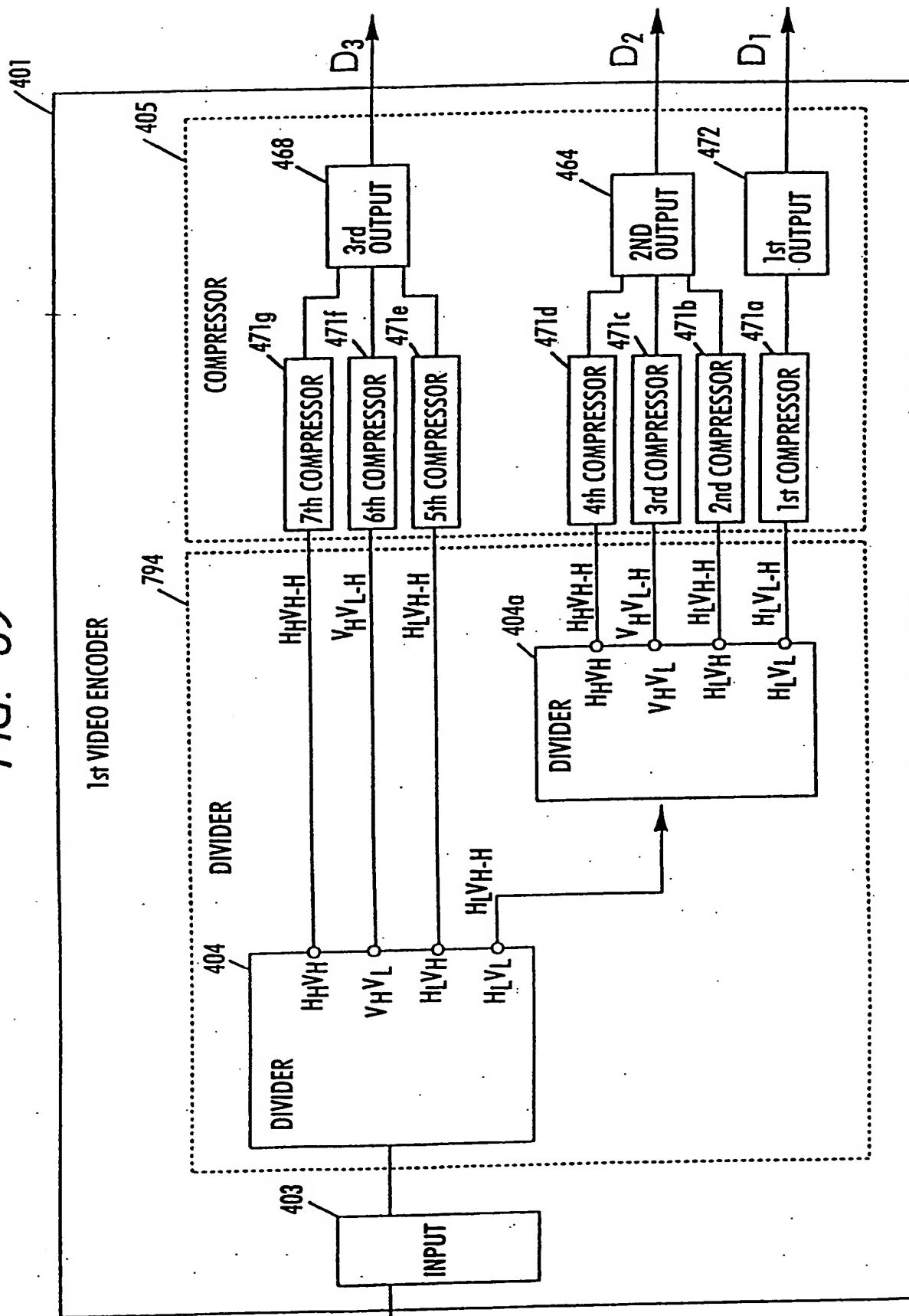


FIG. 70

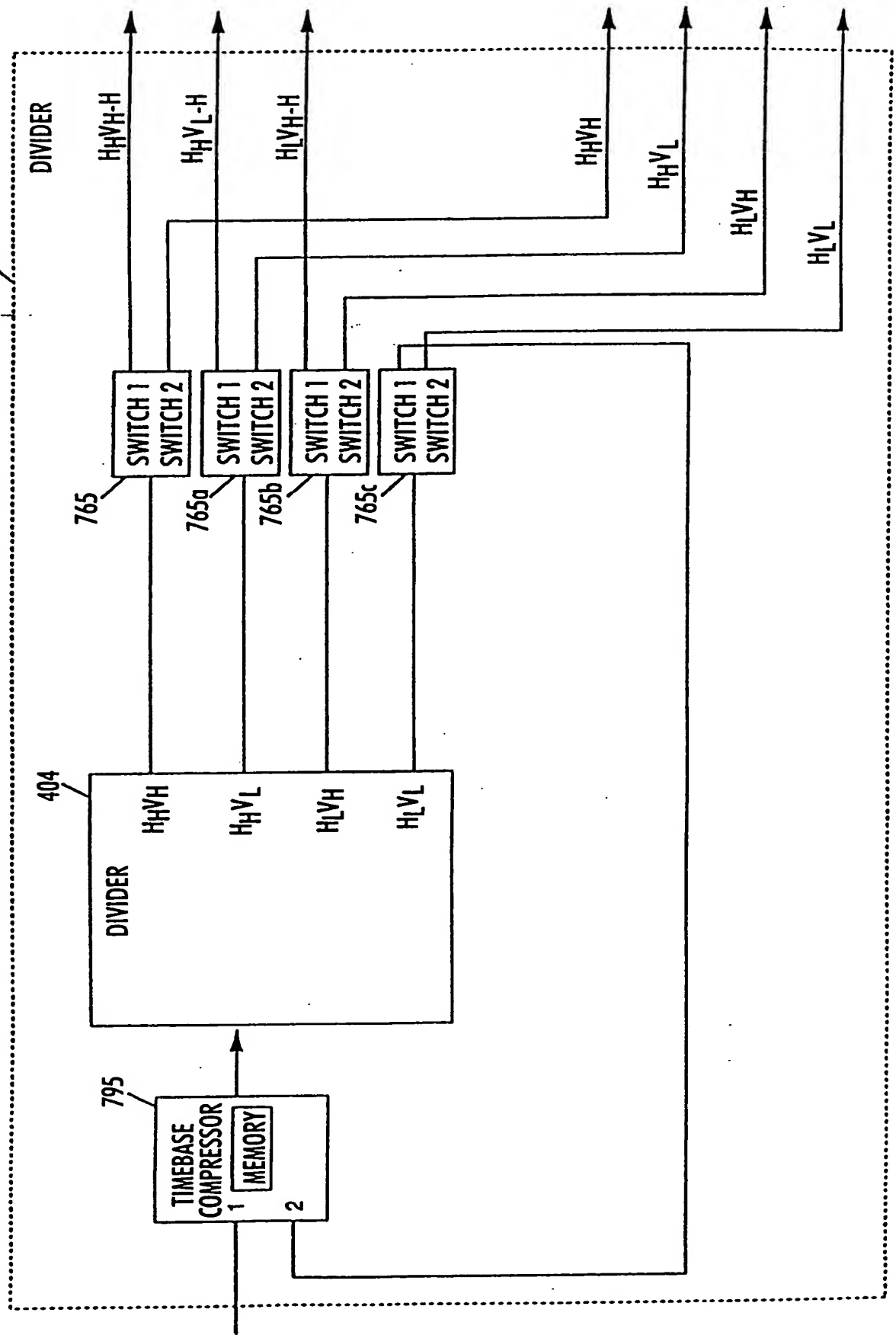


FIG. 71

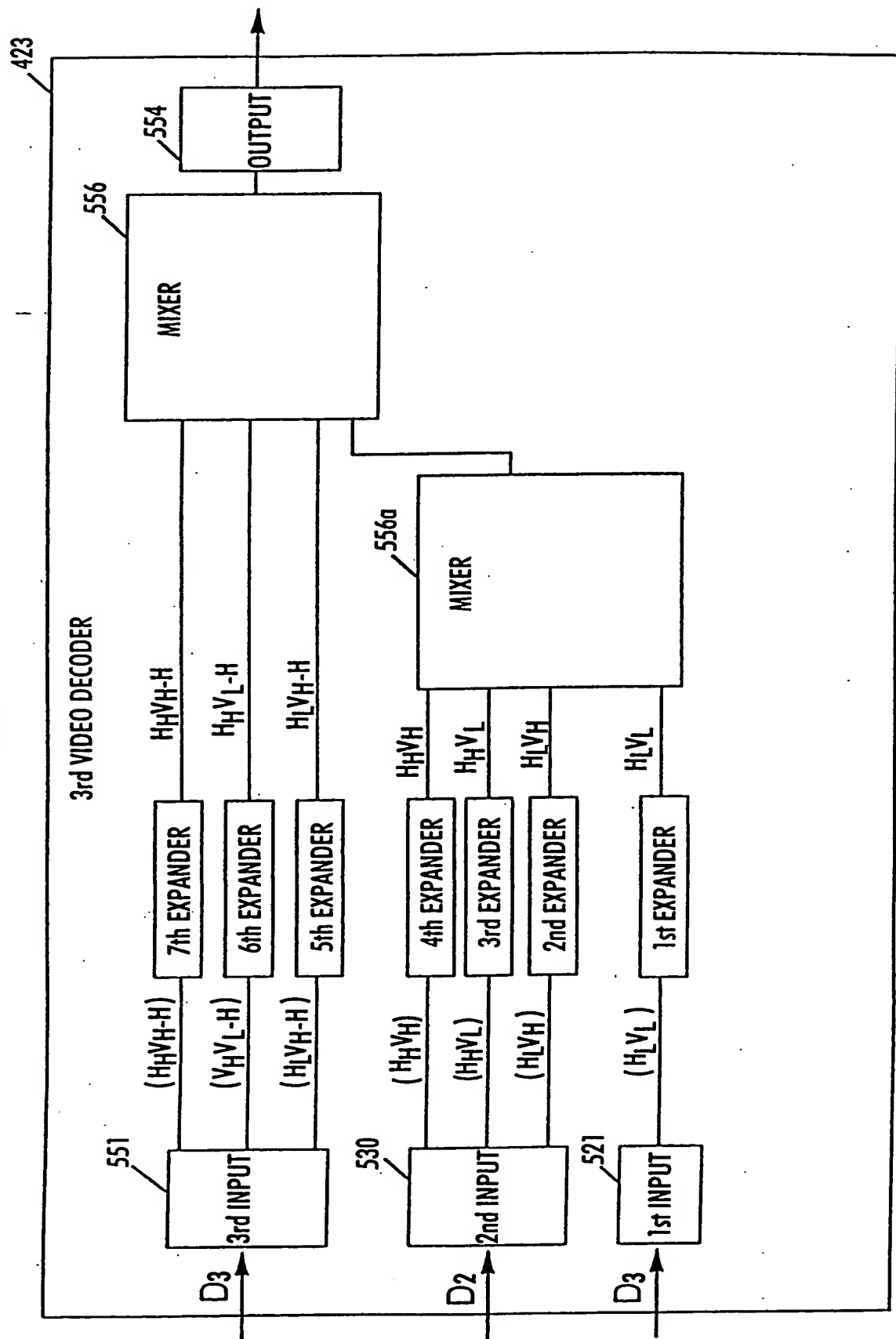


FIG. 72

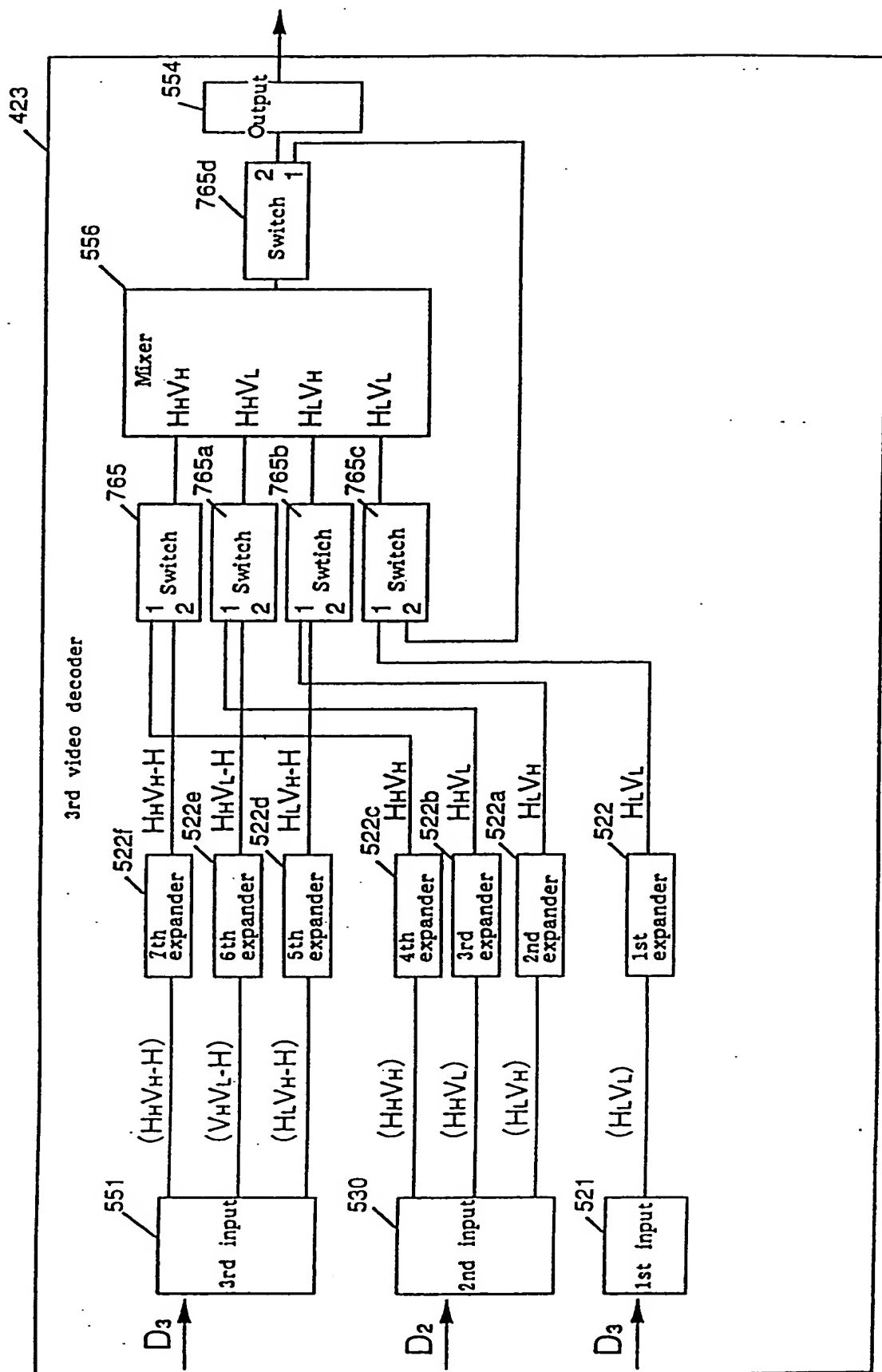




FIG. 73

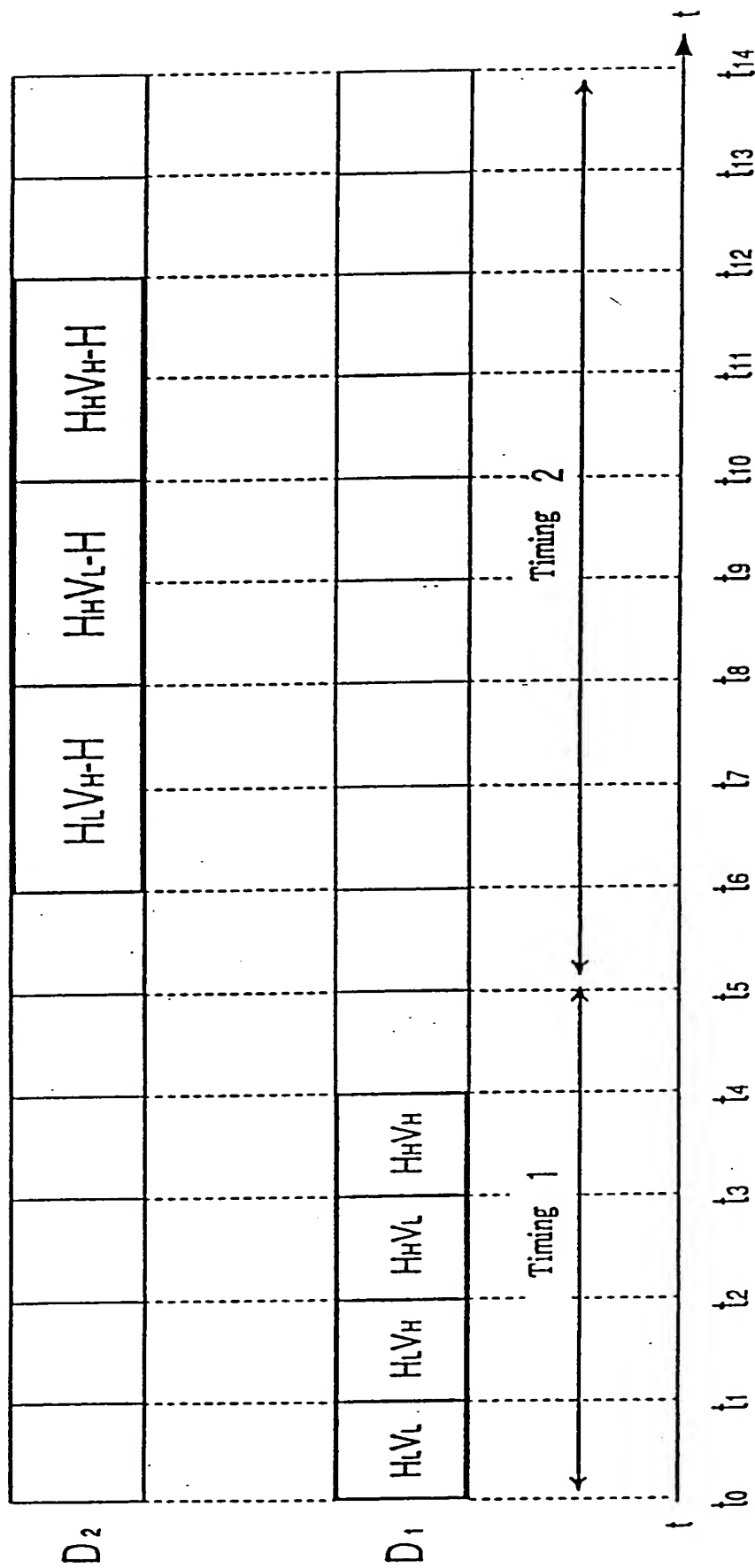


FIG. 74 (a)

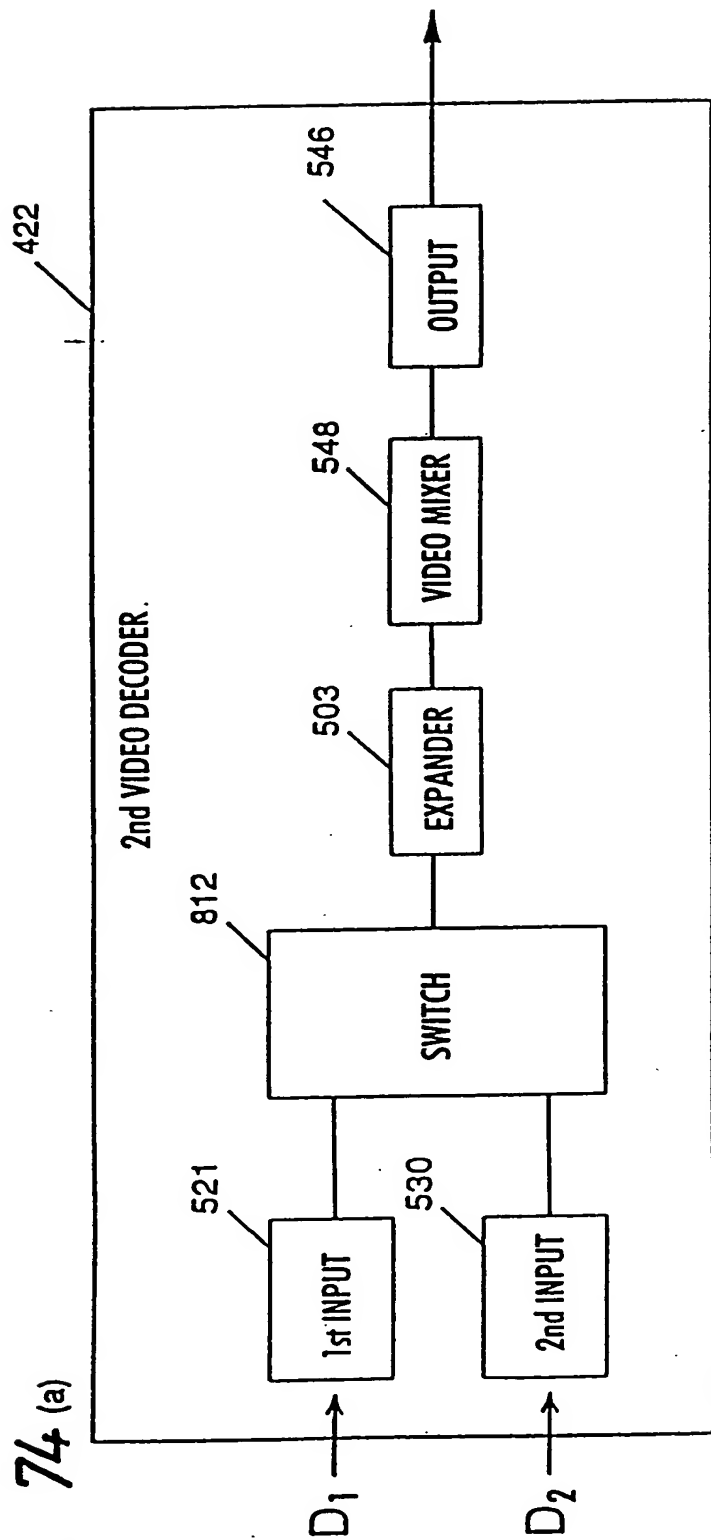


FIG. 74 (b)

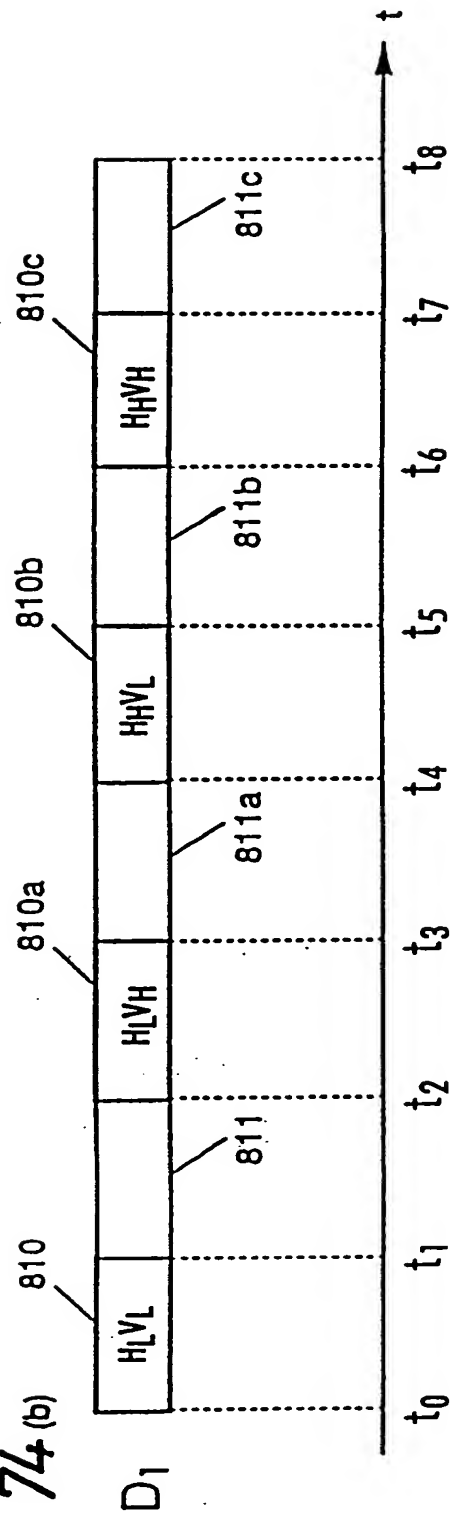


FIG. 75

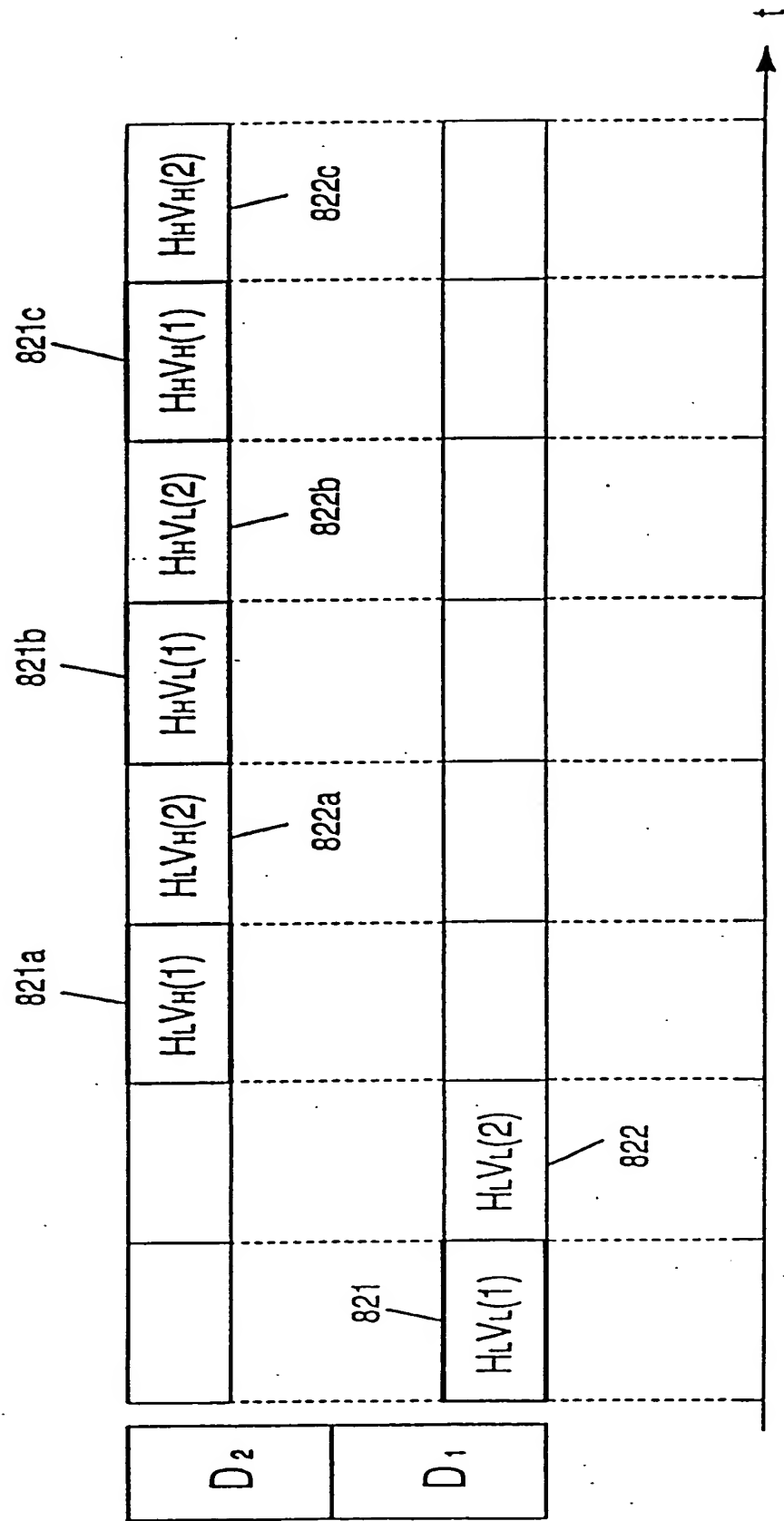


FIG. 76

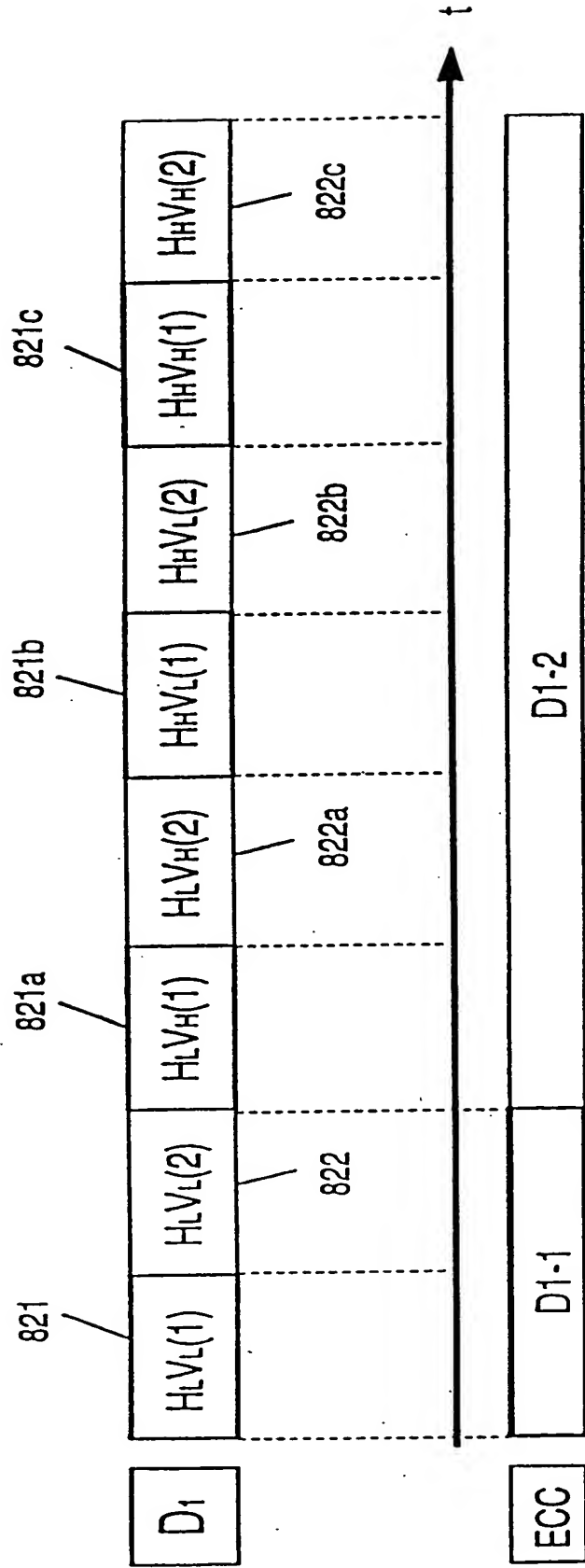


FIG. 77

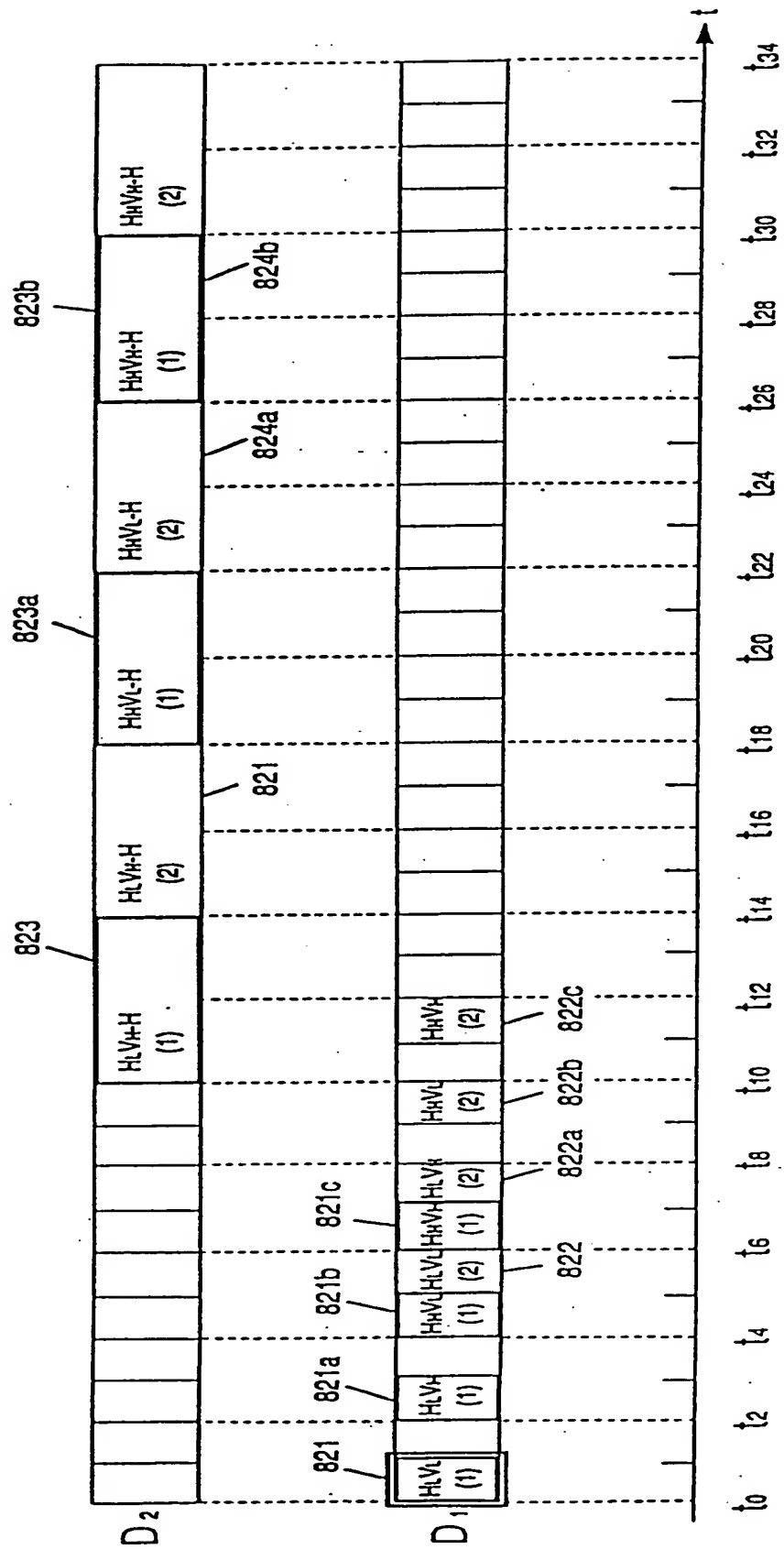


FIG. 78

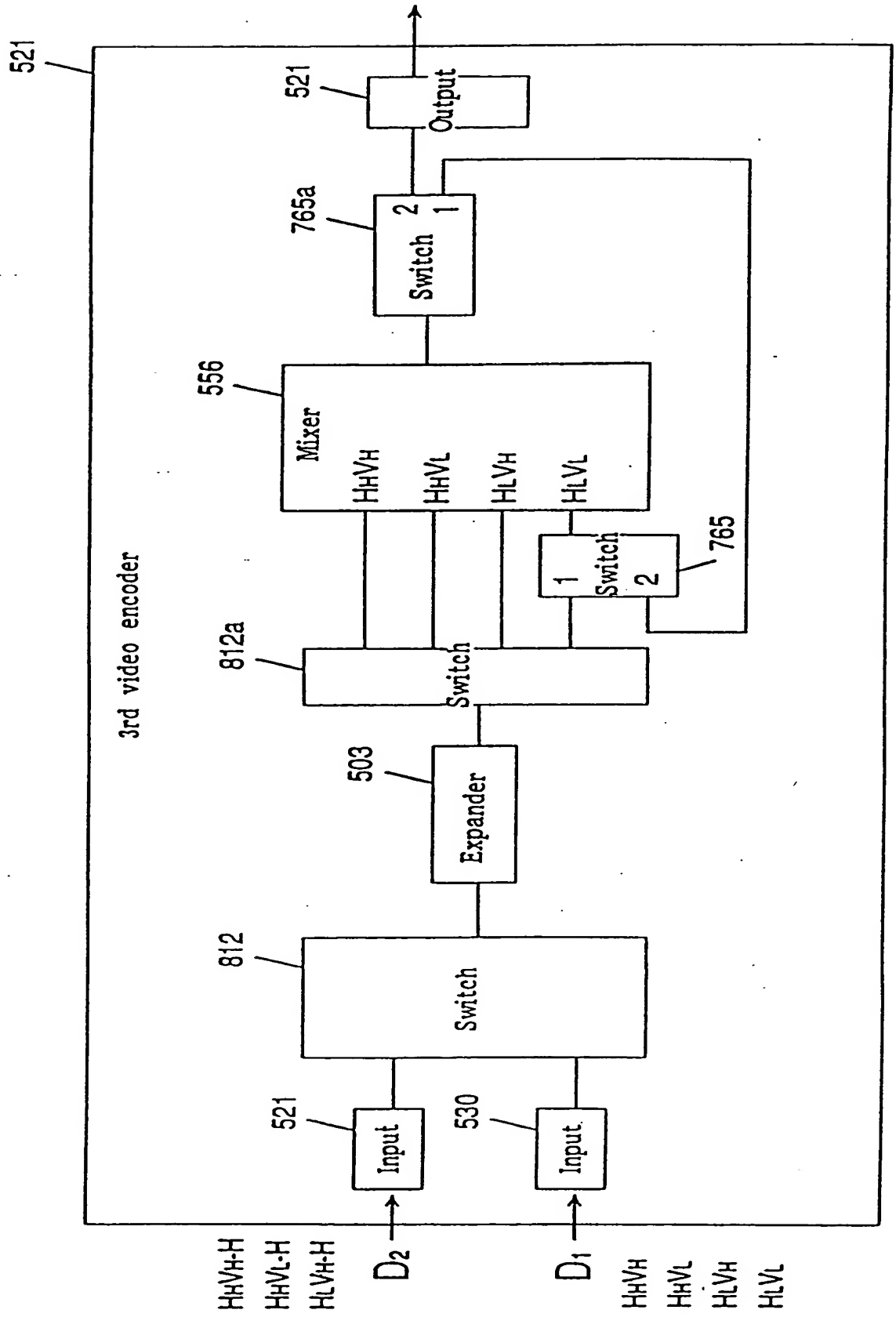


FIG. 79

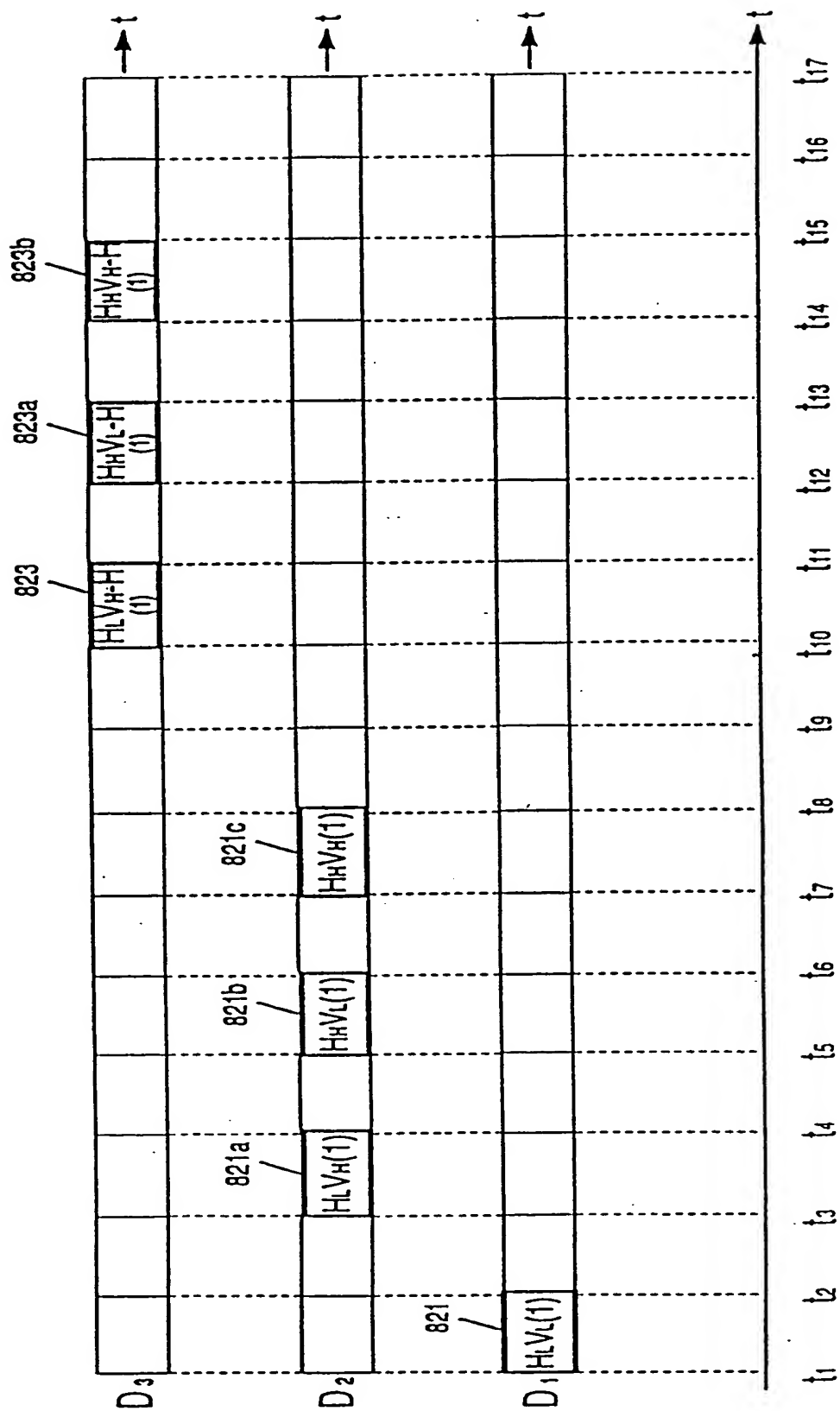


FIG. 80

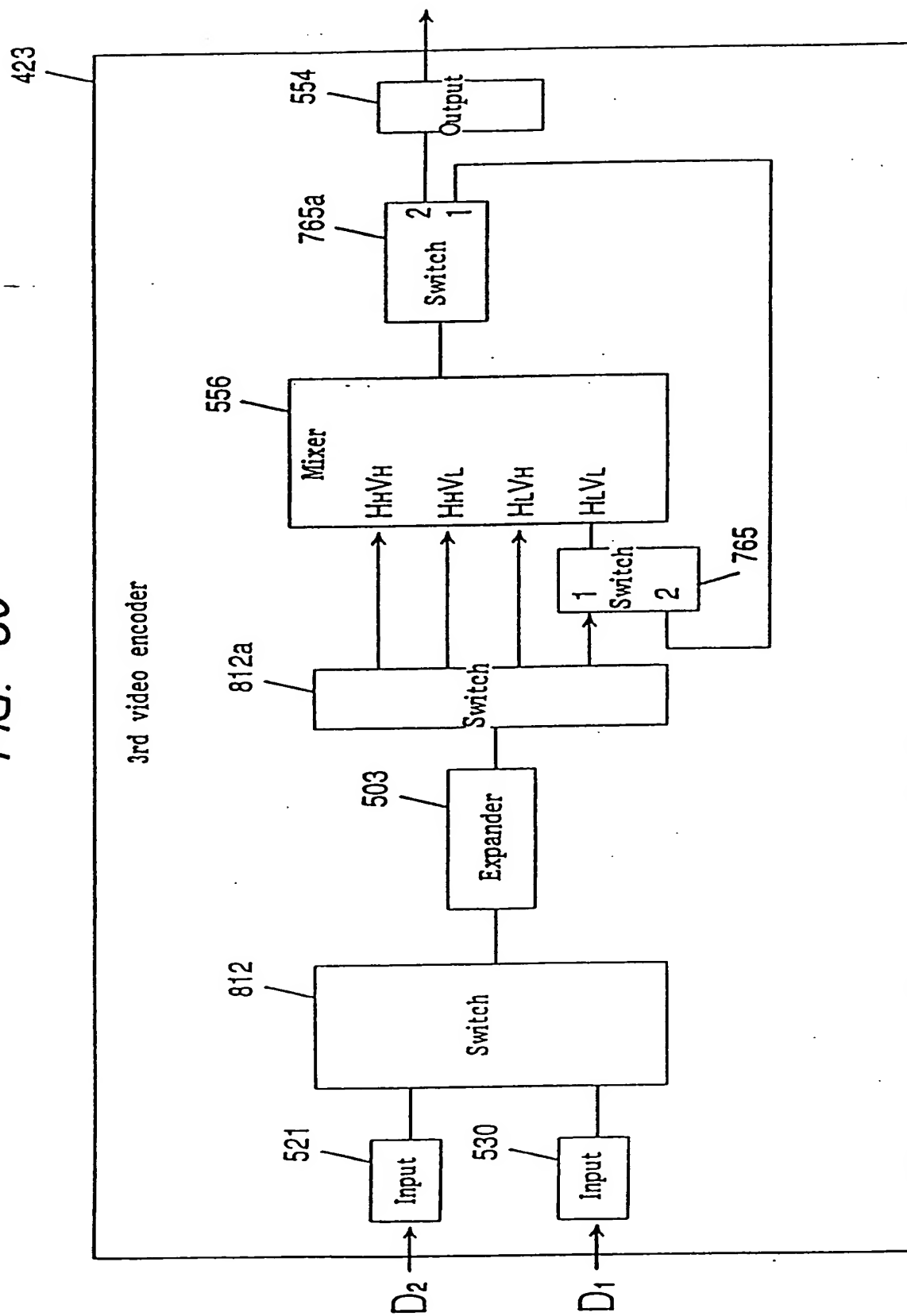




FIG. 81

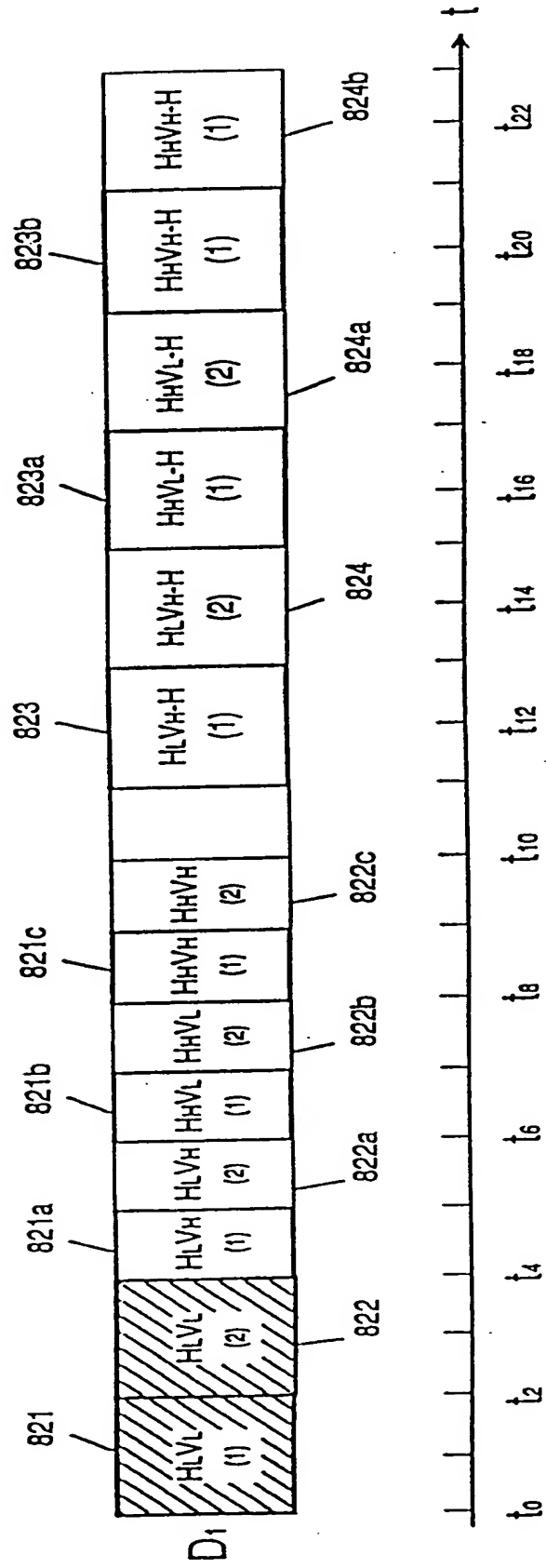


FIG. 82

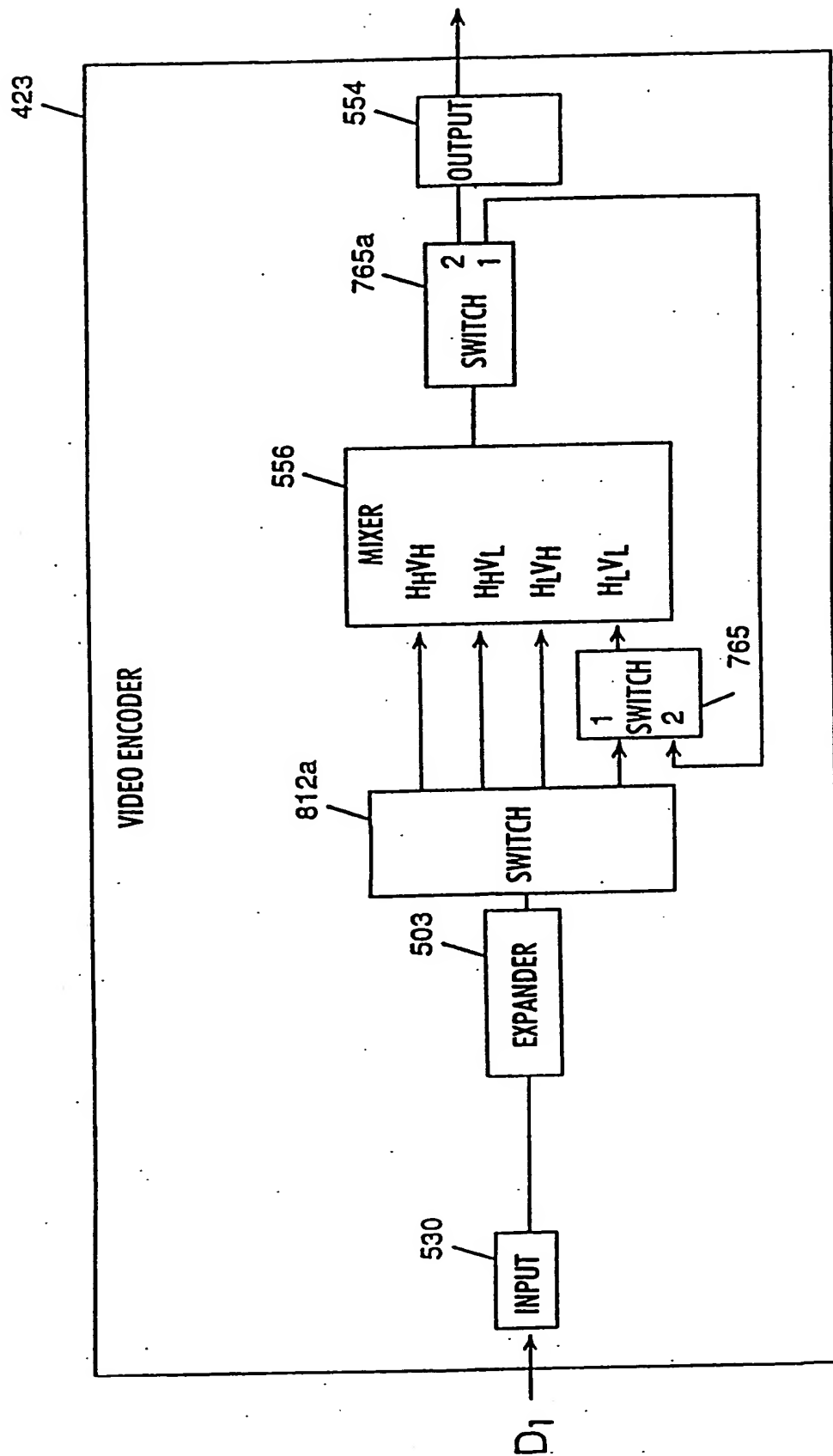


FIG. 83

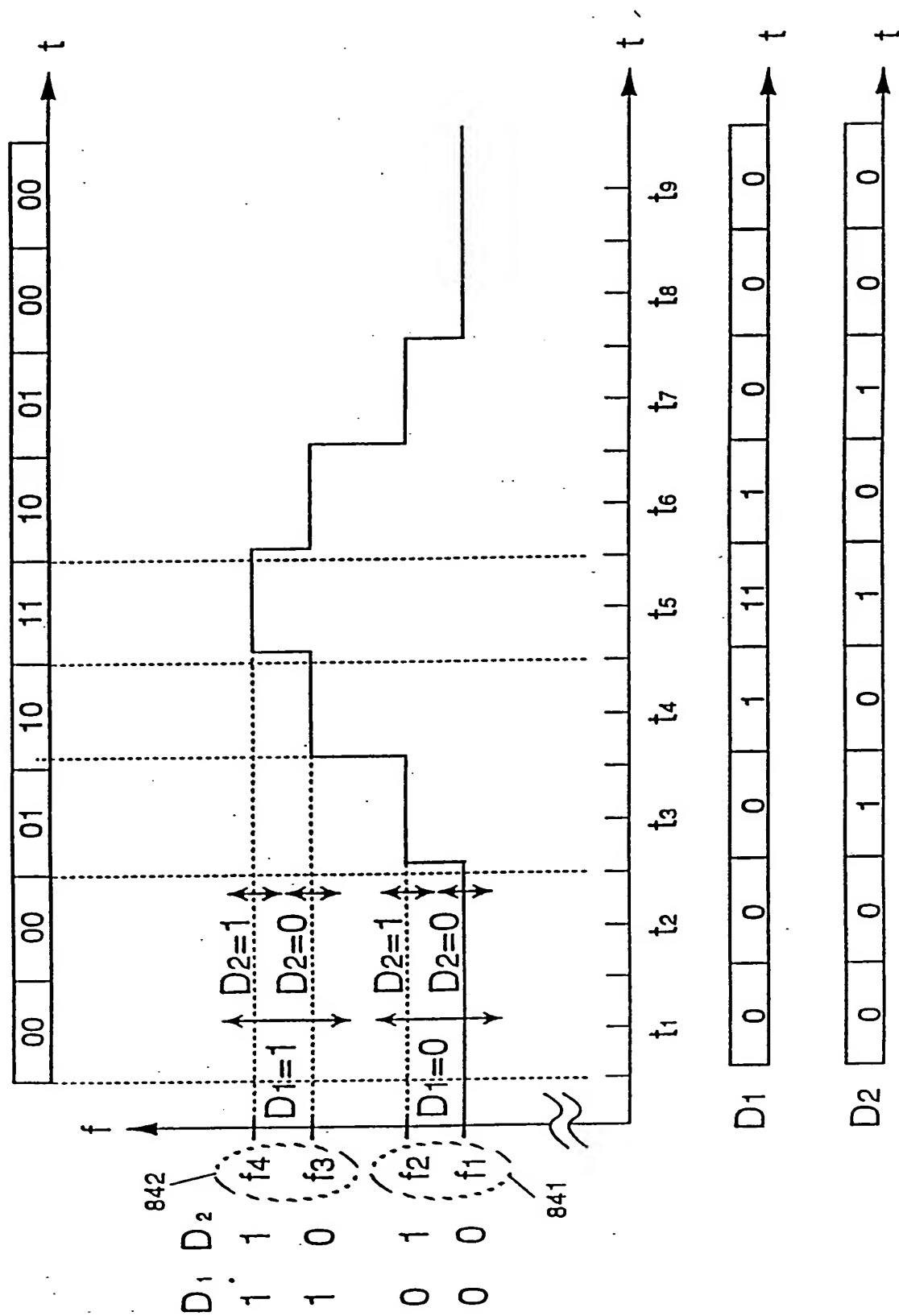


FIG. 84

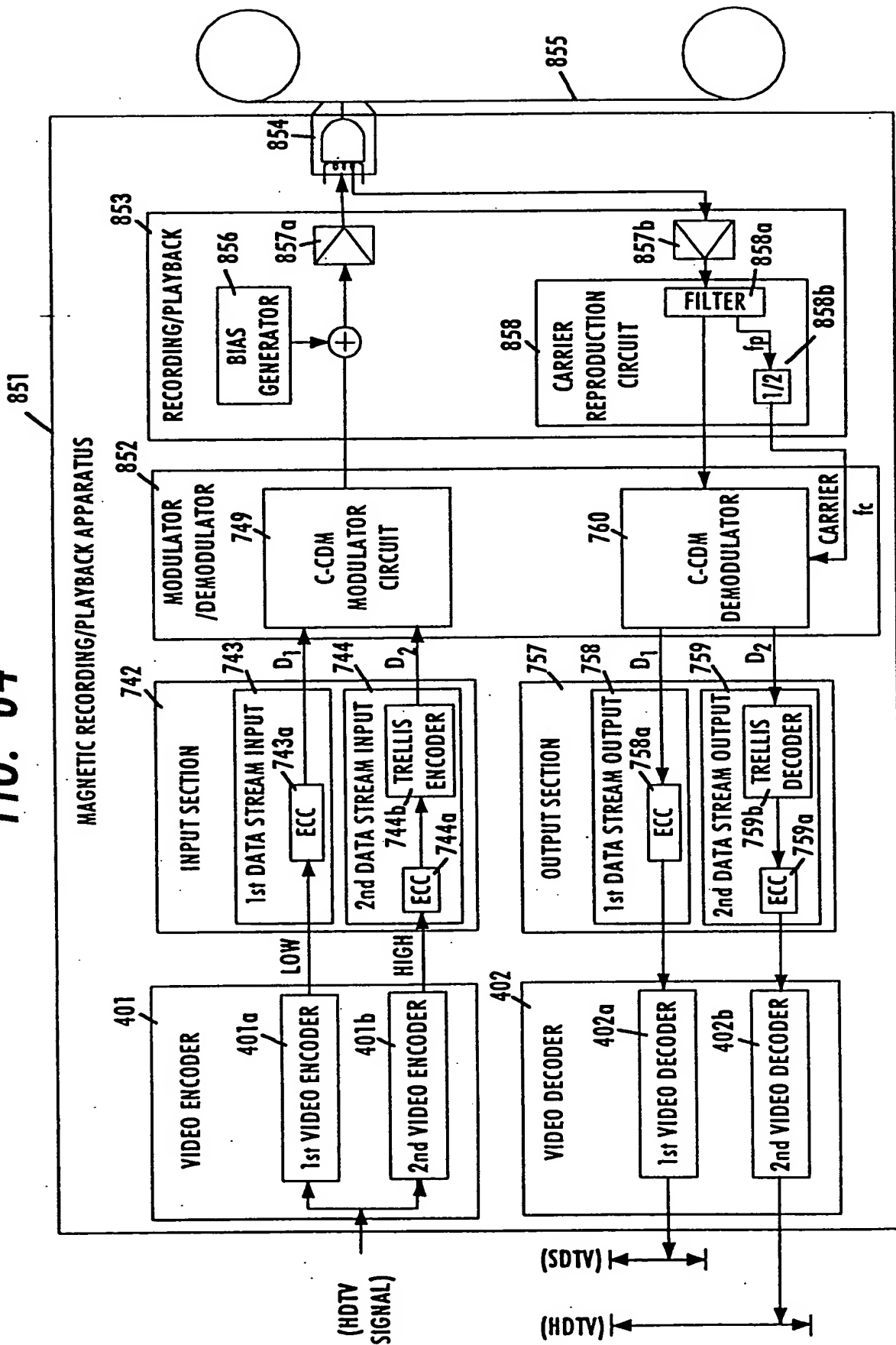


FIG. 85

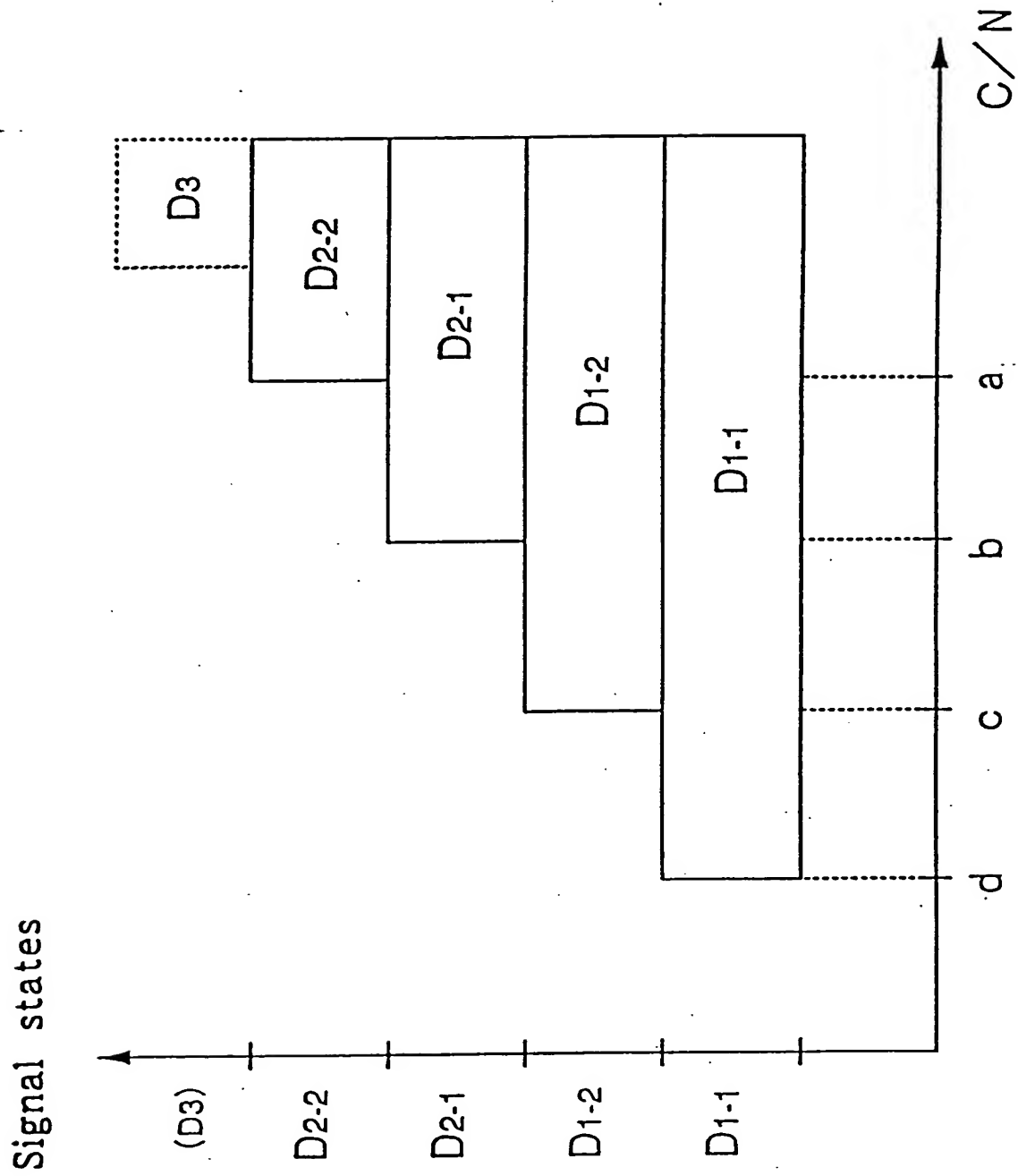


FIG. 86

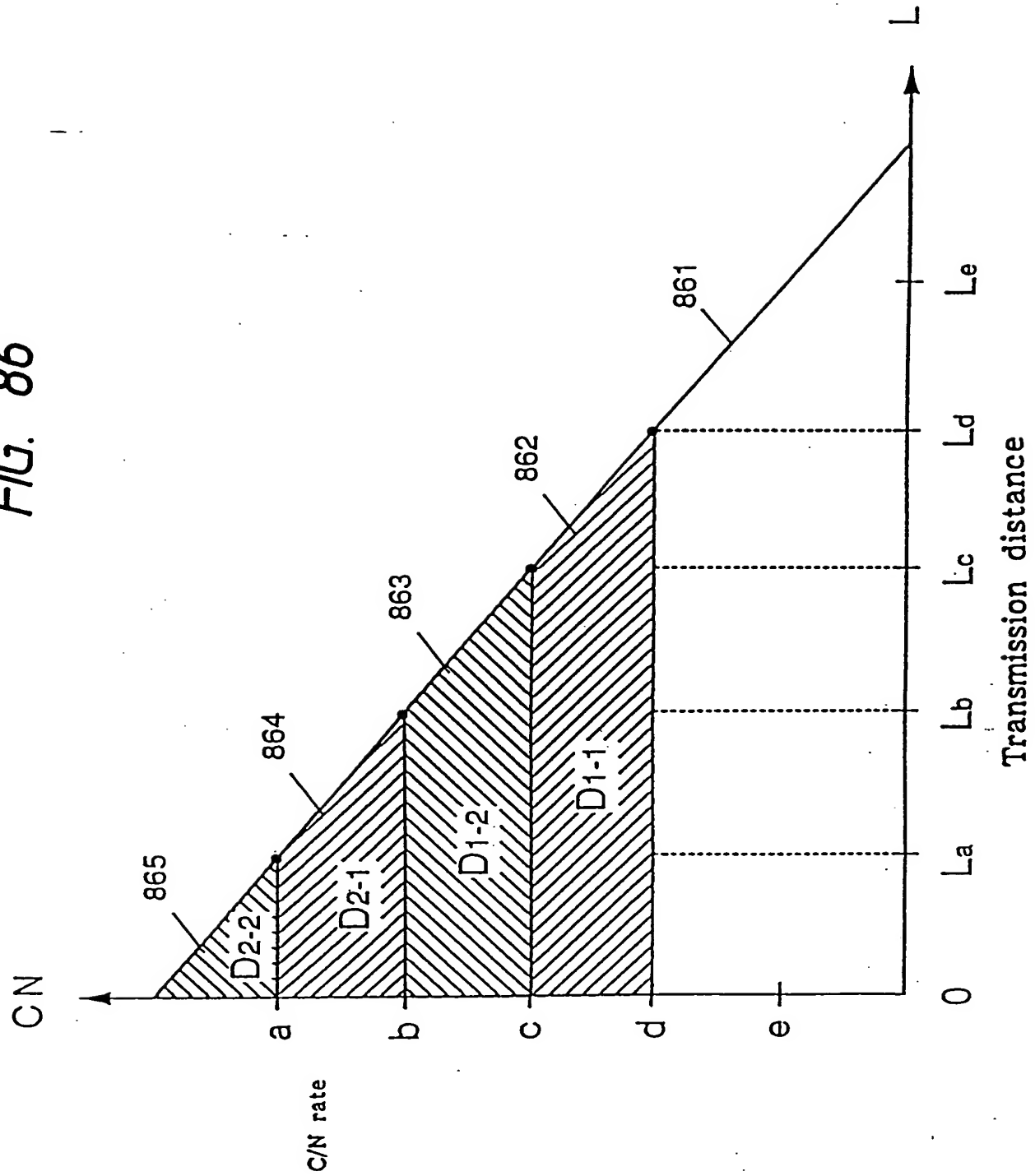


FIG. 87

TRANSMITTER

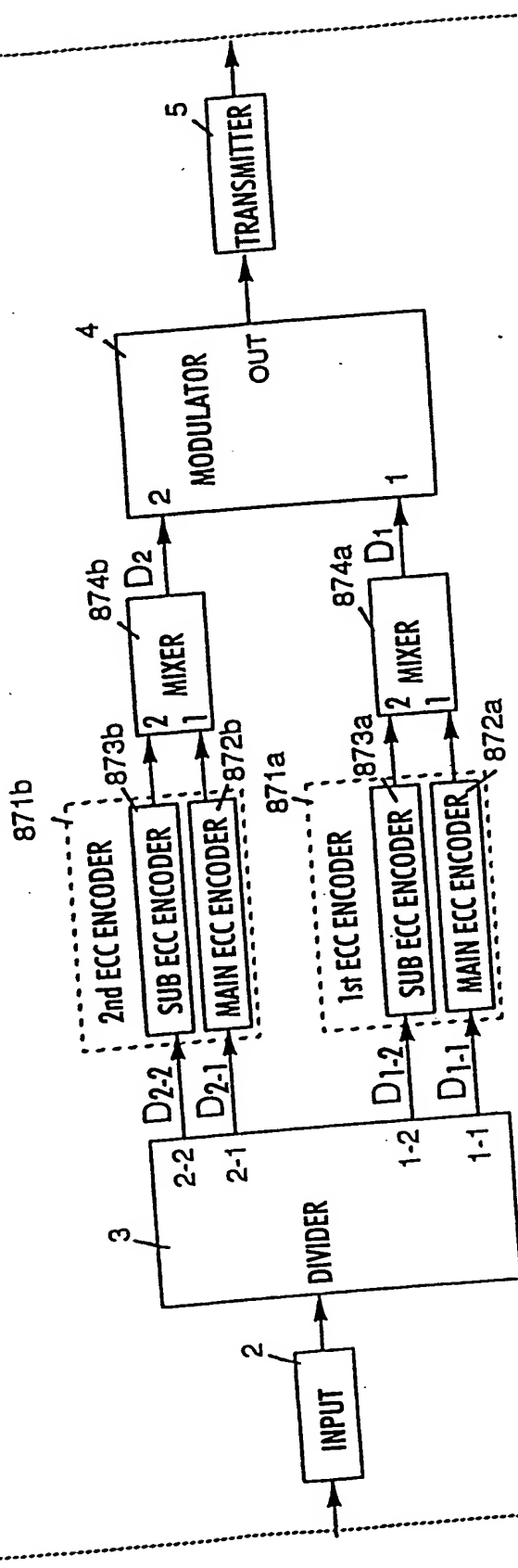


FIG. 88

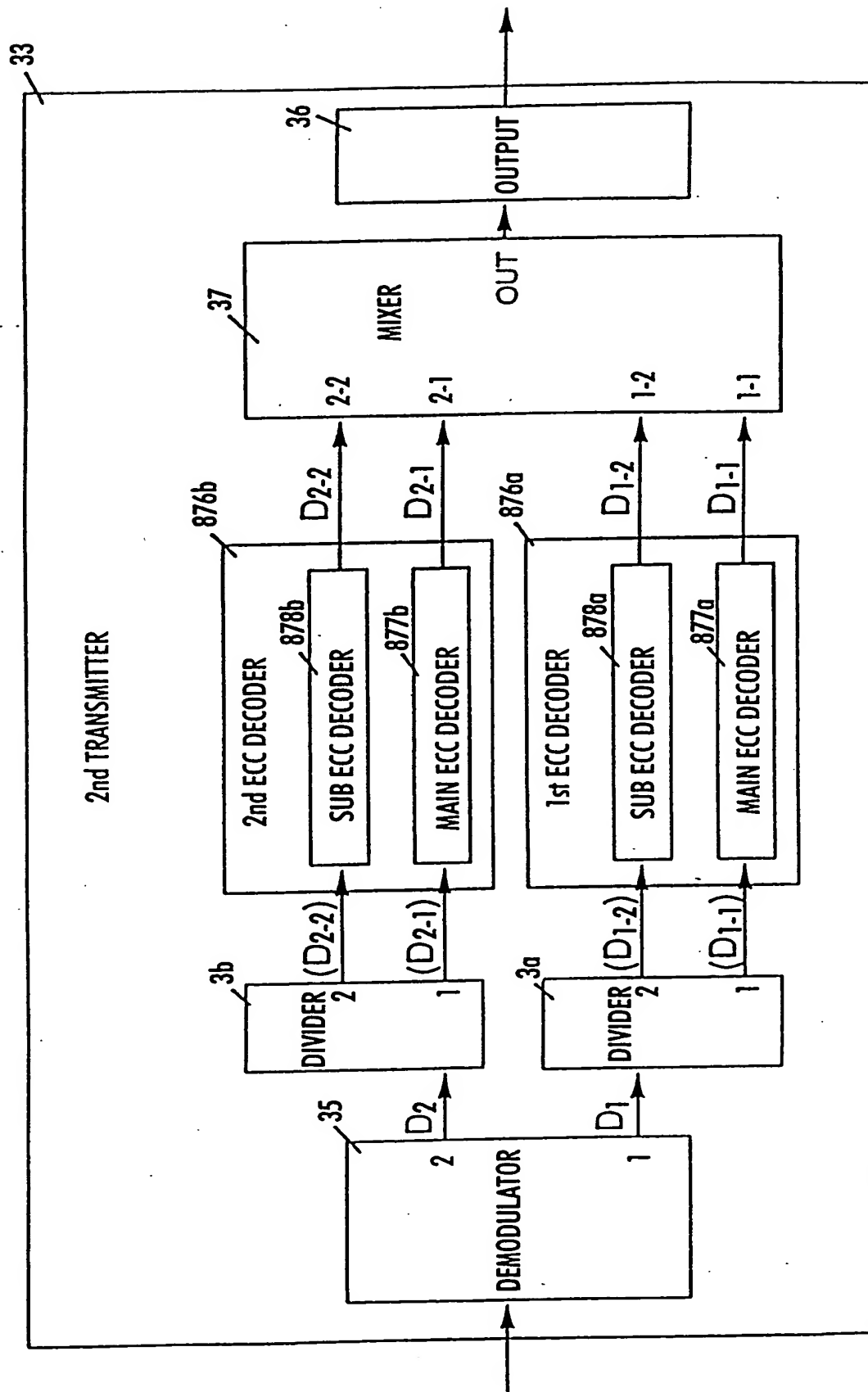




FIG. 89

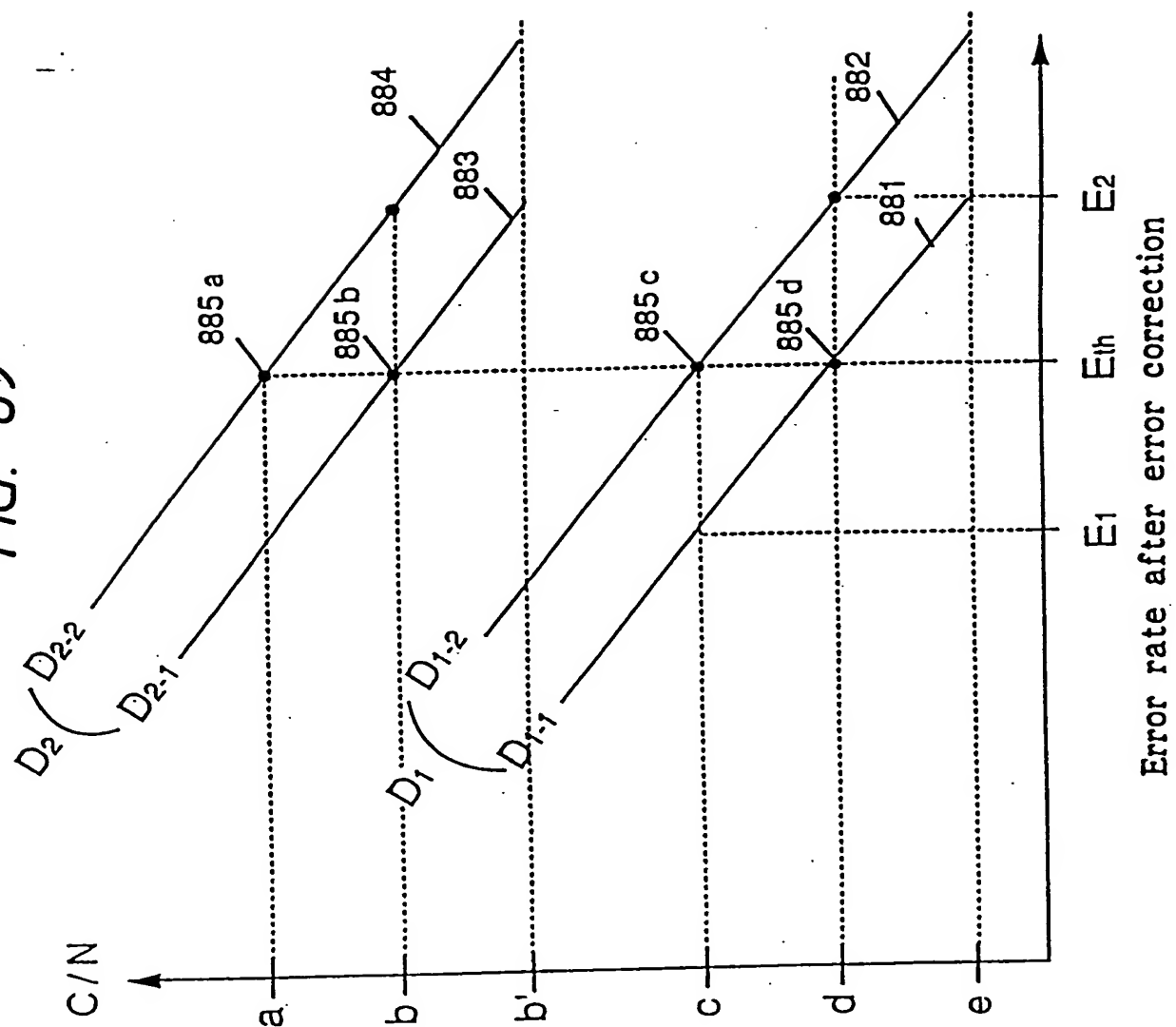


FIG. 90

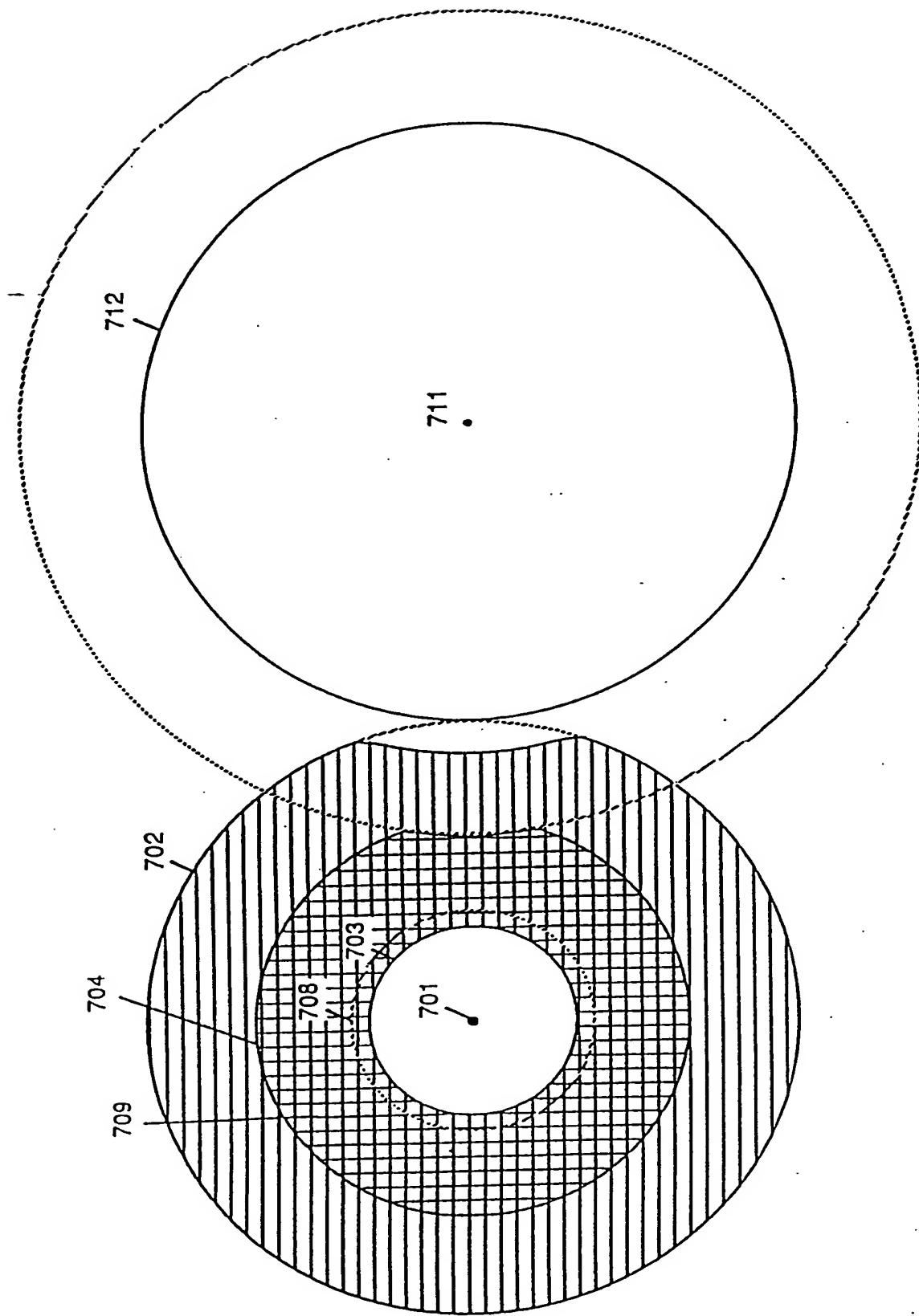


FIG. 91

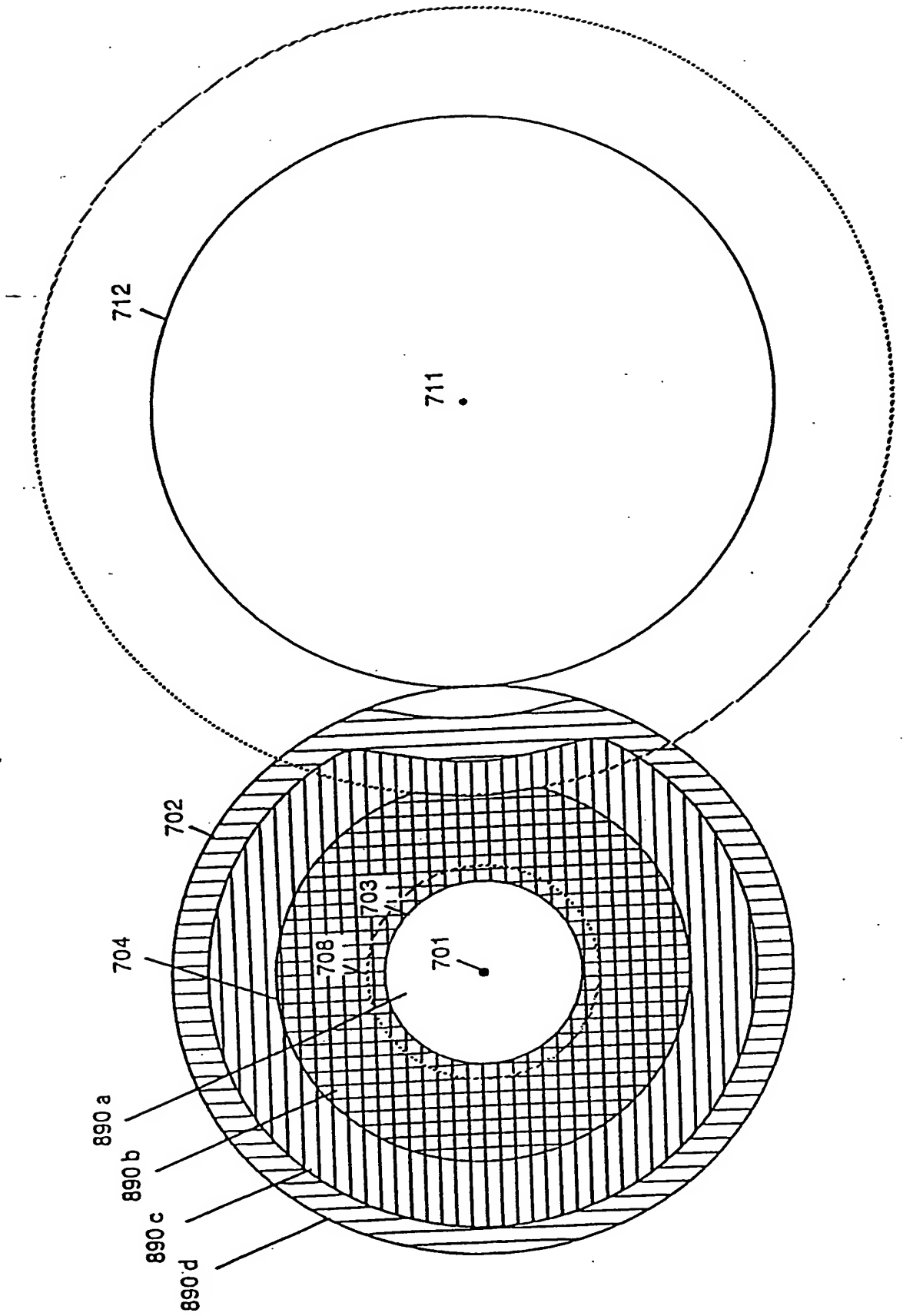


FIG. 92

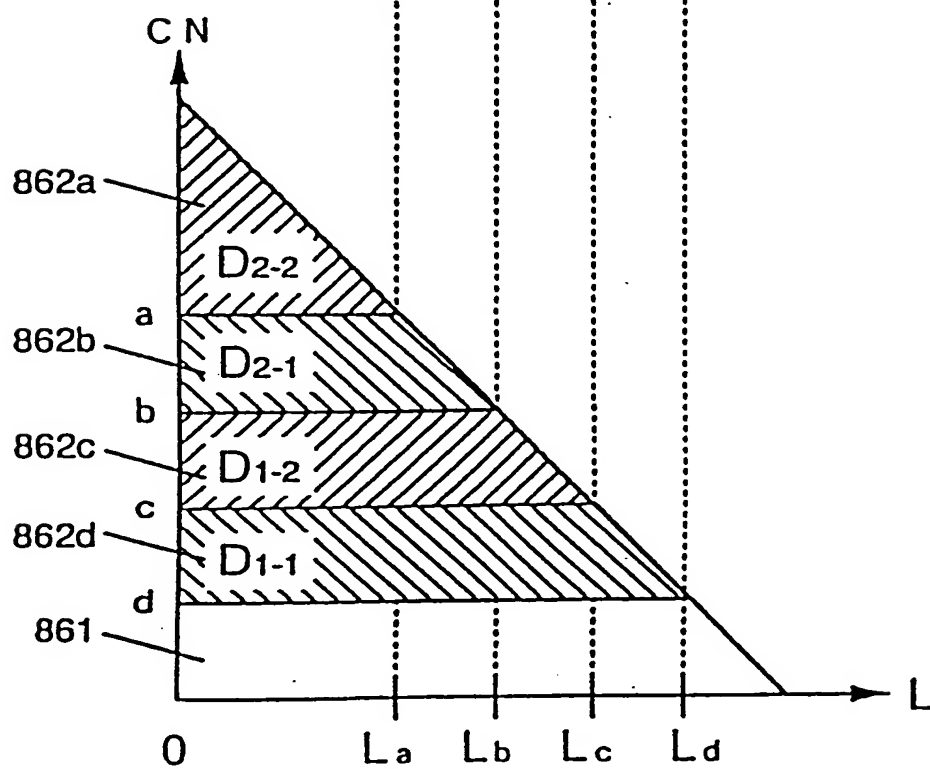
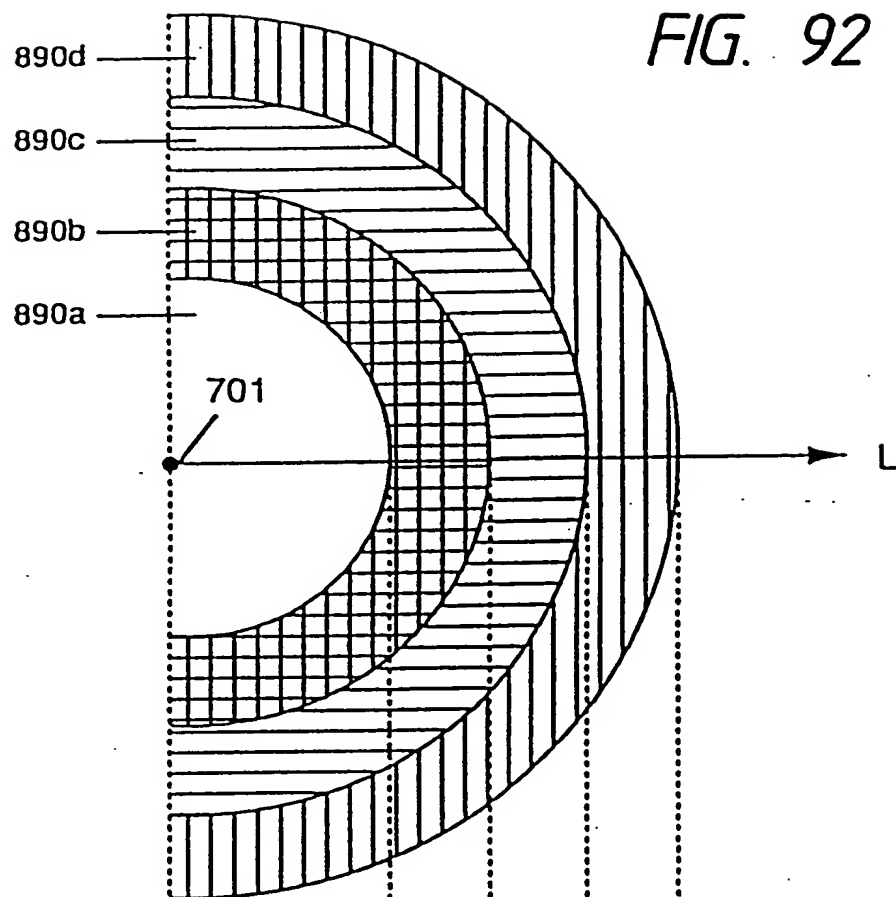


FIG. 93

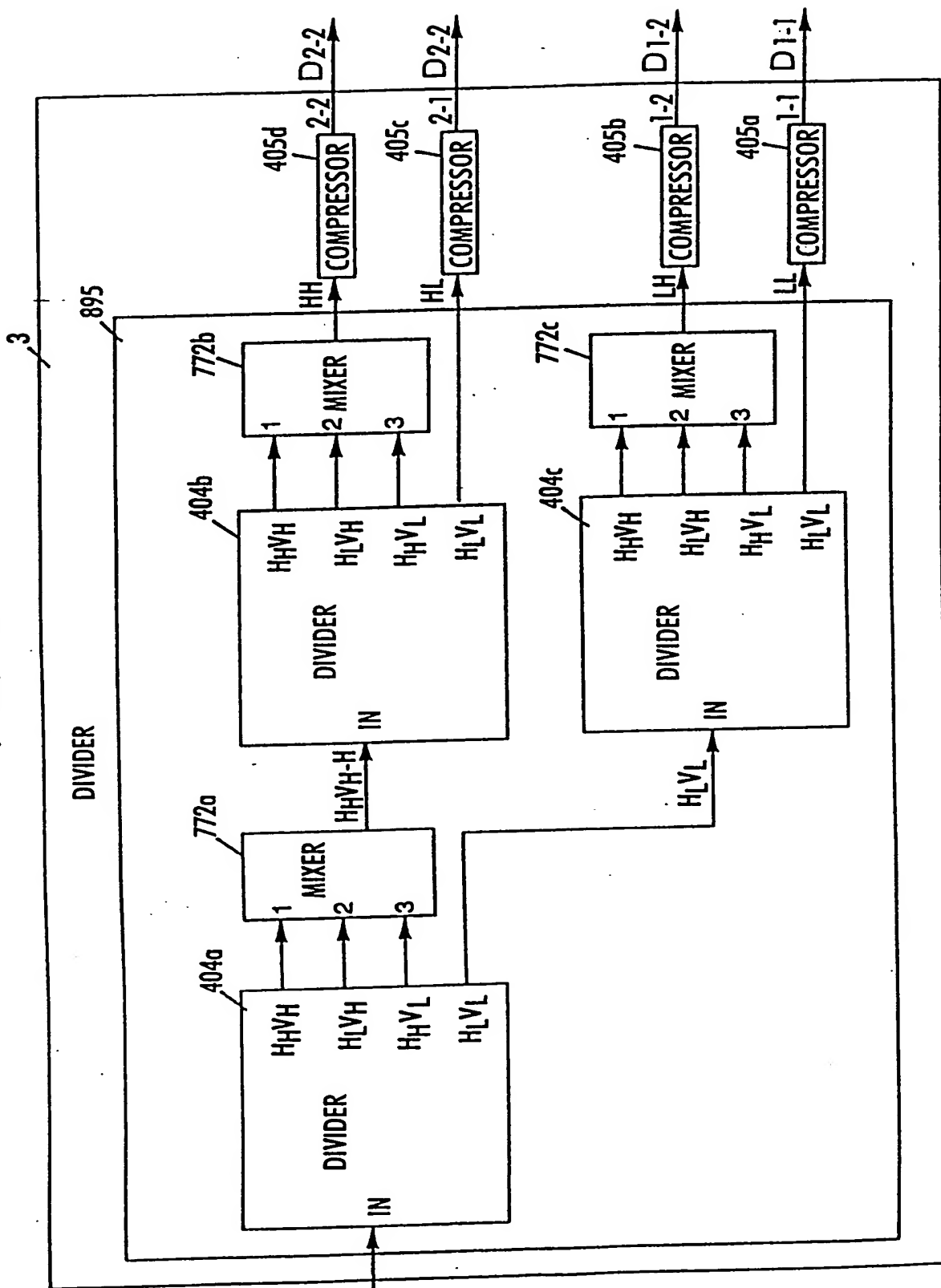


FIG. 94

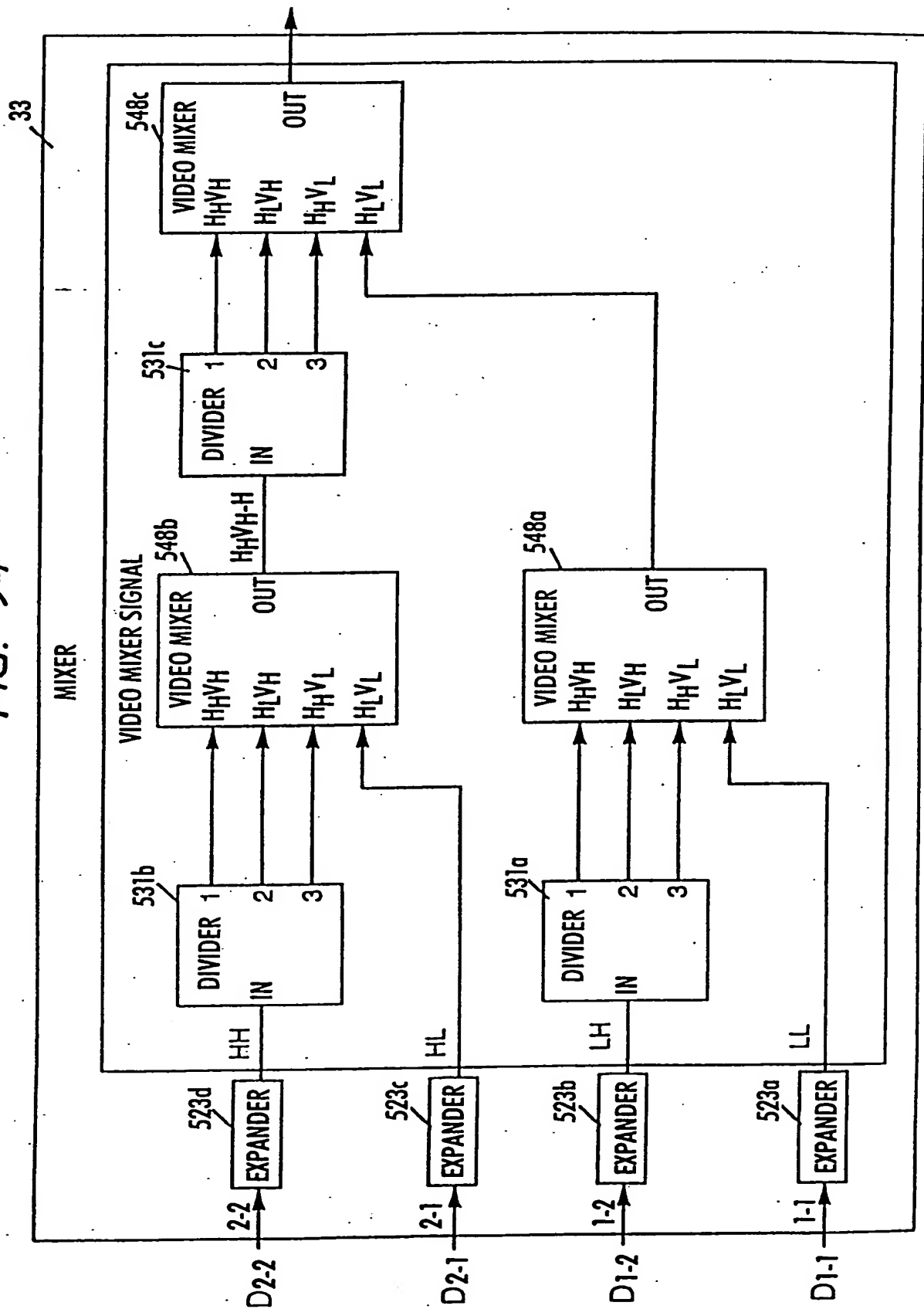


FIG. 95

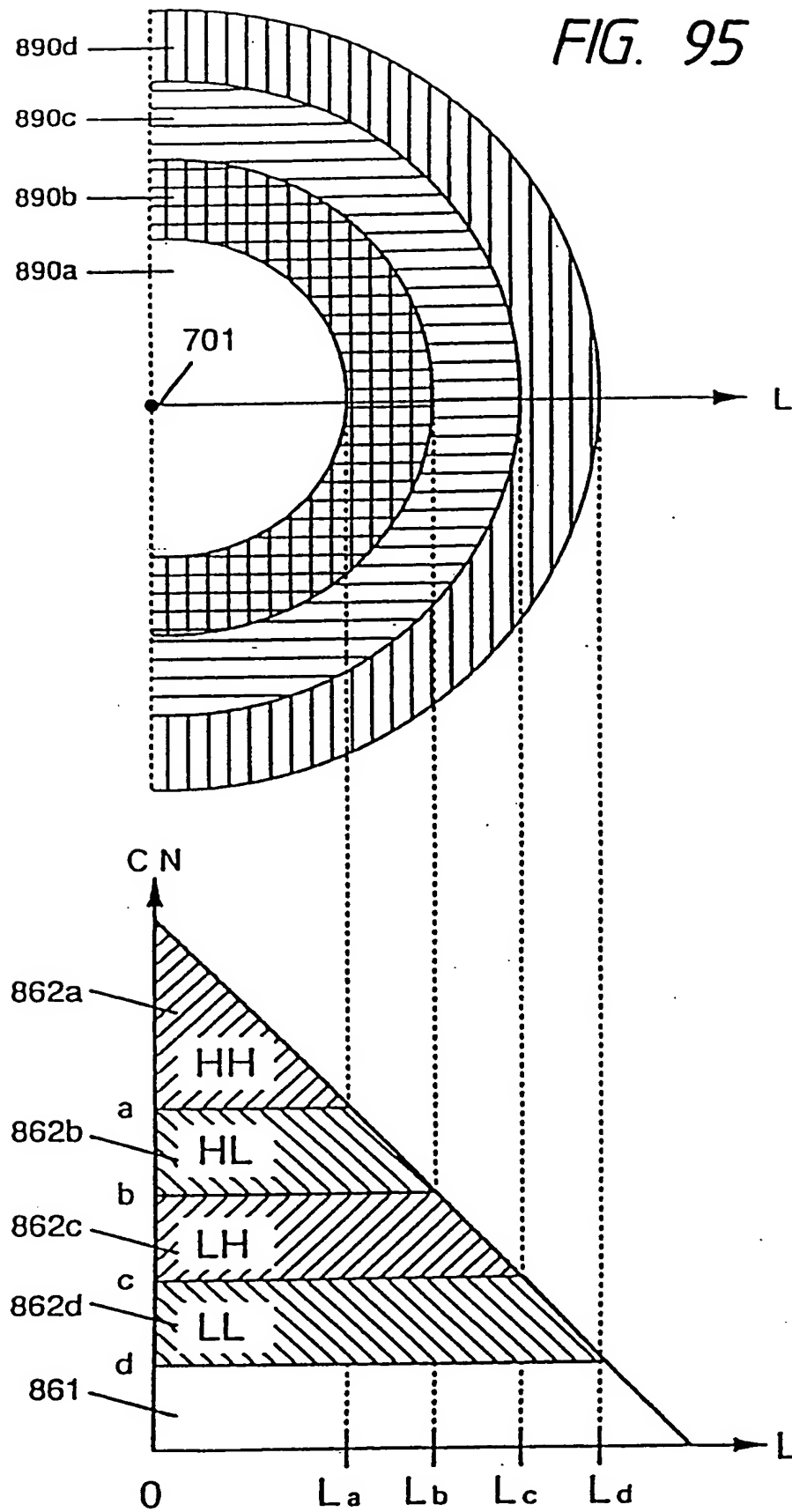


FIG. 96

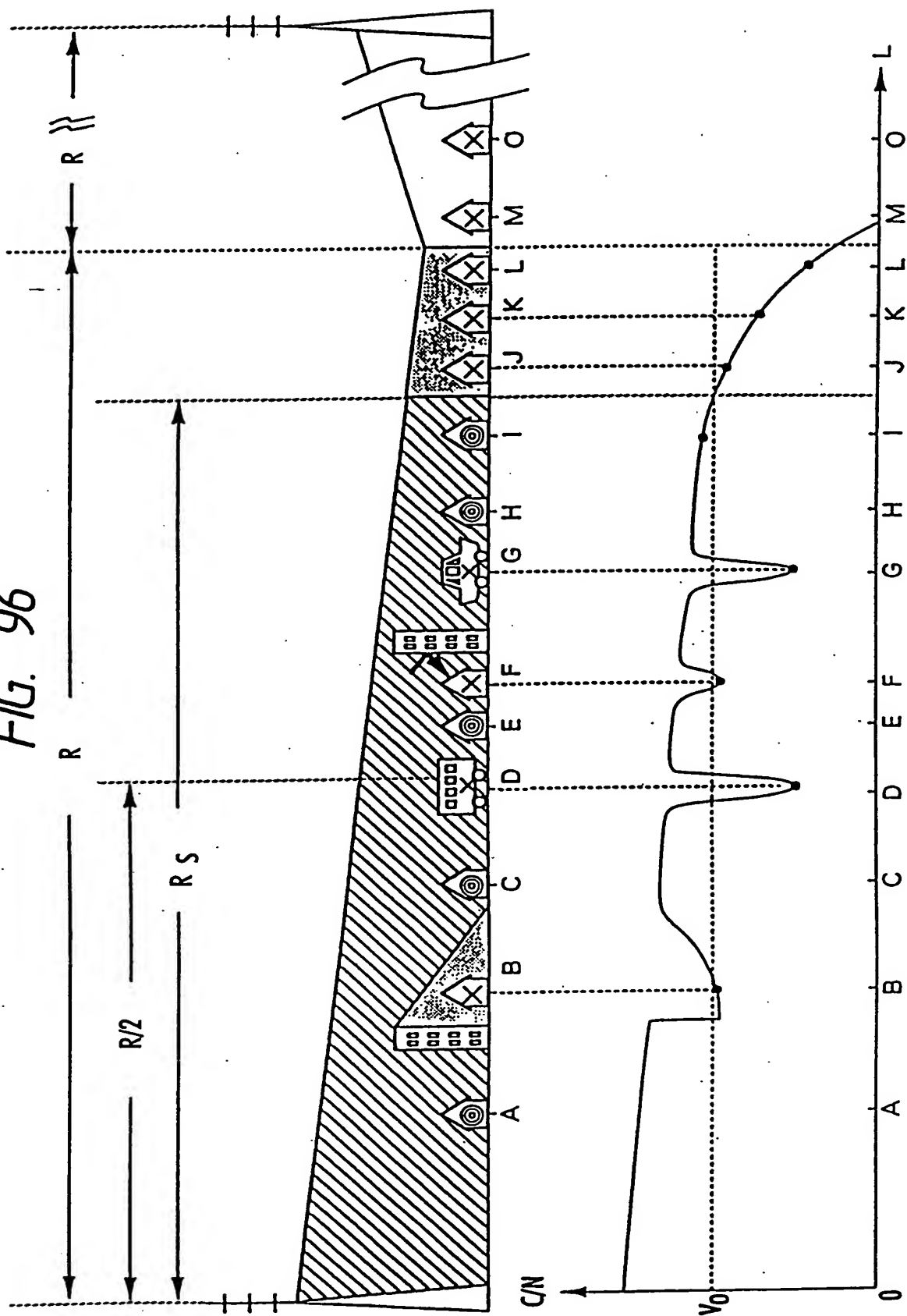




FIG. 97

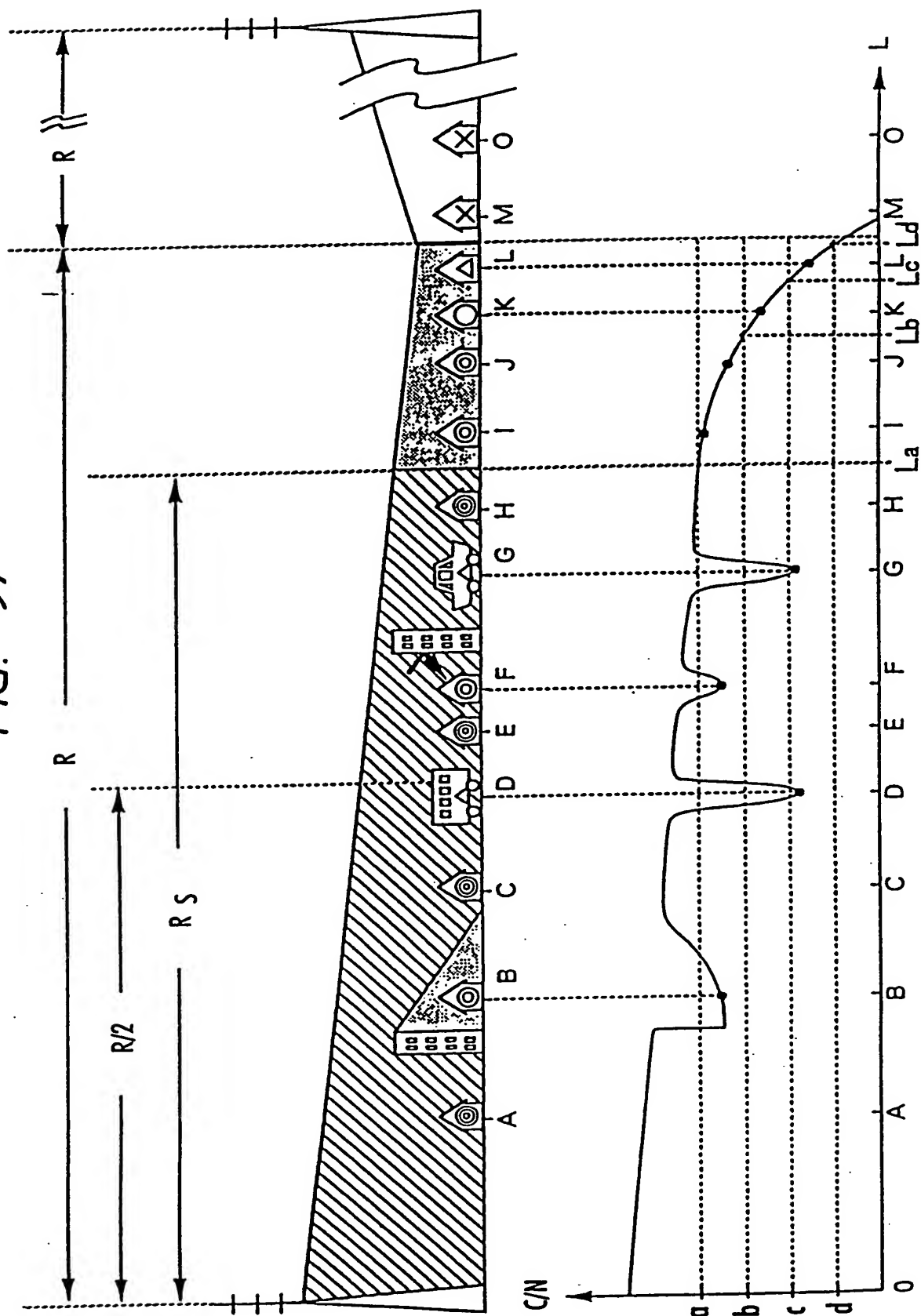


FIG. 98

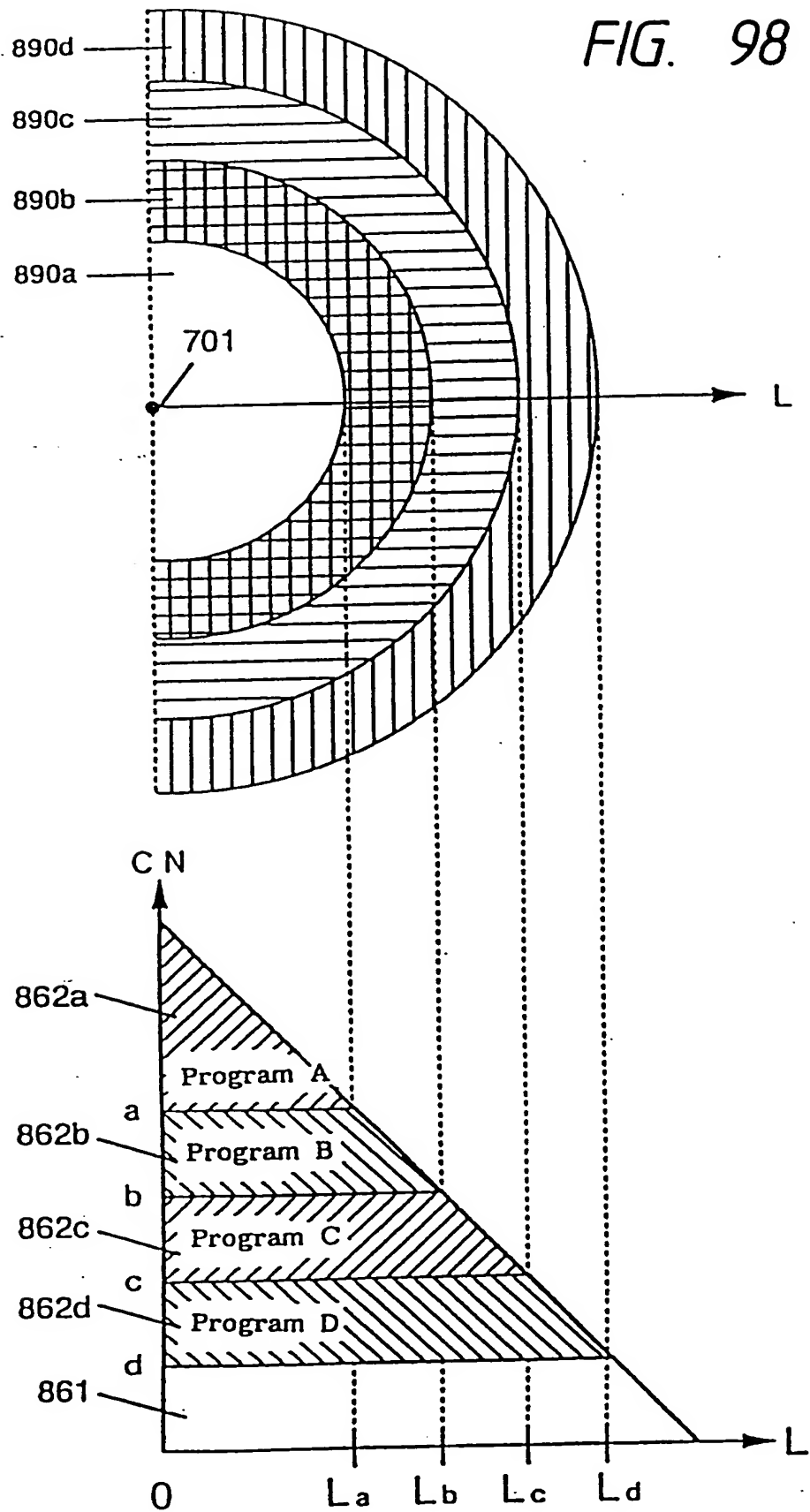


FIG. 99

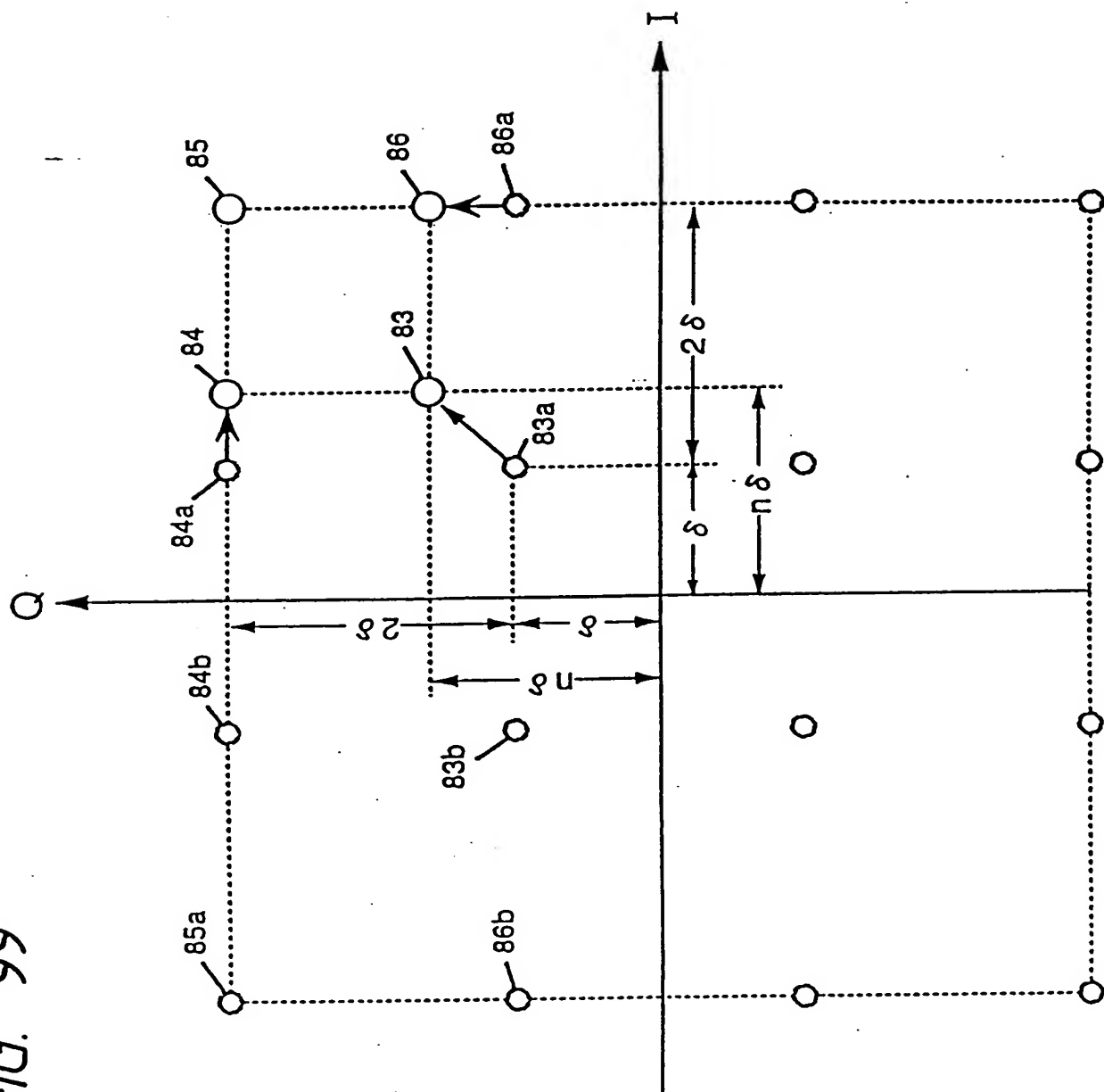


FIG. 100

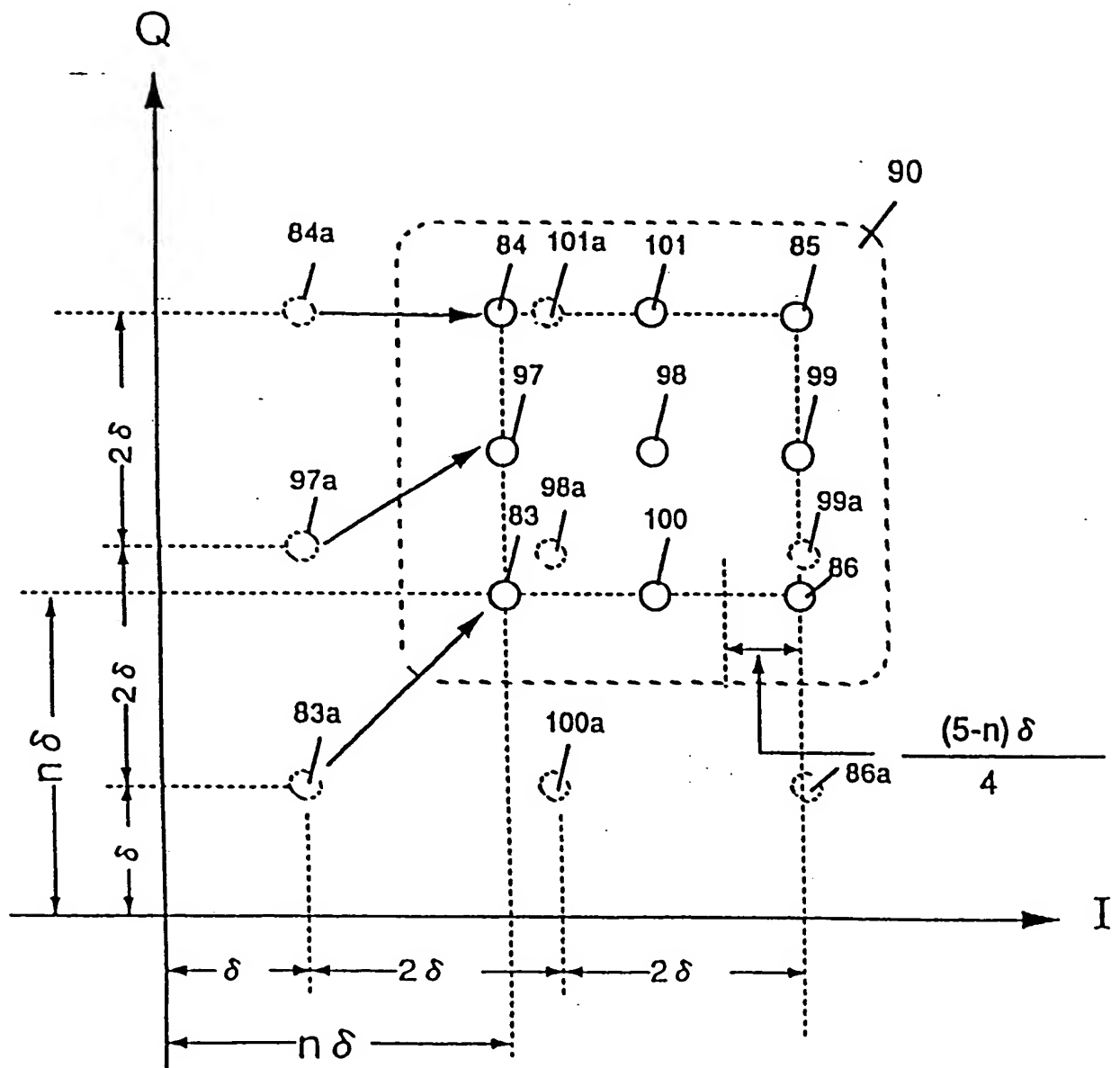


FIG. 101

Pe

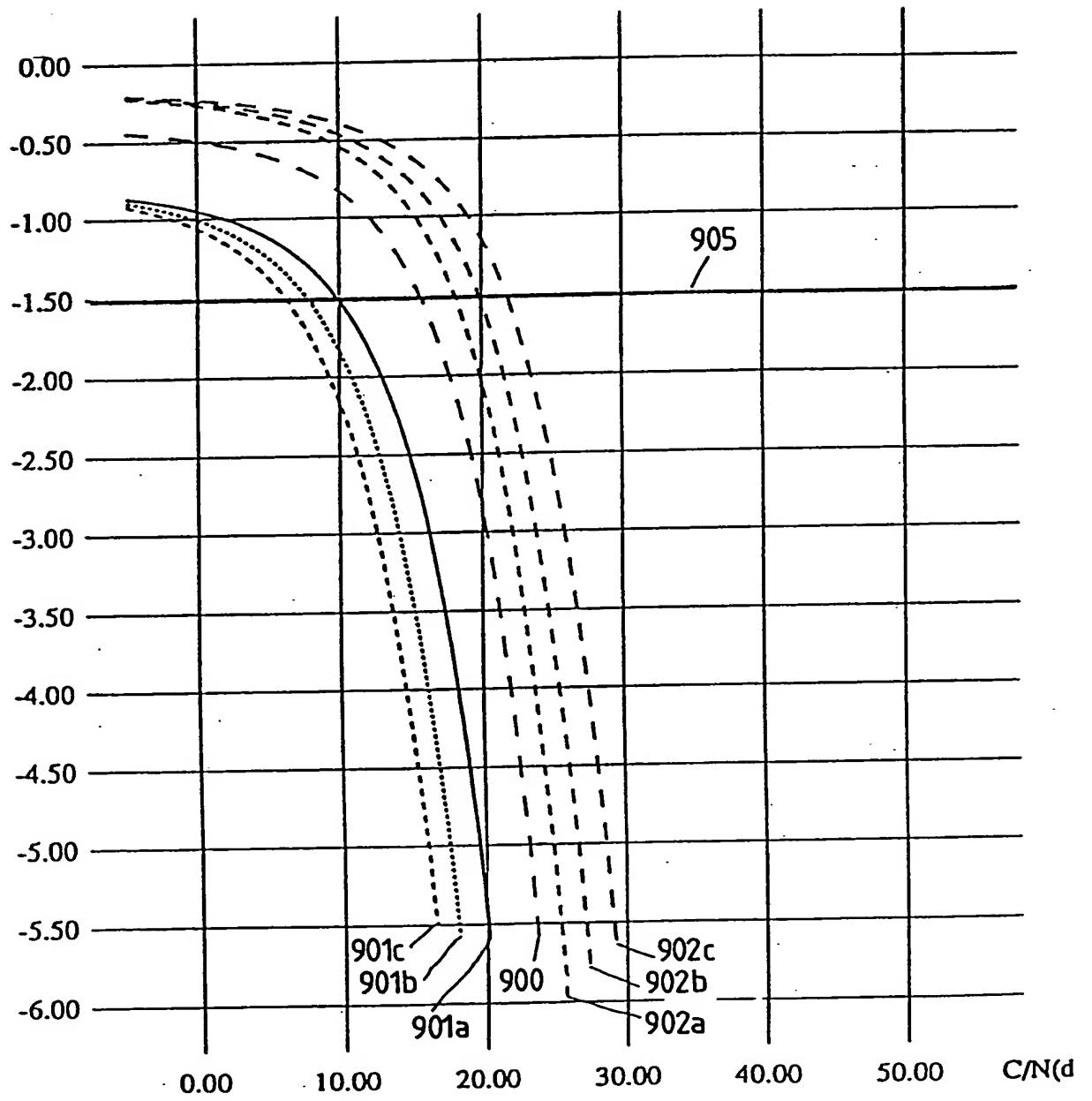


FIG. 102

Pe

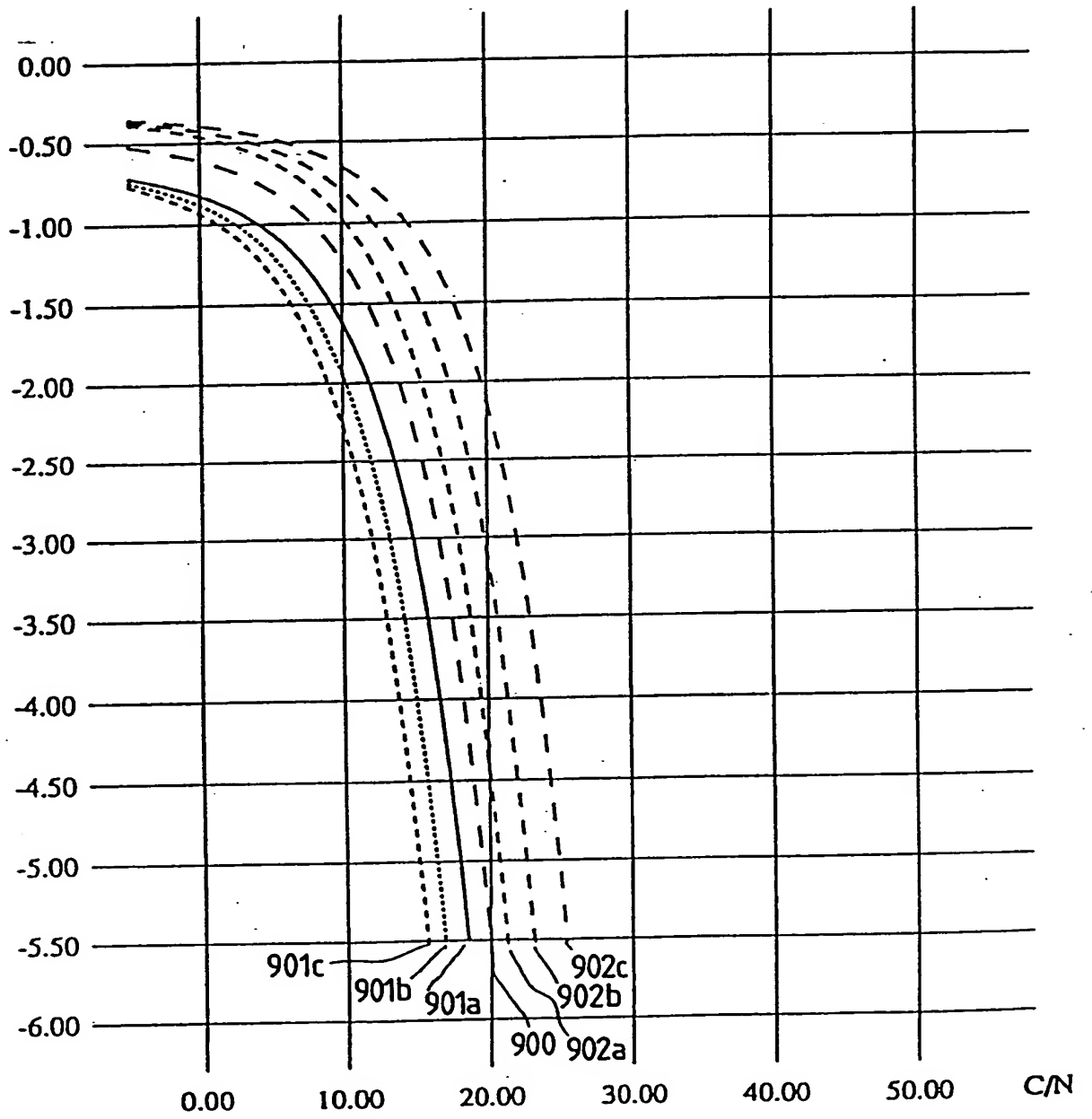


FIG. 103

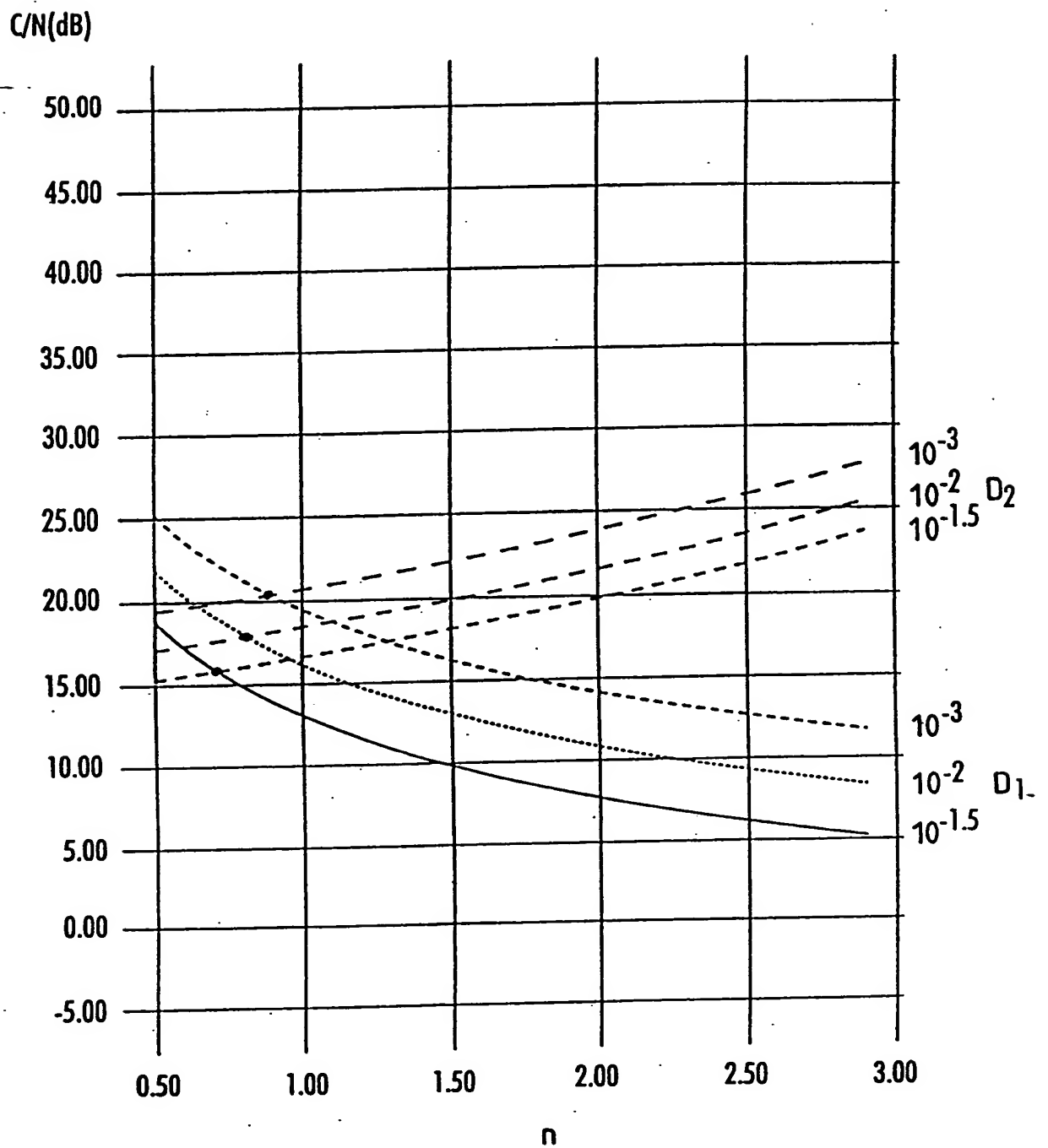


FIG. 104

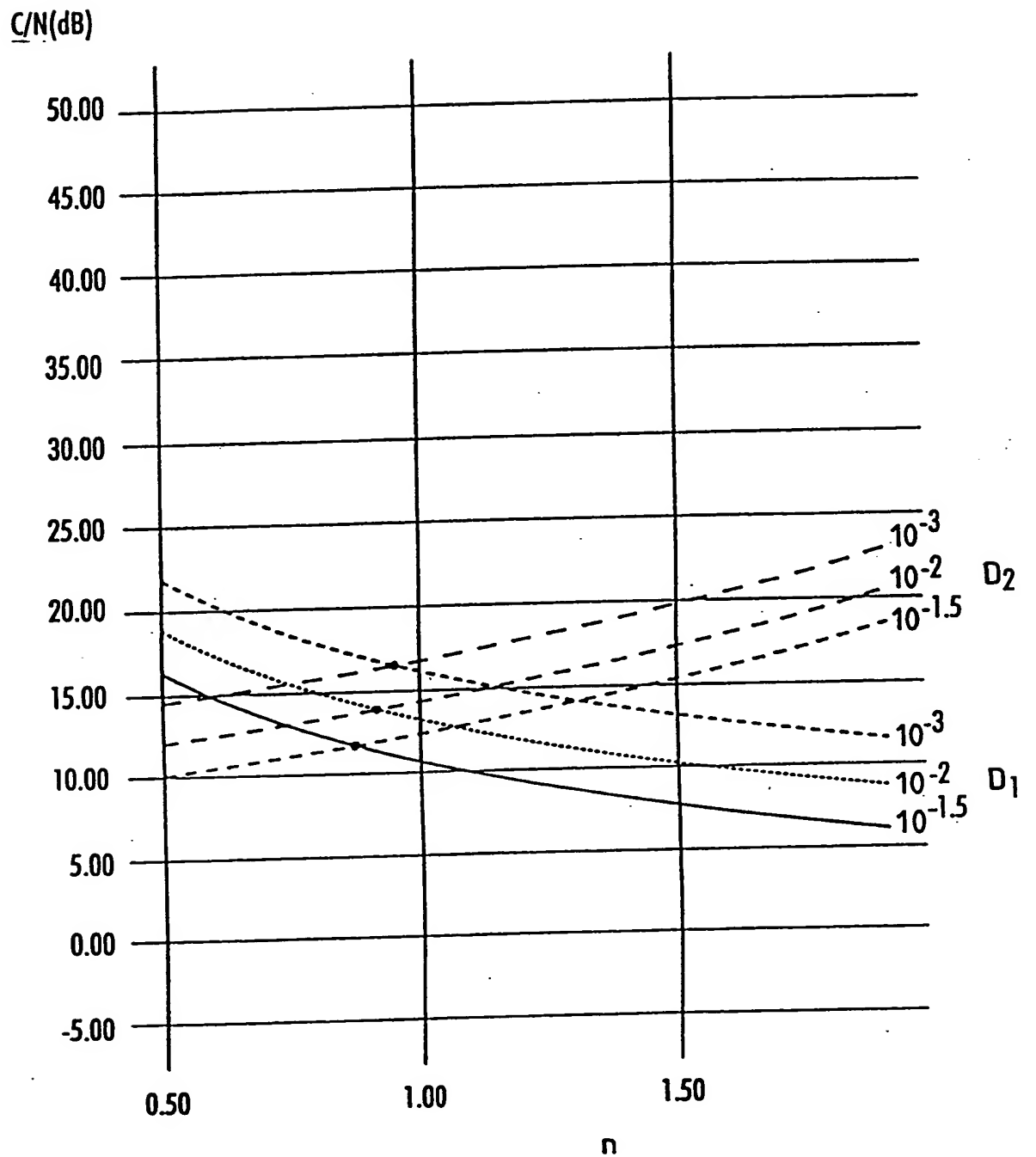
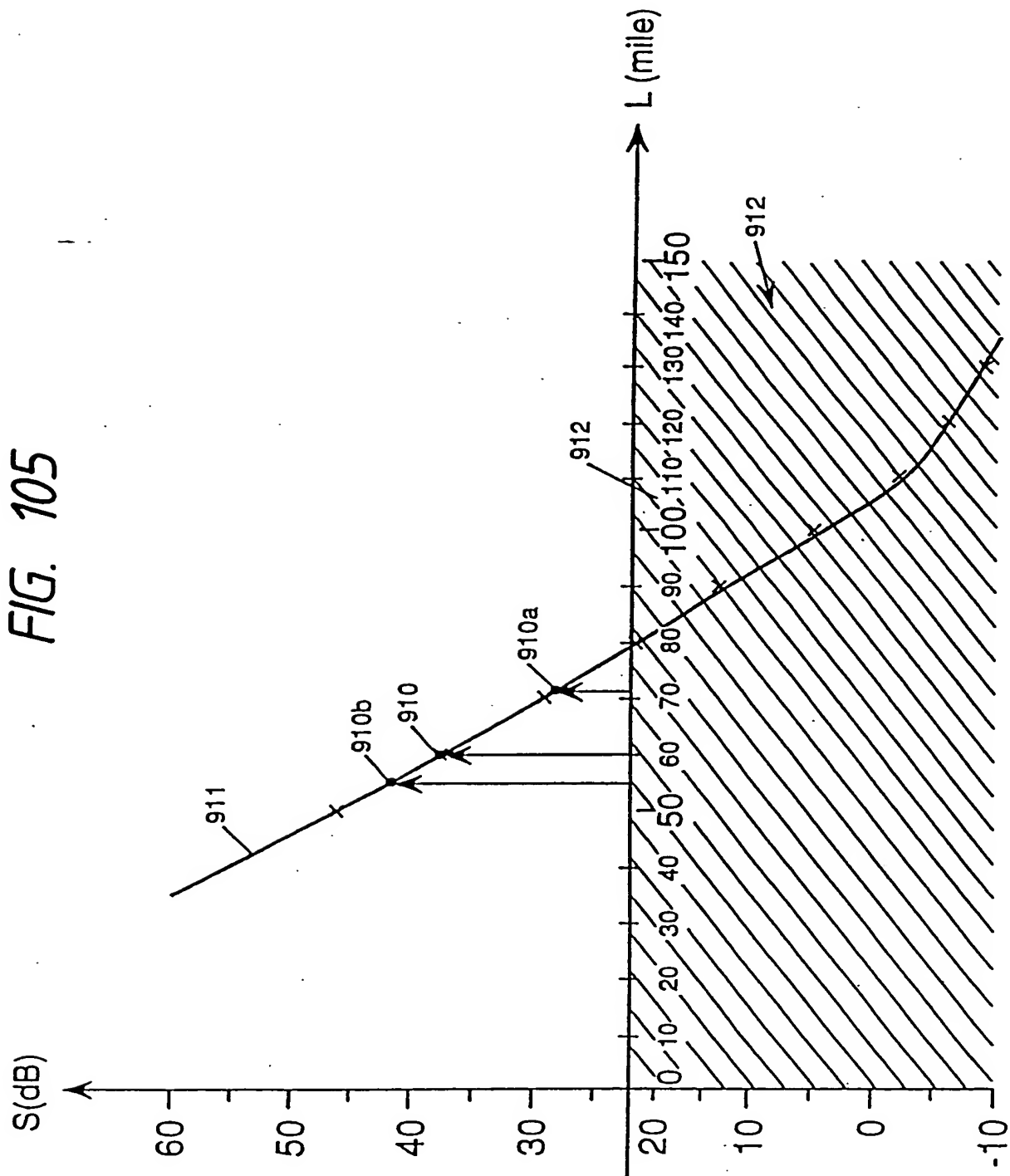
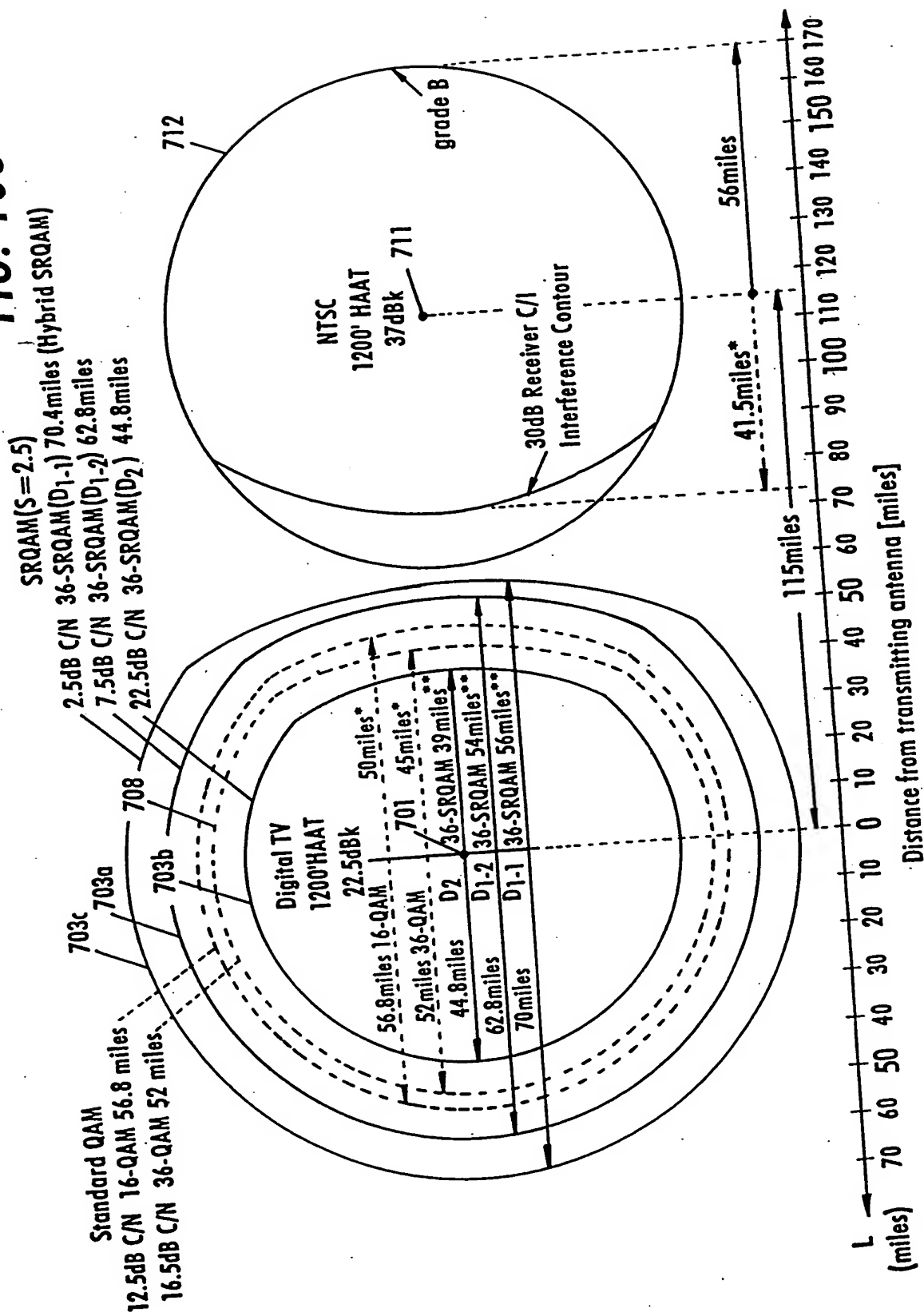




FIG. 105



# FIG. 106



# FIG. 107

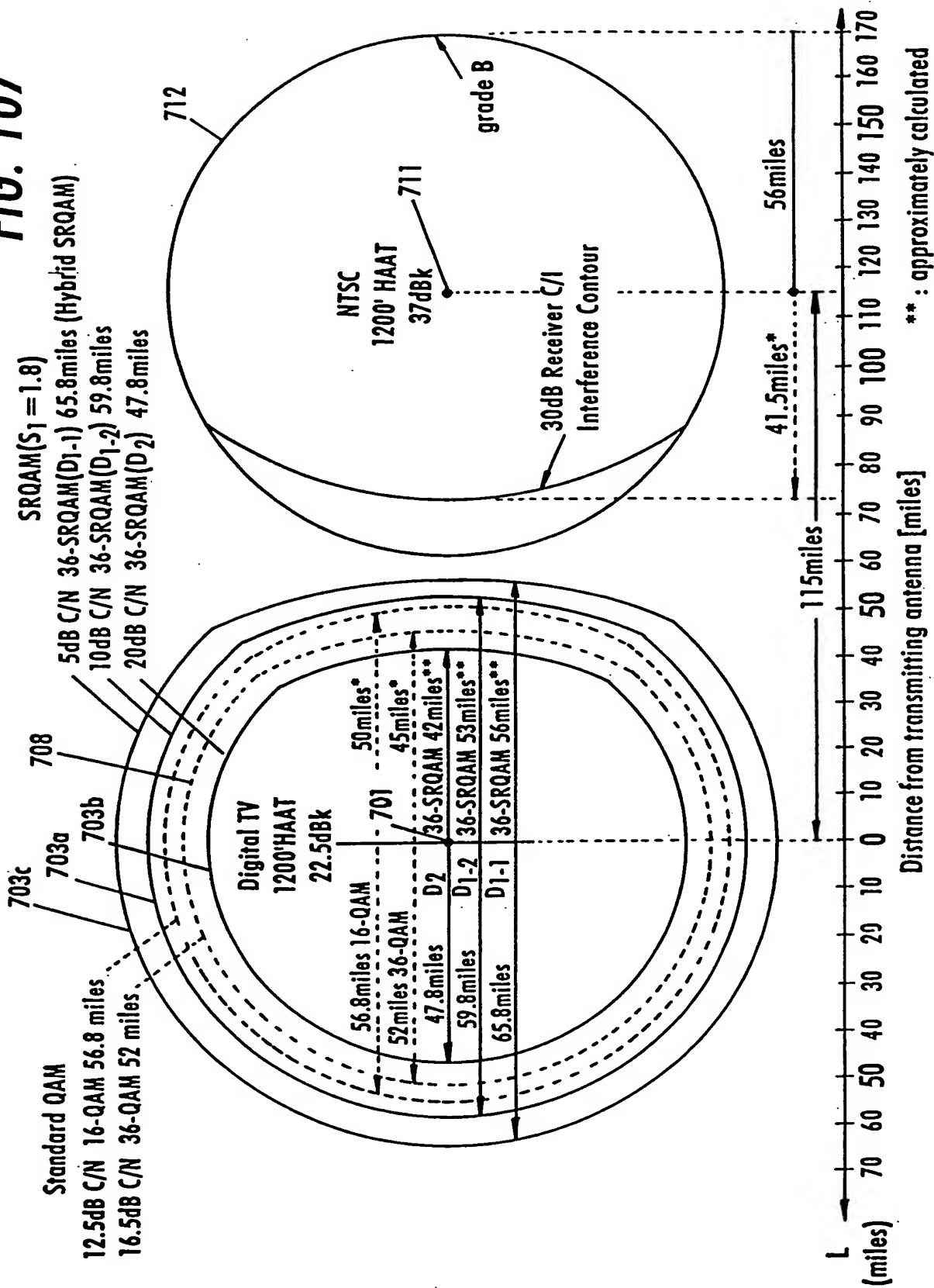


FIG. 108(A)

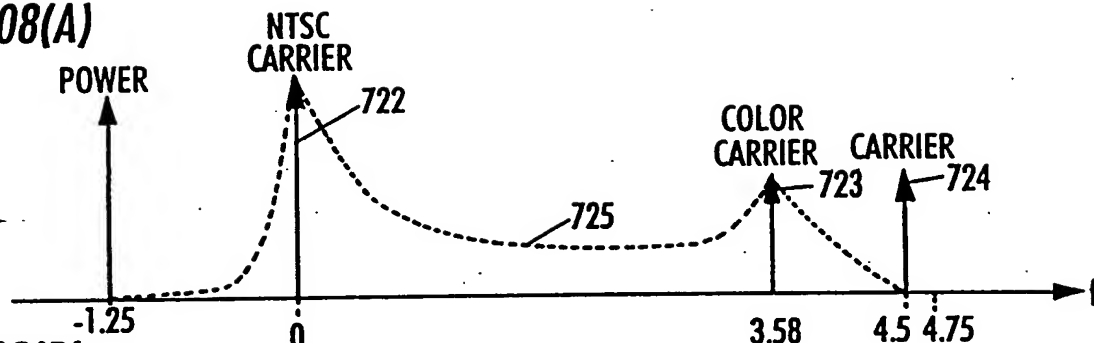


FIG. 108(B)

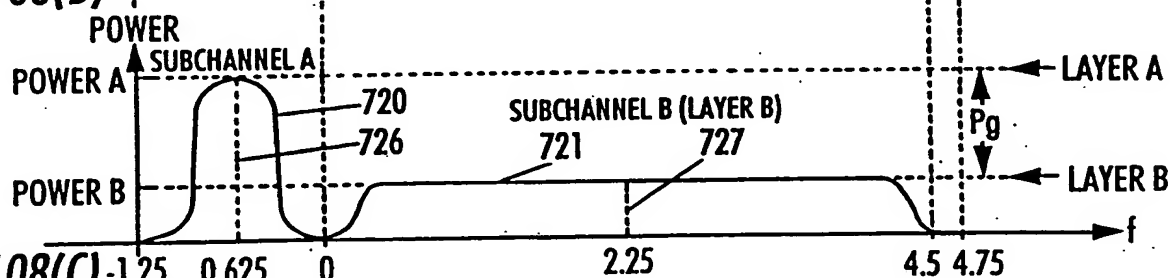


FIG. 108(C)

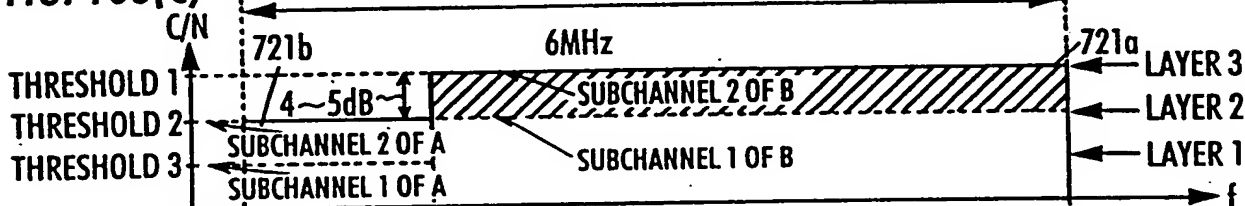


FIG. 108(D)

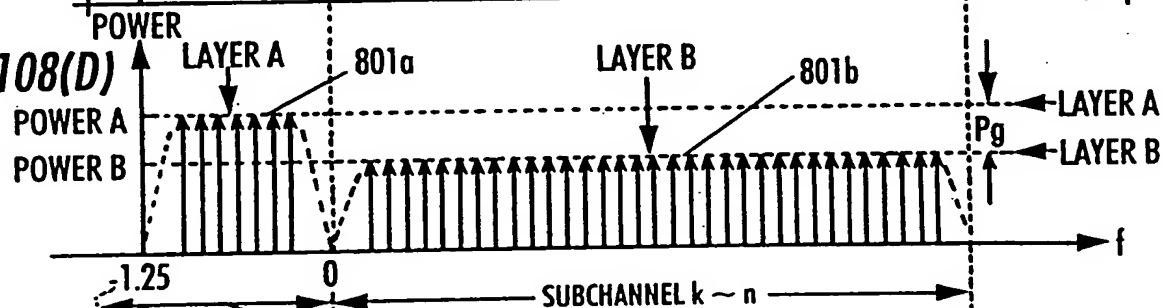


FIG. 108(E)

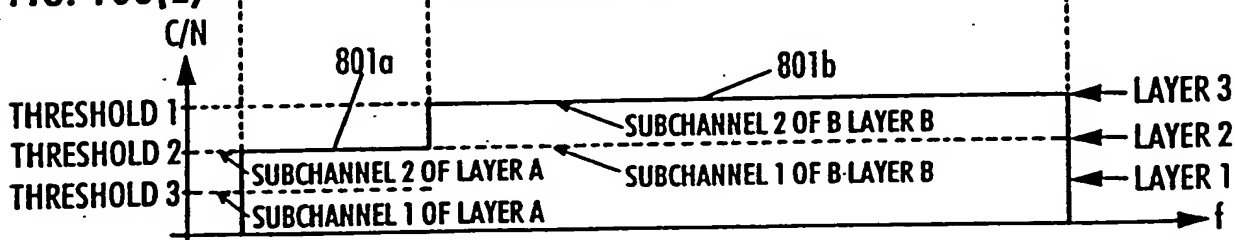


FIG. 109

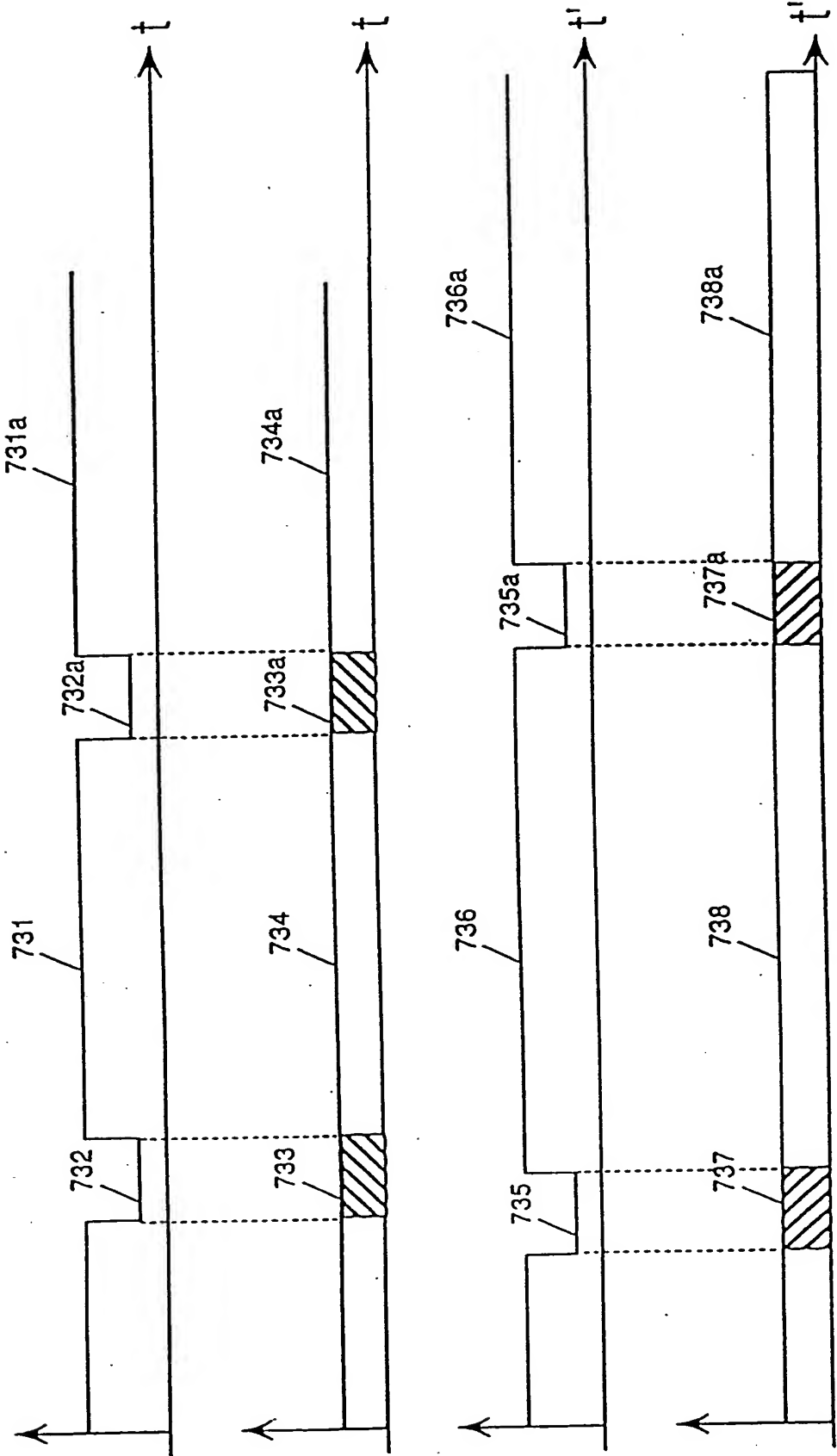
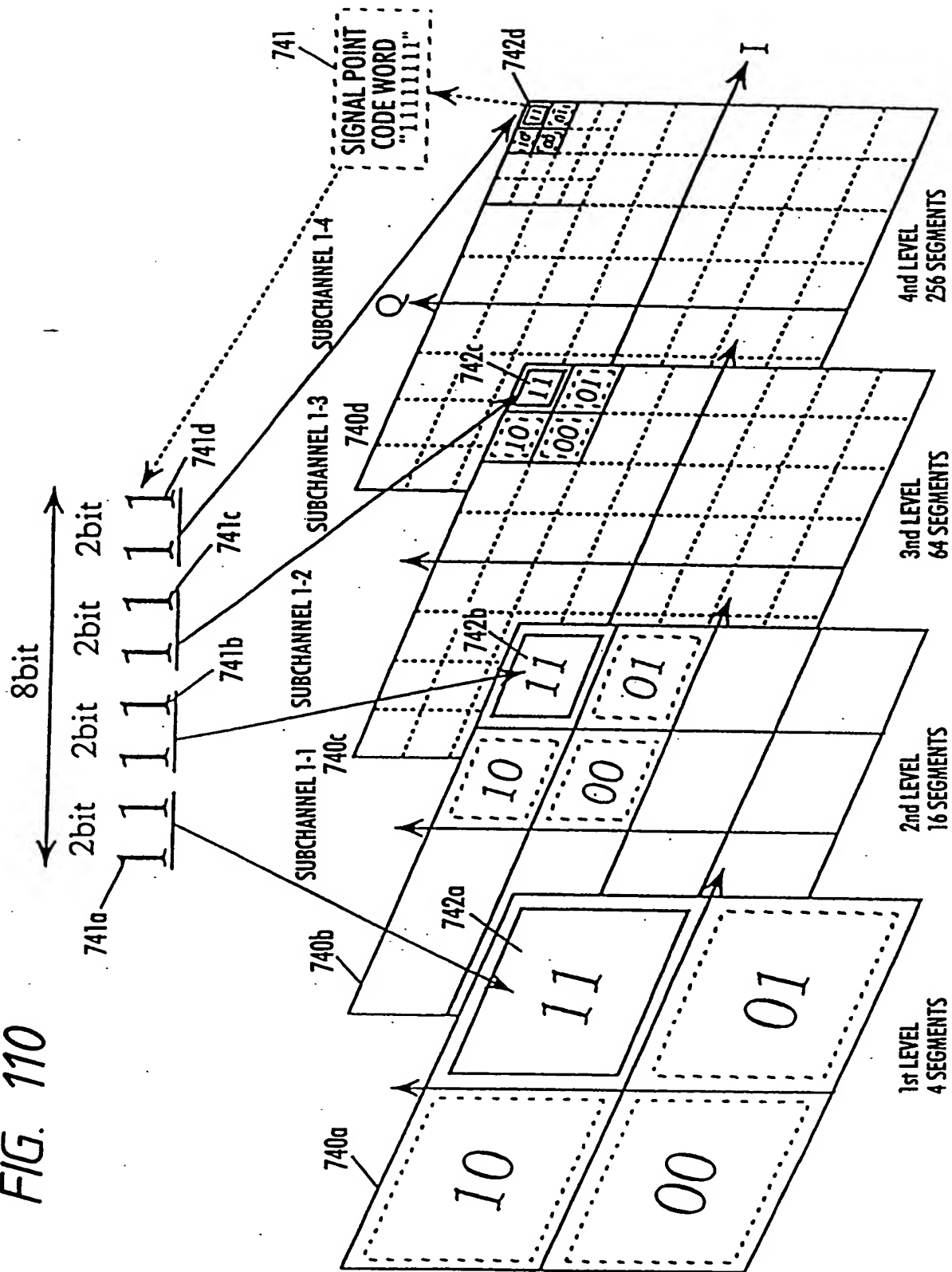
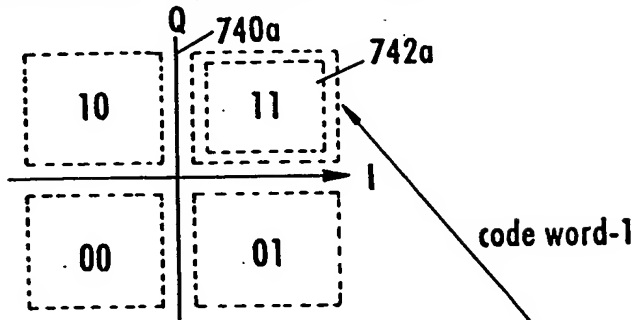


FIG. 110

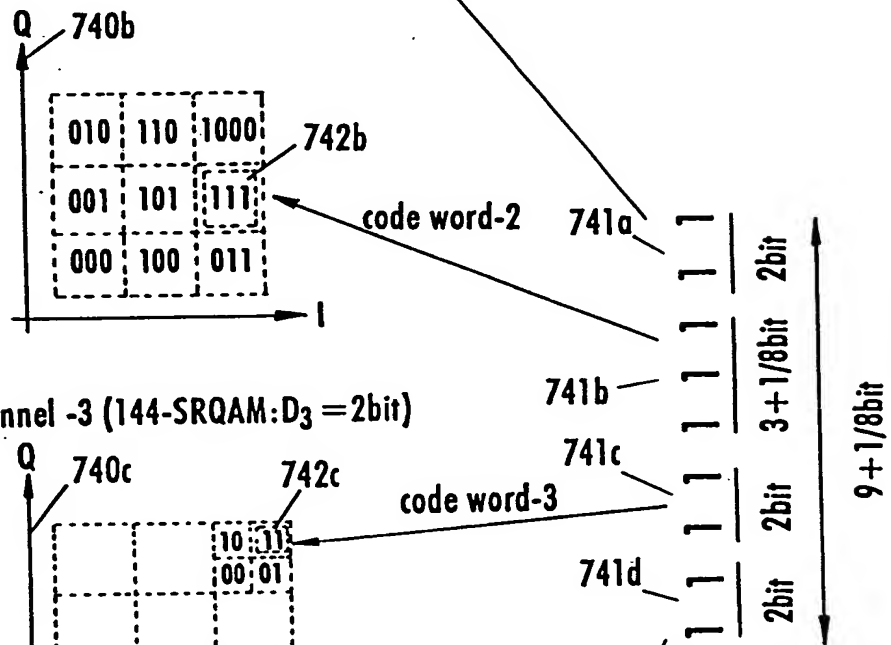


**FIG. 111**

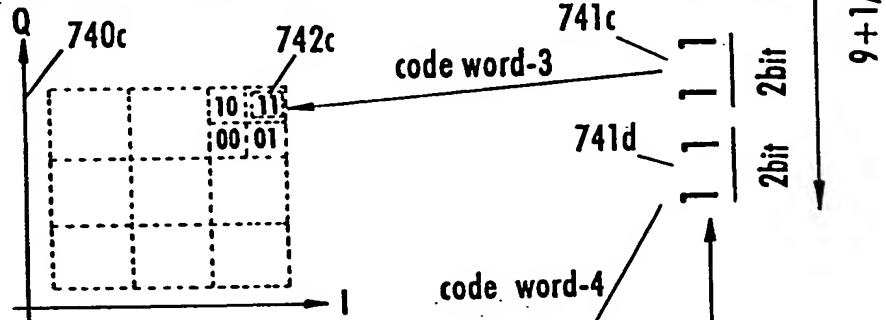
Subchannel -1 (SRQAM:  $D_1 = 2\text{bit}$ )



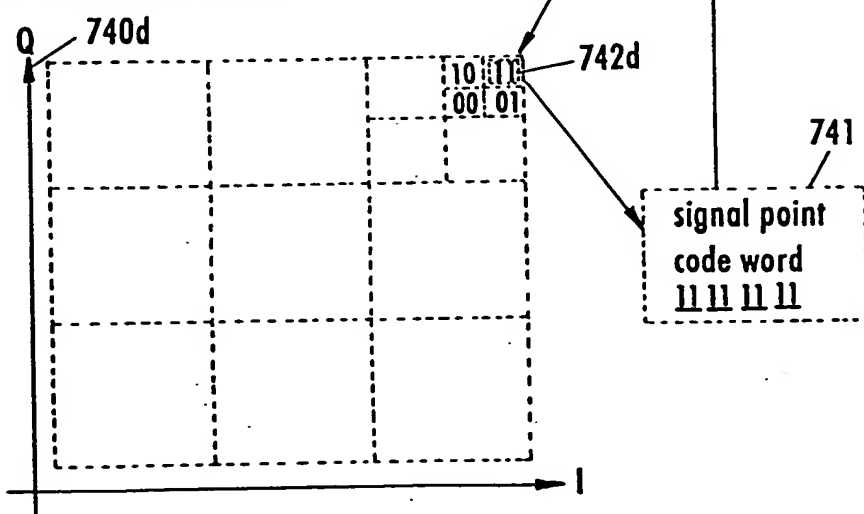
Subchannel -2 (36-SRQAM:  $D_2 = 3\text{bit} + 1/8\text{bit}$ )



Subchannel -3 (144-SRQAM:  $D_3 = 2\text{bit}$ )

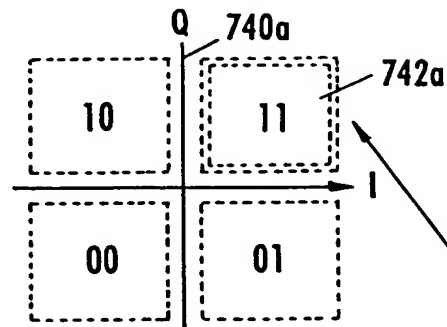


Subchannel -4 (576-SRQAM:  $D_4 = 2\text{bit}$ )

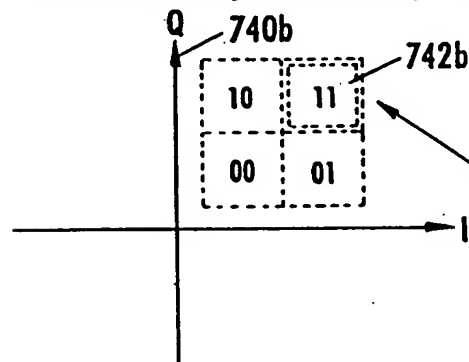


**FIG. 112**

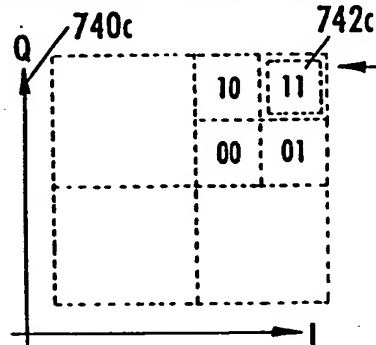
Subchannel -1 (SRQAM:  $D_1 = 2\text{bit}$ )



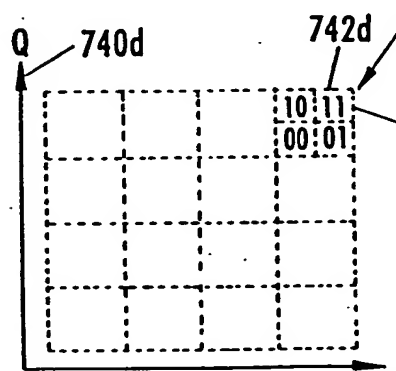
Subchannel -2 (16-SRQAM:  $D_2 = 2\text{bit}$ )



Subchannel -3 (64-SRQAM:  $D_3 = 2\text{bit}$ )



Subchannel -4 (256-SRQAM:  $D_4 = 2\text{bit}$ )



code word-1

code word-2

code word-3

code word-4

741a

741b

741c

741d

2bit

2bit

2bit

2bit

8bit

signal point  
code word  
11 11 11 11

741



FIG. 113

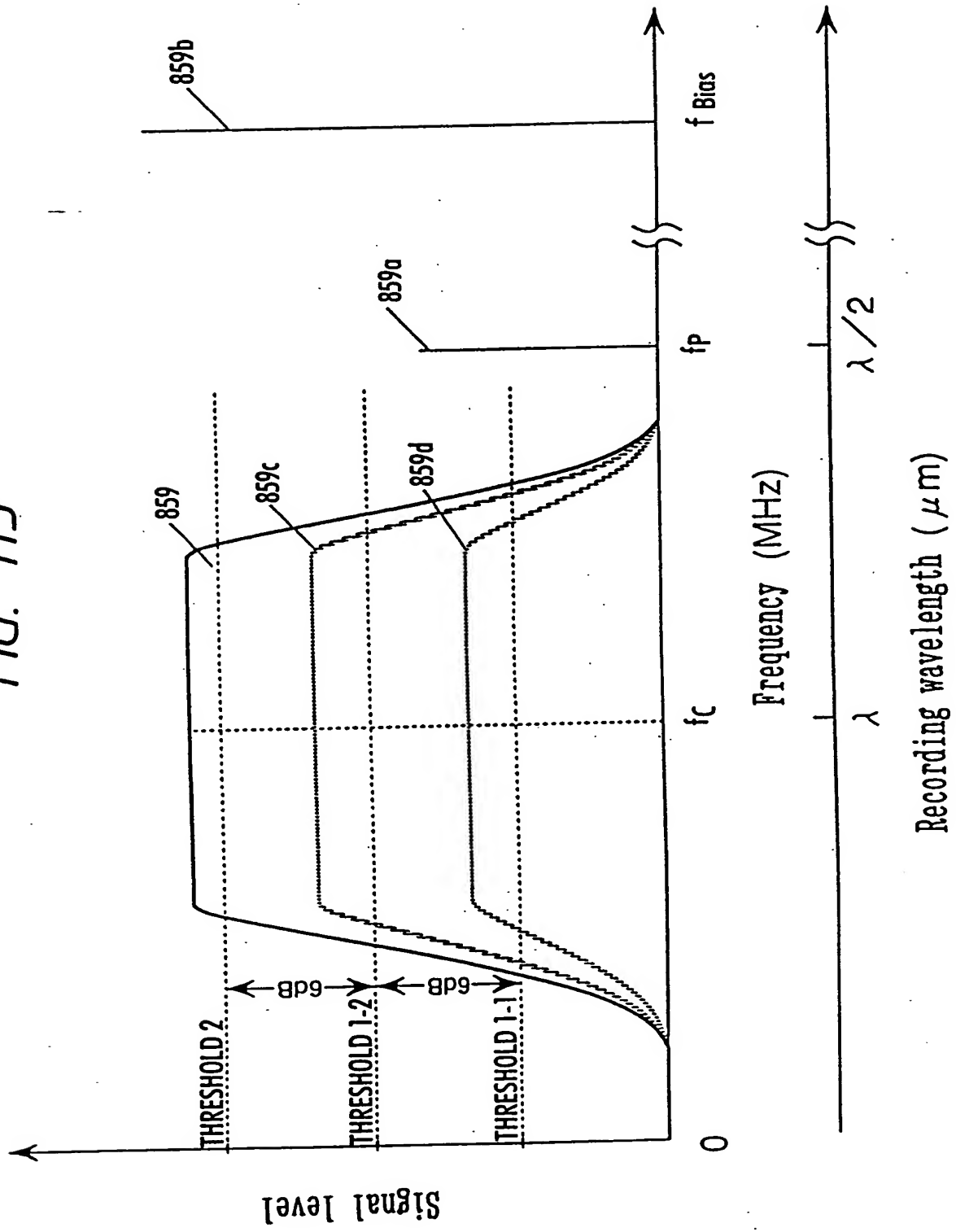


FIG. 114

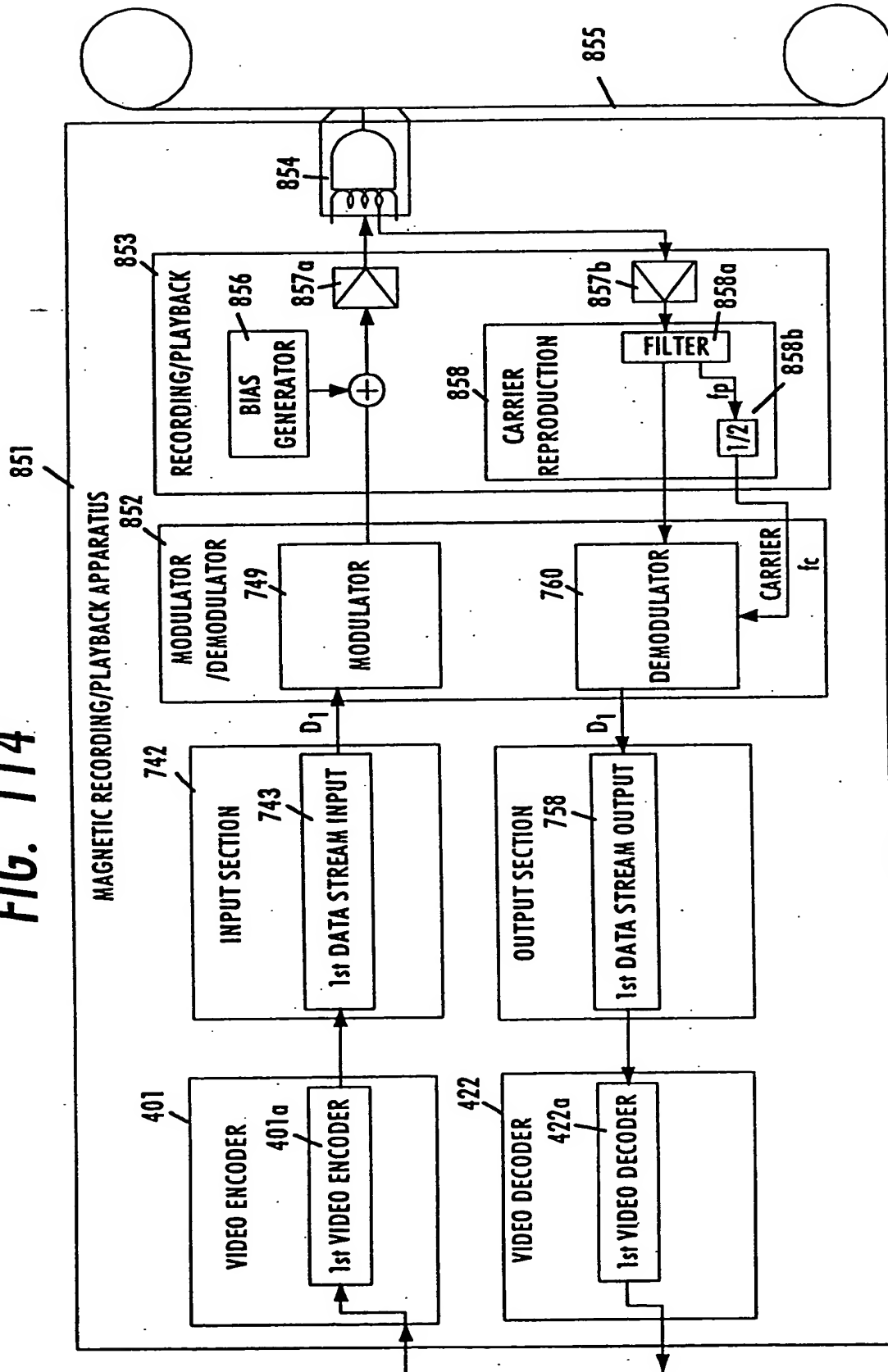


FIG. 115

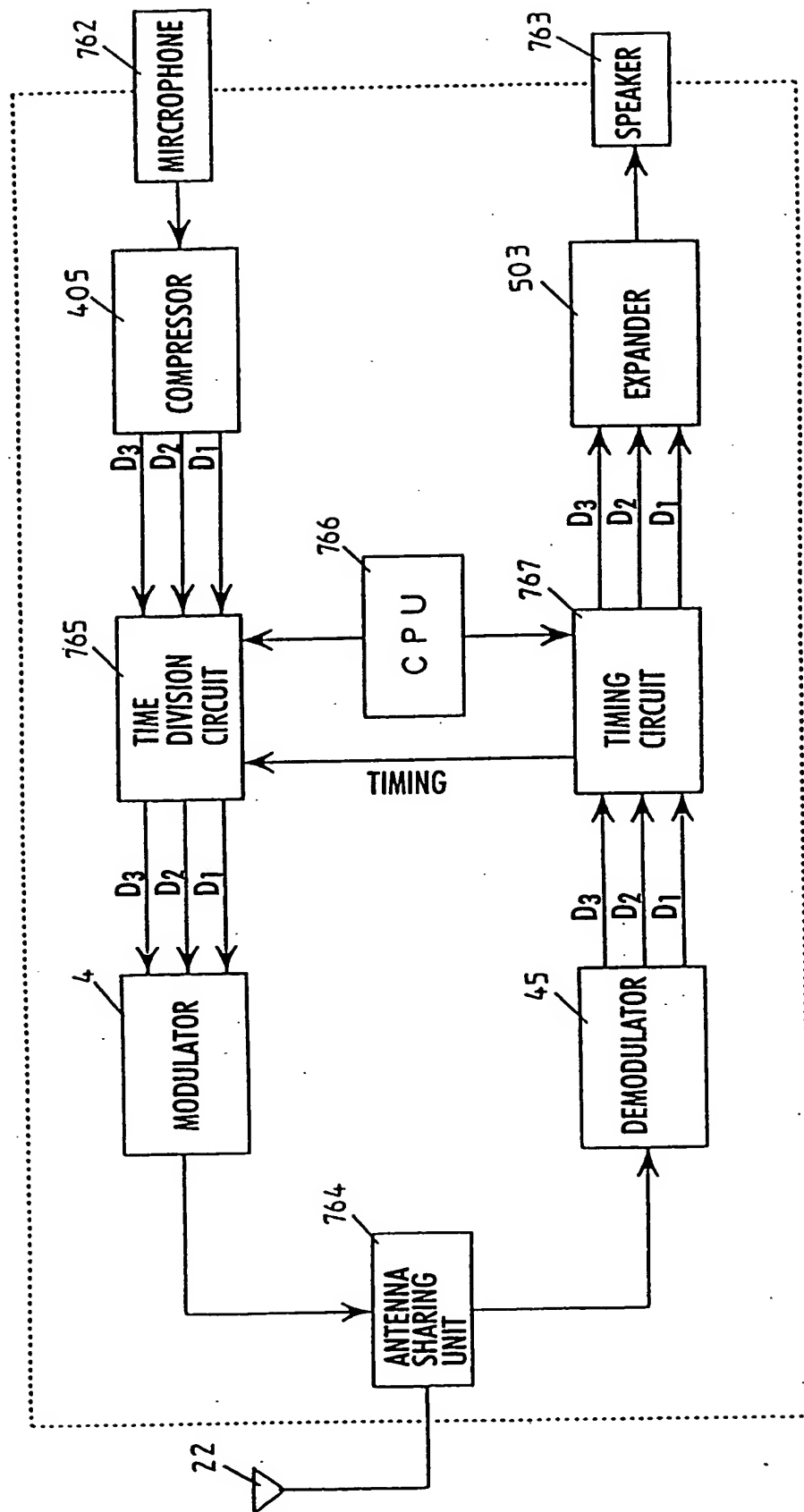


FIG. 116

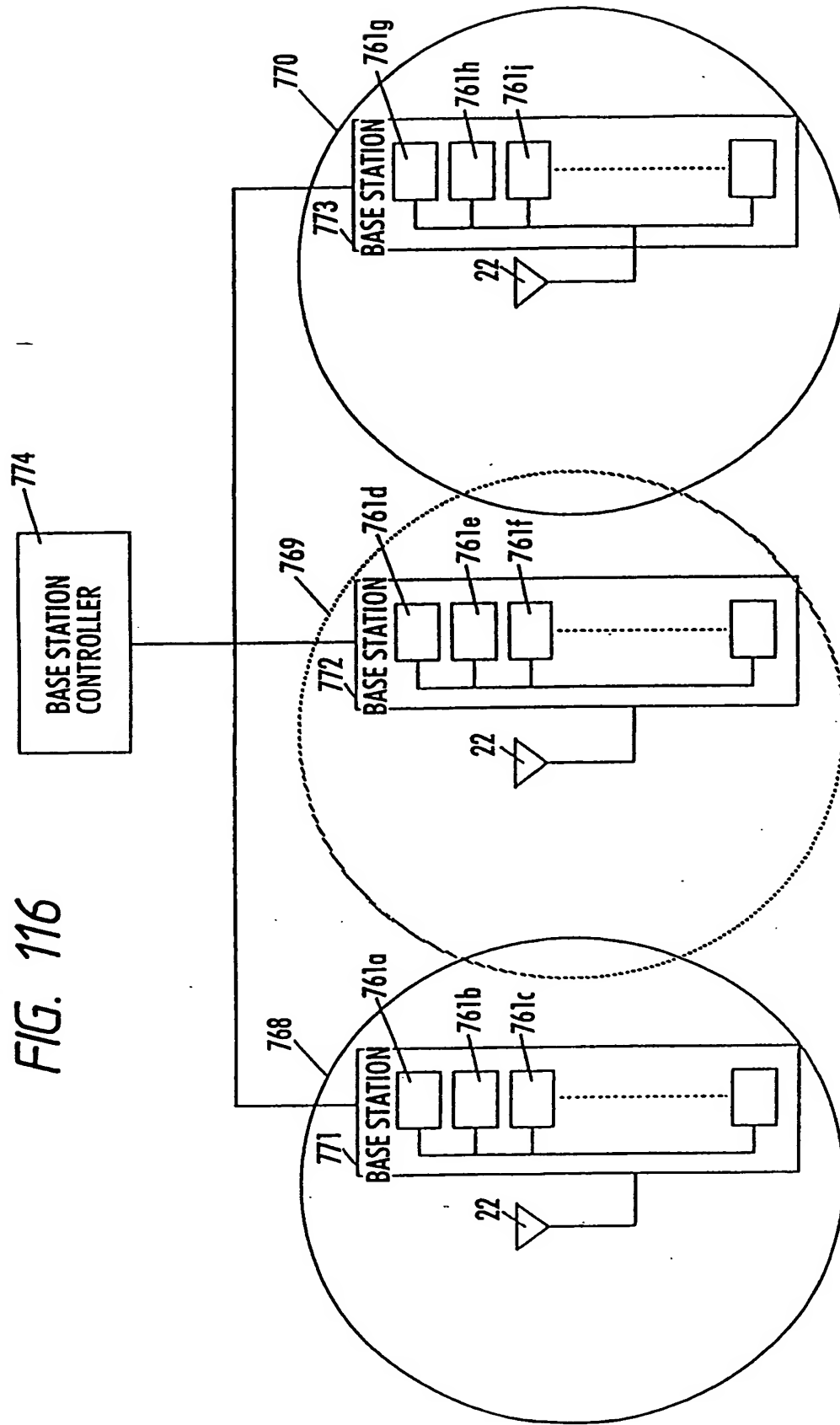


FIG. 117

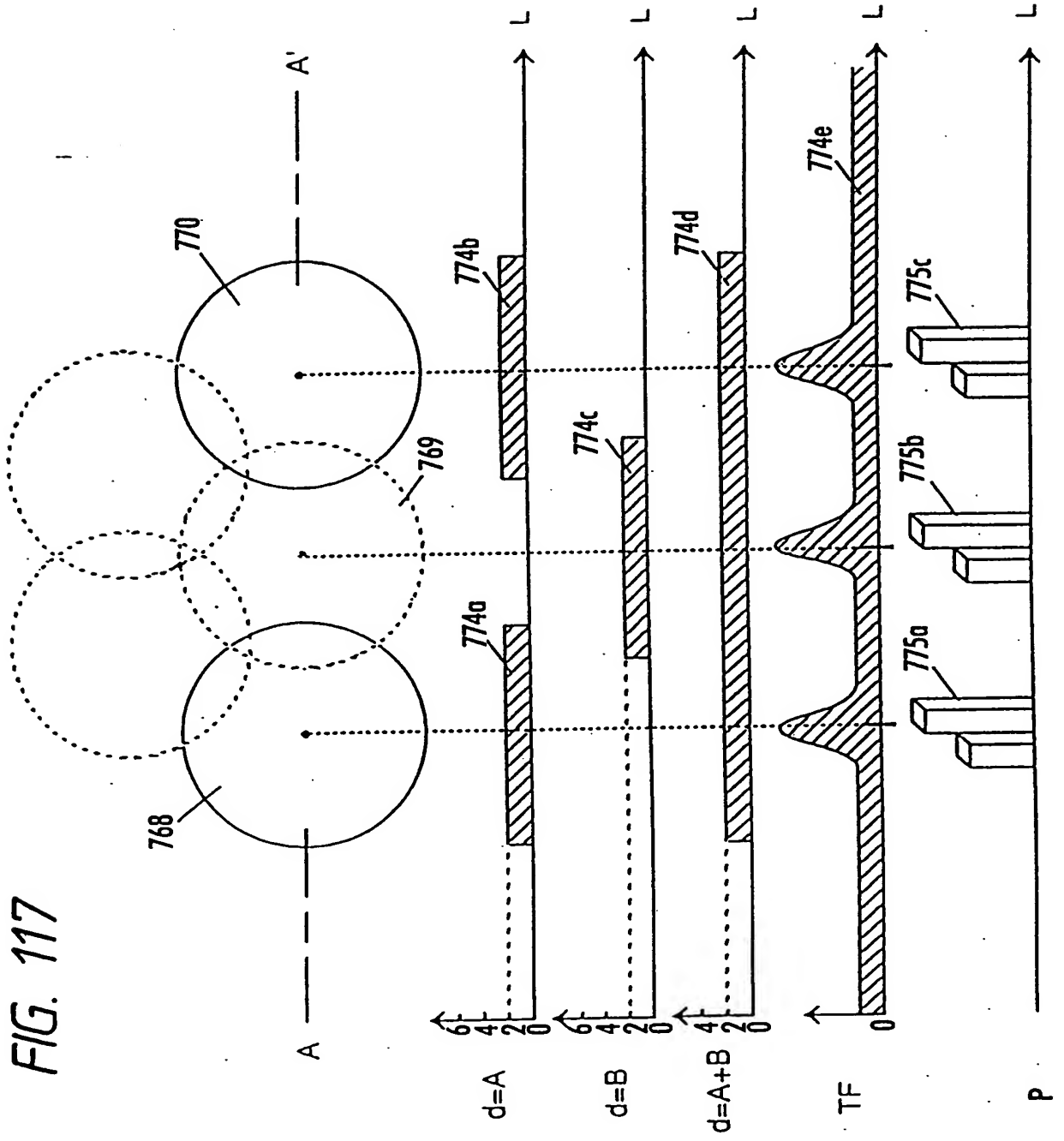


FIG. 118

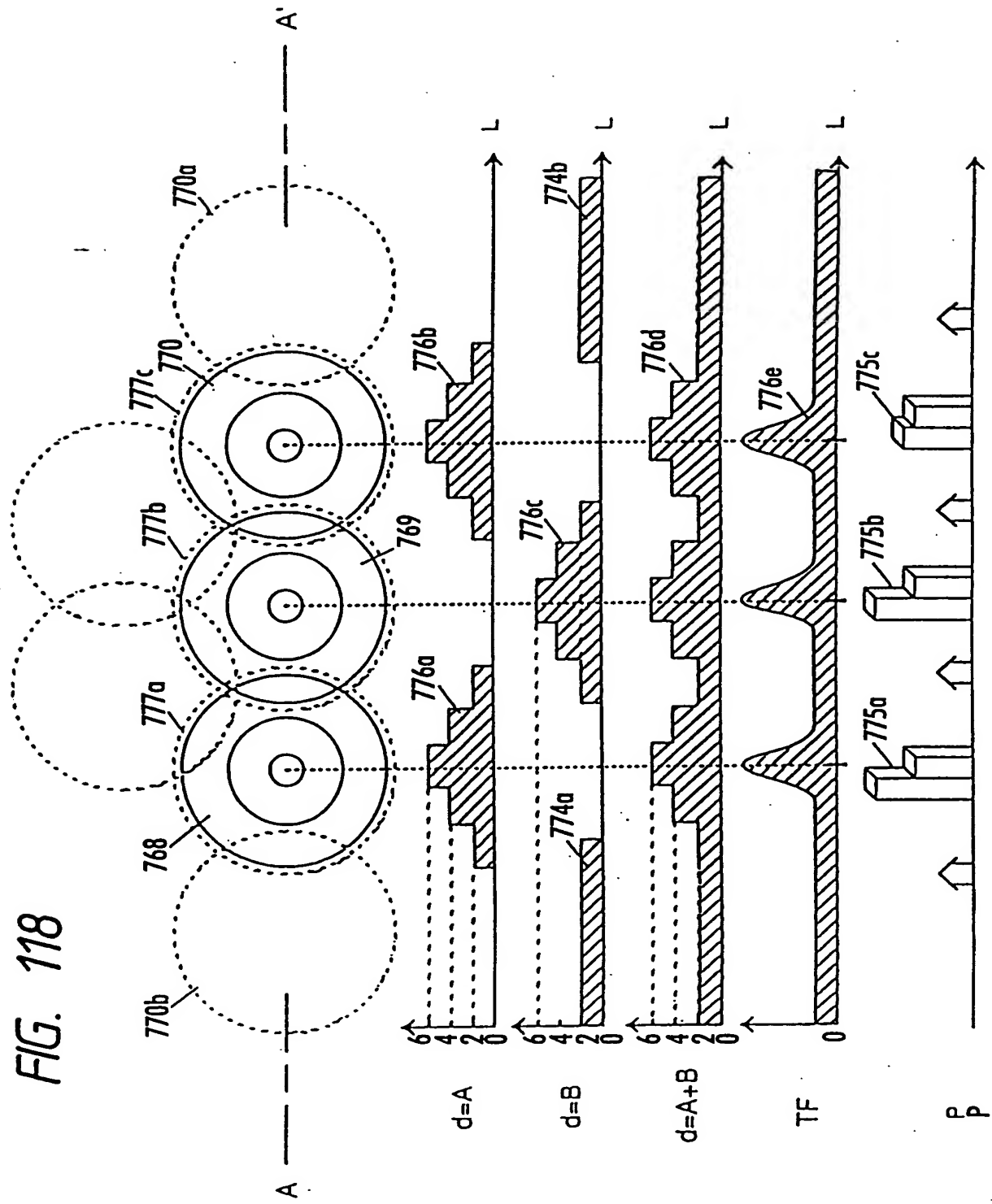


FIG. 119(a)

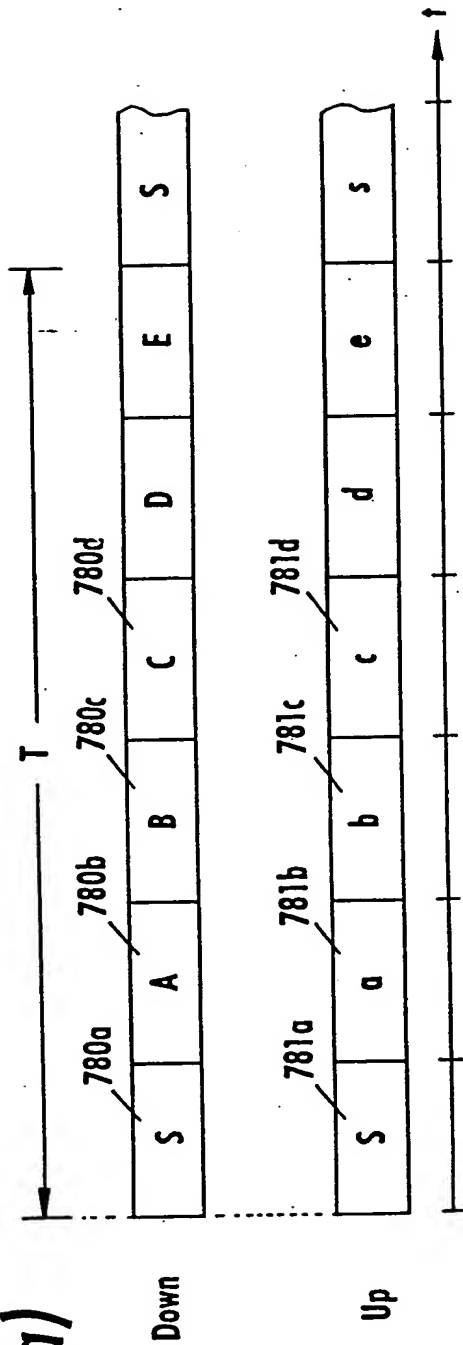


FIG. 119(b)

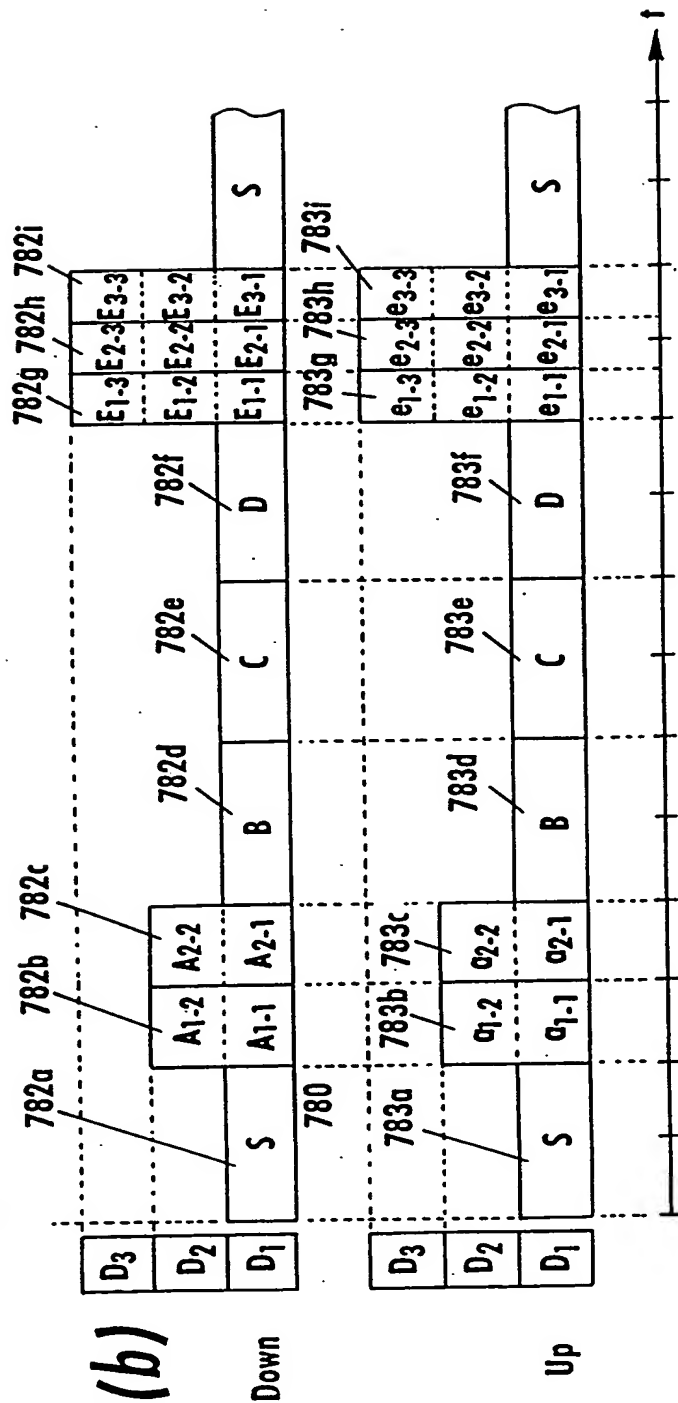


FIG. 120(a)

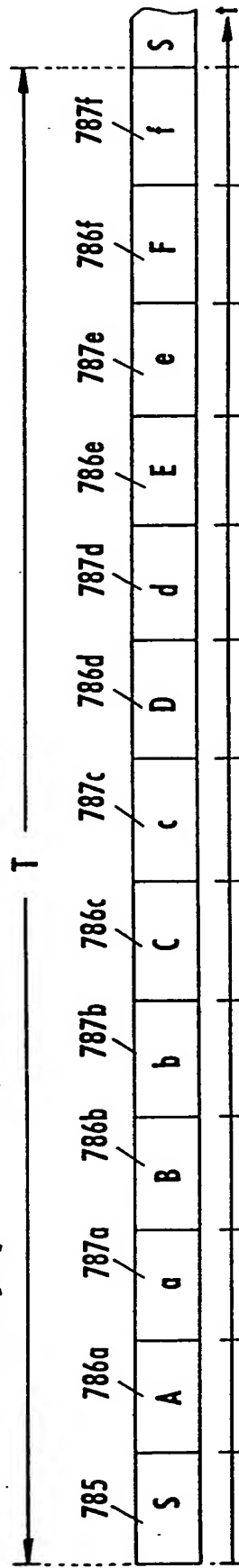


FIG. 120(b)

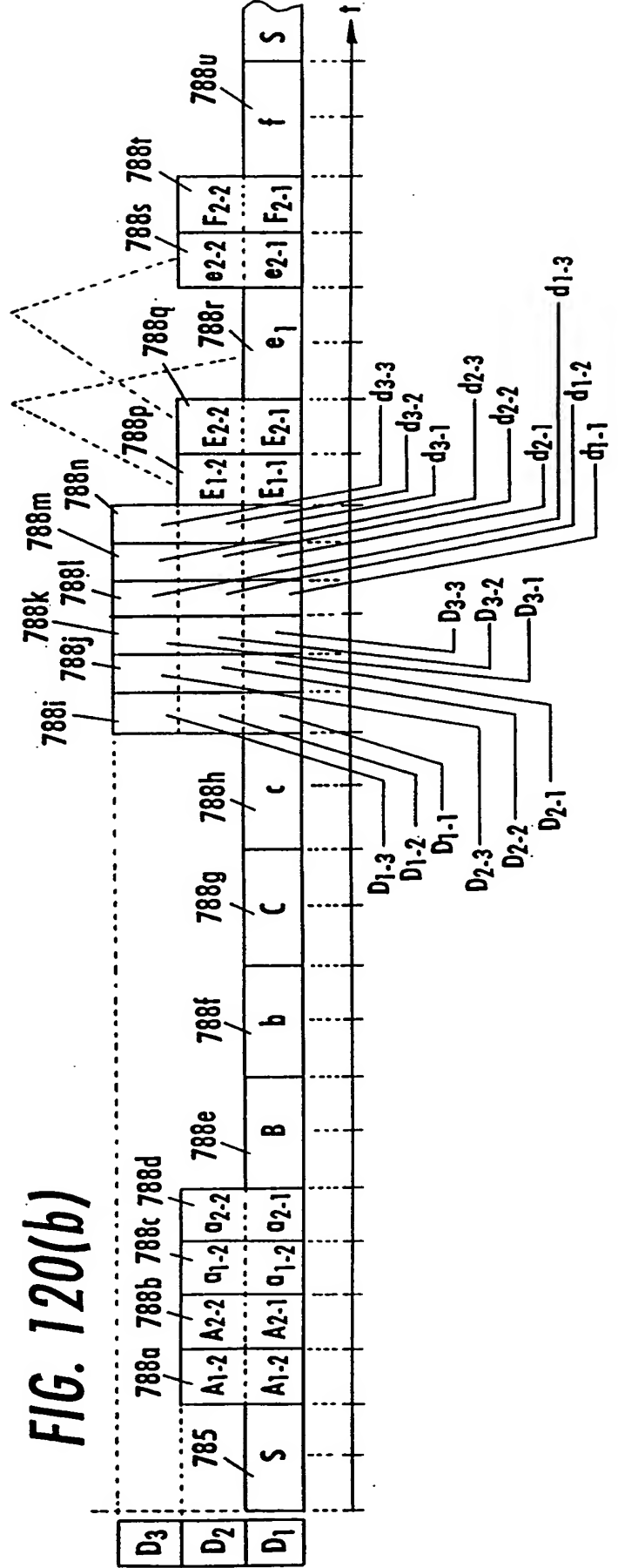




FIG. 121

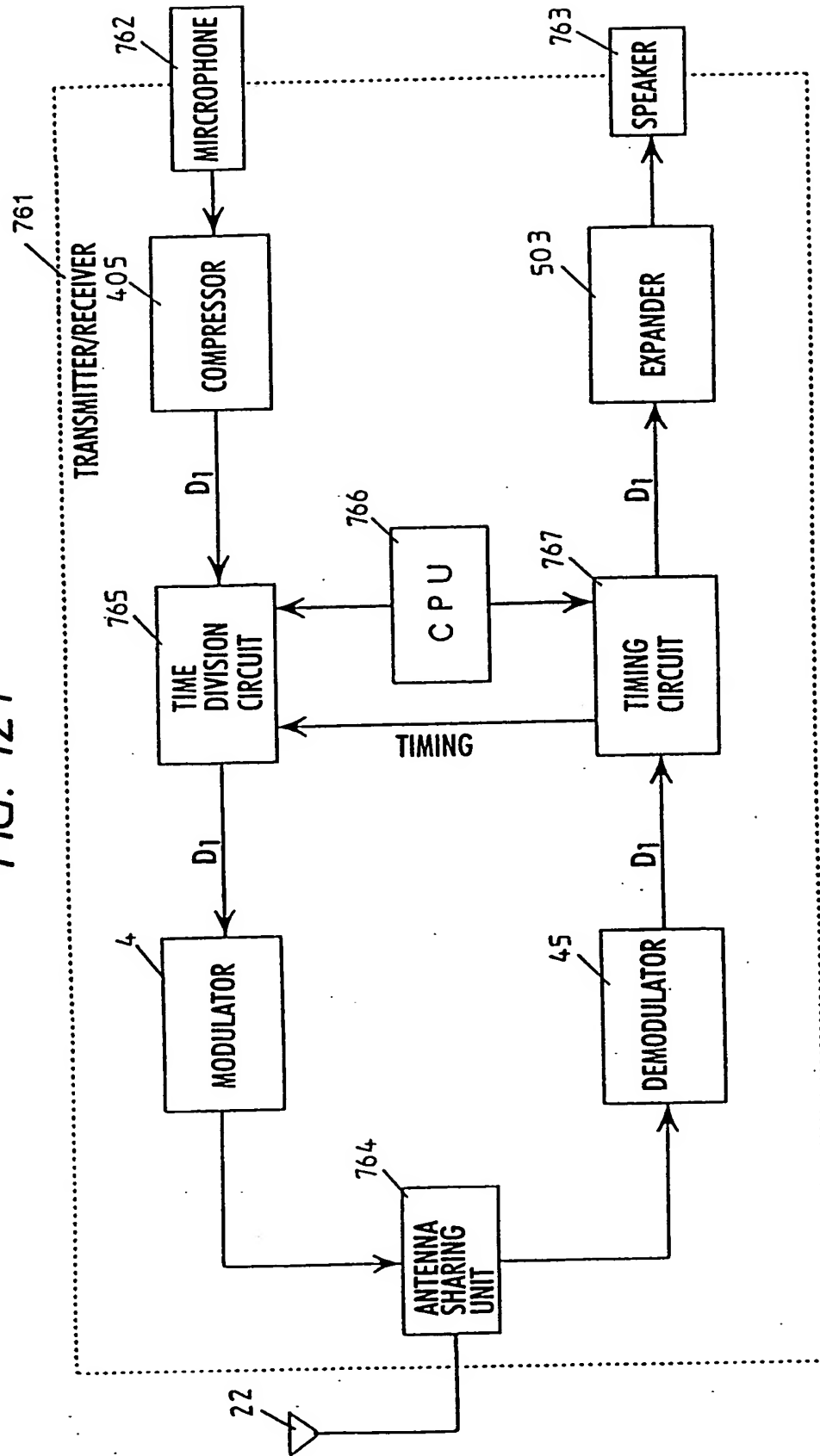
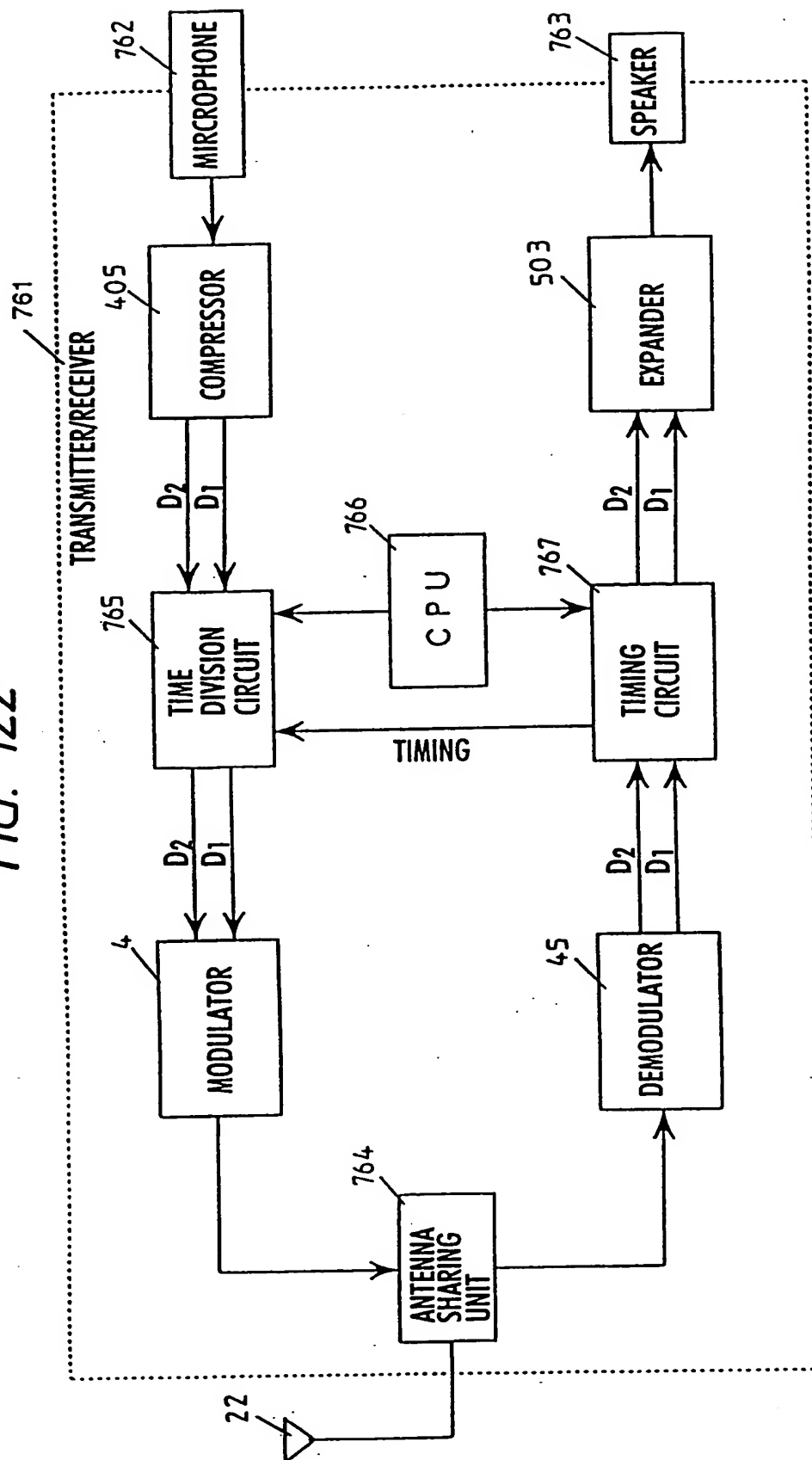


FIG. 122



# FIG. 123

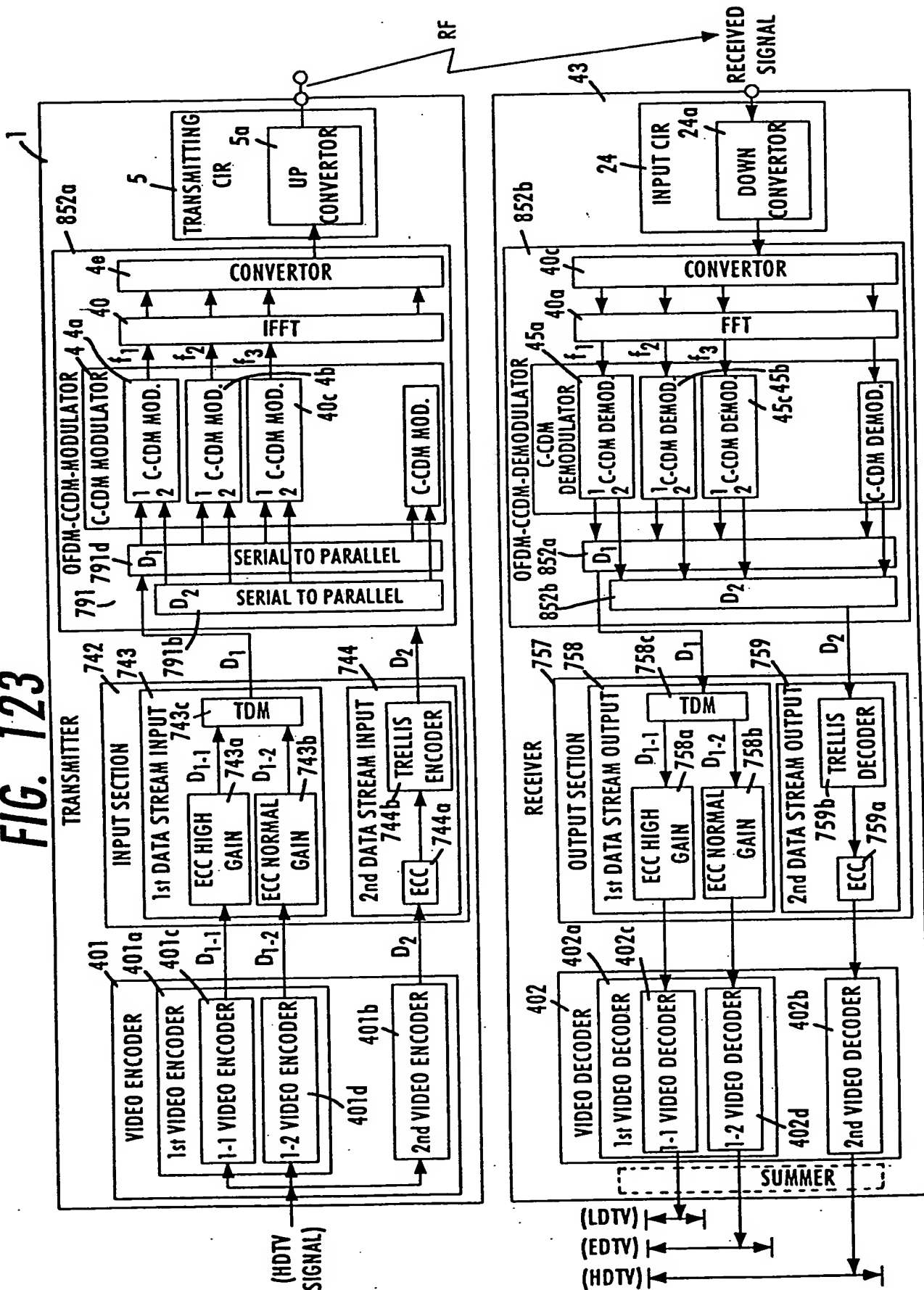


FIG. 124

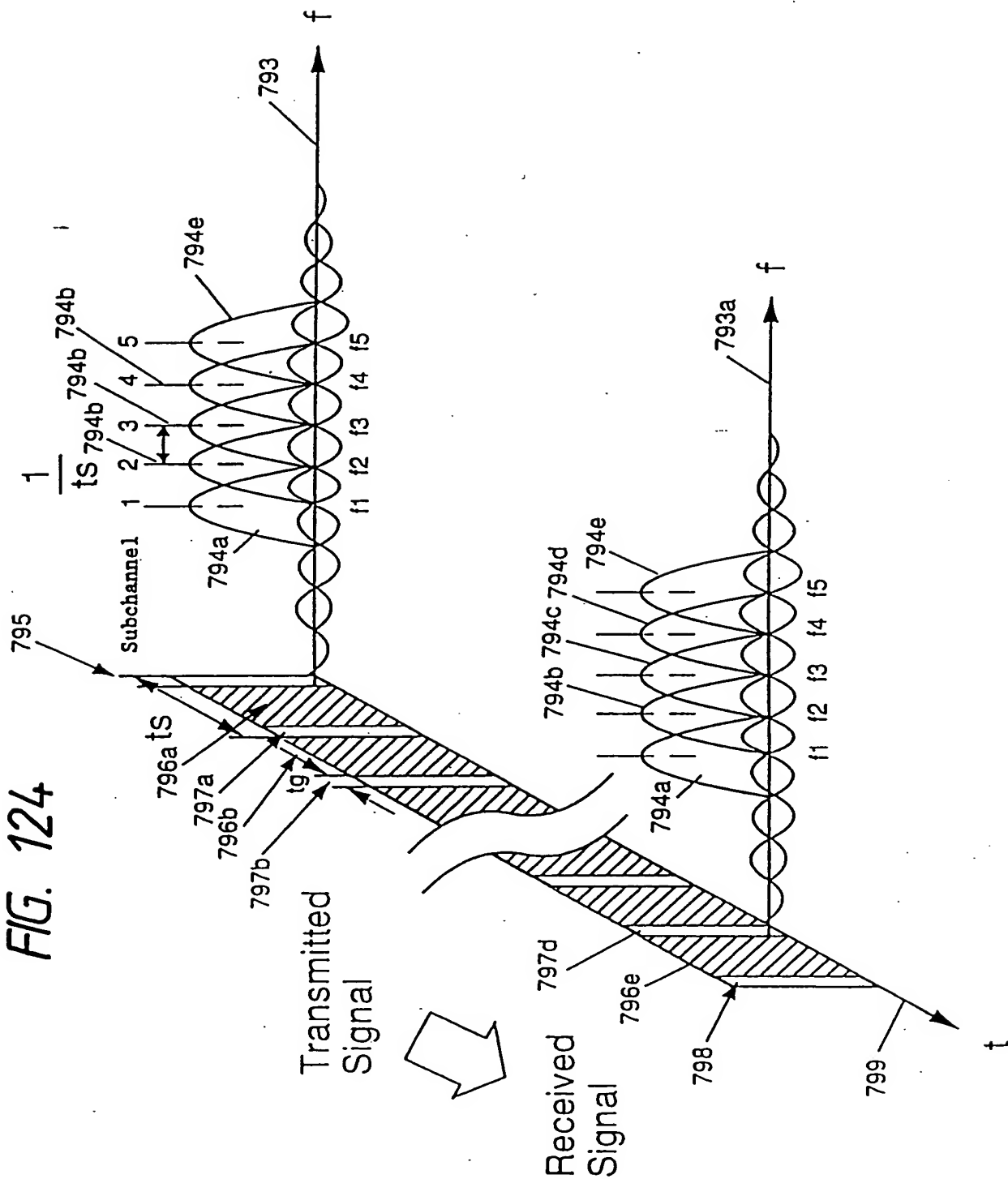
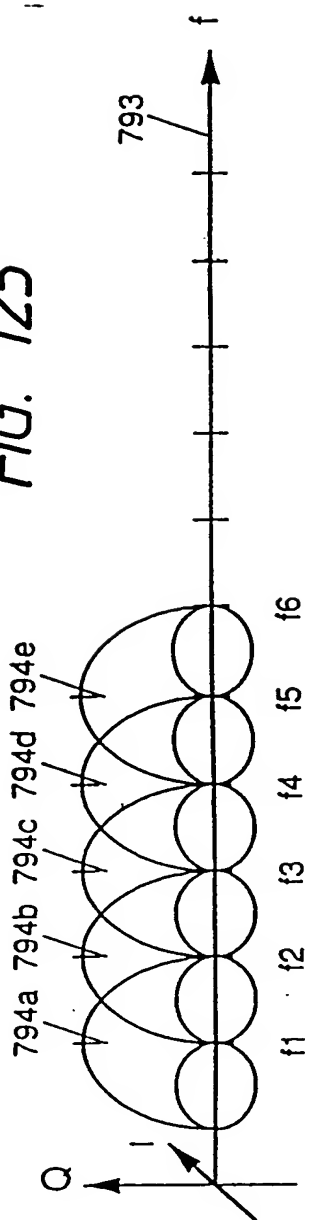
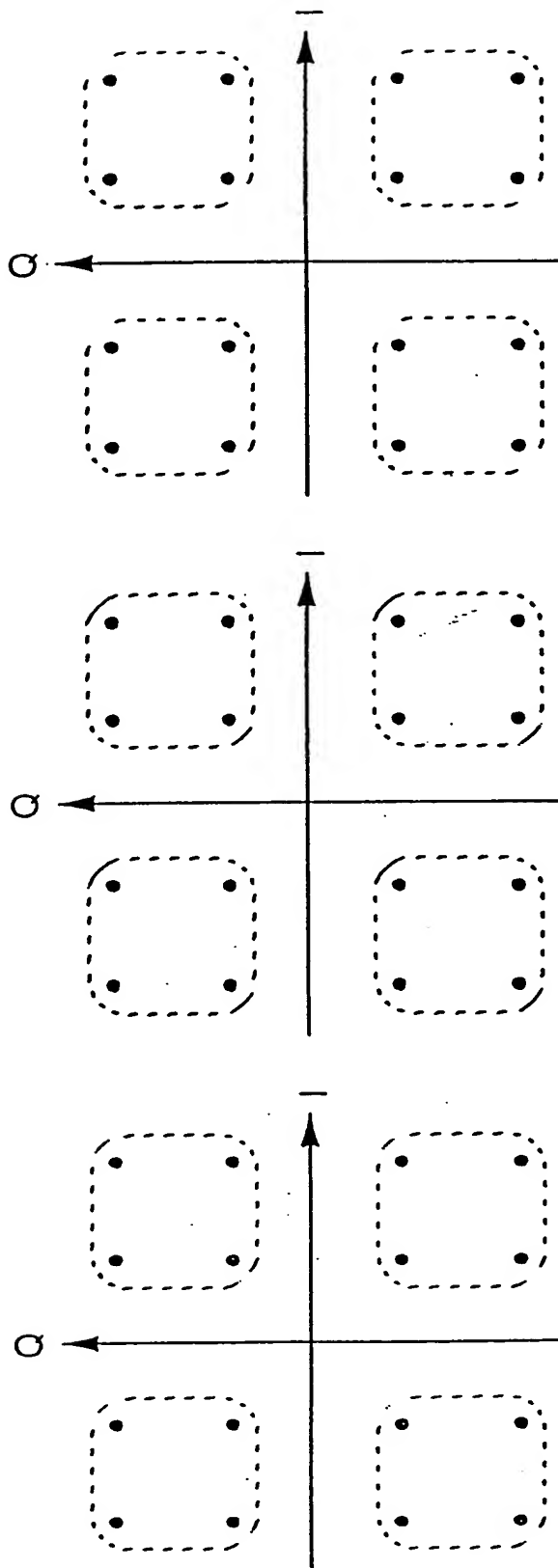


FIG. 125



(a)



(b)

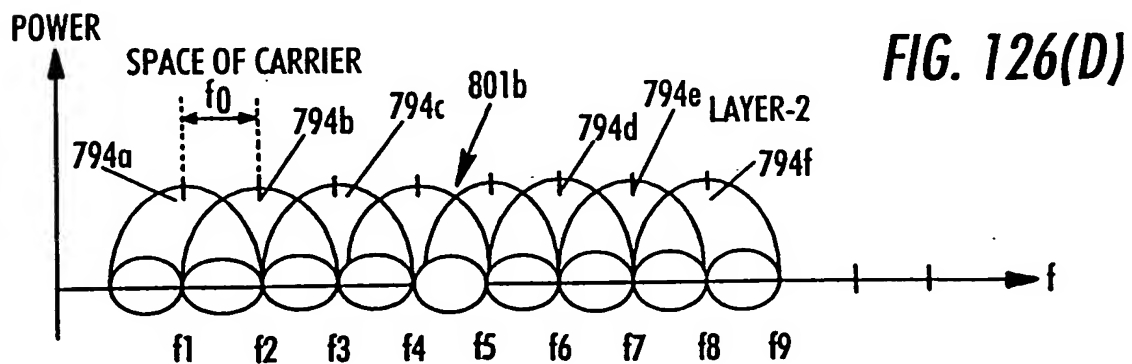
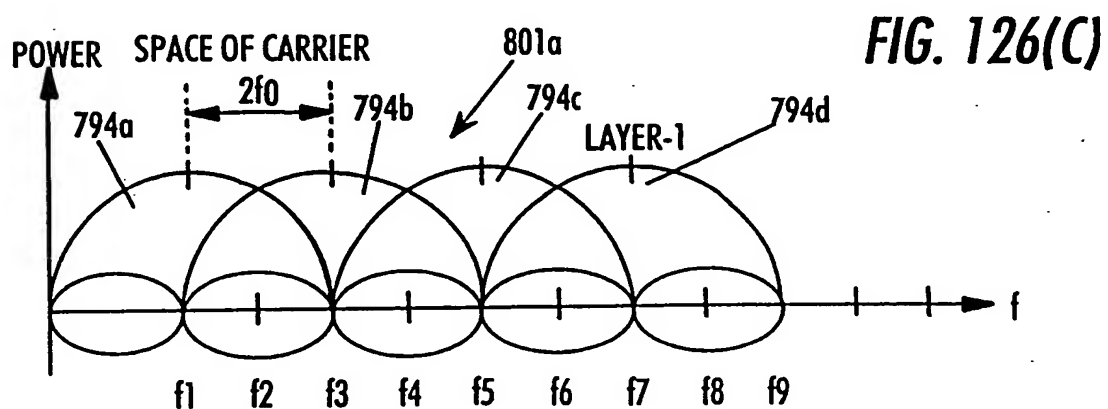
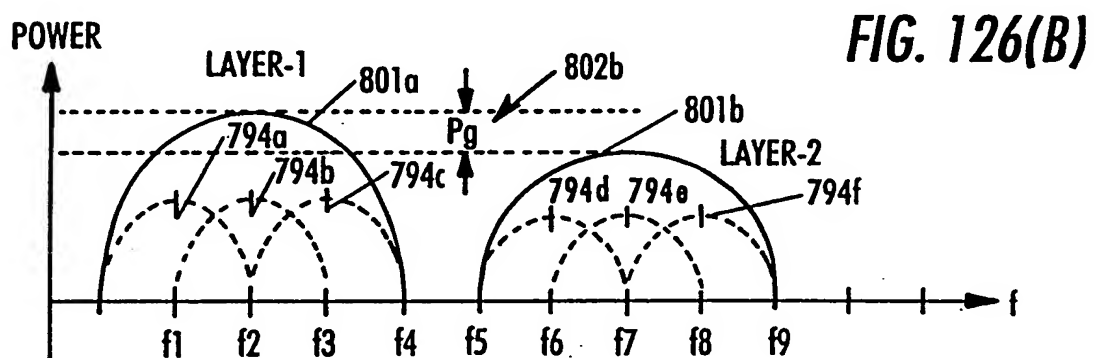
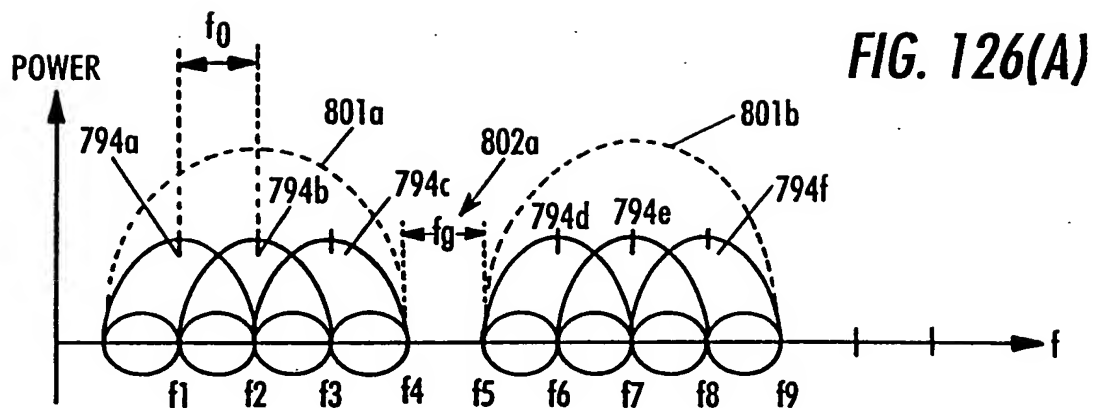


FIG. 127

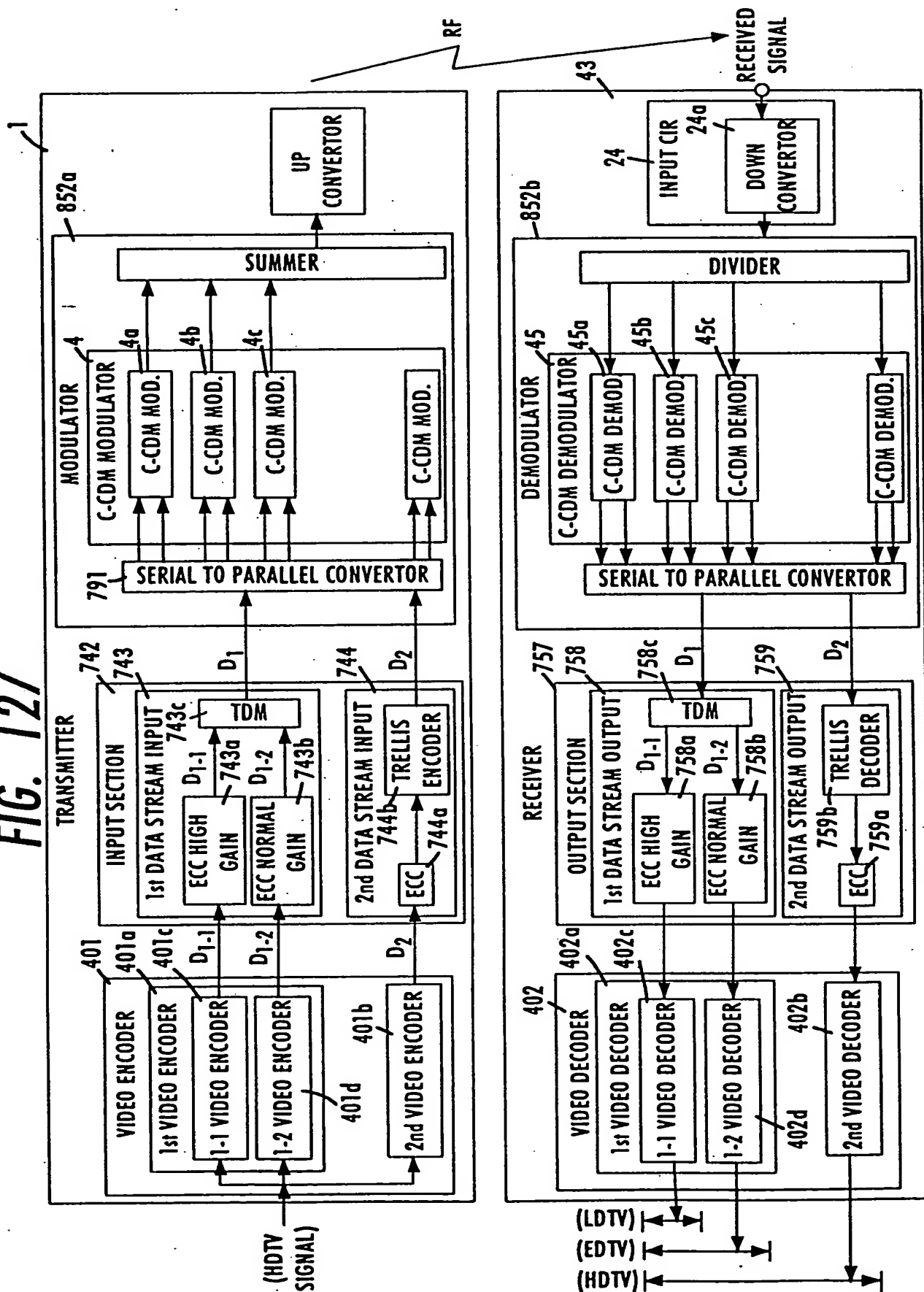


FIG. 128

Trellis Encoder  
(Ratio:3/4)

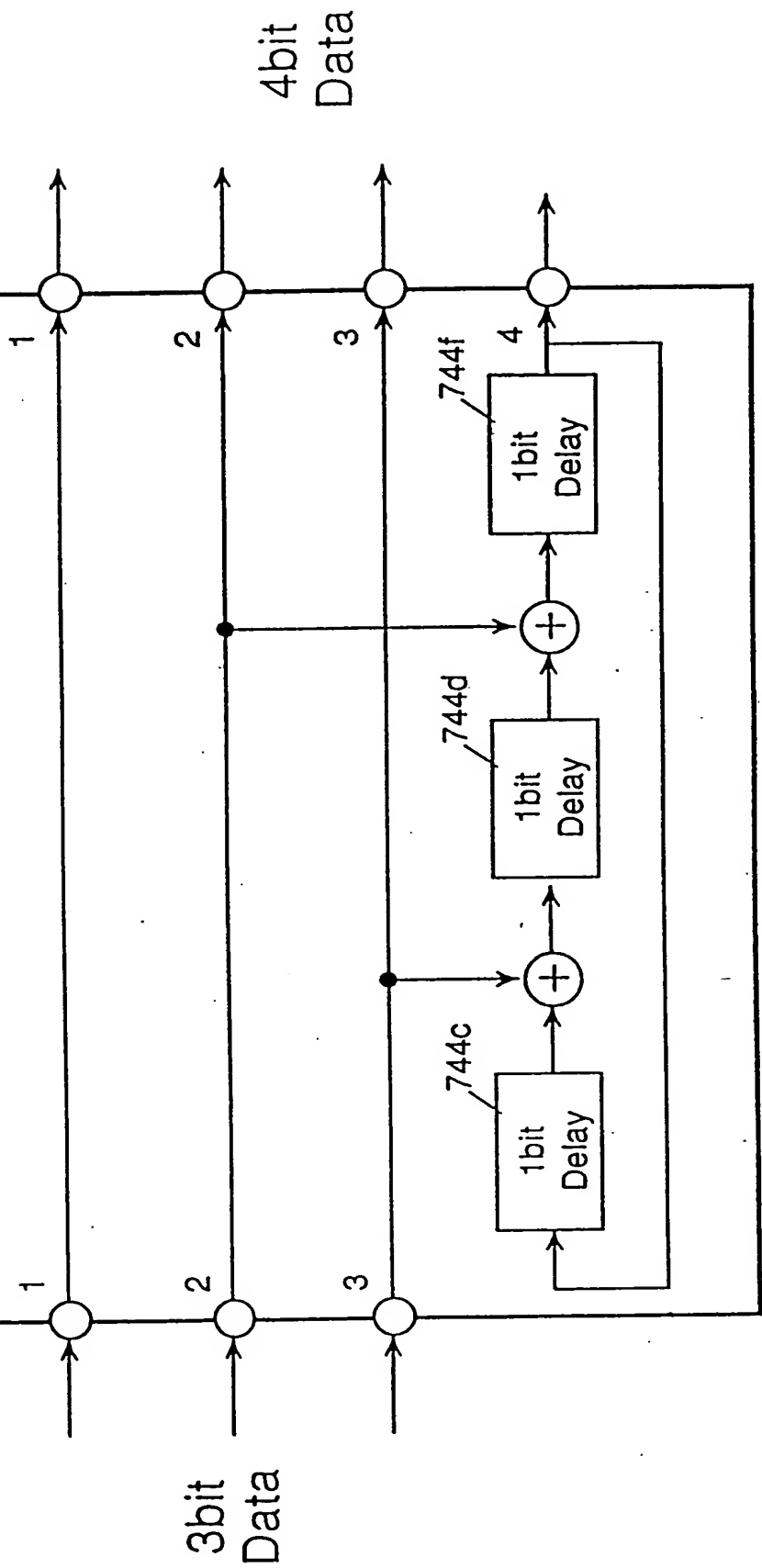




FIG. 129

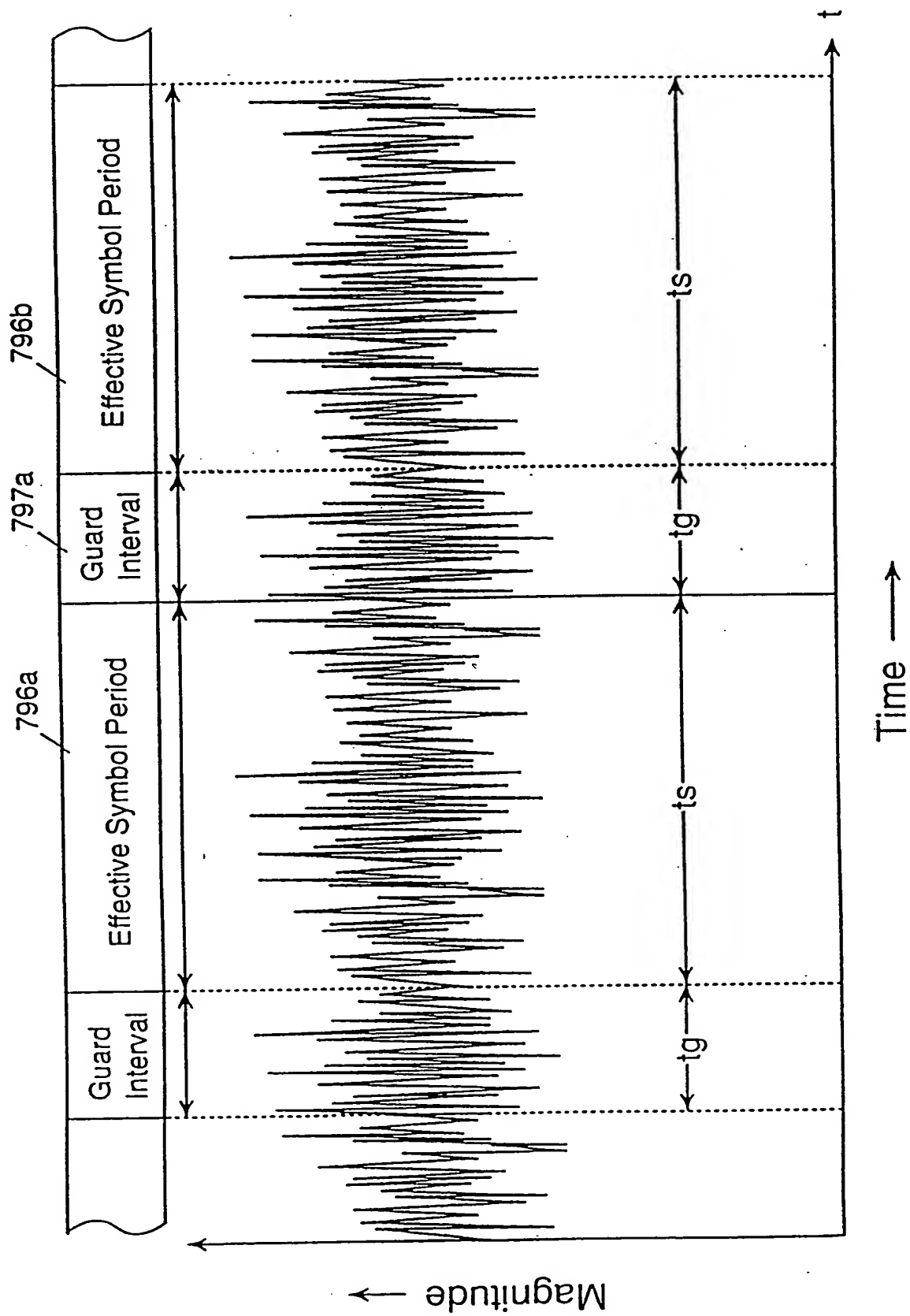
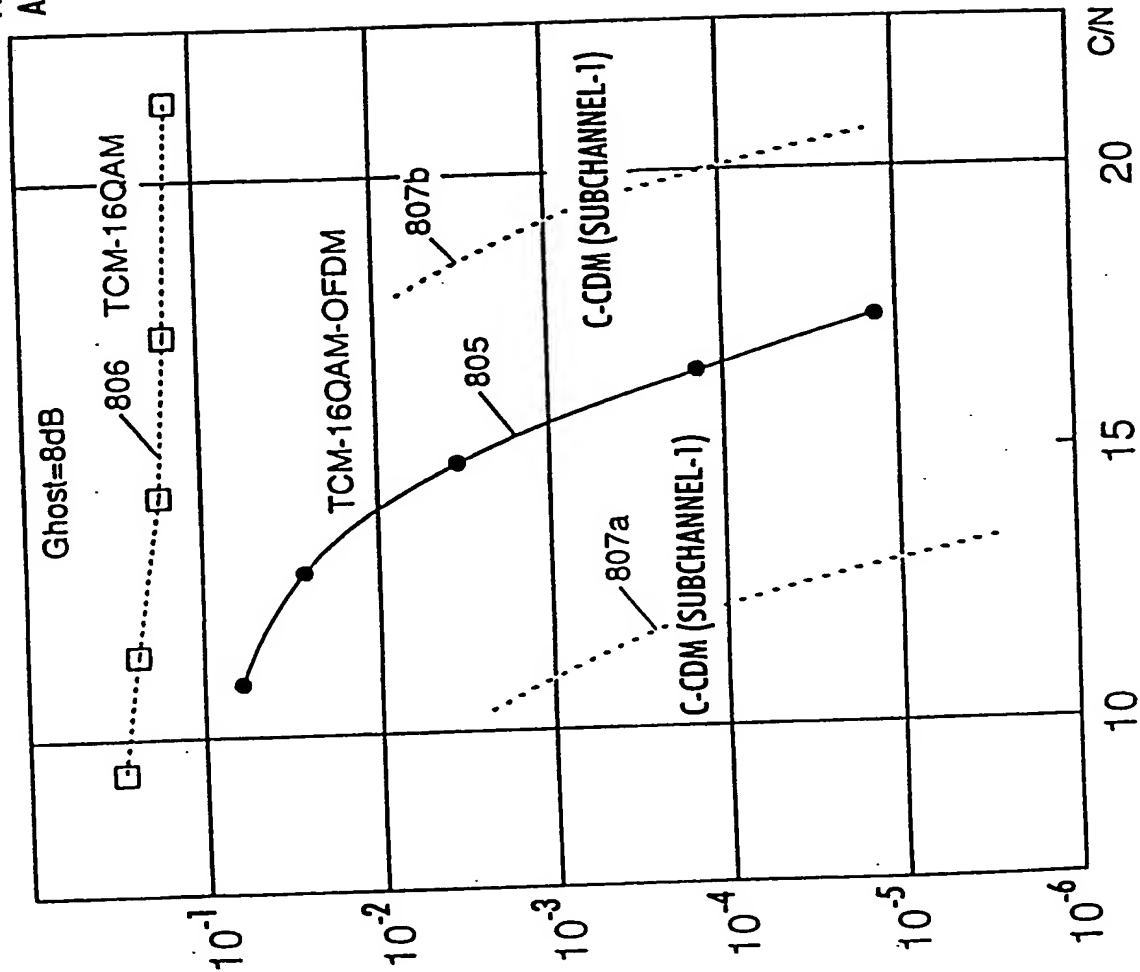


FIG. 130

GHOST DELAY = 2 $\mu$ s. D/U = 8dB  
 FIGURE 8 BIT ERROR RATE PERFORMANCE UNDER SINGLE GHOST  
 AND GAUSSIAN NOISE (1)



# FIG. 131

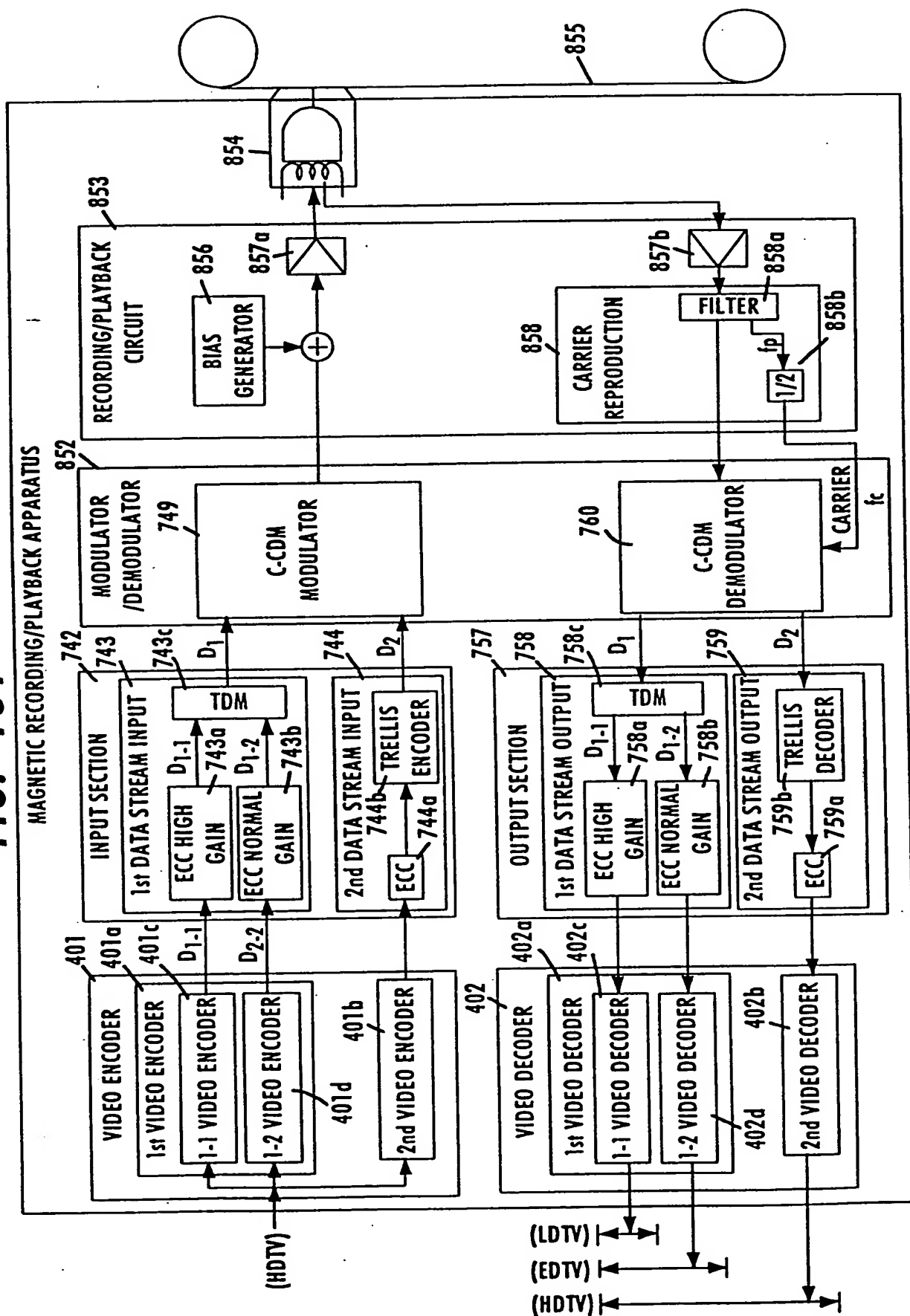




FIG. 133

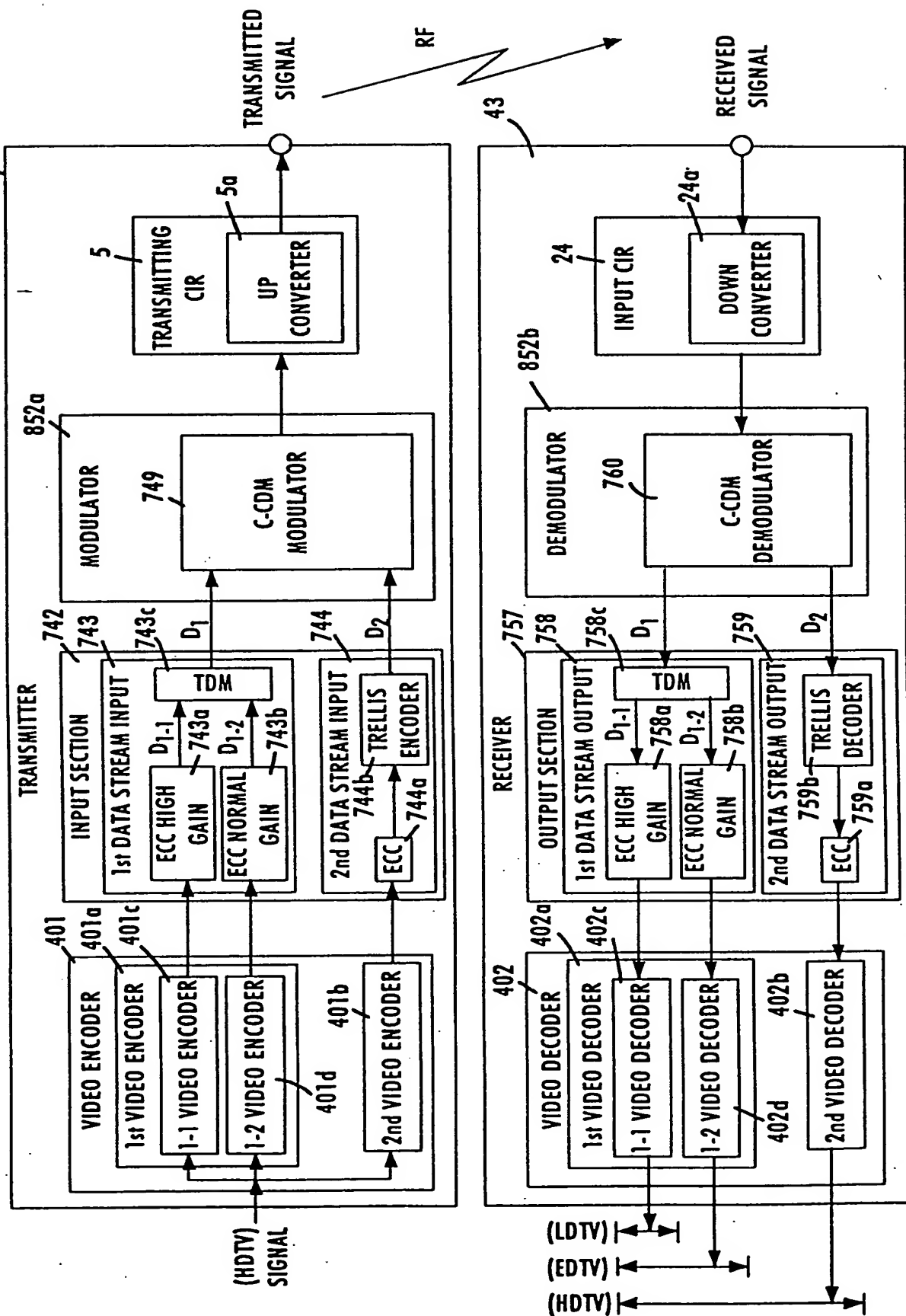


FIG. 134

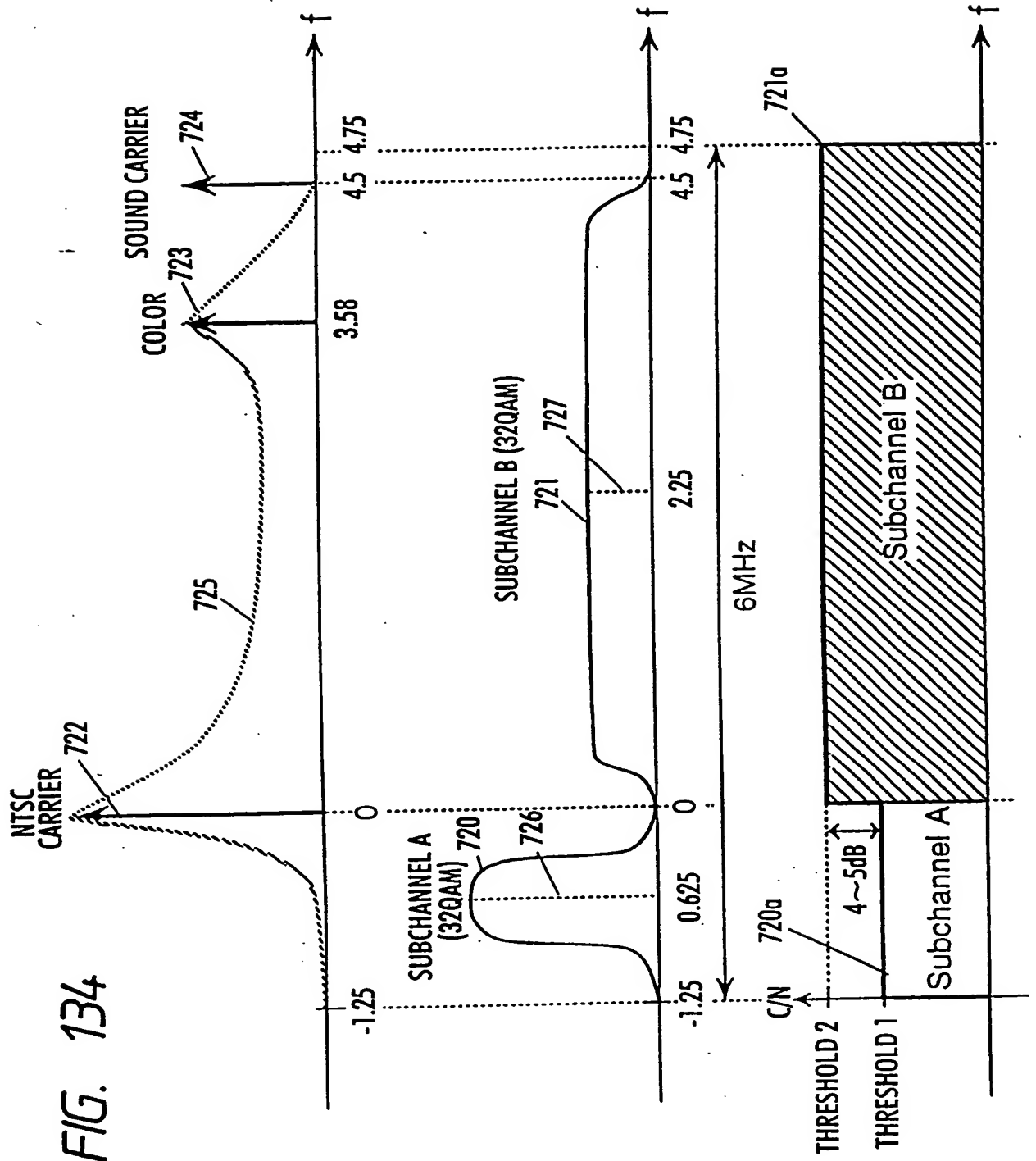


FIG. 135

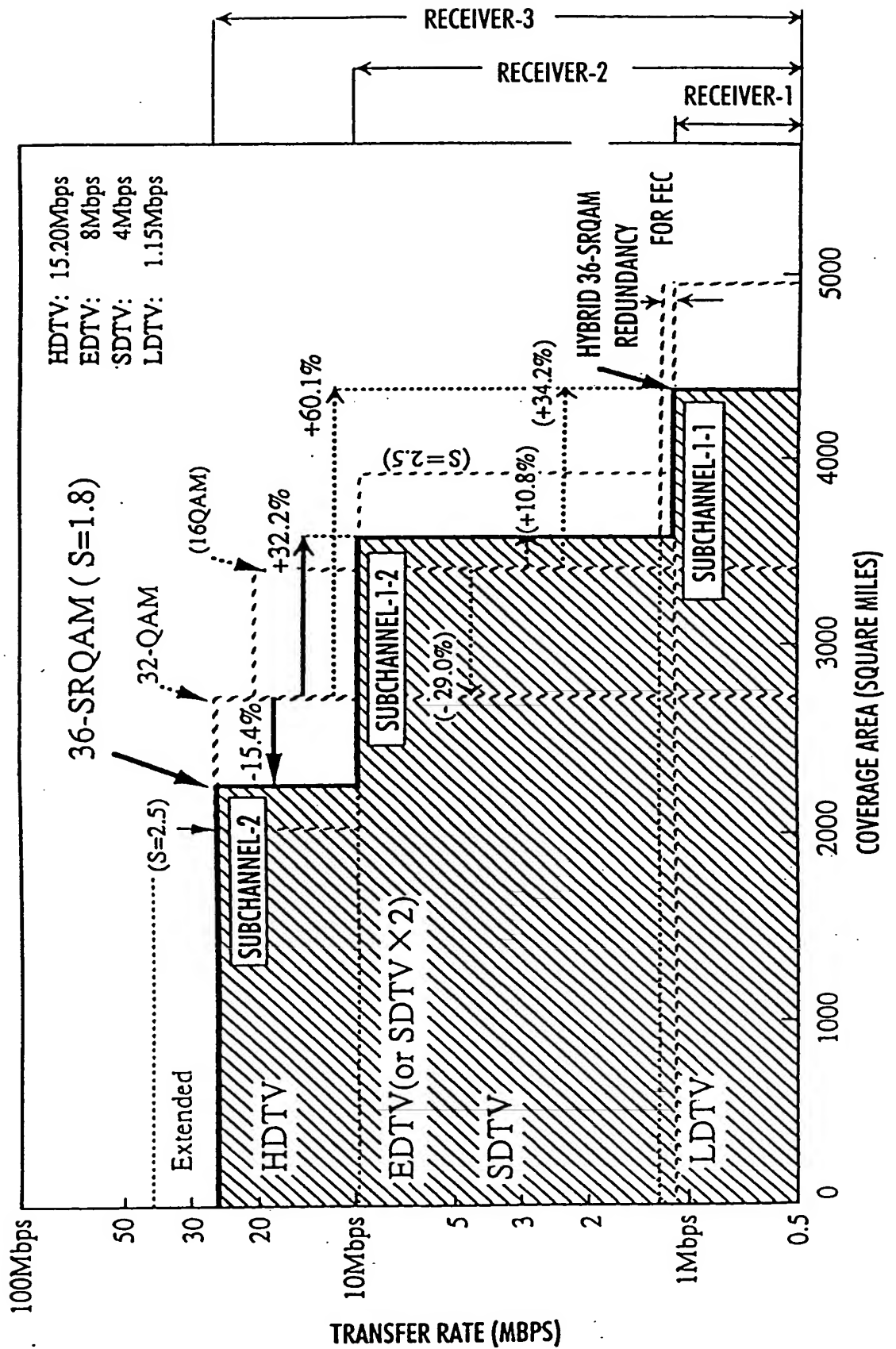


FIG. 136

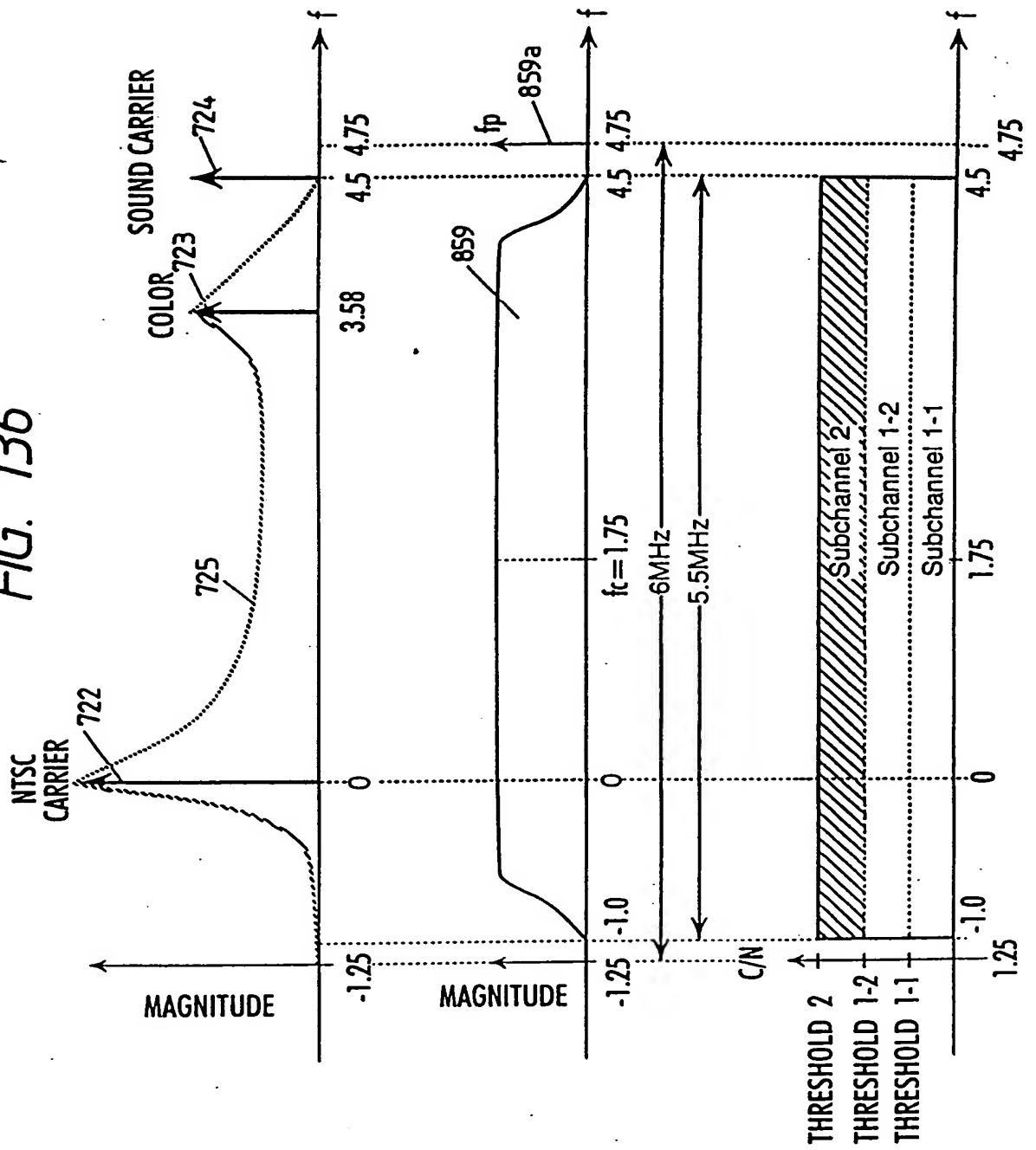




FIG. 137

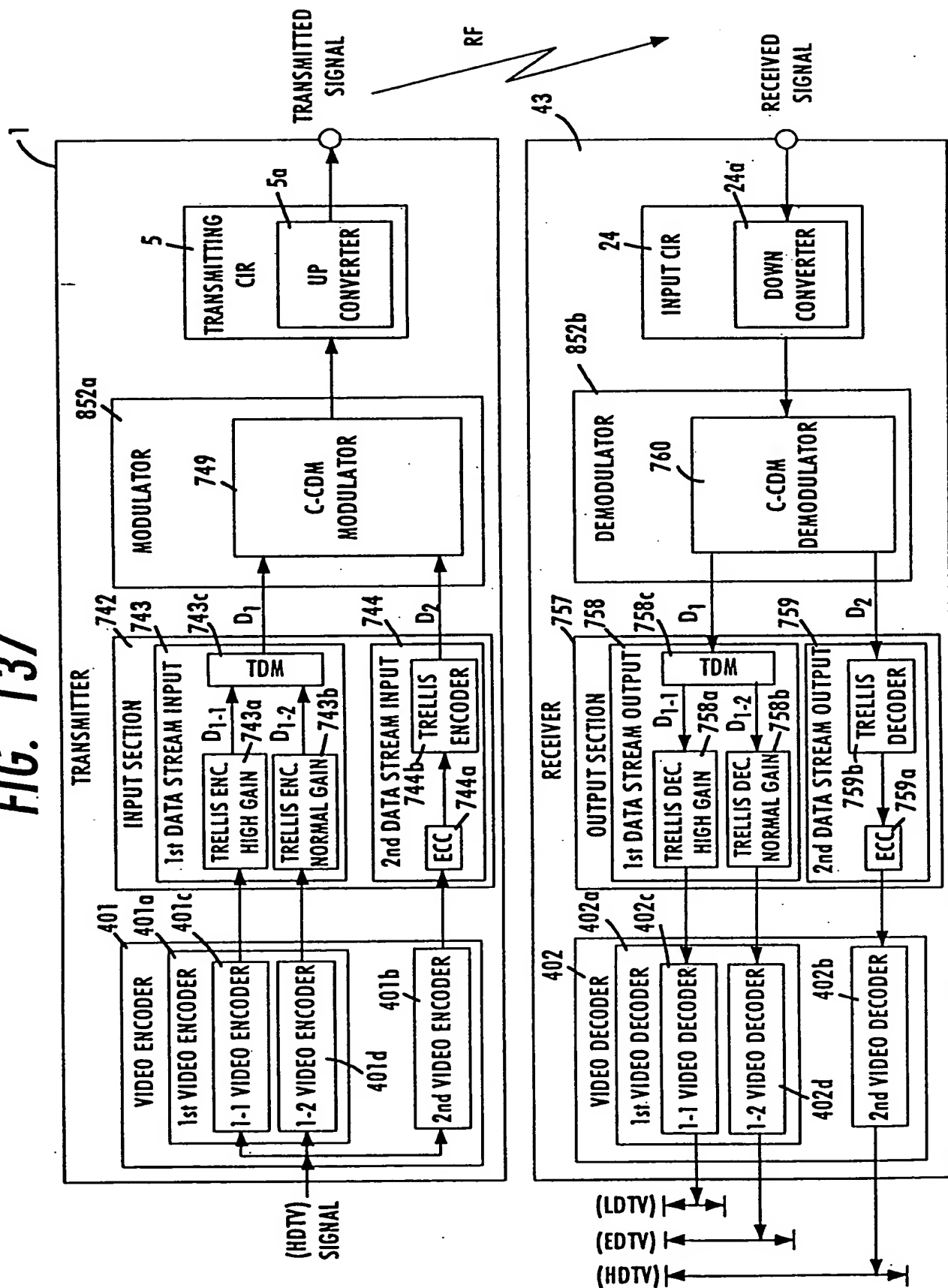


FIG. 138

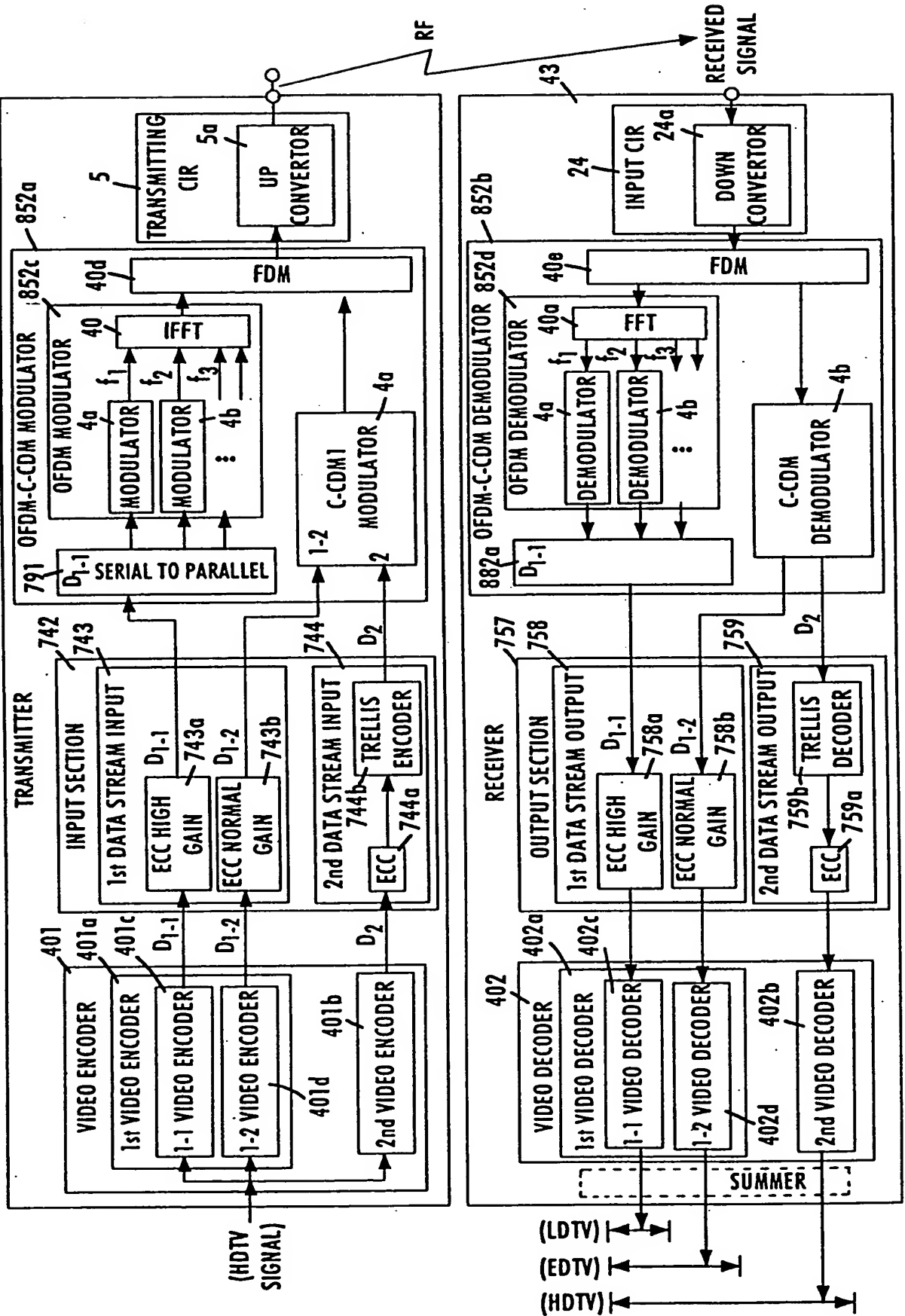
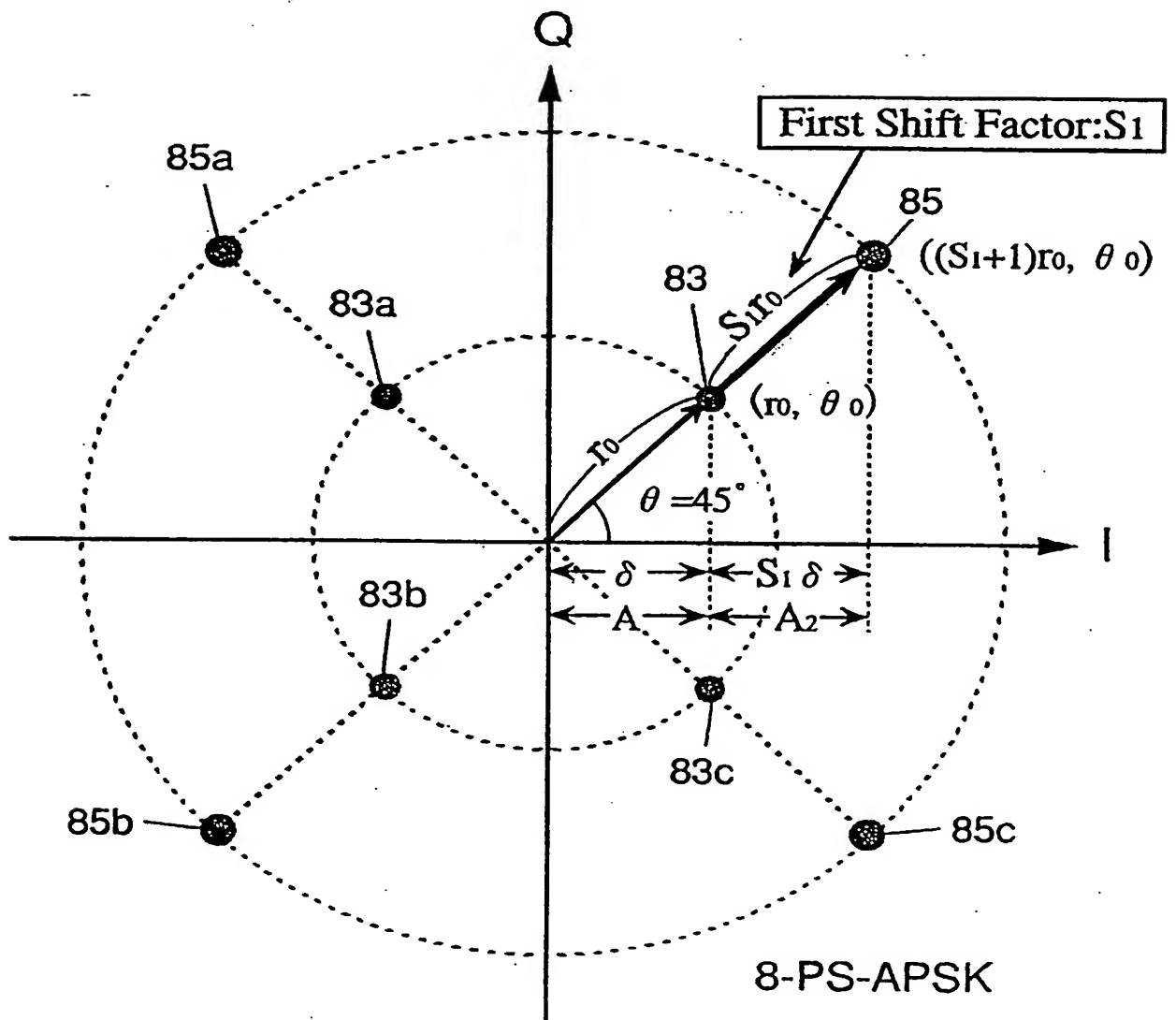


FIG. 139



**FIG. 140**

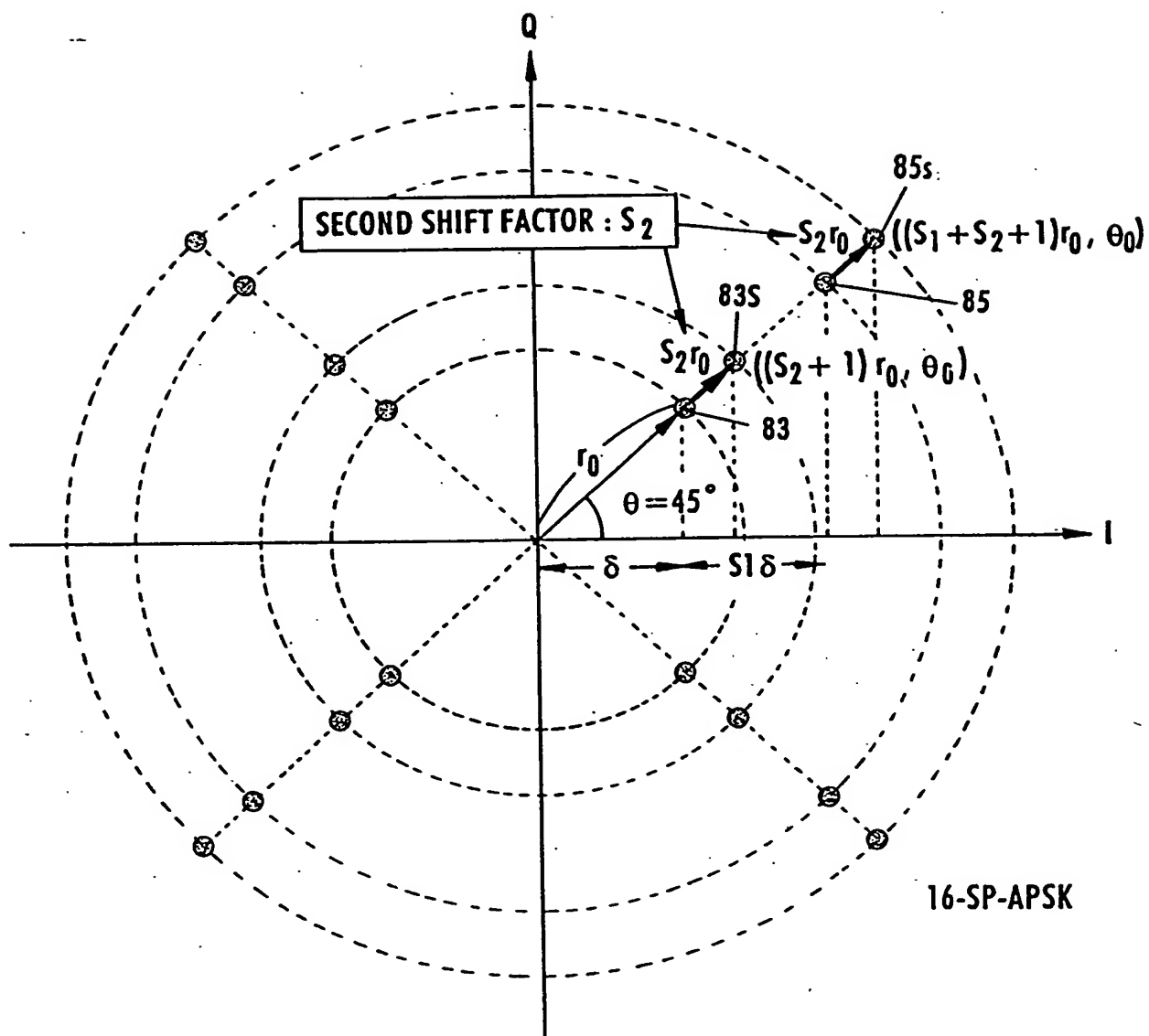


FIG. 141

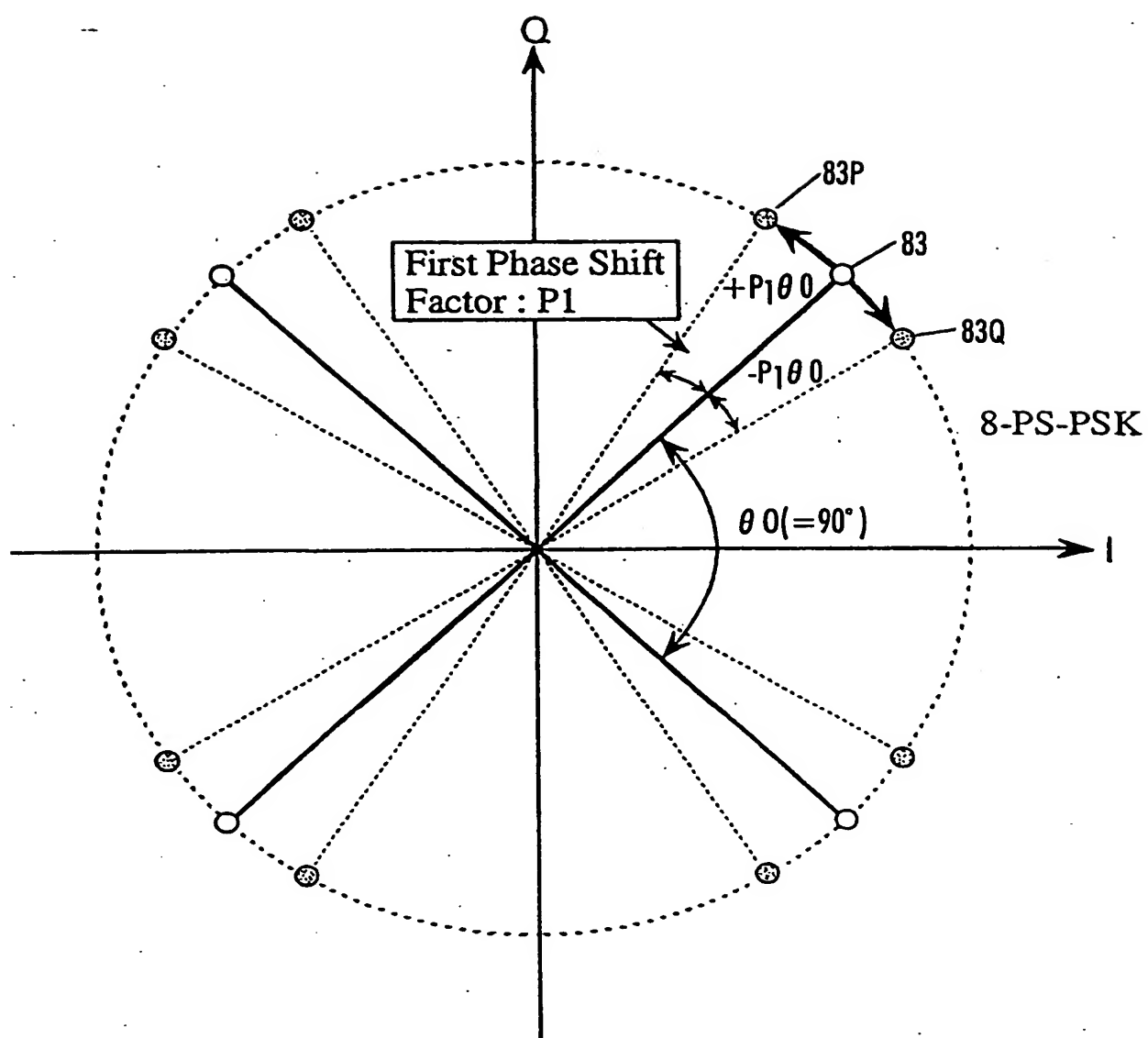


FIG. 142

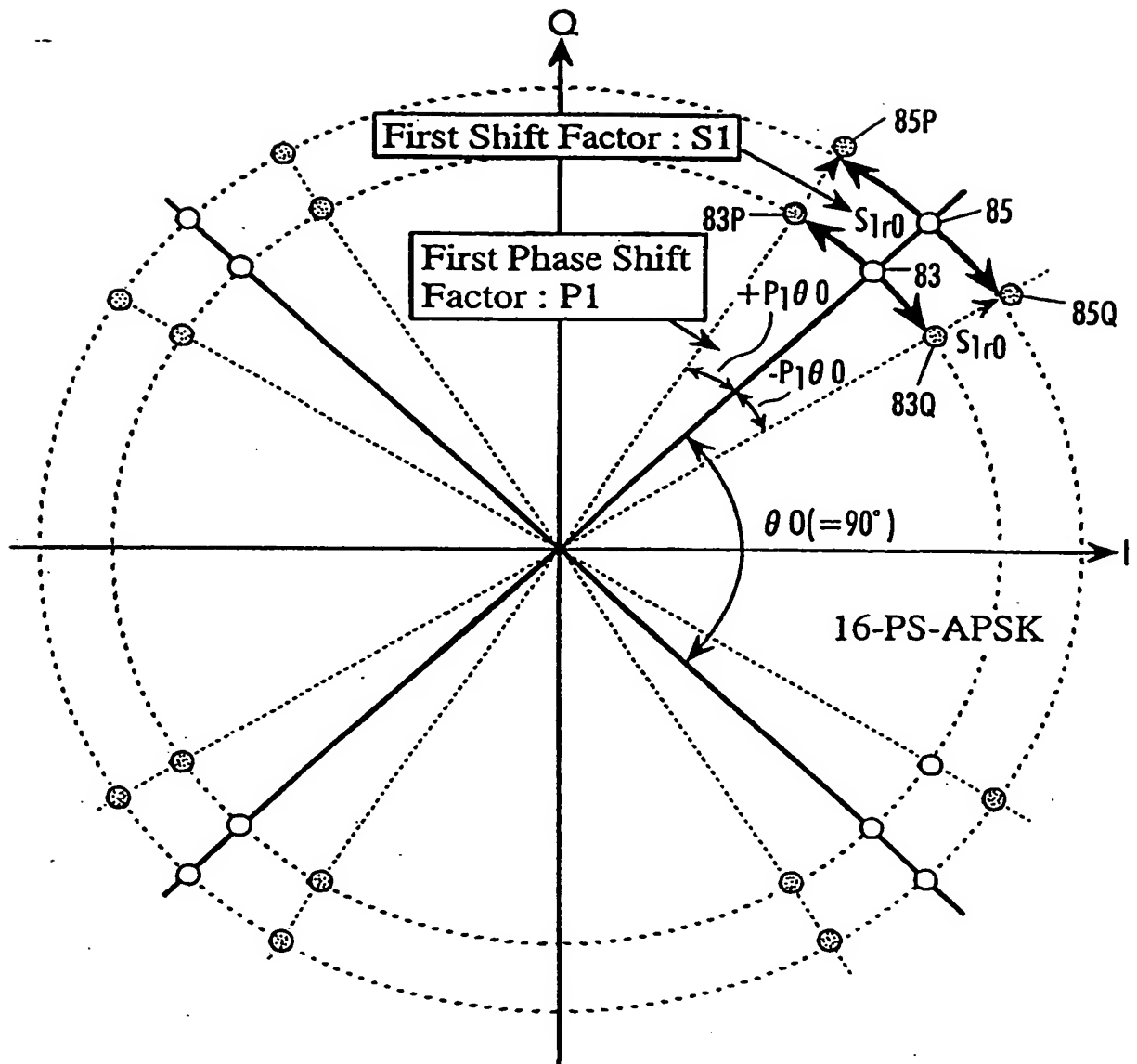


FIG. 143

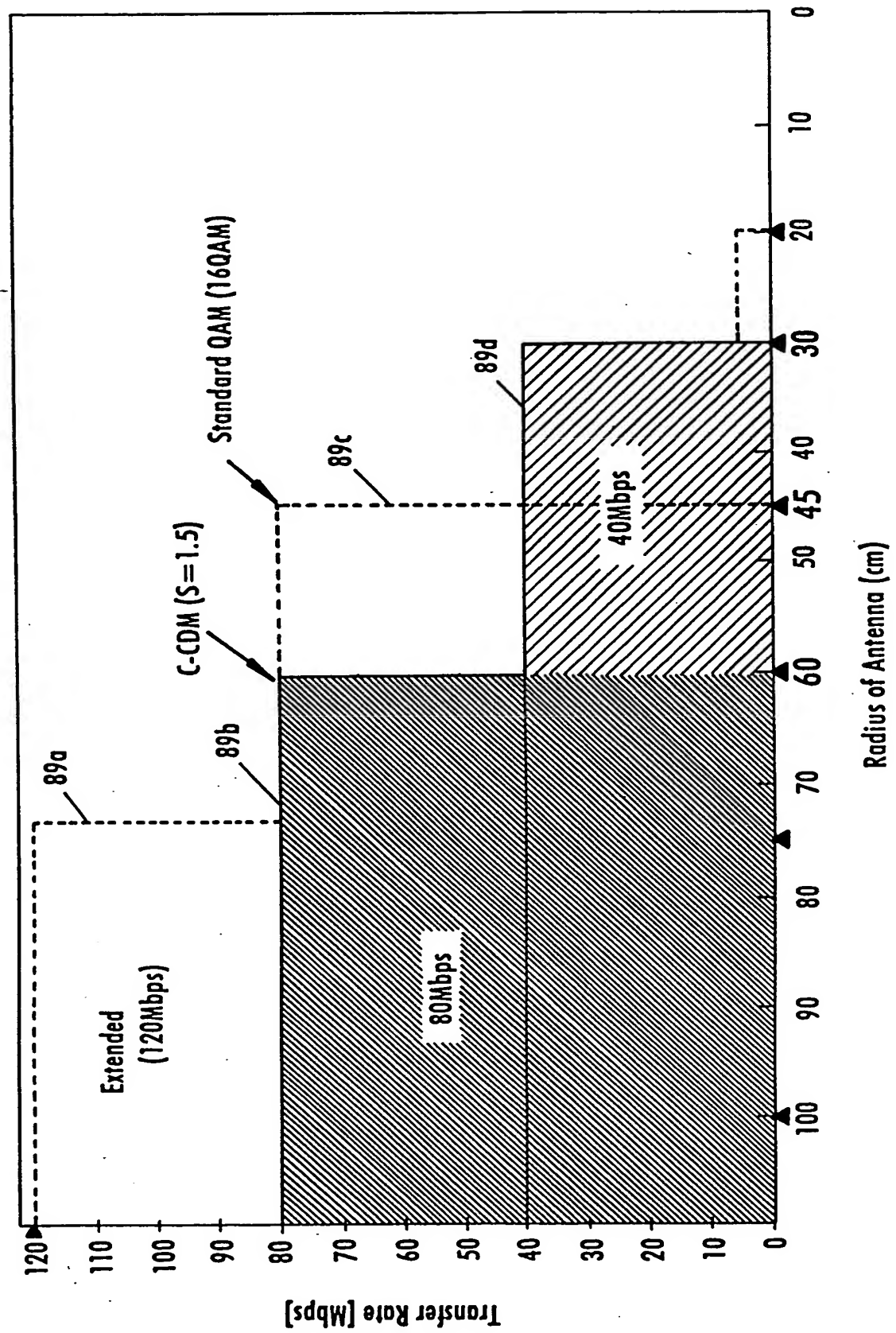


FIG. 144

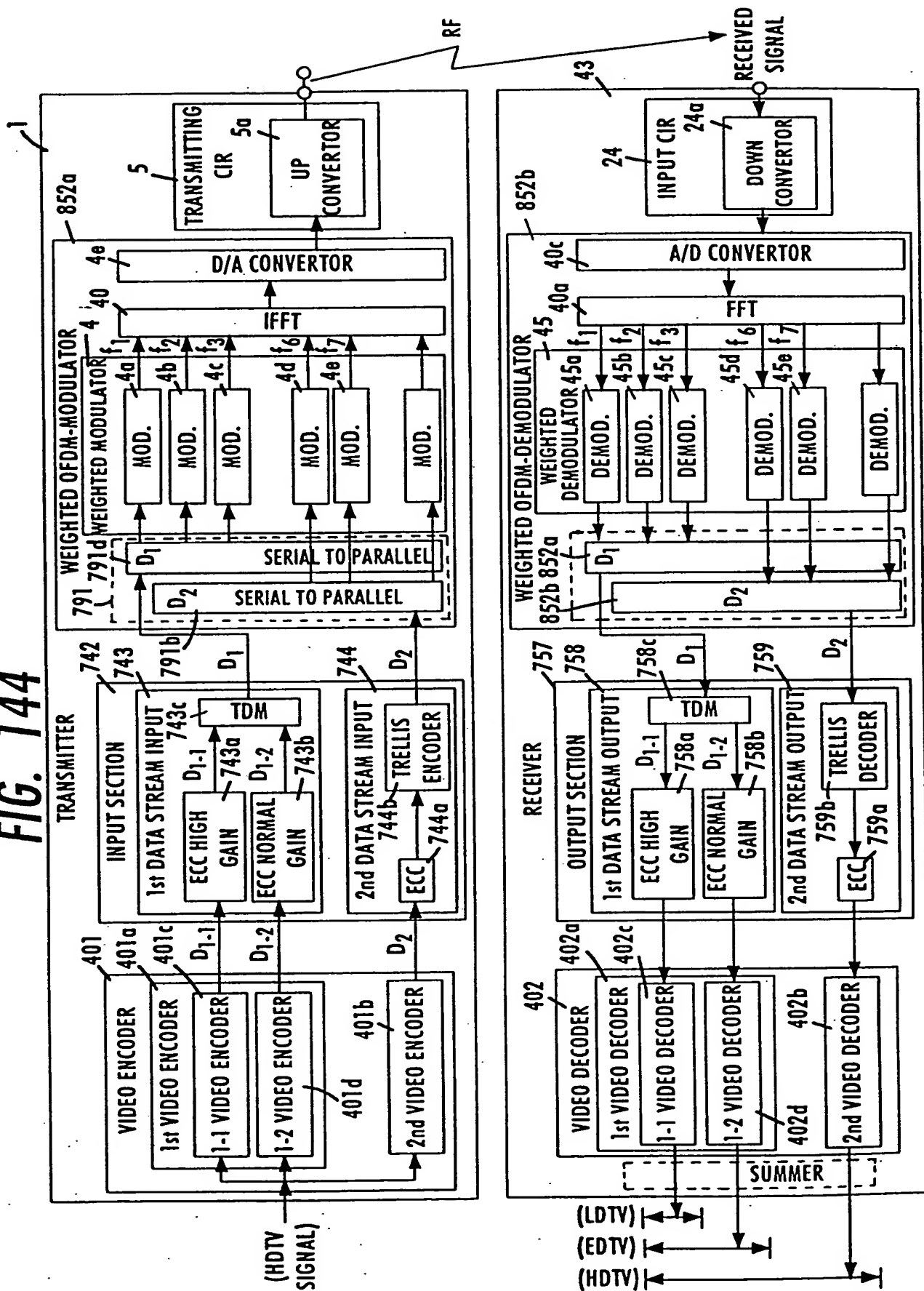




FIG. 145(A)

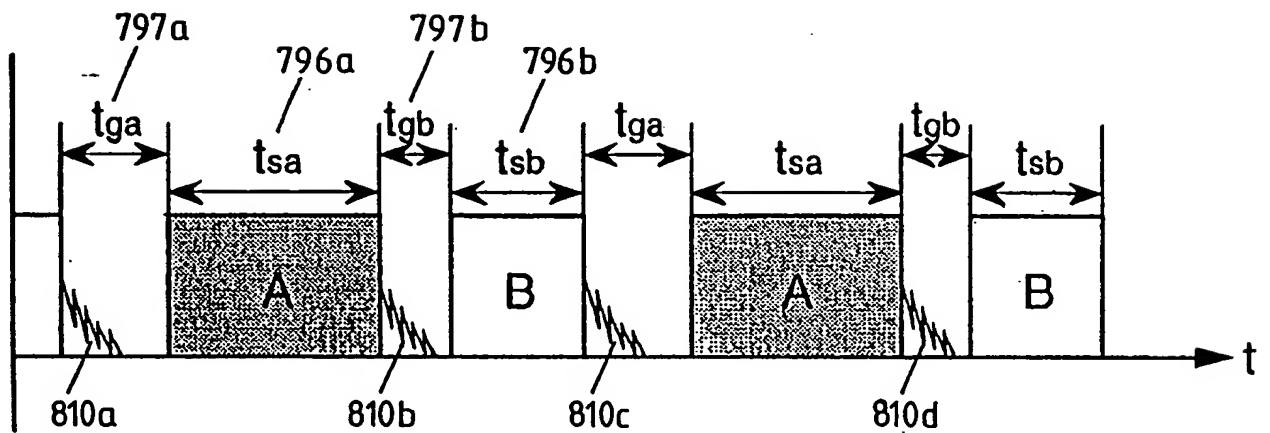


FIG. 145(B)

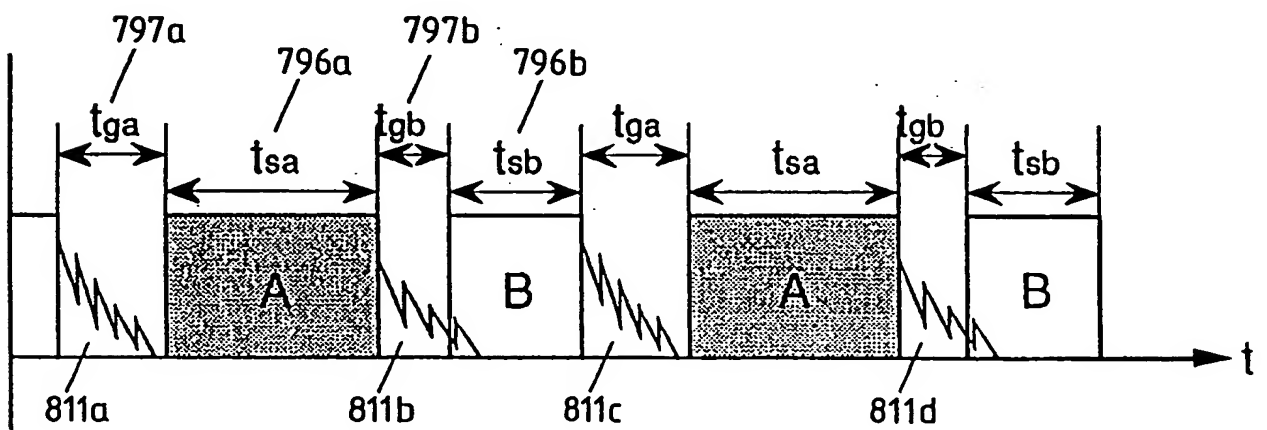
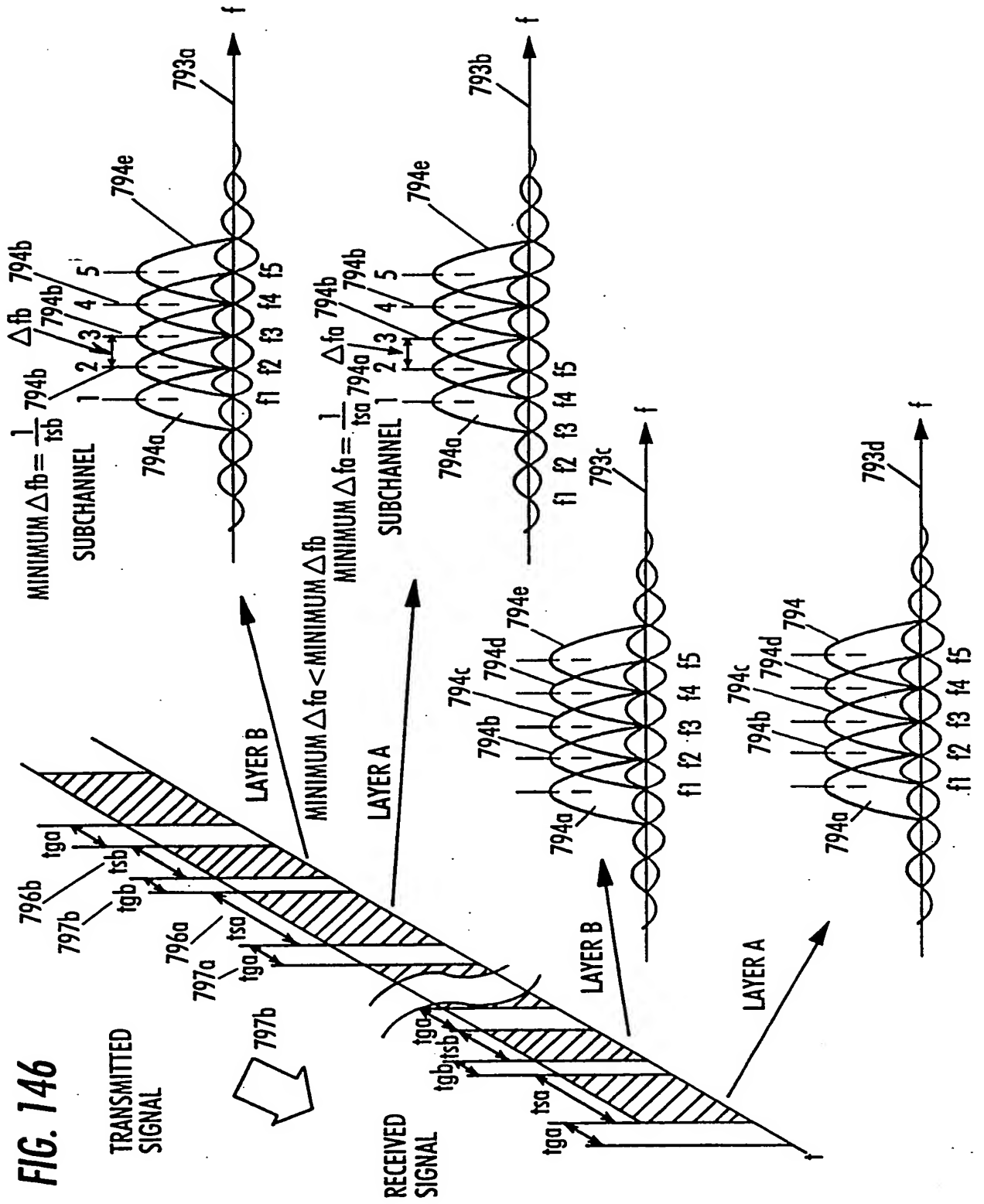


FIG. 146



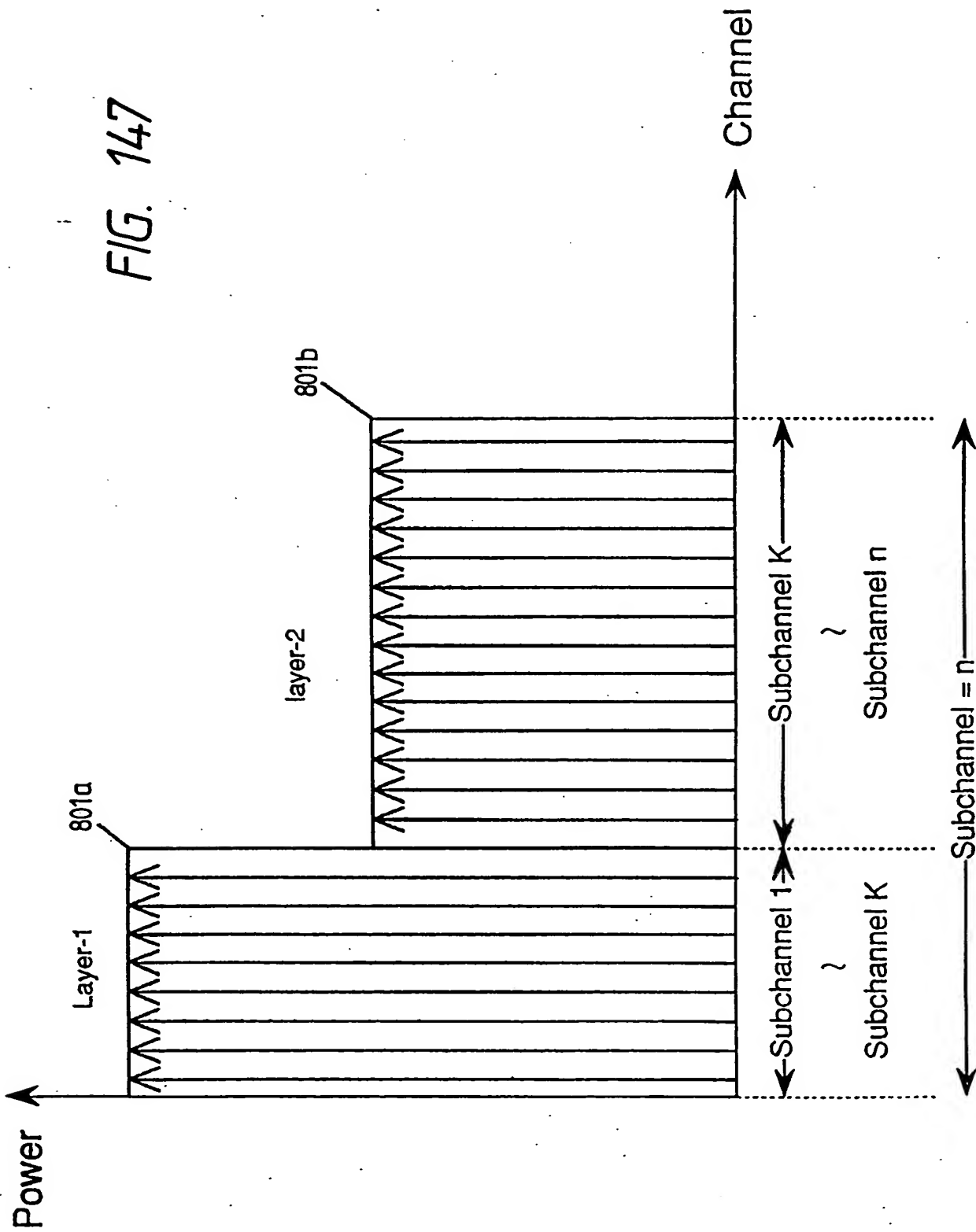


FIG. 147

FIG. 148

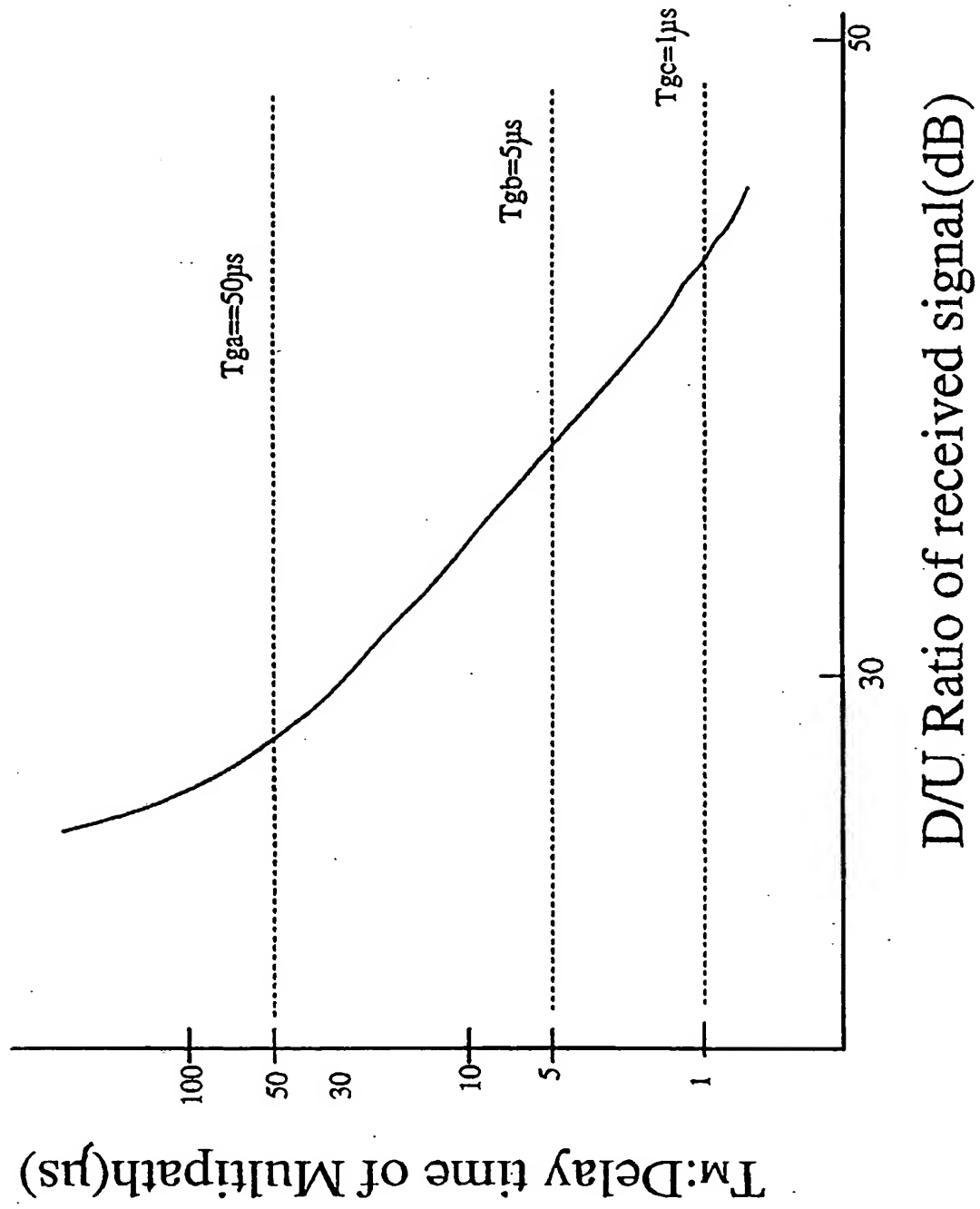


FIG. 149(A)

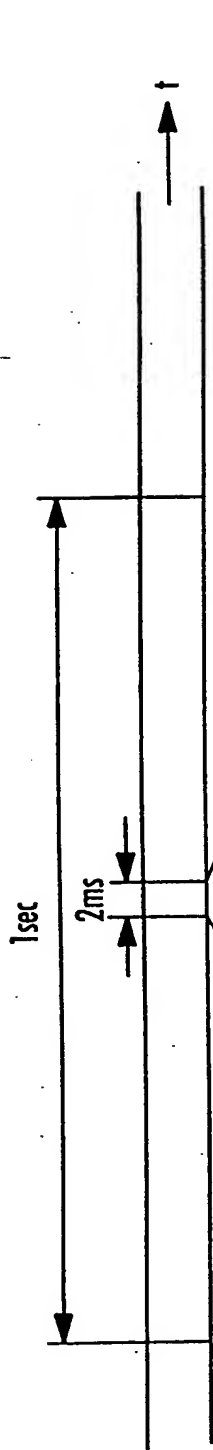


FIG. 149(B)

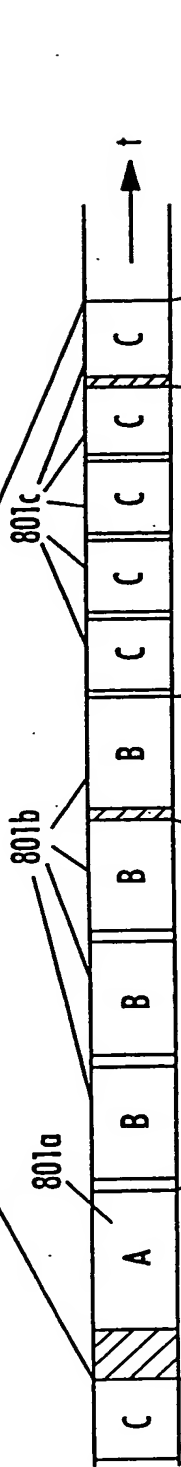


FIG. 149(C)

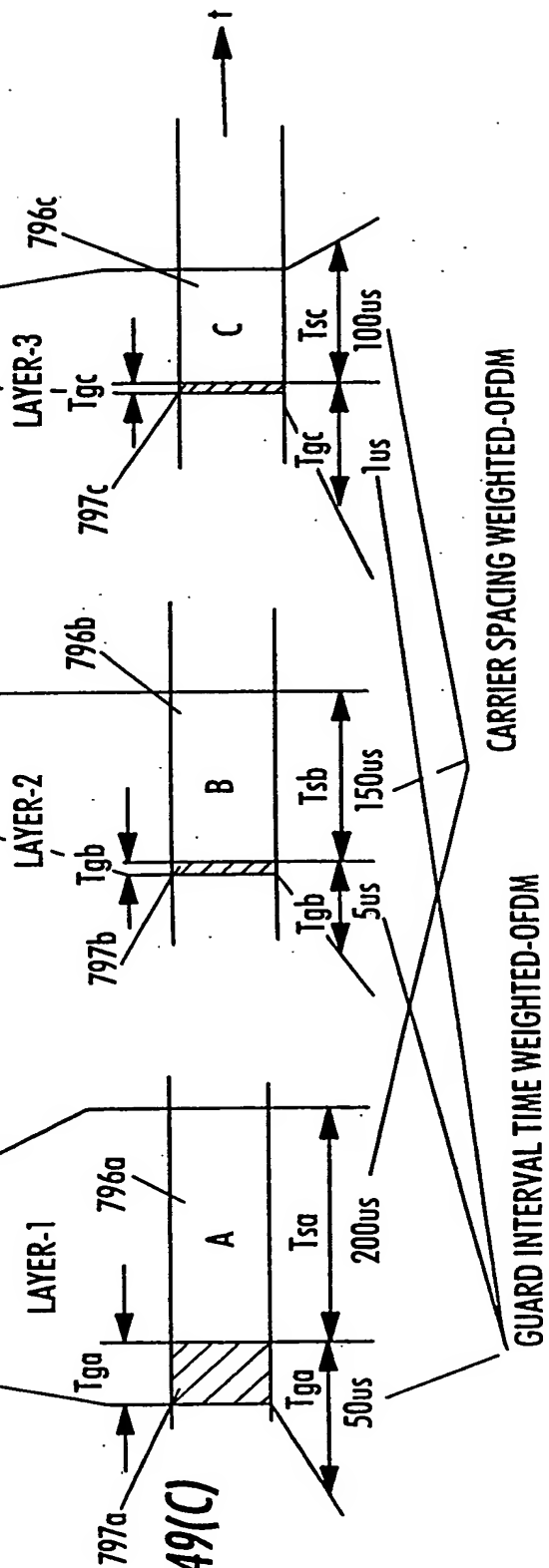
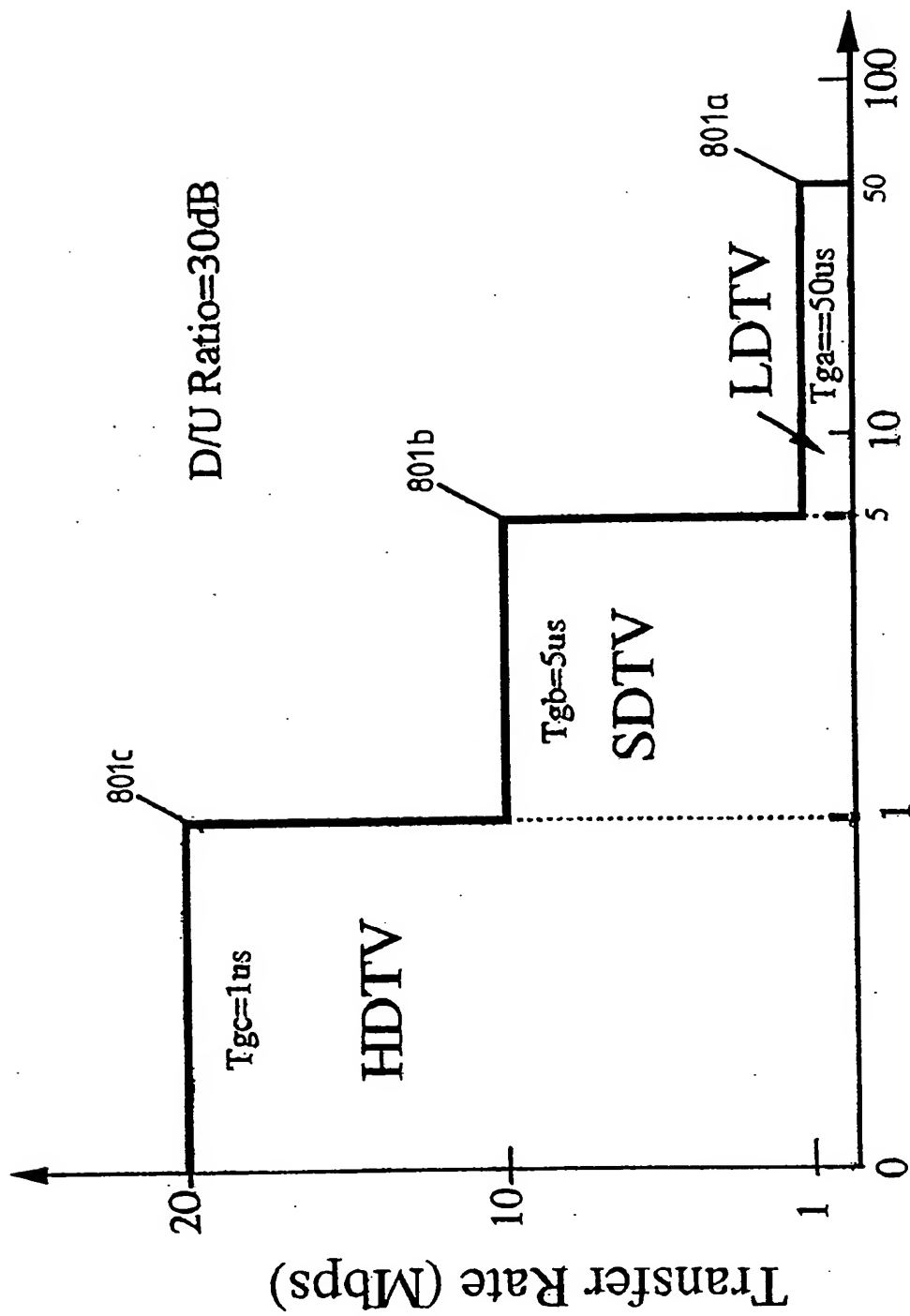


FIG. 150



$T_M$ : Delay time of Multipath(us)

FIG. 151

